

UNIVERZITET U BEOGRADU

MATEMATIČKI FAKULTET

Atila Čeki

**USAVRŠAVANJE MODELA TESNO
DVOJNIH SISTEMA SAGLASNO SA
REZULTATIMA POSMATRANJA
VISOKE PRECIZNOSTI**

doktorska disertacija

Beograd, 2013

UNIVERSITY OF BELGRADE

FACULTY OF MATHEMATICS

Atila Čeki

**IMPROVEMENTS TO THE MODEL OF
CLOSE BINARIES IN ACCORDANCE
WITH RESULTS FROM HIGH PRECISION
OBSERVATIONS**

Doctoral Dissertation

Belgrade, 2013

Mentor: prof. dr. Olga Atanacković
Univerzitet u Beogradu, Matematički fakultet

Članovi komisije: prof. dr. Olga Atanacković
Univerzitet u Beogradu, Matematički fakultet

dr. Gojko Đurašević
Astronomska opservatorija, Beograd

dr. Ištvan Vince
Astronomska opservatorija, Beograd

Datum odbrane:

...to boldly go where no one has gone before.

Ova doktorska disertacija je nastala pod rukovodstvom Gojka Đuraševića, Ištvana Vincea i Olge Atanacković. Ovim putem im se zahvaljujem na saradnji, nesebičnoj pomoći i korisnim savetima. Posebno moram istaći ulogu Olivere Latković, bez čijeg doprinosa ova disertacija ne bi bila moguća. Hvala na svemu, ljubavi. Zahvalnost dugujem i Tatjani Jakšić na korisnim sugestijama koje su značajno poboljšale kvalitet ovog teksta, kao i na dugogodišnjem prijateljstvu. Na kraju bih se zahvalio mojim roditeljima, Ištvanu i Juditi Čeki, na bezrezervnoj ljubavi i podršci tokom celog mog školovanja.

Rad na disertaciji je finansiralo Ministarstvo prosvete, nauke i tehnološkog razvoja Republike Srbije kroz projekat „Fizika zvezda“ (br. 176004).

USAVRŠAVANJE MODELA TESNO DVOJNIH SISTEMA SAGLASNO SA REZULTATIMA POSMATRANJA VISOKE PRECIZNOSTI

U disertaciji je predstavljen program za modeliranje dvojnih sistema, *Infinity*, koji kombinuje tradicionalne principe modeliranja (Roche-ova geometrija, von Zeipel-ov zakon raspodele temperature, itd), sa novim metodama za geometrijsku reprezentaciju sistema.

Proučavanje tesno dvojnih zvezda ima dugu tradiciju u Srbiji, pre svega zahvaljujući radu dr Gojka Đuraševića. Program predstavljen u ovoj disertaciji je baziran na njegovom programu za modeliranje aktivnih tesno dvojnih sistema sa akrecionim diskom (Đurašević, 1991) i donosi nekoliko značajnih poboljšanja, koja se mogu svrstati u dve grupe:

U prvoj grupi su poboljšanja koja se odnose na generalizaciju modela. Pre svega, novi program je moguće primeniti i na sisteme sa ekscentričnim orbitama. Moguće je računanje i rešavanje inverznog problema za krive radijalnih brzina. Razvijen je nov algoritam za određivanje vidljivih delova komponenata tokom pomračenja koji omogućava preciznije modeliranje krivih sjaja adaptivnom podelom u regionu pomračenja. Takođe omogućava generalizaciju geometrijskog modela akrecionog diska, koji može biti koničnog ili toroidalnog oblika.

Druga grupa unapređenja se odnosi na modeliranje fizičkih procesa na komponentama. Najznačajnija promena se odnosi na računanje izlaznog fluksa zračenja. Naime, u Đuraševićevom programu se pretpostavlja da elementarne ćelije zrače kao apsolutno crno telo, dok se u ovom programu svakoj ćeliji pripisuje jednodimenzionalni Kurucz-ov model zvezdane atmosfere koji je izveden pod pretpostavkom lokalne termodinamičke ravnoteže. Poboljšan je i tretman uticaja fotometrijskih filtera na izračunatu krivu sjaja. Takođe je proširena lista podržanih filtera.

Dvojni sistem se opisuje Roche-ovim modelom. On pretpostavlja da su kretanje i oblik komponenata određeni superpozicijom gravitacione i centrifugalne sile, dok se sve ostale interakcije zanemaruju. Zvezde se tretiraju kao materijalne tačke (tzv. aproksimacija centralne kondenzacije), pa se njihova unutrašnja struktura ne uzima u

obzir. Ukoliko sistem sadrži akrecioni disk, njegova masa se zanemaruje, tj. pretpostavlja se da disk ne utiče na dinamiku sistema i oblik komponenata.

Za predstavljanje površine komponenata se koristi poligona mreža. Zvezde se aproksimiraju geodezijskom, a akrecioni disk osno-simetričnom rotacionom mrežom. U sklopu disertacije je predložen nov algoritam za rešavanje problema detekcije vidljivosti. On se zasniva na inverznom slikarskom algoritmu iz polja računarske grafike. Njegova najbitnija karakteristika je da ne zahteva druge informacije o geometriji dvojnog sistema osim poligonih mreža koje je opisuju. Ovo otvara mogućnost jednostavnog proširenja modela na egzotičnije konfiguracije kao što su hijerarhiski sistemi, sistemi sa ekscentričnim ili cirkumbinarnim akrecionim diskom, planetarni sistemi itd.

Pretpostavlja se da su unutar jedne elementarne ćelije sve relevantne veličine – temperatura, lokalno gravitaciono ubrzanje, izlazni fluks i radijalna brzina – konstante. Njeno zračenje je određeno gravitacionim potamnjenjem, potamnjenjem ka rubu i efektom refleksije. Gravitaciono potamnjenje se opisuje von Zeipel-ovim zakonom, dok se za potamnjenje ka rubu može koristiti jedna od pet aproksimacija (linearna, logaritamska, korena, kvadratna i nelinearna četvrtog reda).

Za modeliranje efekta refleksije, kao i za raspodelu temperature duž akrecionog diska se koristi pristup iz Đuraševićevog programa (Đurašević, 1991). Na lokalni intenzitet zračenja mogu uticati i aktivni regioni koji se opisuju svetlim ili tamnim pegama. Fluks izlaznog zračenja se dobija kao suma intenziteta po vidljivim ćelijama u datoj fazi. Kriva radijalnih brzina se računa kao superpozicija tri vrste kretanja – sopstvenog kretanja centra mase sistema, kretanja centra zvezde oko zajedničkog centra mase i kretanja elementarnih ćelija na površini zvezde oko centra zvezde.

Izračunate krive sjaja i radijalnih brzina se mogu direktno porediti sa posmatranjima. Za rešavanje obrnutog zadatka, tj. za procenu optimalnih parametara sistema pri kojima sintetička kriva sjaja najbolje fituje posmatranja, se koristi Nelder-Mead simpleks algoritam za minimizaciju sume kvadrata odstupanja između posmatranih i izračunatih vrednosti. Provera ispravnosti programa se vrši na nekoliko sistema poređenjem sa objavljenim rešenjima dobijenim Đuraševićevim programom.

Ključne reči: eklipsno dvojne zvezde – akrecioni diskovi – metode: numeričke – tehnike: fotometrijske – tehnike: radialne brzine – zvezde: pojedinačne: EG Cep - zvezde: pojedinačne: AU Mon

Naučna oblast: Astronomija

Uža naučna oblast: Astrofizika

UDK broj: 524.387:[52-13/-17](043.3)

IMPROVEMENTS TO THE MODEL OF CLOSE BINARIES IN ACCORDANCE WITH RESULTS FROM HIGH PRECISION OBSERVATIONS

The dissertation presents a program for modeling binary systems, *Infinity*, which combines the traditional principles of modeling (Roche geometry, von Zeipel's law of temperature distribution and so forth) with a novel geometrical representation of the system.

The study of binary stars has a long tradition in Serbia, mostly due to the research done by dr Gojko Đurašević. The program presented in the dissertation is based on his program for modeling of active close binary systems with an accretion disk (Đurašević, 1991) and brings several significant improvements that can be classified in two categories:

The first group of improvements has to do with generalizing the model. First and foremost, the new program is applicable to systems with eccentric orbits, and is capable of computing and solving the inverse problem for radial velocities. It also features a new algorithm for determining which elements of the stellar surface are visible during the eclipse. The new algorithm allows for computing the light curves with greater precision using a method of 'adaptive subdivision' in the region of eclipse. The geometrical aspects of modeling the accretion disk are also improved and now include the possibility to create both conical and toroidal disks.

The second group of improvements is related to the modeling of physical processes on the binary system components. The most significant change is in the way the emergent flux is calculated. Namely, the Đurašević program assumes that the elements of stellar surface produce blackbody radiation, while the new program assigns a one-dimensional Kurucz stellar atmosphere model calculated under the LTE assumption. Improvements are also made in the treatment of the influence of photometric filters on the calculated light curve, and the list of supported filters is extended.

A binary system is described by the Roche model, which assumes that the motion and shape of the components are determined by the superposition of gravitational and centrifugal forces, while all the other interactions are neglected. The stars are treated as point masses (under the assumption of total central condensation), so their internal

structure is not considered. If the system contains an accretion disk, it is assumed that its mass can be neglected, and that its presence doesn't influence the dynamics of the system and the shape of the stars.

The surface of the components is represented with a polygonal mesh. The stars are approximated with a geodesic, and the accretion disk with an axially-symmetric mesh. The new algorithm for solving the problem of visibility detection, proposed in the dissertation, is based on the so called inverse painter's algorithm that originates from the field of computer graphics. The most important property of this algorithm is that, other than the polygonal meshes representing the components, it doesn't require any other information about the geometry of the system. This makes the modeling program easily extendable to more exotic geometric configurations such as systems with eccentric or circumbinary disks, planetary and multiple systems, and so forth.

It is assumed that within a single element of stellar surface all the physical quantities – local effective temperature, gravitational acceleration, emergent flux and radial velocity – are constant. Its radiation is affected by gravity darkening, limb darkening and the reflection effect. Gravity darkening is described using von Zeipel's law, and the limb darkening can be calculated using one of the five available approximations (linear, logarithmic, square-root, quadratic and nonlinear fourth-order approximation). The reflection effect, as well as the temperature distribution along the accretion disk, are calculated using the approach from the Đurašević program (Đurašević, 1991). The local amount of radiation can additionally be affected by active regions that are represented with dark or bright circular spots.

The emergent flux is computed as the sum of fluxes from all the surface elements visible in the given moment, and the radial velocity is calculated from the superposition from three kinds of motion: the proper motion of the system center of mass, the motion of the center of the star around the center of mass due to orbital revolution, and the motion of elementary surface around the center of the star due to rotation.

Synthetic light and radial velocity curves obtained in this way can be directly compared to observations. The new program solves the inverse problem – estimating the optimal model parameters to fit the given observations – using the Nelder-Mead simplex

algorithm to minimize the sum of squares of deviations between the observed and calculated light and radial velocity curves. The validity of the program and the proposed improvements is done by analyzing several binary systems and comparing the results with published solutions obtained with the Đurašević program.

Key words: binaries: eclipsing - accretion disks - methods: numerical - techniques: photometric - techniques: radial velocities - stars: individual: EG Cep - stars: individual: AU Mon

Scientific field: Astronomy

Scientific subfield: Astrophysics

UDK number: 524.387:[52-13/-17](043.3)

Sadržaj

1. Uvod.....	1
2. Istorija modeliranja dvojnih sistema	4
2.1. Od otkrića dvojnih zvezda do prvog modela.....	4
2.2. Russel-Merrill model.....	5
2.3. Eclipsing Binary Orbit Program (EBOP).....	9
2.4. Wilson-Devinney model	12
2.5. GDDSYN	14
2.6. Đuraševićev model.....	15
3. Geometrijska reprezentacija sistema	18
3.1. Zvezde	19
3.1.1. Geodezijska mreža	19
3.1.2. Rekurzivna i frekventna podela trouglova	19
3.1.3. Sferne zvezde	24
3.1.4. Roche model.....	25
3.2. Akrecioni disk	27
3.3. Orbita.....	28
3.3.1. Koordinatni sistem	29
3.3.2. Kružna orbita.....	31
3.3.3. Eliptična orbita	32
4. Detekcija vidljivosti	35
4.1. Inverzni slikarski algoritam.....	35
4.1.1. Opšti pregled	35
4.1.2. Detaljan prikaz	37
4.2. Adaptivna geodezijska mreža.....	40
5. Sinteza krive sjaja i radijalnih brzina	44
5.1. Gravitaciono potamnjenje	44
5.2. Efekat refleksije.....	46
5.3. Zvezdane pege.....	49
5.4. Akrecioni disk	52
5.5. Računanje izlaznog fluksa.....	54
5.5.1. Potamnjenje ka rubu.....	57
5.6. Računanje radijalnih brzina.....	58
5.7. Parametri modela.....	60

6.	Rešavanje inverznog problema	63
6.1.	Nelder-Mead simplex	63
6.2.	Primena na posmatranja	65
6.2.1.	EG Cep	65
6.2.2.	AU Mon	68
7.	Zaključak	72
8.	Infinity - program za modeliranje dvojnih sistema	75
8.1.	Pomoćni objekti	75
8.2.	Geometrija	91
8.3.	Račun fluksa	120
8.4.	Račun orbite	137
8.5.	Model zvezde	140
8.6.	Model dvojnog sistema	158
8.7.	Model akrecionog diska	188
8.8.	Model refleksije	196
8.9.	Detekcija vidljivosti	200
	Literatura	212
	Biografija autora	218

1. Uvod

Istraživanja pokazuju da se većina zvezda sa glavnog niza nalazi u sistemima sa dve ili više komponenata (Abt, 1983). Dvojne zvezde su od posebnog značaja za astrofiziku, jer predstavljaju najvažniji izvor informacija o fundamentalnim fizičkim karakteristikama zvezda. Parametri kao što su masa, radijus, luminoznost itd. se mogu odrediti sa visokom tačnošću. U nekim slučajevima je greška ispod 1%, kao što je na primer slučaj sa određivanjem mase sistema CM Dra (Metcalf, et al., 1996).

Najkompletnije informacije se dobijaju iz eklipsnih dvojnih sistema kombinovanjem fotometrijskih i spektroskopskih posmatranja. Dramatični napredak posmatračkih tehnika u poslednjoj deceniji je doveo do toga da su postala dostupna veoma kvalitetna posmatranja – od fotometrijskih podataka sa svemirskih misija CoRoT i Kepler, preko javno dostupnih baza krivih sjaja sa robotizovanih teleskopa za snimanje celog neba kao što su OGLE, SuperWASP ili HAT, pa do merenja radijalnih brzina sa greškom manjom od 3 m/s (Kambe, et al., 2008). Ovaj napredak zahteva i usavršavanje postojećih programa za modeliranje dvojnih sistema, odnosno izgradnju novih, koji bi adekvatno mogli da objasne fine detalje u posmatranjima. U disertaciji je izložen program koji može da odgovori na ove zahteve.

Računanje sintetičke krive sjaja i radijalnih brzina se grubo može podeliti u tri faze – uspostavljanje geometrijske reprezentacije sistema, detekciju vidljivosti i računanje izlaznog fluksa zračenja i radijalnih brzina. Jedan od osnovnih ciljeva prilikom pravljenja novog programa je bio striktno razdvajanje ove tri faze, odnosno podelu računa na tri nezavisne celine. Glavna prednost ovakvog pristupa je velika fleksibilnost modela, jer proširivanje jednog modula ne zahteva menjanje ostala dva. To znači da će buduće proširivanje modela biti znatno olakšano – na primer, dodavanje neradijalnih pulsacija na površinu komponenata sistema (Latković, 2013, u pripremi) ne zahteva promene u modulu za detekciju vidljivosti, itd.

Geometrijska reprezentacija obuhvata diskretizaciju površine zvezda i određivanje njihovog položaja na orbiti u datom vremenskom trenutku. U opštem slučaju su ova dva zadatka povezana, jer oblik zvezda opisanih Roche potencijalom na eliptičnoj orbiti

zavisi od njihovog položaja. Neke od strategija za razbijanje površine zvezde na elementarne ćelije su prikazane u poglavlju 2 na primerima pojedinačnih modela koji su od značaja za ovu disertaciju (oddeljci 2.2-2.6). Metoda razvijena za potrebe ove disertacije, adaptivna geometrijska mreža, je opisana u poglavlju 3.

Pod detekcijom vidljivosti se podrazumeva algoritam koji za dati vremenski trenutak određuje koje su elementarne ćelije na površini zvezde vidljive iz pozicije posmatrača i samim tim doprinose detektovanom fluksu. Na žalost, većina autora potcenjuje značaj ove faze i ne posvećuje joj dovoljno pažnje u opisima svojih modela ili je u potpunosti preskače. Njen značaj leži u tome što od odabranog algoritma zavise granice primenljivosti modela, odnosno spektar konfiguracija koje se mogu njime opisati. Na primer, ako je algoritam izveden pod pretpostavkom da je projekcija zvezde na ravan nebeske sfere konveksan poligon, to automatski isključuje mogućnost modeliranja akrecionih diskova ili neradijalnih pulsacija na komponentama, itd. U poglavlju 4 se predlaže inovativni pristup ovom problemu koji je dovoljno fleksibilan da može da opiše i sisteme sa pulsirajućim komponentama, hijerarhijske i planetarne sisteme, sisteme sa ekscentričnim ili cirkumbinarnim akrecionim diskom itd.

U poglavlju 5 je izložen postupak sinteze krive sjaja i radijalnih brzina. Postupak računanja izlaznog fluksa u velikoj meri prati Đuraševićev program. Upravo monografija Đuraševića (1991), zajedno sa knjigom Kallrath-a i Milone-a (2009), predstavlja osnovnu literaturu za izradu ove disertacije. Najkrupnija izmena se odnosi na računanje izlaznog zračenja elementarnih ćelija. U Đuraševićevom programu se pretpostavlja da elementarne ćelije zrače kao apsolutno crno telo, dok se u *Infinity*-ju svakoj ćeliji pripisuje jednodimenzionalni Kurucz-ov model atmosfere koji odgovara lokalnim vrednostima temperature i gravitacionog ubrzanja. Druga novina je sinteza krive radijalnih brzina. U *Infinity*-ju je moguće simultano fitovanje krive sjaja i krive radijalnih brzina, odnosno dobijanje kompletnog spektrofotometrijskog rešenja. Takođe je značajno proširena lista podržanih fotometrijskih filtera (sa osam na trinaest).

U 6. glavi se opisuje rešavanje inverznog problema i pokazuje se ispravnost modela na nekoliko sistema koji su analizirani tokom izrade ove disertacije u okviru projekta „Fizika zvezda“ Ministarstva prosvete, nauke i tehnološkog razvoja Republike Srbije.

Objavljeni rezultati, dobijeni Đuraševićevim programom, se porede sa rezultatima iz *Infinity*-ja.

U 7. poglavlju se daje pregled najznačajnih rezultata proisteklih iz disertacije i diskutuje se o mogućim pravcima za buduće istraživanje. U poslednjoj glavi je prikazan listing programa za modeliranje dvojnih sistema.

2. Istorija modeliranja dvojnih sistema

U ovom poglavlju je dat kratak osvrt na istoriju modeliranja dvojnih sistema. Kako je nemoguće ovde pomenuti sve modele i ideje koje su oblikovale polje, izabrano je nekoliko najznačajnijih. Naglasak je stavljen na metode za diskretizaciju površine komponenata i detekciju vidljivosti da bi se prikazala evolucija ideja koje su dovele do algoritma prikazanog u ovoj disertaciji.

2.1. Od otkrića dvojnih zvezda do prvog modela

Krajem XVII veka su bile poznate mnoge vizuelno dvojne zvezde. Smatralo se da su neke od njih i fizički povezane, tj. da čine jedan zvezdani sistem, ali nije bilo čvrstih dokaza za tu tvrdnju. Herschel je bio prvi koji je pokazao da se prividno kretanje nekih zvezda na nebu može objasniti orbitalnim kretanjem oko zajedničkog centra mase u skladu sa Newton-ovim zakonom gravitacije. Poznato je njegovo određivanje orbitalnog perioda sistema koji sadrži Castor (α Gem). Njegov rezultat - 324 godine i 2 meseca (Herschel, 1803) je manji od moderne vrednosti (467 godina), ali je svakako impresivan, posebno s obzirom na dužinu perioda i instrumente kojima je raspolagao. Ovo otkriće je podstaklo formiranje mnogih posmatračkih programa, kao i razvoj metoda za određivanje geometrijskih karakteristika orbite (metode Savary-ja, Thiele-a, Innes-a, ...).

Paralelno sa ovim su se pojavile i ideje da je uzrok promene sjaja kod nekih tipova promenljivih zvezda međusobno pomračivanje komponenata dvojnog sistema. Najpoznatiji primer je Goodricke-ova tvrdnja da je periodična promena sjaja Algol-a (β Per) posledica postojanja velikog objekta koji se kreće oko njega i periodično ga pomračuje (Goodricke, 1783). No, bilo je potrebno više od jednog veka da se nedvosmisleno pokaže da je zaista u pitanju dvojni sistem. Vogel je iz spektroskopskih posmatranja utvrdio da se Algol udaljava od posmatrača pre primarnog minimuma, dok se posle njega približava posmatraču (Vogel, 1890), što je u skladu sa objašnjenjem da se Algol zajedno sa nevidljivim pratiocem kreće oko zajedničkog centra mase. Ovo je ujedno bilo i otkriće novog metoda za utvrđivanje dvojnosti sistema u slučajevima gde to nije bilo moguće učiniti vizuelno. Ova klasa dvojnih zvezda je dobila ime spektroskopski dvojne.

Poslednji deo slagalice neophodan za formulisanje prvog modela eklipsnih dvojnih sistema je bio početak upotrebe fotografije u astronomiji. Do 1900. godine je većina dvojnih zvezda otkrivena vizuelnim posmatranjima. Nova tehnika je donela i prve projekte koji su imali za cilj masovnu pretragu neba za promenljivim zvezdama. To je značajno povećalo količinu i kvalitet dostupnog posmatračkog materijala i omogućilo stvaranje prvog modela dvojnih sistema koji je formulisao Russell 1912 godine.

2.2. Russel-Merrill model

Russell-Merrill-ov model je dugo bio standard u modeliranju eklipsno dvojnih sistema. Čak bi se moglo reći da je do sedamdesetih godina prošlog veka većina rezultata u oblasti dobijena upravo pomoću ovog modela. Njegova upotreba se naglo smanjuje sa pojavom novih modela zasnovanih na Roche geometriji koji mnogo bolje opisuju fiziku dvojnih sistema. Ovu revoluciju je omogućio početak upotrebe računara za rešavanje astrofizičkih problema. Neki od tih modela će biti opisani u narednim odeljcima.

Osnove modela su izložene u Russell-ovim člancima (1912a) i (1912b). Model polazi od pretpostavke da su zvezde sfernog oblika (kasnija proširenja koriste troosni elipsoid) i da se kreću po kružnim putanjama oko zajedničkog centra mase. Zračenje komponentata se opisuje Planck-ovim zakonom. U obzir su uzeti gravitaciono potamnjenje, linearno potamnjenje ka rubovima i jako jednostavan tretman efekta refleksije.

Iako je bilo poznato da u tesno dvojnim sistemima oblik komponentata odstupa od sfernog, to odstupanje nije bilo moguće modelirati analitičkim metodama koje su se tada koristile. Da bi se prevazišao taj problem, Russell je razvio postupak za rektifikaciju krive sjaja. Tim postupkom se uklanjaju efekti koji potiču od blizine komponentata, odnosno posmatranja se svode na oblik na koji se može primeniti Russell-Merrill model. Rektifikacija počinje Fourier-ovom analizom dela posmatrane krive sjaja van pomračenja. Posmatranja se aproksimiraju sledećim konačnim redom:

Jednačina 2.1

$$l(\theta) = \sum_{m=0}^n A_m \cos m\theta + B_m \sin m\theta,$$

gde je θ geometrijska faza definisana u odeljku 3.3, a l izmereni fluks zračenja. Koeficijenti A_1 i A_2 opisuju efekat refleksije, dok koeficijent B_1 opisuje razliku u visini maksimuma krive sjaja pre i posle sekundarnog minimuma (O'Connell-ov efekat). Obično su se pri analizi uzimali u obzir samo članovi do $n = 2$. Ovde će biti dat primer za korekciju deformacije oblika usled blizine druge zvezde (elipsoidna varijacija).

Elipsoidna varijacija dovodi do promene fluksa na sledeći način

Jednačina 2.2

$$l_{comp} = (1 - \frac{1}{2} Nz \cos^2 \theta)(l_{max} - l_{1max} f_1 - l_{2max} f_2).$$

Indeksi 1 i 2 se odnose na primarnu i sekundarnu komponentu. Veličine f_1 i f_2 opisuju smanjenje fluksa usled pomračenja u datoj fazi – tzv. izgubljeno svetlo. z se definiše kao

Jednačina 2.3

$$z = \eta^2 \sin^2 i,$$

gde je η mera odstupanja troosnog elipsoida koji opisuje zvezdu od sfere. Veličina N kombinuje uticaj gravitacionog potamnjenja i potamnjenja ka rubu i definiše se na sledeći način

Jednačina 2.4

$$N = \frac{(15 + x) \left(1 - \frac{K - 2}{4K + 2} y\right)}{15 - 5x} \approx \frac{(15 + x)(1 + y)}{15 - 5x}.$$

K je veličina koja zavisi od stepena centralne kondenzacije zvezde i uzima vrednosti iz intervala 0.0018-0.018. i je inklinacija, x koeficijent potamnjenja ka rubu, a

Jednačina 2.5

$$y = \frac{c_2}{4\lambda T} \frac{e^{\frac{c_2}{\lambda T}}}{e^{\frac{c_2}{\lambda T}} - 1}, \quad c_2 = \frac{hc}{k}.$$

Ako je posmatrani fluks dat sa $l = A_0 + A_2 \cos 2\theta$, u maksimumu krive sjaja će biti $l_{max} = A_0 + A_2$ i $Nz = -4 \frac{A_2}{A_0 - A_2}$. Rektifikovana kriva sjaja se dobija kao

Jednačina 2.6

$$l_{rect} = \frac{(A_0 - A_2)l_{comp}}{A_0 + A_2 \cos 2\theta} = l_{max}(1 - L_1 f_1 - L_2 f_2),$$

gde su $L_1 = \frac{l_{1max}}{l_{max}}$ i $L_2 = \frac{l_{2max}}{l_{max}}$.

Geometrijska faza se popravljja na sledeći način:

Jednačina 2.7

$$\sin^2 \Theta = \frac{\sin^2 \theta}{1 - z \cos^2 \theta}.$$

Na sličan način se koriguje kriva sjaja i za ostale efekte. Ovako pripremljena posmatranja se onda analiziraju da bi se odredili parametri sistema. Karakteristika ovog modela je da se posmatranja nisu direktno poredila sa sintetičkom krivom sjaja, već su se iz njih izračunale određene pomoćne veličine koje su bile pogodne za predstavljanje tablicama ili nomogramima.

Russell je definisao veličinu $\alpha = \alpha(\delta, k, x_1, x_2)$ kao odnos izgubljenog svetla u datoj fazi i izgubljenog svetla pri drugom ili trećem kontaktu pomračenja. Ona zavisi od rastojanja projekcija centara komponenta na ravan nebeske sfere δ (o ovom koordinatnom sistemu će biti više reči u odeljku 3.3.1), odnosa radijusa komponenta $k = \frac{r_2}{r_1}$ i koeficijenata potamnjenja ka rubu x_1 i x_2 . Veza između ovih veličina je prikazana na slici 2.1.

Ako imamo totalno pomračenje, α će biti jednako

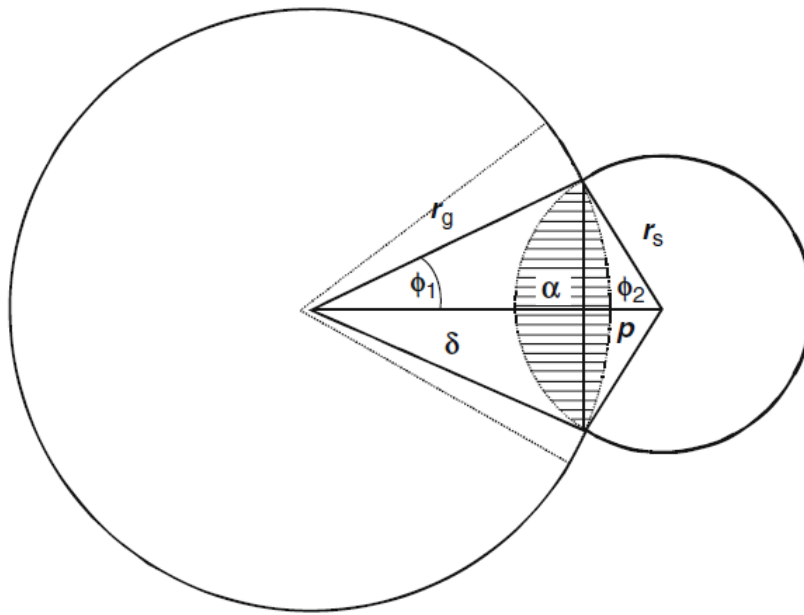
Jednačina 2.8

$$\alpha = \frac{1 - l}{1 - l_{min}},$$

gde je l_{min} posmatrani minimalni intenzitet. Ova jednačina nam daje vezu između α i geometrijske faze. Kao što je označeno na slici 2.1, α će biti proporcionalno pomračenom delu zvezde. Može se pokazati da je:

Jednačina 2.9

$$\alpha = f\left(\frac{\delta}{r_1}, \frac{r_2}{r_1}\right) = f\left(\frac{\delta}{r_1}, k\right).$$



Slika 2.1 Veza između separacije δ , odnosa radijusa komponenta k i α . α je proporcionalan šrafiranoj površini pomračenog dela zvezde. Preuzeto iz Kallrath & Milone (2009).

Za svaku zadatu vrednost k se ova jednačina može invertovati, odnosno napisati u obliku

Jednačina 2.10

$$\frac{\delta}{r_1} = \phi(k, \alpha).$$

Ako uzmemo da je rastojanje između centara komponentata na kružnoj orbiti jedinično, rastojanje njihovih projekcija je za datu geometrijsku fazu θ

Jednačina 2.11

$$\delta^2 = \sin^2 \theta + \cos^2 i \cos^2 \theta = \cos^2 i + \sin^2 i \sin^2 \theta,$$

pa je

Jednačina 2.12

$$\cos^2 i + \sin^2 i \sin^2 \theta = r_1^2 \phi^2(k, \alpha).$$

Ako odaberemo tri karakteristične faze, θ , θ_1 i θ_2 , odnosno njima odgovarajuće vrednosti α , α_1 i α_2 , možemo formirati sledeći količnik:

Jednačina 2.13

$$\frac{\sin^2 \theta - \sin^2 \theta_1}{\sin^2 \theta_1 - \sin^2 \theta_2} = \frac{\phi^2(k, \alpha) - \phi^2(k, \alpha_1)}{\phi^2(k, \alpha_1) - \phi^2(k, \alpha_2)} = \psi(k, \alpha, \alpha_1, \alpha_2).$$

Russell preporučuje da se vrednosti α_1 i α_2 fiksiraju na, redom, 0.6 i 0.9, tako da se uz smene $A = \sin^2 \theta_1$ i $B = \sin^2 \theta_1 - \sin^2 \theta_2$ prethodna jednačina može pisati u obliku

Jednačina 2.14

$$\psi(k, \alpha) = \frac{\sin^2 \theta - A}{B}.$$

Za sve razumne vrednosti argumenata ove funkcije se može formirati tablica i iz nje se interpolacijom može dobiti k za izabranu fazu θ . Obično se odnos radijusa komponentata određuje na osnovu nekoliko tačaka i za konačnu vrednost uzima srednja vrednost.

Neka je θ' faza kada počinje pomračenje (prvi kontakt). Separacija je u tom slučaju jednaka $\delta' = r_1 + r_2$ i $\alpha' = 0$. Isto tako, trenutku početka totalnog pomračenja (drugi kontakt) odgovaraju separacija $\delta'' = r_1 - r_2$ i $\alpha'' = 0$. Iz jednačina 2.12 i 2.14 imamo

Jednačina 2.15

$$\sin^2 \theta' = A + B\psi(k, 0) = \frac{r_1^2}{\sin^2 i} (1 + k)^2 - \cot^2 i,$$
$$\sin^2 \theta'' = A + B\psi(k, 0) = \frac{r_1^2}{\sin^2 i} (1 - k)^2 - \cot^2 i.$$

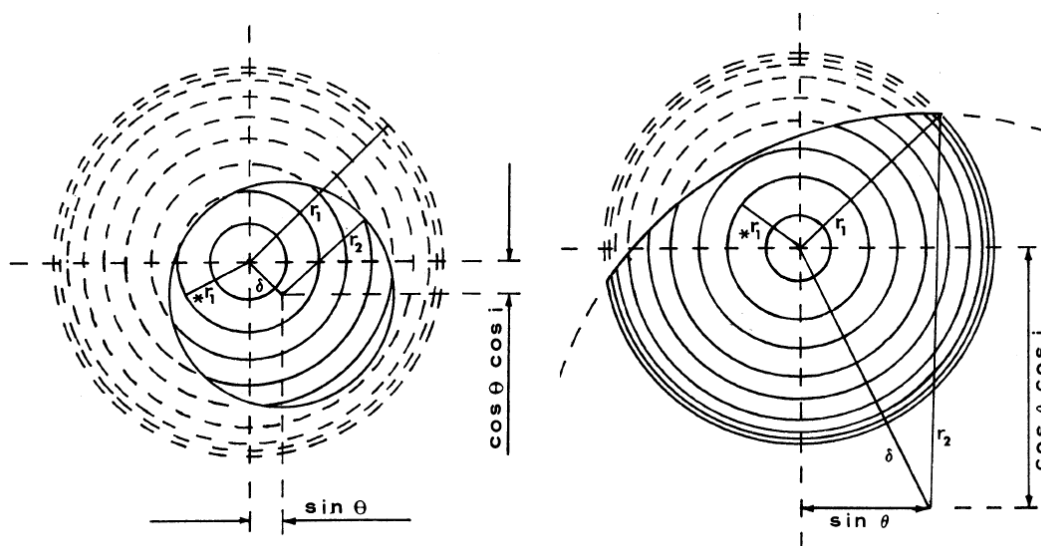
Iz ove dve jednačine se mogu odrediti r_1 i i . Time smo odredili sve geometrijske parametre dvojnog sistema.

2.3. Eclipsing Binary Orbit Program (EBOP)

EBOP predstavlja implementaciju modela Nelson-a i Davis-a (1972) koju je napisao Etzel (1981). Ovaj model pripada grupi tzv. geometrijskih modela, slično Russell-Merrill-ovom modelu, kod kojih se efekti pomračenja mogu odrediti analitičkim putem. Odlikuje ga izuzetna brzina izvršavanja i zato se i dan danas koristi za analizu velikog broja krivih sjaja (Devor (2005) i Tamuz et al. (2006)) ili proučavanje tranzita egzoplaneta (Southworth (2008)).

Osnovne pretpostavke ovog modela su veoma slične Russell-Merrill modelu. Zvezde se modeliraju sferoidima (dvo-osnim elipsoidima) sa linearnim zakonom potamnjenja ka rubu. Efekti blizine druge komponente se zanemaruju, pa je ovaj model primenljiv samo na dobro razdvojene sisteme. Mogu se modelirati i kružne i eliptične orbite. Za razliku od Russell-Merrill modela, *EBOP* proizvodi krive sjaja koje se mogu direktno porediti sa posmatranjima.

Smanjenje fluksa tokom pomračenja se računa na sledeći način. Pokrivena zvezda se podeli na koncentrične prstenove radijusa $r \sin \theta$ i širine $\Delta\gamma = r \cos \theta d\theta$, gde je θ ugaono rastojanje od centra diska zvezde (slika 2.2). Ukupni fluks se dobija integracijom po celoj površini diska zvezde. Za svaki od ovih prstenova je lako izračunati koji deo je pokriven drugom zvezdom. Formule za presek prstena i kruga su jednostavne za implemetaciju u vidu računarskog programa i odlikuju se izuzetno brzim izvršavanjem. Tačnost modela zavisi od izabrane širine $\Delta\gamma$. Na primer, $\Delta\gamma = 5^\circ$ daje relativnu grešku od 10^{-4} , što je dovoljno za većinu primena.



Slika 2.2 Podela pomračene zvezde na koncentrične prstenove. Preuzeto iz Nelson & Davis (1972).

Parametri modela za sferne zvezde na kružnoj orbiti su:

- Relativni površinski sjaj centra diska sekundarne komponente J_2 (u odnosu na primarnu komponentu, tj. $J_1 = 1$)
- Relativni radijus primarne komponente r_1 (u odnosu na veliku poluosu orbite)

- Odnos radijusa sekundarne i primarne komponente $k = \frac{r_2}{r_1}$
- Inklinacija i
- Koeficijenti potamnjenja ka rubovima x_1 i x_2
- Treće svetlo $L_3 = 1 - L_1 - L_2$
- Širina prstenova $\Delta\gamma$

Indeksi 1 i 2 se odnose na primarnu i sekundarnu komponentu. Ako se pretpostavi linearni zakon potamnjenja ka rubu, nenormirana luminoznost komponentata će biti

Jednačina 2.16

$$l_2 = \pi J_2 r_2^2 \left(1 - \frac{x_2}{3}\right),$$

$$l_1 = \pi J_1 r_1^2 \left(1 - \frac{x_1}{3}\right),$$

$$\frac{l_2}{l_1} = k^2 J_2 \frac{1 - \frac{x_2}{3}}{1 - \frac{x_1}{3}}.$$

Odnos luminoznosti zavisi samo od odnosa radijusa, odnosa površinskih sjajeva centra diska i koeficijenata za potamnjenje ka rubu. Normiranje se vrši na ukupnu luminoznost sistema. Ako nema trećeg svetla, onda će biti

Jednačina 2.17

$$L_1 = \frac{l_1}{l_1 + l_2}, \quad L_2 = \frac{l_2}{l_1 + l_2}.$$

Iako model ne uključuje efekte koji potiču od prisustva druge komponente, efekat refleksije je dovoljno značajan da se vrši popravka luminoznosti kojom se obračunava ovaj efekat. Ako se pretpostavi da je sekundarna komponenta tačkasti izvor zračenja, njen doprinos luminoznosti primarne komponente je

Jednačina 2.18

$$L'_1 = L_1 + \Delta L_1, \quad \Delta L_1 = S_1 f(\phi), \quad S_1 = 0.4 A_1 L_2 r_1^2,$$

gde je A_1 albedo primarne komponente, a

Jednačina 2.19

$$f(\phi) = 0.2 + 0.4 \cos \phi + 0.2 \cos^2 \phi, \quad \cos \phi = \sin i \cos \theta$$

tzv. bolometrijski fazni zakon. θ je geometrijska faza. Slično se dobija popravka za doprinos primarne komponente luminoznosti sekundarne komponente.

2.4. Wilson-Devinney model

Wilson-Devinney (WD) je jedan od prvih fizičkih modela zasnovanih na Roche geometriji i u velikoj meri je oblikovao moderni pristup modeliranju eklipsnih dvojnih sistema. Program ima dugu istoriju – prva verzija je objavljena početkom sedamdesetih godina prošlog veka (Wilson & Devinney, 1971) i do danas se aktivno razvija. Poslednja verzija donosi podršku za dodatne fotometrijske filtere, novi algoritam za modeliranje zvezdanih pega i računanje izlaznog fluksa u apsolutnim fizičkim jedinicama (Wilson & Van Hamme, 2013). Osim zvanične verzije, u upotrebi su u mnoge modifikovane verzije, kao što je, na primer, verzija koja uključuje akrecioni disk oko primarne komponente (Zola, 1991) ili verzija koja uključuje efekte pritiska zračenja kod toplih zvezda (Drechsel, et al., 1995).

Diskretizacija površine zvezde se vrši u sfernom koordinatnom sistemu tako da površina svih elementarnih ćelija bude ista. Ako je N zadati broj prstenova po latitudi, koordinate centara elementarnih ćelija će biti

Jednačina 2.20

$$\theta_i = \frac{\pi i - 0.5}{N} \Delta\theta, \quad \Delta\theta = \frac{\pi}{2N}, \quad i = 1, \dots, N,$$

$$\varphi_k = \pi \frac{k - 0.5}{M(\theta_i)} \Delta\varphi, \quad \Delta\varphi = \frac{\pi}{M(\theta_i)}, \quad k = 1, \dots, M(\theta_i),$$

gde je

Jednačina 2.21

$$M(\theta_i) = 1 + 1.3N \sin\left(\frac{\pi i - 0.5}{N}\right).$$

Da bi se odredilo koje se elementarne ćelije vide u datoj fazi, program prvo odredi položaj horizonta bliže zvezde. Ako se posmatra kosinus ugla između pravca vizure i normale na elementarnu ćeliju, očigledno je da fluksu doprinose samo one ćelije kod kojih je $\cos \gamma = \vec{r}_{obs} \cdot \vec{n} < 0$ (u WD modelu, pozitivni smer normale je ka unutrašnjosti zvezde, dok vektor \vec{r}_{obs} gleda ka posmatraču). Tačke kod kojih dolazi do promene

znaka ovog kosinusa se nalaze na horizontu i kroz njih se provlači analitička funkcija koja je predstavljena Fourier-ovim redom. Koeficijenti ovog reda se određuju metodom najmanjih kvadrata i onda se za svaku elementarnu ćeliju na daljoj komponenti proveriti da li je unutar krive koja opisuje horizont.

Doprinos fluksu svake ćelije površine $d\sigma$ se onda računa kao

Jednačina 2.22

$$dl_j(r_s, \cos \gamma, g_l, T_l, \lambda) = G_j D_j R_j I_j \cos \gamma d\sigma,$$

gde su G_j , D_j i R_j faktori koji obračunavaju, redom, efekte gravitacionog potamnjenja, potamnjenja ka rubu i refleksije, a I_j je centralni specifični intenzitet koji se računa za lokalne vrednosti temperature T_l i gravitacionog ubrzanja g_l . Ukupni fluks se dobija kao zbir po svim vidljivim ćelijama.

Program podržava nekoliko modova rada koji su optimizovani za konkretne konfiguracije dvojnih sistema:

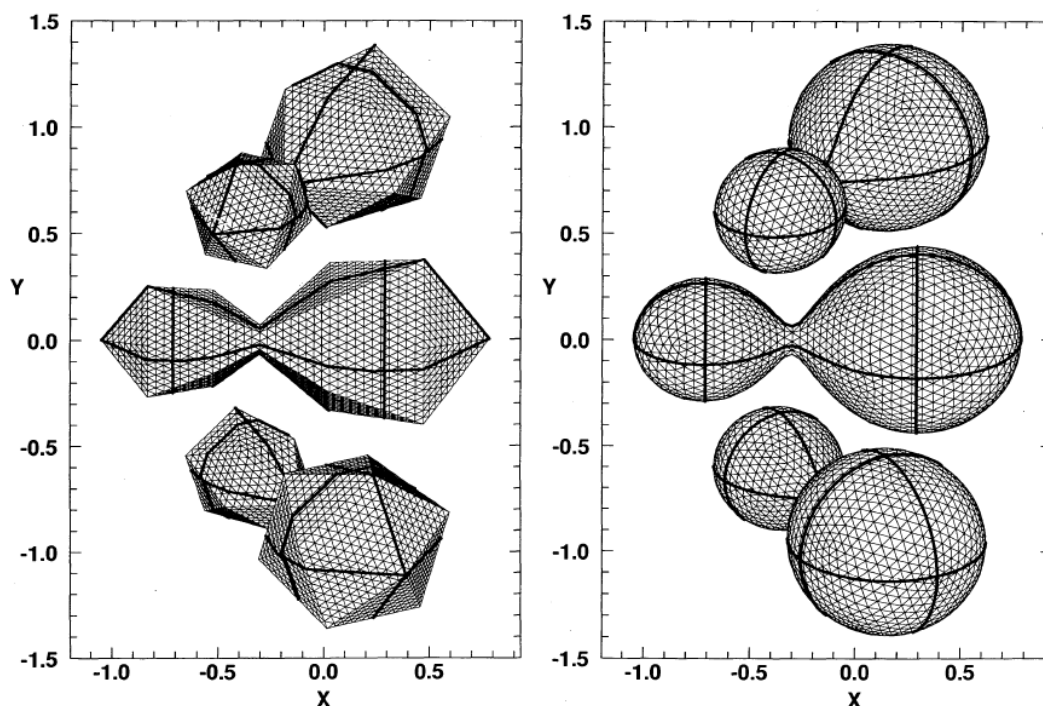
- Mod -1 služi za modeliranje dvojnih sistema koji zrače u X domenu kod kojih je moguće izmeriti dužinu pomračenja kompaktnog objekta.
- Mod 0 je osnovni mod, gde se svi parametri tretiraju kao slobodni parametri.
- Mod 1 je za modeliranje sistema u overkontaktu, kao što su W UMa sistemi.
- Mod 2 služi za modeliranje dobro odvojenih sistema.
- Mod 3 liči na mod 1 (sistemi u overkontaktu), osim što ne pretpostavlja da su komponente u termalnom kontaktu.
- Modovi 4 i 5 pokrivaju slučaj poluodvojenih sistema (sistemi kod kojih jedna komponenta ispunjava svoj kritični Roche oval, a druga, ne). Ako primarna komponenta ispunjava svoj oval, onda se koristi mod 4, u suprotnom mod 5.
- Mod 6 služi za modeliranje sistema kod kojih obe komponente tačno ispunjavaju svoj kritični Roche oval, a barem jedna od njih rotira asinhrono (double contact binaries).

2.5. GDDSYN

GDDSYN je evolucija programa GENSYN koji su razvili Mochnacki i Doughty (1972). GENSYN je zasnovan na Roche geometriji i osim krivih sjaja, računa i profile spektralnih linija. Uglavnom je korišćen za modeliranje W UMa sistema i neka geometrijska rešenja su prilagođena modeliranju sistema ovog tipa, kao što je korišćenje Roche potencijala u cilindričnom koordinatnom sistemu prilikom računanja oblika zvezde (u većini modela se Roche potencijal izražava u sfernom koordinatnom sistemu). Program odlikuje velika brzina izvršavanja i numerička stabilnost.

GDDSYN je doneo dodatna poboljšanja, pre svega na polju geometrije. Detaljan opis modela se može naći u članku Hendry-a i Mochnacki-ja (1992). Značaj ovog modela u kontekstu ove disertacije je što je to prvi objavljeni model koji koristi geodezijsku mrežu, kao i prvi model koji koristi trougaone elementarne ćelije (slika 2.3). O prednostima ovog načina predstavljanja geometrije dvojnog sistema će biti reči u sekciji 3.1.1. Interesantan je i metod za detekciju vidljivosti koji se koristi u ovom programu. Posle određivanja oblika i položaja komponenata u datoj fazi, geodezijska mreža se projektuje na ravan nebeske sfere. Zvezda koja pomračuje, odnosno njen disk, se aproksimiraju konveksnim poligonom. Da bi se utvrdilo koji se delovi pomračene komponente vide, dovoljno je onda proći kroz listu njenih trouglova i proveriti da li se oni seku sa poligonom određenim u prvom koraku. Ukoliko presek postoji (a trougao nije unutar poligona), moguće je tačno odrediti kolika je površina preklapanja, odnosno odrediti parcijalnu vidljivost svakog trougla.

Ova informacija se koristi kao težina koja se kasnije pripisuje trouglu pri računanju izlaznog fluksa. To znači da se i sa malim brojem elementarnih ćelija može postići velika numerička tačnost. Autori tvrde da je njihov program u proseku oko sedam puta brži od Wilson-Devinney programa, kao i da je tačniji za ekvivalentni broj elementarnih ćelija. Program modelira i pege na obe komponente i koristi princip maksimalne entropije da bi odredio optimalni raspored i veličinu pega.



Slika 2.3 Geodezijska mreža iz programa GDDSYN. Preuzeto iz Hendry & Mochnacki (1992).

2.6. Đuraševićev model

Đuraševićev model se već decenijama uspešno primenjuje u analizi aktivnih tesno dvojnih sistema. Glavna karakteristika modela je mogućnost modeliranja akrecionih diskova. Opis prve verzije modela je dat u radu Đuraševića (1991), dok se bitnija proširenja mogu naći u radovima Đurašević et al. (1998) i Đurašević et al. (2008).

Geometrija komponenata sistema se opisuje Roche-ovim ekvipotencijalnim površima, a veličina se zadaje tzv. filling factor-om, koji se definiše kao odnos polarnog radijusa zvezde r_p i polarnog radijusa kritičnog sinhronog Roche ovala r_c .

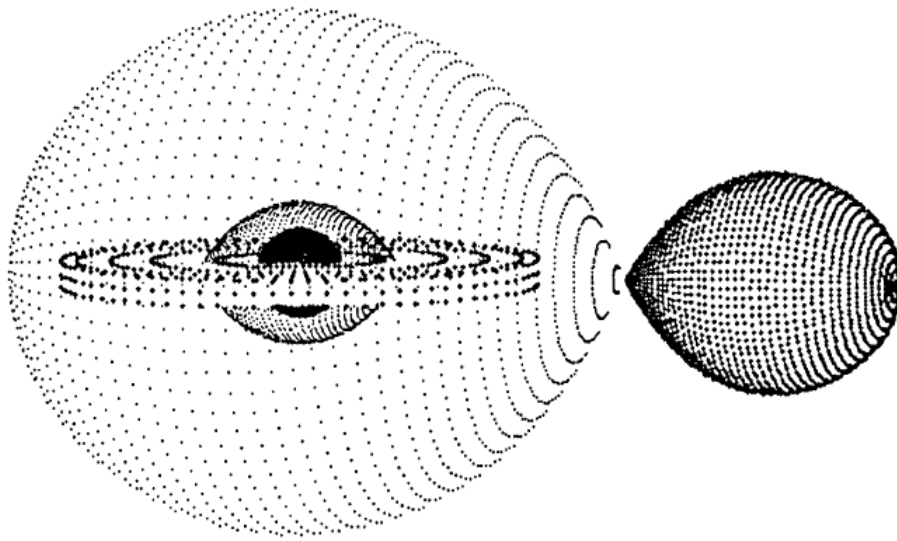
Jednačina 2.23

$$F_i = \frac{r_p}{r_c}$$

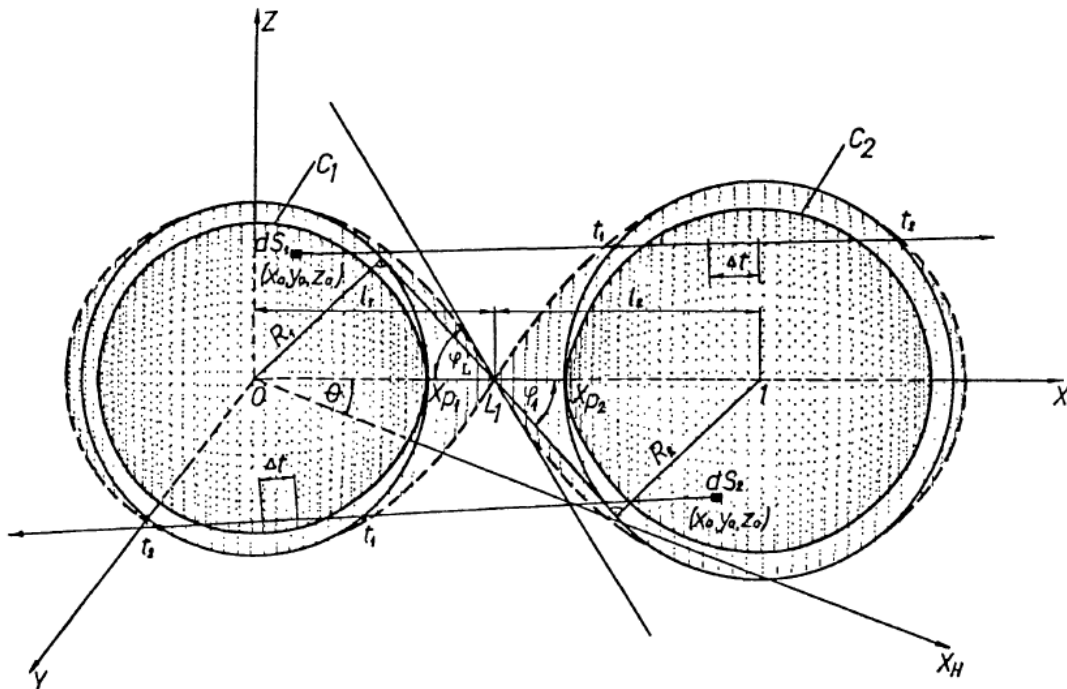
Diskretizacija površine zvezde se vrši pomoću uniformne sferne mreže (ravnomerna raspodela tačaka duž sfernih koordinata θ i φ). Ona je prikazana na slici 2.4. Detekcija vidljivosti se zasniva na efikasnom *ray tracing* algoritmu (slika 2.5). U svakoj fazi se odredi radijus-vektor koji opisuje poziciju posmatrača u odnosu na nepokretni

koordinatni sistem vezan za centar primarne komponente (x-osa leži na pravoj koja prolazi kroz centar sekundarne komponente, y-osa je u orbitalnoj ravni, a z-osa je normalna na orbitalnu ravan). Kroz svaku tačku na pomračenju komponenti se provuče prava paralelna vektoru posmatrača i proverava se da li ona seče Roche površ koja opisuje površinu druge komponente. Đurašević je pokazao da se ova provera može dramatično ubrzati ako se umesto traženja tačke preseka sa Roche površi duž prave sa zadatim korakom, prvo ispituje presek sa sferom opisanom oko komponente koja pomračuje. Iz oblika potencijala je očigledno da će minimalna opisana sfera imati radijus koji je jednak prednjem radijusu zvezde (na x-osi, ka Lagrange-ovoj L1 tački). Ukoliko se ova sfera i prava seku, onda postoji mogućnost da je data elementarna ćelija pomračena. Ako su P i Q tačke preseka, u monografiji Đurašević (1991) se pokazuje da je dovoljno proveriti vrednost potencijala u tri ekvidistantne tačke između P i $\frac{(P+Q)}{2}$. Rezultat je izuzetno brz algoritam koji se odlikuje velikom numeričkom tačnošću. Prisustvo akrecionog diska malo komplikuje izraze za proveru vidljivosti elementarne ćelije (usled ekraniranja primarne komponente diskom), ali se ne menja suština algoritma.

Raspodela temperature na površini komponenta je određena gravitacionim potamnjenjem opisanim von Zeipel-ovim zakonom, efektom refleksije i eventualnim prisustvom zvezdanih pega. Podržana su četiri različita zakona za raspodelu temperature duž radijusa diska, kao i modeliranje aktivnih regiona na rubu diska. Izlazni fluks se računa pod pretpostavkom da elementarne ćelije zrače kao apsolutno crno telo, a za korekciju usled potamnjenja ka rubovima se koriste Claret-ove tablice (Claret & Bloemen, 2011).



Slika 2.4 Geometrija sistema. Preuzeto iz Đurašević (1992b).

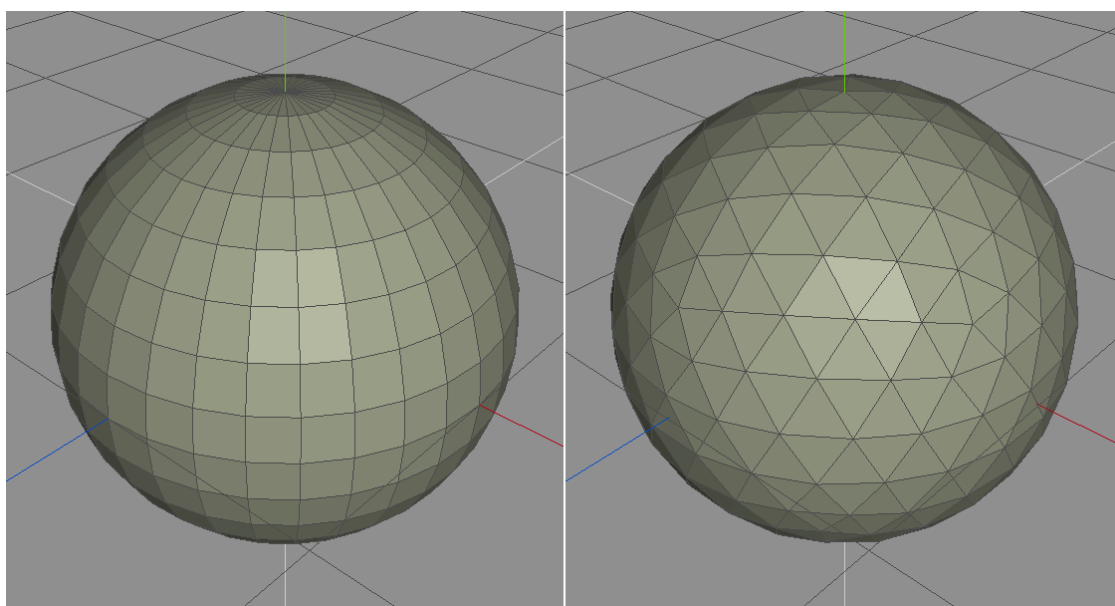


Slika 2.5 Ispitivanje vidljivosti elementarne ćelije. Preuzeto iz Đurašević (1992a).

3. Geometrijska reprezentacija sistema

Komponente dvojnog sistema se u *Infinity*-ju predstavljaju poligonom mrežom. Poligona mreža je skup povezanih poligona u trodimenzionom prostoru koji opisuje neku površ. Iako nije neophodno da svi poligoni budu iste vrste, prilikom implementacije sam se odlučio za mrežu koja sadrži isključivo trouglove. Osim što pojednostavljuje strukture podataka koje reprezentuju mrežu u programu, ovaj izbor znatno olakšava implementaciju algoritma za detekciju vidljivosti, o čemu će detaljnije biti reči u poglavlju 4.

U *Infinity*-ju je moguće modelirati dva tipa objekata – zvezde i akrecione diskove. Različita priroda ovih objekata zahteva i različit pristup u njihovom geometrijskom predstavljanju. Za zvezde se koristi geodezijska mreža, dok se za akrecioni disk koristi osno-simetrična rotaciona mreža (*lathe mesh*). Dobijene poligone mreže se onda razmeštaju na položaje koji odgovaraju njihovim pozicijama na orbiti, koja može biti kružna ili eliptična. Mreže se zatim prosleđuju modulu za detekciju vidljivosti.



Slika 3.1 Sferna (levo) i geodezijska mreža (desno).

3.1. Zvezde

3.1.1. Geodezijska mreža

Geodezijska mreža ima nekoliko prednosti u odnosu na sferne mreže, koje se koriste u velikoj većini modela. Na slici 3.1 s leve strane je prikazana uniformna sferna mreža (elementarne površine se dobijaju tako što se tačke ravnomerno rasporede duž sfernih koordinata θ i φ), a s desne, geodezijska. Ona se sastoji samo od trouglova, što olakšava detekciju vidljivosti. Elementarne ćelije su približno iste veličine (Hendry & Mochnecki, 1992) i nema izražene ose simetrije, čime se izbegavaju problemi sa numeričkom tačnošću koji se javljaju na polovima uniformne sferne mreže. Ova osobina geodezijskih mreža isto tako pogoduje modeliranju neradijalnih pulsacija (Latković, 2013, u pripremi).

Pri konstrukciji geodezijske mreže se polazi od bilo kog poliedra. Svaki trougao početnog poliedra se podeli na zadati broj manjih trouglova i onda se novodobijena temena projektuju na površ koja opisuje oblik zvezde. Najravnomernija podela se dobija ako se za polaznu mrežu uzme ikosaedar, mada su i ostali pravilni poliedri podržani (tetraedar, heksaedar, oktaedar i dodekaedar). Osnovni podaci (broj temena, ivica, stranica i trouglova) za pravilne poliedre su dati u tabeli 1 (Eberly, 2008).

Tabela 1 Osnovni podaci za pravilne poliedre

	Tetraedar	Heksaedar	Oktaedar	Dodekaedar	Ikosaedar
Temena	4	8	6	20	12
Ivica	6	12	12	30	30
Stranica	4	6	8	12	20
Trouglova	4	12	8	36	20

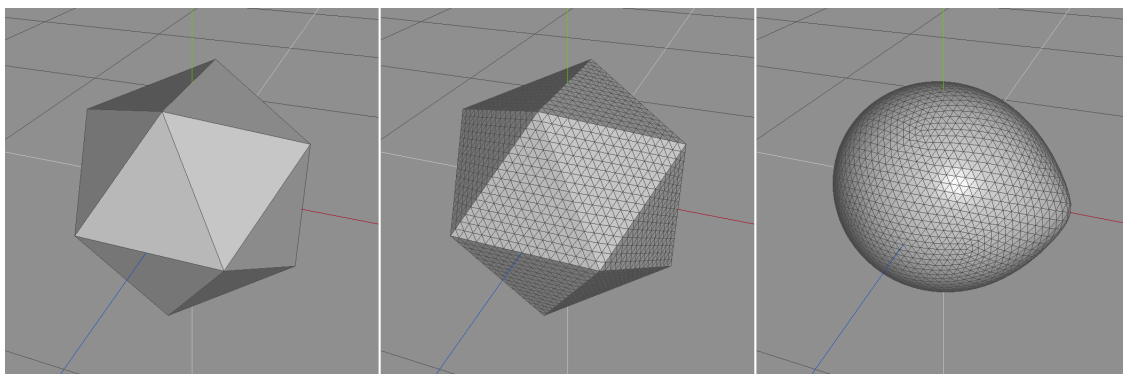
3.1.2. Rekurzivna i frekventna podela trouglova

Algoritam za podelu trouglova (*subdivision*) uzima kao ulaz poligonu mrežu i stepen podele N (celobrojni parametar koji određuje rezultujući broj trouglova). U *Infinity*-ju su implementirana dva algoritma za podelu – rekurzivna i frekventna podela.

Rekurzivna podela je prikazana na slici 3.3. U prvoj iteraciji delimo trougao ABC tako što za svaku ivicu nađemo središnju tačku. Ako je teme A zadato koordinatama (X_0, Y_0, Z_0) , teme B sa (X_1, Y_1, Z_1) onda će koordinate središnje tačke P na ivici AB biti

Jednačina 3.1

$$\left(\frac{X_0 + X_1}{2}, \frac{Y_0 + Y_1}{2}, \frac{Z_0 + Z_1}{2}\right).$$



Slika 3.2 Konstrukcija geodezijske mreže. Polazi se od ikosaedra (levo) i frekventnom podelom se svaka stranica izdela na sitnije trouglove (sredina). Svako teme se projektuje na površ kojom se opisuje površina zvezde. Ovde je prikazana Roche površ (desno).

Isto tako odredimo i koordinate tačaka R i Q na ivicama BC i AC . Trougao ABC zamenimo trouglovima APR , BQP , CRQ i PQR . U sledećoj iteraciji na isti način podelimo svaki od ova četiri trougla. Opisani postupak se ponavlja N puta. Ako je F broj stranica početnog poliedra, posle N podela rezultujući broj trouglova T je dat izrazom

Jednačina 3.2

$$T = F * 4^N.$$

Za ikosaedar je $F = 20$ (videti tabelu 1).

Ekvivalentan izraz za broj trouglova kod frekventne podele je

Jednačina 3.3

$$T = F * N^2.$$

Svaka ivica početnog trougla ABC se podeli na N jednakih segmenata. Koordinate novodobijenih tačaka se najlakše mogu izraziti ako se uvede baricentrični koordinatni sistem. Ako je teme A zadato koordinatama (X_0, Y_0, Z_0) , teme B sa (X_1, Y_1, Z_1) , onda će koordinata bilo koje tačke na pravoj određenoj tim tačkama biti

Jednačina 3.4

$$P = (1 - t) * A + t * B.$$

t je baricentrična koordinata tačke P . Tački A odgovara koordinata $t = 0$, a tački B koordinata $t = 1$. Koordinate novih tačaka na stranici AB su onda

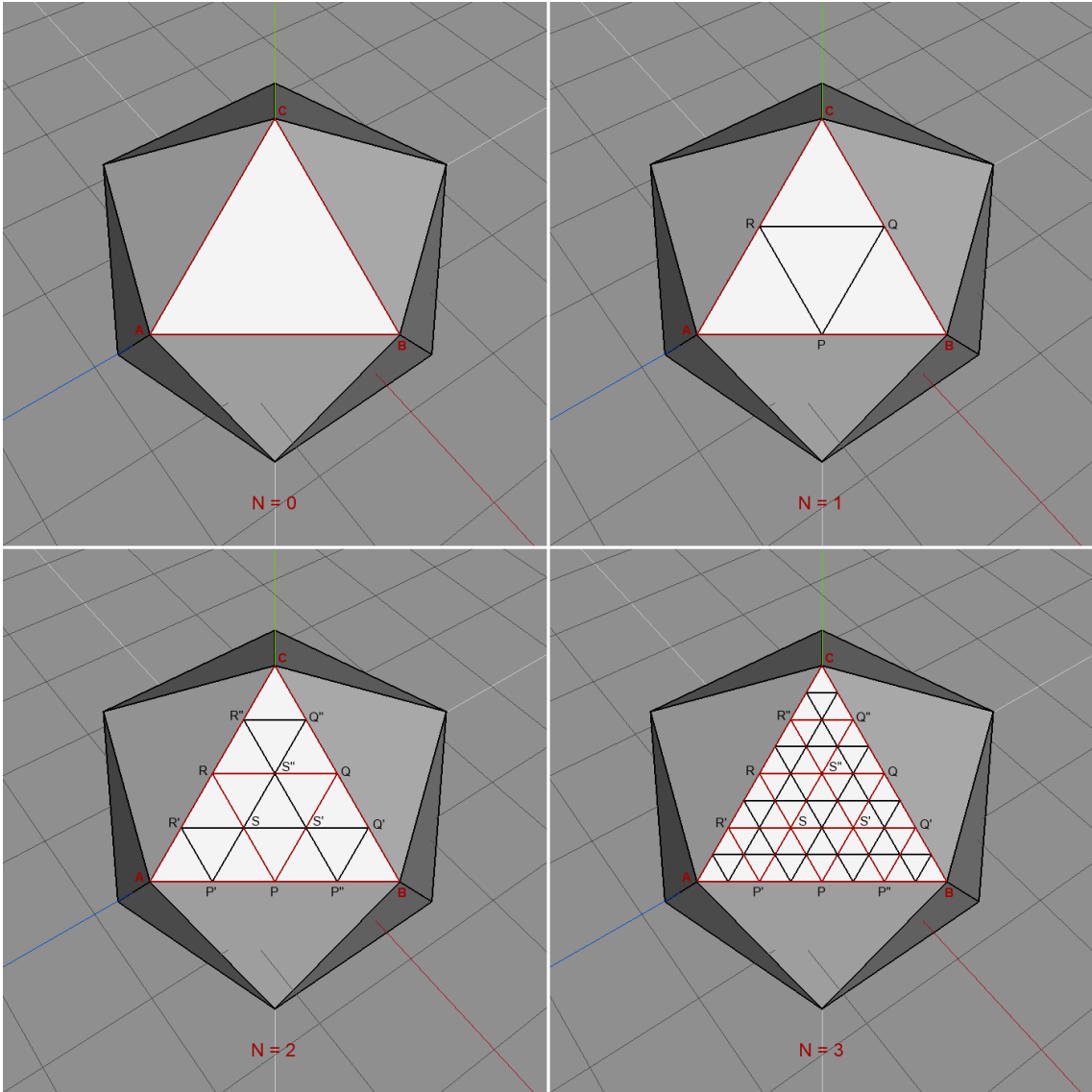
Jednačina 3.5

$$P_j = (1 - t_j) * A + t_j * B,$$

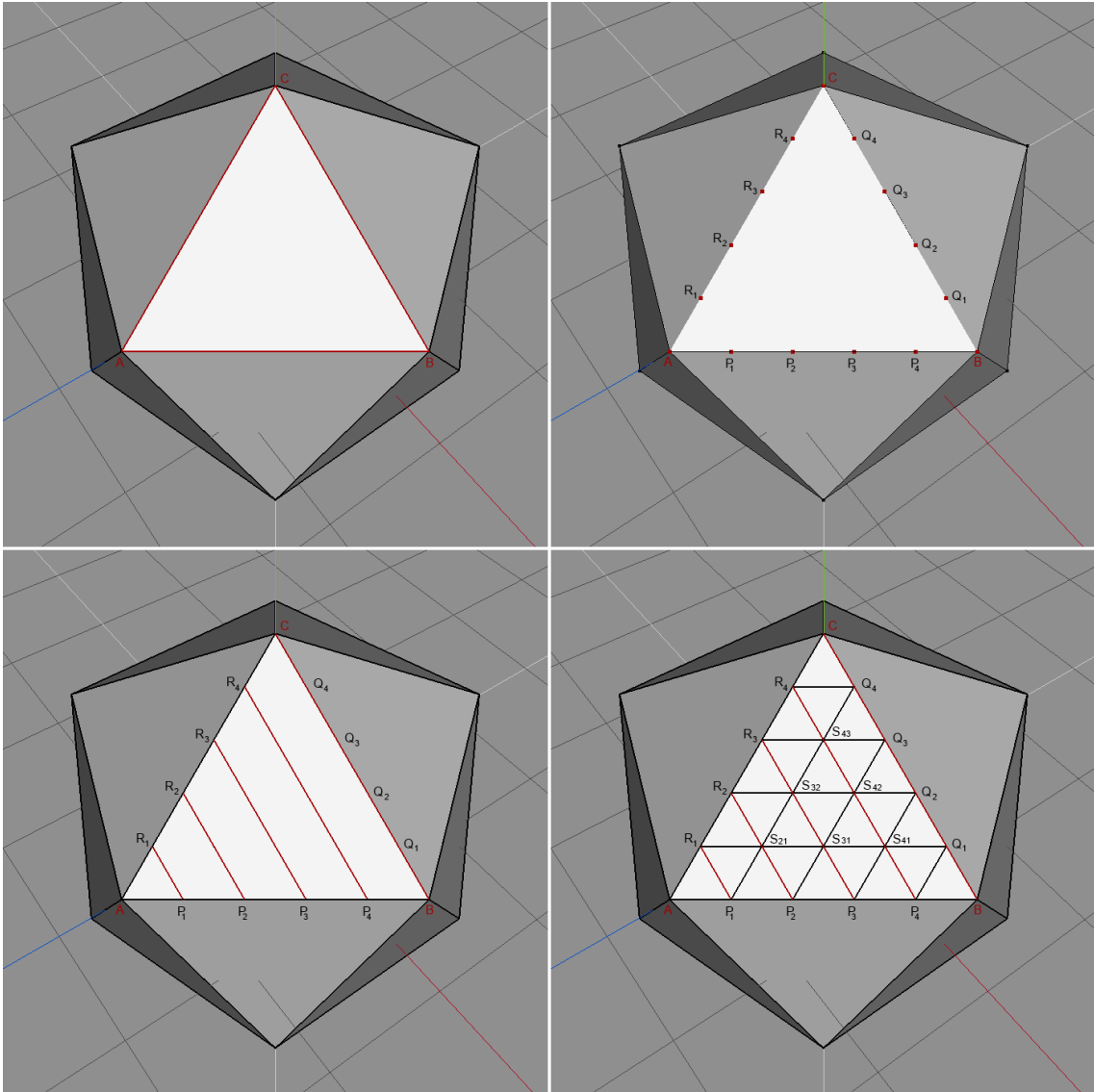
gde je $t_j = \frac{j}{N}$, $j = 1, \dots, N - 1$. Na isti način odredimo i koordinate tačaka R_j na stanici AC . U sledećem koraku konstruišemo prave P_jR_j . Svaku od ovih pravih podelimo na j jednakih segmenata umetanjem $j - 1$ tačke. Neka je S_{jk} k -ta tačka na pravoj P_jR_j ($k = 1, \dots, j - 1$). Od tako dobijenih temena formiramo trouglove AP_1R_1 , $P_1P_2S_{21}$, $P_1S_{21}R_1$, $R_2R_1S_{21}, \dots$ (videti sliku 3.4).

Za osnovnu konstrukciju geodezijske mreže sam odabrao frekventnu podelu, dok za adaptivnu podelu (odeljak 4.2) koristim rekurzivnu podelu.

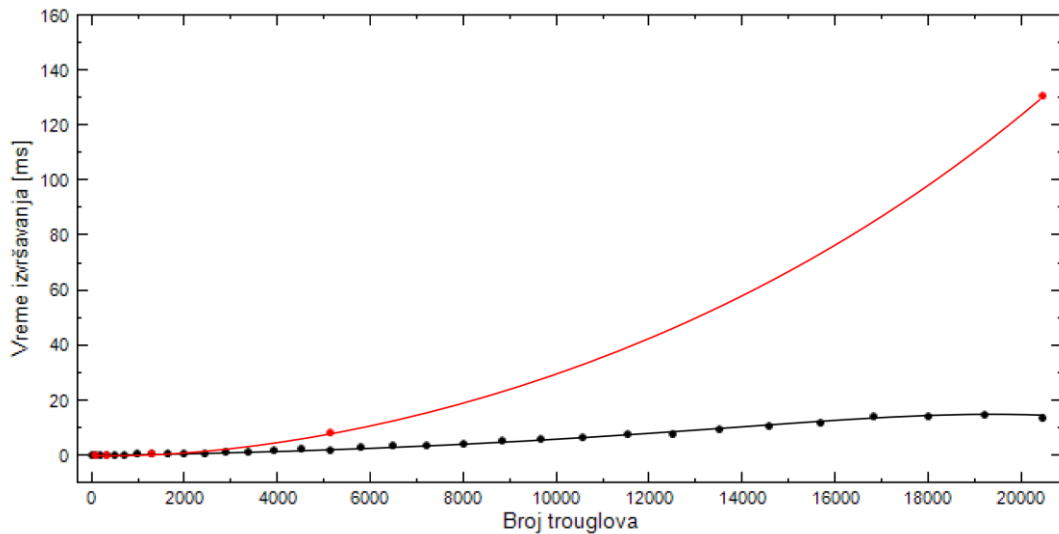
Frekventna podela je nešto komplikovanija za implementaciju, ali je mnogo brža za velike vrednosti N i daje mnogo finiju kontrolu nad rezultujućim brojem trouglova. Sa druge strane, rekurzivna podela je pogodnija kada je potrebno podeliti samo neke trouglove, a ne celu mrežu. Poređenje brzine ove dve metode je prikazano na slici 3.5. Za male vrednosti N nema velike razlike između dva algoritma. Za potrebe adaptivne podele se retko uzima $N > 3$, tako da je izbor rekurzivne podele opravdan.



Slika 3.3 Rekurzivna podeba za nivo podele $N=3$.



Slika 3.4 Frekventna podela za $N=5$.



Slika 3.5 Poređenje vremena izvršavanja dva algoritma za podelu trouglova. Crvene tačke odgovaraju rekurzivnoj podeli, a crne frekventnoj. Razlika dramatično raste sa povećanjem broja trouglova.

3.1.3. Sferne zvezde

Sledeći korak je projektovanje temena mreže na površ koja opisuje površinu zvezde. Ona se opisuje potencijalom. U *Infinity*-ju su implementirani sferni i Roche potencijal. Iako Roche potencijal mnogo tačnije opisuje oblik komponenata, postoje slučajevi u kojima je odstupanje zvezde od sfernog oblika zanemarljivo, pa je moguće dobiti izvesno ubrzanje izvršavanja programa korišćenjem jednostavnijeg potencijala. Primeri su modeliranje tranzita egzoplaneta ili dobro razdvojenih sistema.

Neka je r_1 radijus zvezde u jedinicama velike poluose orbite. Za svako teme izračunamo sferne koordinate θ i φ i postavimo treću koordinatu na $r = r_1$. Ako je koordinata temena zadata sa (x_0, y_0, z_0) onda će nove koordinate (x, y, z) tačke na sferi radijusa r_1 biti:

Jednačina 3.6

$$\theta = \arccos\left(\frac{z_0}{\sqrt{x_0^2 + y_0^2 + z_0^2}}\right),$$

$$\varphi = \arctan\left(\frac{y_0}{x_0}\right).$$

Jednačina 3.7

$$x = r_1 \sin \theta \cos \varphi,$$

$$y = r_1 \sin \theta \sin \varphi,$$

$$z = r_1 \cos \theta.$$

3.1.4. Roche model

U opštem slučaju površinu zvezde opisujemo Roche-ovim modelom. Teorija zvezdane strukture pokazuje da zvezde imaju visok stepen centralne kondenzacije, te da se mogu aproksimirati materijalnim tačkama, što znatno pojednostavljuje izraze za gravitacioni potencijal. Smatra se da je period neradijalnih oscilacija zanemarljiv u odnosu na orbitalni period, tako da oblik zvezde zavisi samo od trenutne jačine polja i da je vremenska skala ovih oscilacija reda veličine hidrostatičke skale vremena. Pretpostavlja se da površinama konstantnog potencijala odgovaraju površine konstantne gustine. Zanemaruju se efekti diferencijalne rotacije, odnosno smatra se da zvezde rotiraju kao kruto telo (Kallrath & Milone, 2009).

Definišemo pokretni desni koordinatni sistem \mathcal{C}_1 sa koordinatnim početkom u centru primarne komponente tako da x-osa uvek prolazi kroz centar sekundarne komponente. y-osa je u orbitalnoj ravni u smeru revolucije sistema. Prvo razmatramo slučaj kružne orbite (Đurašević, 1991).

Na tačku (x, y, z) koja se nalazi na površini zvezde deluje superpozicija gravitacione i centrifugalne sile čiji je potencijal dat izrazom:

Jednačina 3.8

$$\psi = \gamma \frac{m_1}{r_1} + \gamma \frac{m_2}{r_2} + \frac{1}{2} \omega^2 (x^2 + y^2) - \frac{m_2}{m_1 + m_2} \omega_k^2 x,$$

gde je $r_1 = \sqrt{x^2 + y^2 + z^2}$ i $r_2 = \sqrt{(D - x)^2 + y^2 + z^2}$. Kvadrat Keplerove ugaone brzine revolucije sistema dat je izrazom:

Jednačina 3.9

$$\omega_k^2 = \gamma \frac{m_1 + m_2}{D^3}.$$

Ovde su m_1 i m_2 mase komponentata, D rastojanje između njihovih centara, a γ gravitaciona konstanta. Ugaona brzina zvezde se može izraziti preko Keplerove ugaone brzine revolucije sistema kao

Jednačina 3.10

$$\omega = f_1 \omega_k,$$

gde je f_1 parametar asinhronosti. Iz praktičnih razloga se obično uzima da je međusobno rastojanje između komponentata jedinično i uvode se sledeće smene

Jednačina 3.11

$$q = \frac{m_2}{m_1},$$

Jednačina 3.12

$$C_1 = \frac{\psi D}{\gamma m_1},$$

Jednačina 3.13

$$C_1 = \frac{1}{r_1} + q \left(\frac{1}{r_2} - x \right) + \frac{q+1}{2} (x^2 + y^2) f_1^2.$$

Potencijal C_1 je bezdimenziona veličina koja se naziva modifikovanim Kopalovim potencijalom (Kopal, 1959). Za zadati odnos masa q i parametar asinhronosti f_1 on jednoznačno određuje površinu zvezde.

Kao što je već napomenuto u odeljku 3.1.3, svako teme geodezijske mreže projektujemo na površ koja opisuje površinu zvezde tako što je „transliramo“ duž radijalnog pravca. Zato je zgodno potencijal izraziti u sfernom koordinatnom sistemu zdatom jednačinama 3.7, uz sledeće smene:

Jednačina 3.14

$$\begin{aligned} x &= r_1 \sin \theta \cos \varphi = r_1 \lambda, \\ y &= r_1 \sin \theta \sin \varphi = r_1 \mu, \\ z &= r_1 \cos \theta = r_1 \nu. \end{aligned}$$

Jednačina 3.15

$$C_1 = \frac{1}{r_1} + q \left(\frac{1}{\sqrt{1+r^2-2r_1\lambda}} - r_1 \lambda \right) + \frac{q+1}{2} r_1^2 (1-\nu^2) f_1^2.$$

U slučaju ekscentrične orbite, rastojanje između komponentata zavisi od faze, što znači da sila koja deluje na probno telo nije konzervativna, odnosno da se za nju ne može definisati skalarni potencijal. Wilson (1979) je pokazao da je ipak moguće koristiti efektivni potencijal ukoliko je vreme za koje se uspostavlja ravnotežno stanje mnogo kraće od orbitalnog perioda. Efektivni potencijal je dat sledećim izrazom:

Jednačina 3.16

$$C_1 = \frac{1}{r_1} + q \left(\frac{1}{\sqrt{d^2 + r_1^2 - 2r_1 d \lambda}} - \frac{r_1 \lambda}{d^2} \right) + \frac{q+1}{2} r_1^2 (1 - v^2) f_1^2,$$

gde je d rastojanje između komponentata u jedinicama velike poluose orbite. Ono se dobija iz rešenja Keplerove jednačine (detaljnije u odeljku 3.3.3). Pošto vrednost potencijala zavisi od faze, oblik i veličina komponentata takođe zavise od faze. U prvoj aproksimaciji se može očekivati da će zapremina komponentata ostati približno konstantna (Wilson, 1979), pa se iz uslova $V = const$ određuje vrednost potencijala u svakoj fazi. Za referentu vrednost se, po definiciji, uzima zapremina zvezde u periastronu V_p .

Neka je r_{p1} polarni radijus zvezde. Na polu će biti $\theta = 0^\circ$ i $\varphi = 0^\circ$, pa je potencijal dat izrazom:

Jednačina 3.17

$$C_1 = \frac{1}{r_{p1}} + q \frac{1}{\sqrt{d^2 + r_{p1}^2}}.$$

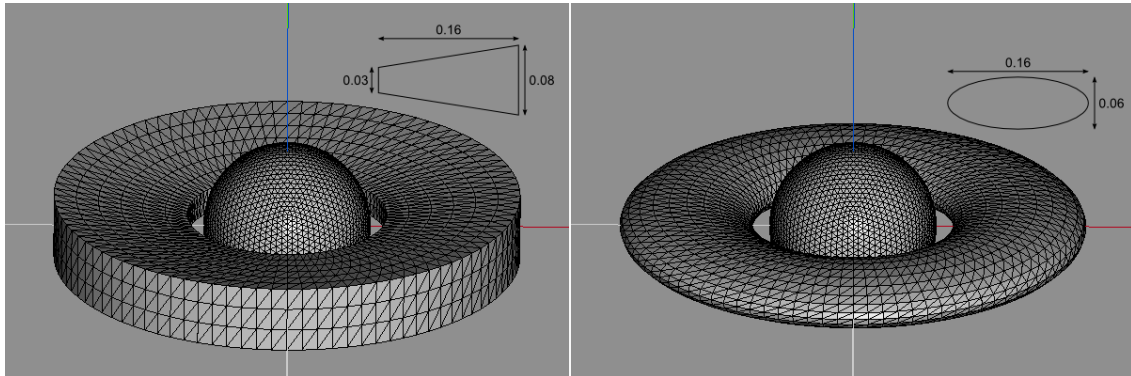
Radijus vektor svakog temena poligone mreže u sfernom koordinatnom sistemu se određuje iz jednačine ekvipotencijala $C = C_1 = const$ Brentovim algoritmom za traženje nule funkcije (Press, et al., 2007), pri čemu je C_1 definisano relacijom 3.16.

Za konstrukciju mreže koja odgovara sekundarnoj komponenti ponavljamo opisani postupak, uz zamenu mesta komponentata. Definišemo na isti način koordinatni sistem C_2 koji je vezan za centar sekundarne komponente. U izrazu za potencijal figurišu odnos masa $q' = 1/q = m_1/m_2$ i parametar asinhronosti sekundarne komponente f_2 .

3.2. Akrecioni disk

Geometrija akrecionog diska se aproksimira osno-simetričnom površi koja se nalazi u orbitalnoj ravni. Mreža koja odgovara toj površi se dobija rotacijom poprečnog preseka diska oko ose koja je normalna na orbitalnu ravan. Zadaje se nizom tačaka koji opisuju presek diska i ravni normalne na orbitalnu ravan. Ukoliko je taj presek trapez onda dobijamo konusni disk, a ako je u pitanju elipsa onda dobijamo toroidalni disk (slika 3.6). Jednostavnosti radi, pretpostavlja se da se disk uvek nalazi oko primarne

komponente, što znači da se koordinate temena izražavaju u koordinatnom sistemu \mathcal{C}_1 vezanom za primarnu komponentu.



Slika 3.6 Konusni i toroidalni disk.

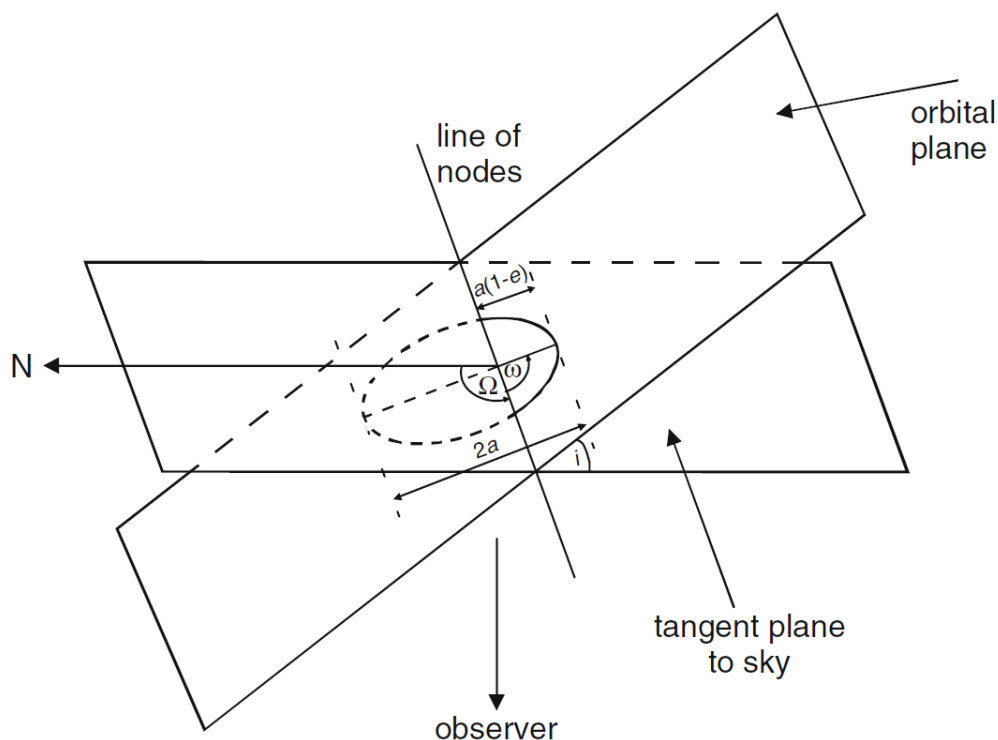
3.3. Orbita

Kada smo odredili oblik komponenata, ostaje još samo da se odredi njihov položaj za svaku pojedinačnu fazu Φ . Faza Φ se naziva još i fotometrijskom fazom i uzima vrednosti iz intervala $[0, 1]$. Po definiciji fazi $\Phi = 0$ odgovara trenutak kada sekundarna komponenta pomračuje primarnu. Zbog pretpostavke da zvezde imaju visoki stepen centralne kondenzacije, problem njihovog kretanja oko zajedničkog centra mase se svodi na klasičan problem dva tela. To kretanje se opisuje u odnosu na centar primarne komponente, tj. opisuje se kretanje sekundarne komponente oko primarne po relativnoj orbiti sa velikom poluosom $a = a_1 + a_2$, periodom $P = P_1 = P_2$ i ekscentričnošću $e = e_1 = e_2$. Orijentacija ove orbite u prostoru se zadaje sa tri ugla (slika 3.7):

- Inklinacija i opisuje nagib orbitalne ravni u odnosu na ravan koja je tangencijalna na nebesku sferu.
- Argument periastrona ω je ugao u orbitalnoj ravni koji zaklapaju pravci ka periastronu i ka uzlaznom čvoru orbite.
- Longituda uzlaznog čvora Ω je ugao u ravni tangencijalnoj na nebesku sferu od referentnog pravca do uzlaznog čvora putanje. Kako referentni pravac možemo proizvoljno izabrati, obično se uzima da je $\Omega = 0$.

Pozicija zvezde na orbiti u fazi Φ se opisuje geometrijskom fazom θ i trenutnom separacijom d . Geometrijska faza je uglovna mera koja odgovara fotometrijskoj fazi Φ i uzima vrednosti između $[0, 2\pi]$. Za kružne orbite je veza između ove dve veličine

jednostavna ($\theta = 2\pi\Phi$), dok je za eliptične orbite izvedena u odeljku 3.3.3. Ova dva slučaja, kružne i eliptične orbite, se razmatraju posebno zbog razlika u praktičnoj implementaciji i efekata koje imaju na krivu sjaja.



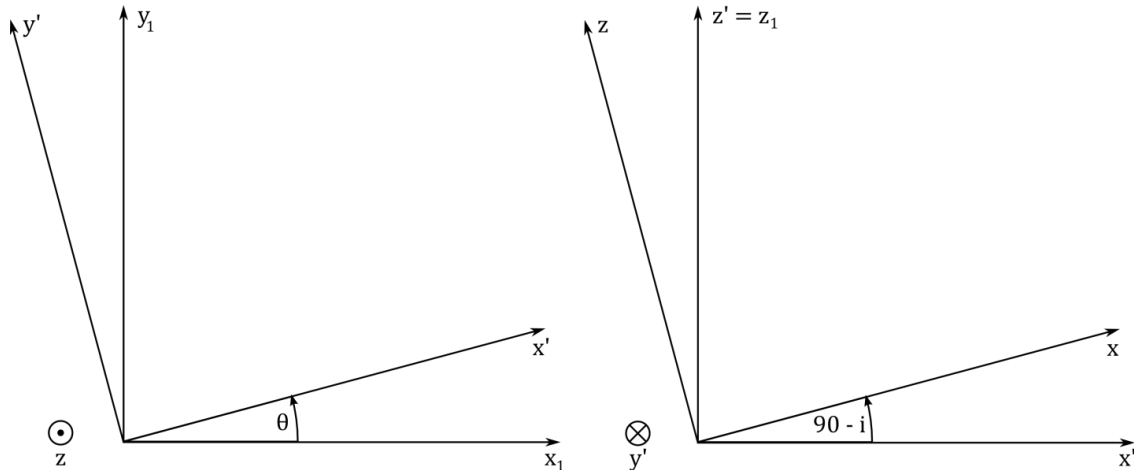
Slika 3.7 Orbitalni elementi. Preuzeto iz Kallrath & Milone (2009).

3.3.1. Koordinatni sistem

Položaj komponenata u svakoj fazi se izražava u koordinatnom sistemu \mathcal{P} vezanom za nebesku sferu. U pitanju je desni koordinatni sistem sa koordinatnim početkom u centru primarne komponente. x-osa je usmerena ka posmatraču, dok je yOz ravan tangencijalna na nebesku sferu. U odeljku 2.1 su definisani lokalni koordinatni sistemi \mathcal{C}_1 i \mathcal{C}_2 u kojima se zadaju položaji elementarnih ćelija u odnosu na centar svake komponente. Veza između koordinatnih sistema \mathcal{C}_1 i \mathcal{P} je prikazana na slici 3.8. Oni se poklapaju u fazi $\Phi = 0$ ukoliko je inklinacija orbite $i = 90^\circ$. Ova transformacija se dobija tako što se sistem \mathcal{C}_1 rotira oko z-ose za geometrijsku fazu θ , a onda se rotira za ugao $90^\circ - i$ oko novonastale ose y' , gde je i inklinacija orbite. Da bi se sistem \mathcal{C}_2 u kome se izražavaju koordinate elementarnih ćelija sekundarne komponente preveo u \mathcal{C}_1 , potrebno je rotirati \mathcal{C}_2 oko z-ose za π i onda ga translirati za rastojanje između komponenata. Jednostavnosti radi, pretpostavljamo da se akrecioni disk (ukoliko postoji

u sistemu) uvek nalazi oko primarne komponente, tj. da se njegov lokalni koordinatni sistem poklapa sa \mathcal{C}_1 .

Ove transformacije se najprirodnije izražavaju preko transformacionih matrica. U opštem slučaju je to 4x4 matrica (jednačina 3.18). Transformaciona matrica za translaciju duž x-ose za t_{14} , duž y-ose za t_{24} i duž z-ose za t_{34} je data jednačinom 3.19, dok su matrice za rotaciju date jednačinama 3.20 - 3.22 (Weisstein, 2013).



Slika 3.8 Transformacija iz lokalnog koordinatnog sistema \mathcal{C}_1 u sistem \mathcal{P} .

Jednačina 3.18

$$M = \begin{bmatrix} a_{11} & a_{12} & a_{13} & a_{14} \\ a_{21} & a_{22} & a_{23} & a_{24} \\ a_{31} & a_{32} & a_{33} & a_{34} \\ 0 & 0 & 0 & 1 \end{bmatrix},$$

Jednačina 3.19

$$T(t_{14}, t_{24}, t_{34}) = \begin{bmatrix} 1 & 0 & 0 & t_{14} \\ 0 & 1 & 0 & t_{24} \\ 0 & 0 & 1 & t_{34} \\ 0 & 0 & 0 & 1 \end{bmatrix},$$

Jednačina 3.20

$$R_x(\varphi) = \begin{bmatrix} 1 & 0 & 0 & 0 \\ 0 & \cos \varphi & \sin \varphi & 0 \\ 0 & -\sin \varphi & \cos \varphi & 0 \\ 0 & 0 & 0 & 1 \end{bmatrix},$$

Jednačina 3.21

$$R_y(\varphi) = \begin{bmatrix} \cos \varphi & 0 & -\sin \varphi & 0 \\ 0 & 1 & 0 & 0 \\ \sin \varphi & 0 & \cos \varphi & 0 \\ 0 & 0 & 0 & 1 \end{bmatrix},$$

Jednačina 3.22

$$R_z(\varphi) = \begin{bmatrix} \cos \varphi & \sin \varphi & 0 & 0 \\ -\sin \varphi & \cos \varphi & 0 & 0 \\ 0 & 0 & 1 & 0 \\ 0 & 0 & 0 & 1 \end{bmatrix}.$$

Ako je (x_1, y_1, z_1) koordinata temena u sistemu \mathcal{C}_1 , onda će koordinate te tačku u sistemu \mathcal{P} biti

Jednačina 3.23

$$(\mathcal{C}_1 \rightarrow \mathcal{P}) \begin{bmatrix} x \\ y \\ z \\ 1 \end{bmatrix} = \begin{bmatrix} x_1 \\ y_1 \\ z_1 \\ 1 \end{bmatrix} R_z(\theta) R_{y'} \left(\frac{\pi}{2} - i \right).$$

Isto tako, ako je (x_2, y_2, z_2) koordinata temena u sistemu \mathcal{C}_2 , onda će koordinate te tačku u sistemu \mathcal{P} biti:

$$(\mathcal{C}_2 \rightarrow \mathcal{P}) \begin{bmatrix} x \\ y \\ z \\ 1 \end{bmatrix} = \begin{bmatrix} x_2 \\ y_2 \\ z_2 \\ 1 \end{bmatrix} R_z(\pi) T(d, 0, 0) R_z(\theta) R_{y'} \left(\frac{\pi}{2} - i \right).$$

Ostaje još samo da se odredi veza između geometrijske i fotometrijske faze. Posebno razmatramo slučajeve kružne i eliptične orbite.

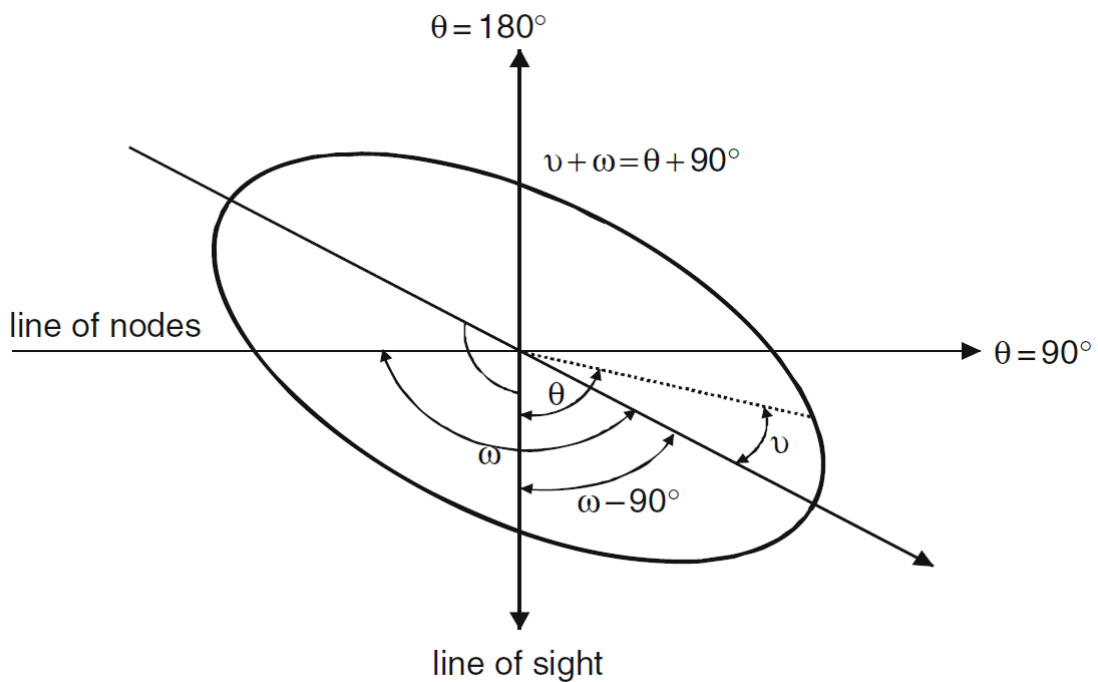
3.3.2. Kružna orbita

Usled dejstva plimskih sila u dvojnog sistema tokom vremena dolazi do sinhronizacije i cirkularizacije orbite (Hut, 1981). Ovo posebno važi za tesno dvojne sisteme sa periodom manjim od 5 dana, za koje su Lucy i Sweeney (1971) našli da velika većina ima kružne orbite. Veza između položaja zvezde i fotometrijske faze Φ je

Jednačina 3.24

$$\theta = 2\pi\Phi.$$

Separacija ne zavisi od faze i uvek je $D = 1$. Minimumi krive sjaja padaju na $\Phi = 0$ (primarni) i $\Phi = 0.5$ (sekundarni).



Slika 3.9 Veza između geometrijske faze i orbitalnih elemenata. Preuzeto iz Kallrath & Milone (2009).

3.3.3. Eliptična orbita

Veza između geometrijske i fotometrijske faze je nešto komplikovanija za eliptične orbite. Da bi se ona izvela potrebno je uvesti nekoliko veličina (slika 3.10):

- Prava anomalija v je ugao između pravaca ka periastronu i ka poziciji sekundarne komponente sa temenom u žiži elipse. Meri se u pravcu suprotnom od kretanja kazaljke na satu.
- Ekscentrična anomalija E je ugao između periastrona i projekcije položaja sekundarne komponente na pomoćni krug sa temenom u centru elipse.
- Srednja anomalija M je ugao koji radijus-vektor prebriše od trenutka prolaska kroz periastron τ do datog trenutka t krećući se srednjom ugaonom brzinom $\frac{2\pi}{P}$.

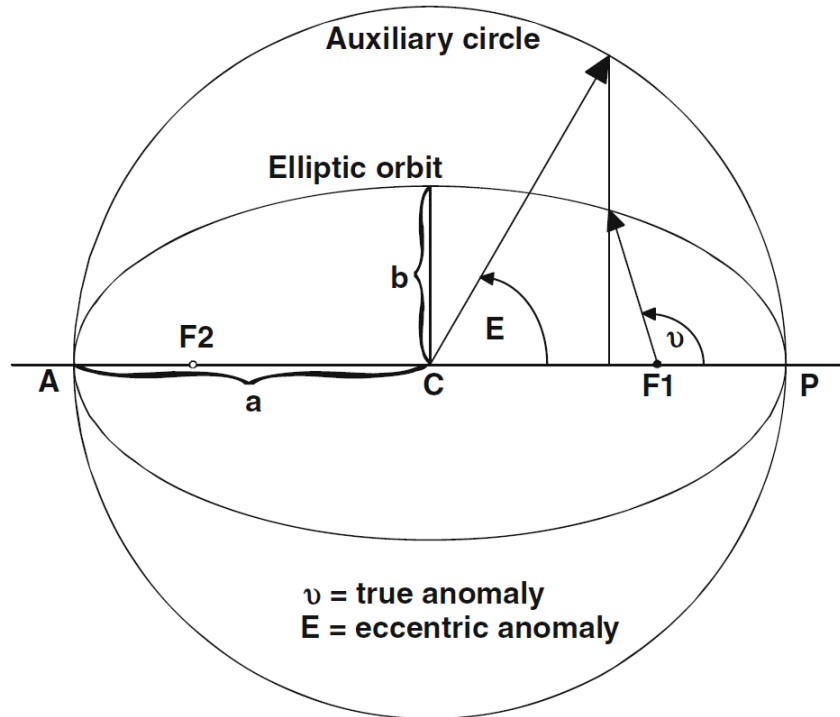
Jednačina 3.25

$$M = 2\pi \frac{t - \tau}{P}.$$

Sa slike 3.9 se vidi da je

Jednačina 3.26

$$\theta = v + \omega - \frac{\pi}{2}.$$



Slika 3.10 Veza između prave i ekscentrične anomalije. Preuzeto iz Kallrath & Milone (2009).

Prava anomalija je povezana sa ekscentričnom anomalijom sledećim izrazom:

Jednačina 3.27

$$\tan \frac{v}{2} = \sqrt{\frac{1+e}{1-e}} \tan \frac{E}{2}$$

Ekscentrična anomalija je sa druge strane povezana sa srednjom anomalijom Keplerovom jednačinom:

Jednačina 3.28

$$E - e \sin E = M.$$

Ova jednačina nema analitičko rešenje i rešava se iterativnim postupkom. Iz definicije srednje anomalije (jednačina 3.25) se vidi da je referentna tačka trenutak prolaska kroz periastron. Sa druge strane, fazu merimo od primarnog minimuma, što daje vezu:

Jednačina 3.29

$$M = 2\pi\Phi + M_0.$$

Sa slike 3.9 se vidi da je prava anomalija koja odgovara primarnom minimumu $v_0 = 90 - \omega$, pa se M_0 lako računa iz jednačina 3.27 i 3.28.

Kada smo odredili geometrijsku fazu θ , koordinate centra sekundarne komponente će biti:

Jednačina 3.30

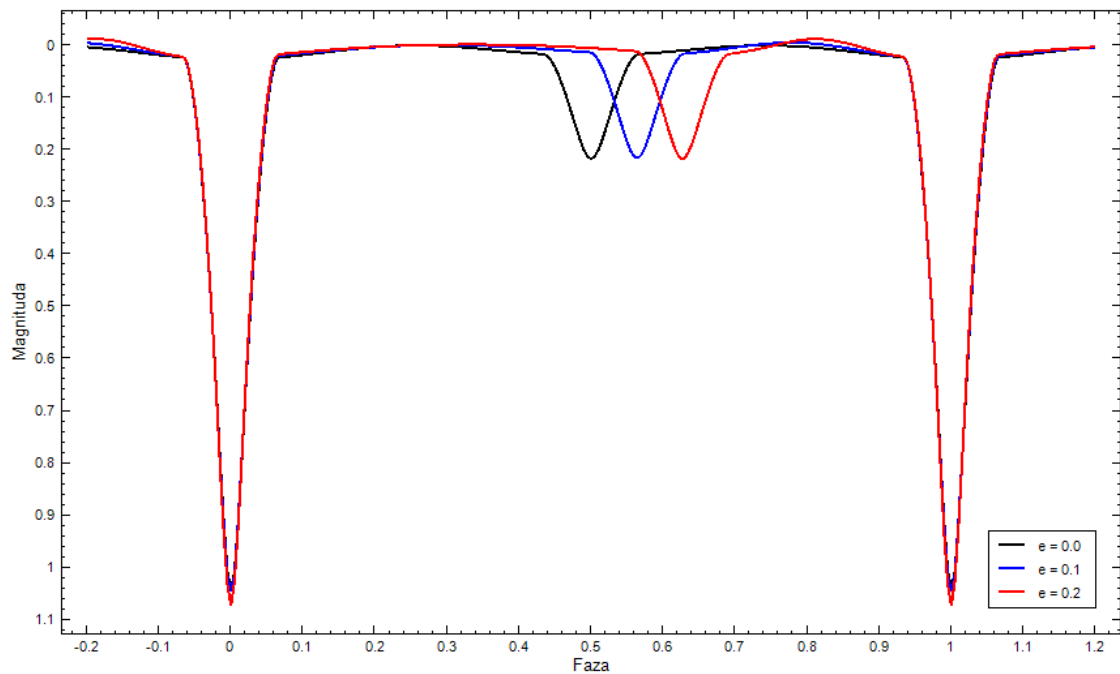
$$\begin{aligned}x &= D \cos \theta, \\y &= D \sin \theta, \\z &= 0,\end{aligned}$$

gde je separacija data sa:

Jednačina 3.31

$$D = 1 - e \cos E.$$

Uticaj ekscentričnosti na izgled krive sjaja se može videti na slici 3.11.



Slika 3.11 Uticaj ekscentričnosti na izgled krive sjaja.

4. Detekcija vidljivosti

Sledeći korak u sintezi krive sjaja je modeliranje pomračenja, odnosno određivanje mape vidljivosti u datoj fazi. Mapa vidljivosti χ_i je karakteristična funkcija koja se pripisuje svakoj elementarnoj ćeliji i definiše se na sledeći način (Kallrath & Milone, 2009):

Jednačina 4.1

$$\chi_i = \begin{cases} 1, & \text{ako je ćelija } i \text{ vidljiva} \\ 0, & \text{ako ćelija } i \text{ nije vidljiva} \end{cases}$$

Ukoliko je posmatrana elementarna ćelija vidljiva (tj. nije zaklonjena drugom komponentom ili akrecionim diskom), onda njeno zračenje stiže do posmatrača i doprinosi ukupnom fluksu sistema u toj fazi.

Algoritam za određivanje mape vidljivosti je jedan od značajnijih aspekata modela dvojnog sistema, jer pretpostavke pod kojima je on izveden u velikoj meri određuju koji se efekti i konfiguracije mogu modelirati. Poželjno je da algoritam pretpostavlja što manje kada je u pitanju geometrijska reprezentacija sistema i da bude što jednostavniji za implementaciju, a da sa druge strane bude dovoljno efikasan da omogućava računanje u razumnom vremenskom roku. Primer za ograničenja usled neispunjenosti prvog uslova je algoritam iz modela GDDSYN (Hendry & Mochnacki, 1992) koji pretpostavlja da su projekcije komponenata na ravan tangencijalnu na nebesku sferu konveksni poligoni, što, recimo, onemogućava modeliranje akrecionih diskova kod kojih ovaj uslov nije ispunjen. Primer za drugi uslov je model dr Đuraševica (1991), kod kojeg bi matematička formulacija uslova za pomračenje kod komponenata na kojima je površina perturbovana usled neradijalnih pulsacija bila izuzetno komplikovana. U ovoj tezi se predlaže novi algoritam koji zadovoljava oba ova uslova.

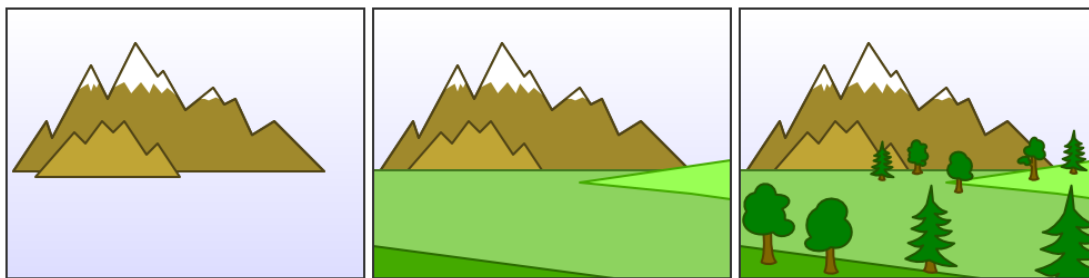
4.1. Inverzni slikarski algoritam

4.1.1. Opšti pregled

U osnovi algoritma je varijanta tzv. slikarskog algoritma iz polja računarske grafike (Foley, et al., 1995). Ime potiče od činjenice da se pri slikanju obično prvo crtaju objekti najudaljeniji od posmatrača, pa onda sve bliži i bliži (slika 4.1). Kako se dodaju novi

objekti na platno, oni prekrivaju objekte koji se nalaze iza njih. Ovo jednostavno zapažanje se može iskoristiti za određivanje koje se elementarne ćelije vide u datoj fazi.

Formiramo dva niza – jedan koji sadrži sve elementarne ćelije (od svih komponenti), sortirane po udaljenosti od posmatrača (najdalji objekat je prvi u nizu) i jedan pomoćni niz koji čuva spisak vidljivih ćelija. Drugi niz je na početku algoritma prazan. Uzmemo prvi član iz niza sa elementarnim ćelijama (najudaljeniji od posmatrača) i dodamo ga u pomoćni niz. Za drugi član niza proverimo da li pokriva prvi. Ako da, onda uklonimo prvi član iz pomoćnog niza i dodamo drugi. Ako ne, onda samo dodamo drugi član. Za svaku sledeću elementarnu ćeliju iz prvog niza proveravamo da li pokriva bilo koju ćeliju iz pomoćnog niza i iz njega uklonimo sve pokrivene ćelije. Na kraju ovog procesa pomoćni niz sadrži sve vidljive ćelije, tj. predstavlja mapu vidljivosti.



Slika 4.1 Slikarski algoritam. Prvo se crtaju najudaljeniji objekti (planina), pa onda bliži (dolina) i na kraju objekti najbliži posmatraču (drveće).

Algoritam u ovom obliku je izuzetno neefikasan jer uključuje veliki broj operacija uklanjanja ćelija iz pomoćnog niza. Mnogo bolji pristup je da se ćelije sortiraju tako da je ćelija najbliža posmatraču prva u nizu, tj. obrnutim redom u odnosu na originalni slikarski algoritam. Otuda i naziv ove varijante – inverzni slikarski algoritam. Za ćeliju koja je najbliža posmatraču je garantovano da će biti vidljiva i nju automatski stavljamo u pomoćni niz. Za svaku sledeću ćeliju se proverava da je preklapljena nekom od ćelija iz pomoćnog niza. Ako nije, onda je ta ćelija vidljiva i dodaje se u pomoćni niz. U suprotnom se preskače i prelazi na sledeći element niza. Na kraju dobijamo isti rezultat kao i u originalnom algoritmu, mapu vidljivosti. Prednost ovog pristupa je to što se elementarne ćelije samo dodaju na kraj pomoćnog niza, tj. nema uklanjanja i pomeranja elemenata što dovodi do značajnog ubrzanja u odnosu na originalni algoritam.

Glavna prednost inverznog slikarskog algoritma je to što radi direktno na elementarnim ćelijama i samim tim ne zavisi od oblika potencijala kojim se opisuje površina

komponentata. Ovo otvara mogućnost jednostavnog proširenja na egzotičnije slučajeve kao što su hijerarhiski sistemi, sistemi sa ekscentričnim ili cirkumbinarnim akrecionim diskom, planetarni sistemi itd. Jedan uspešan primer je i proširenje modela na sisteme koji sadrže komponente sa neradijalnim pulsacijama (Latković, 2013, u pripremi). Na slici 4.2 se mogu videti primeri za neke interesantnije slučajeve.

4.1.2. Detaljan prikaz

U prethodnom odeljku je prikazan algoritam u opštim crtama. Ovde će biti dat detaljniji prikaz.

Ulazni podatak za algoritam je niz poligonih mreža kojima se predstavljaju komponente sistema. Koordinate temena poligonih mreža su date u koordinatnom sistemu \mathcal{P} vezanom za nebesku sferu. Definicija tog sistema, kao i transformacione jednačine su date u odeljku 3.3.1.

Prvi korak je uklanjanje elementarnih ćelija koje su okrenute nauprot posmatraču. Ako je pravac ka posmatraču određen vektorom $\vec{p}(1, 0, 0)$, sa slike 4.3 vidimo da je elementarna ćelija vidljiva samo ako je ispunjen uslov:

Jednačina 4.2

$$\cos \gamma = \vec{p} \cdot \vec{n} > 0,$$

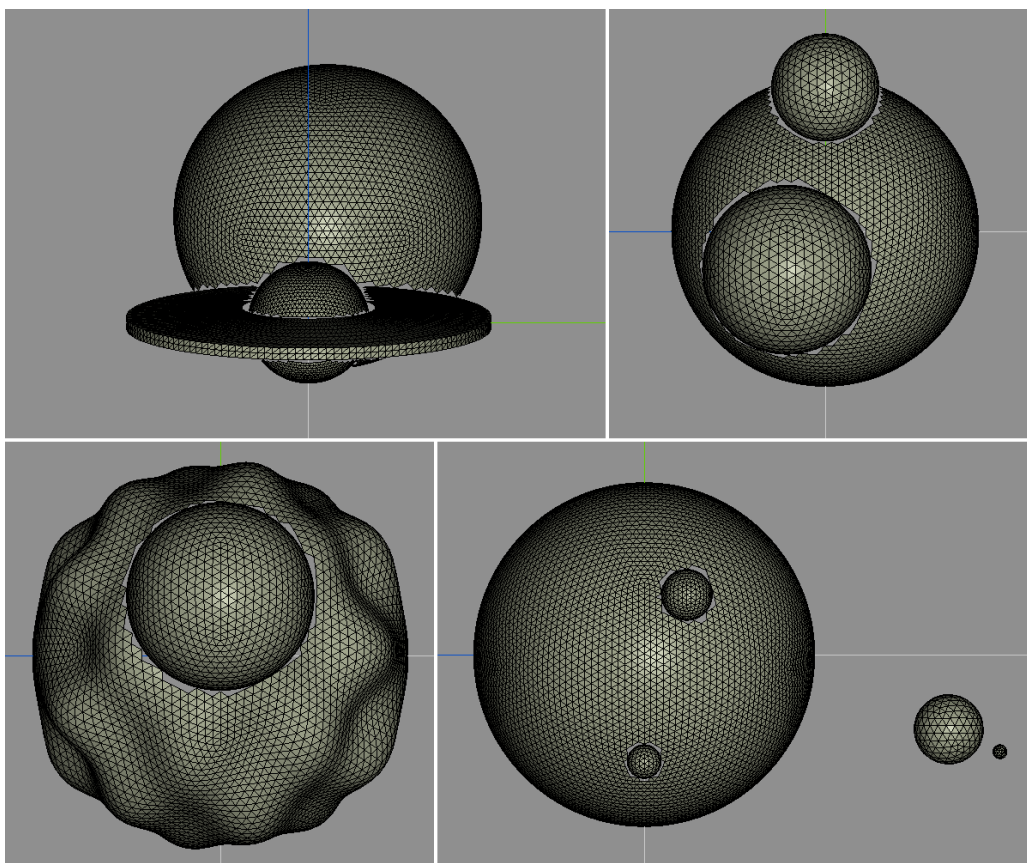
gde je \vec{n} vektor normale na elementarnu ćeliju. Ovo je potreban, ali ne i dovoljan uslov.

Drugi korak je projektovanje mreže na ravan nebeske sfere. U pitanju je ortogonalna projekcija duž x-ose, tako da se koordinate tačke u ravni nebeske sfere dobijaju jednostavnim zanemarivanjem x-komponente temena poligone mreže:

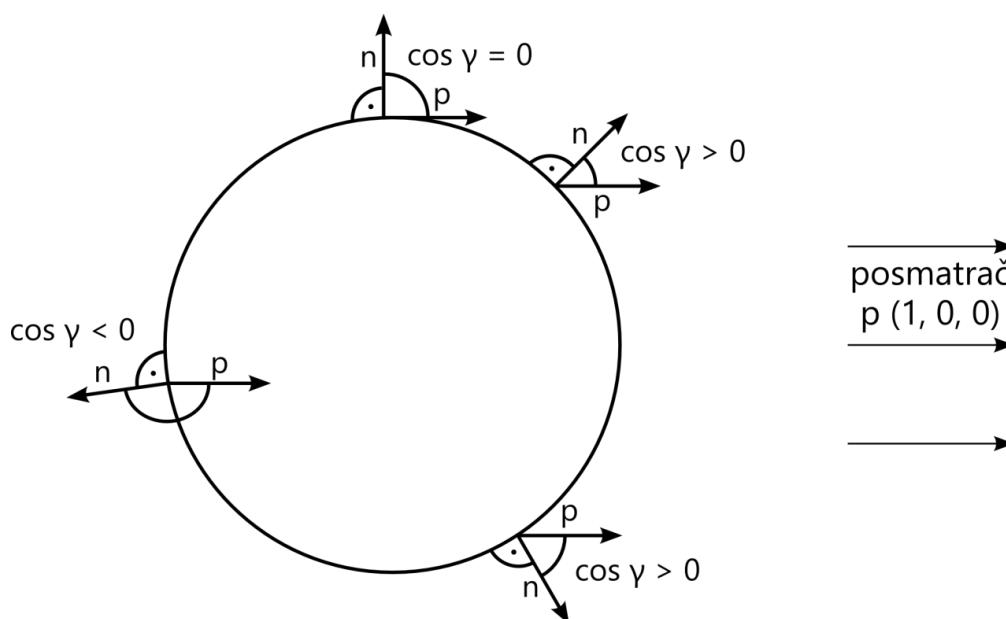
Jednačina 4.3

$$\begin{pmatrix} x \\ z \\ y \end{pmatrix} \xrightarrow{\mathcal{P} \rightarrow \mathcal{P}'} \begin{pmatrix} y \\ z \end{pmatrix}.$$

U ovom koraku je potrebno sačuvati udaljenost temena mreže od posmatrača. U suštini, posmatrač je smešten na x-osi u beskonačnosti u odnosu na sistem, ali je za potrebe sortiranja elementarnih ćelija dovoljno pretpostaviti da je posmatrač na nekoj konačnoj, proizvoljnoj udaljenosti koja je dovoljno daleko od sistema, recimo na koordinatama $(5, 0, 0)$.

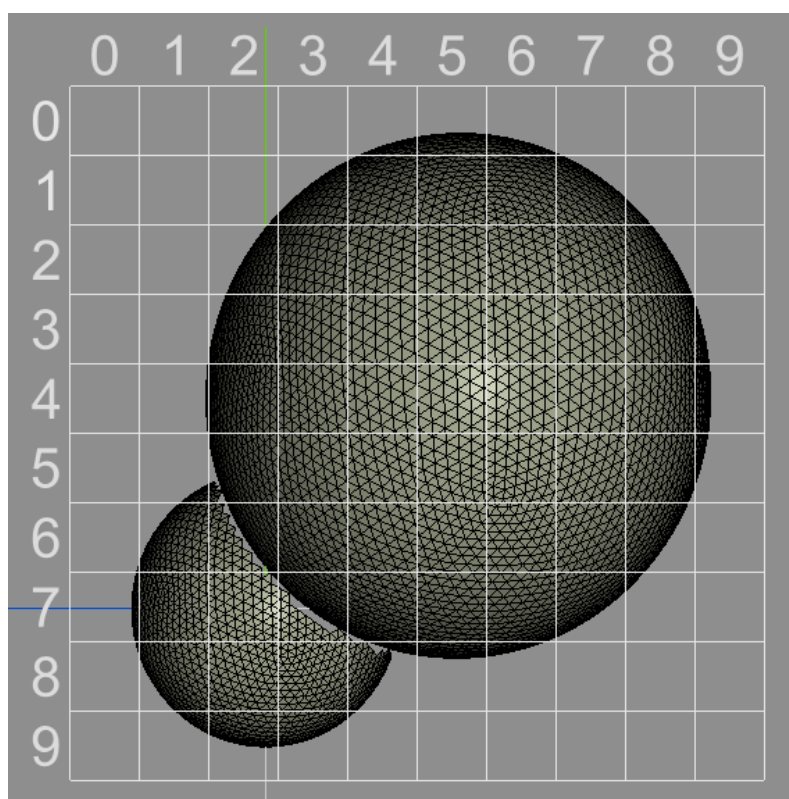


Slika 4.2 Demonstracija algoritma za detekciju vidljivosti. Gore levo: tesno dvojni sistem sa akrecionim diskom oko primarne komponente. Gore desno: trojni sistem. Dole levo: sistem sa pulsirajućom komponentom; amplituda pulsacije je preuveličana da bi samopomračenje delova površine primara bilo jasnije. Dole desno: planetni sistem; planete se modeliraju sferama.

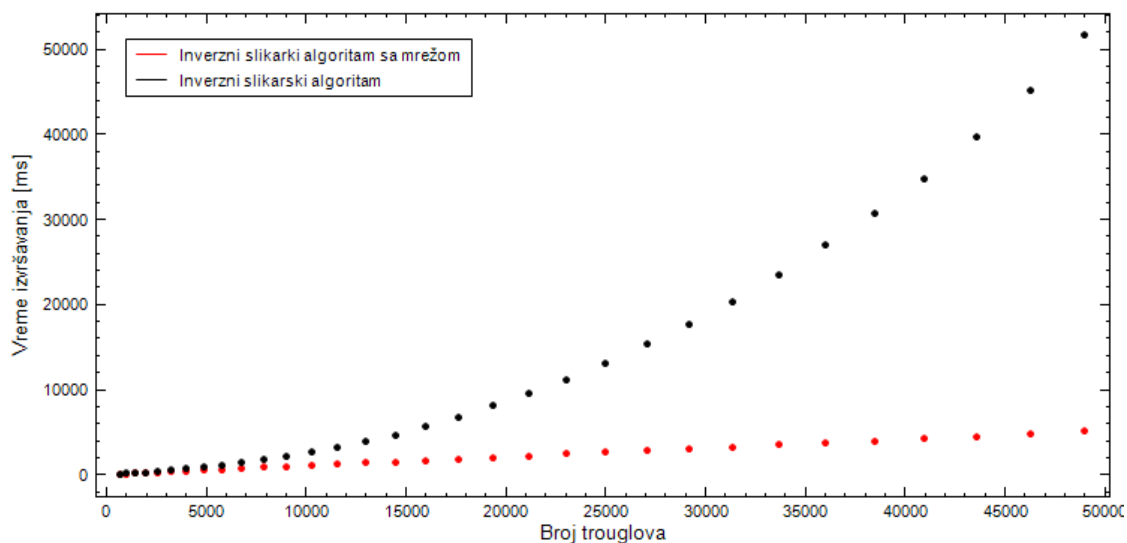


Slika 4.3 Uklanjanje elementarnih ćelija koje su orijentisane od posmatrača.

Sledeći korak je formiranje niza koji sadrži sve elementarne ćelije u sistemu i njegovo sortiranje po udaljenosti od posmatrača, od najbliže do najdalje ćelije. Prva ćelija u nizu je uvek vidljiva i nju odmah dodajemo u pomoćni niz u kojem se čuvaju pomoćne ćelije. Sa slike 4.4 se odmah vidi jedno moguće poboljšanje algoritma. Ako preko projekcije sistema preklopimo tabelu dimenzija $n \times m$ i ako utvrdimo da se elementarna ćelija projektuje u recimo ćeliju tabele (i, j) onda je dovoljno proveriti da li je preklopljena vidljivim elementarnim ćelijama samo iz okolnih ćelija tabele (za $i \pm 1$ i $j \pm 1$, ukupno devet ćelija). Ovo značajno smanjuje broj neophodnih provera i u velikoj meri ubrzava algoritam. Ako veličinu ćelije tabele odaberemo tako da prosečno sadrži do desetak elemenata, onda će vreme izvršavanja algoritma praktično linearno rasti sa ukupnim brojem elementarnih ćelija u sistemu. Poređenja radi, vreme izvršavanja izvornog inverznog slikarskog algoritma opisanog u prethodnom odeljku je proporcionalno kvadratu ukupnog broja elementarnih ćelija (slika 4.5).



Slika 4.4 Inverzni slikarski algoritam sa mrežom.



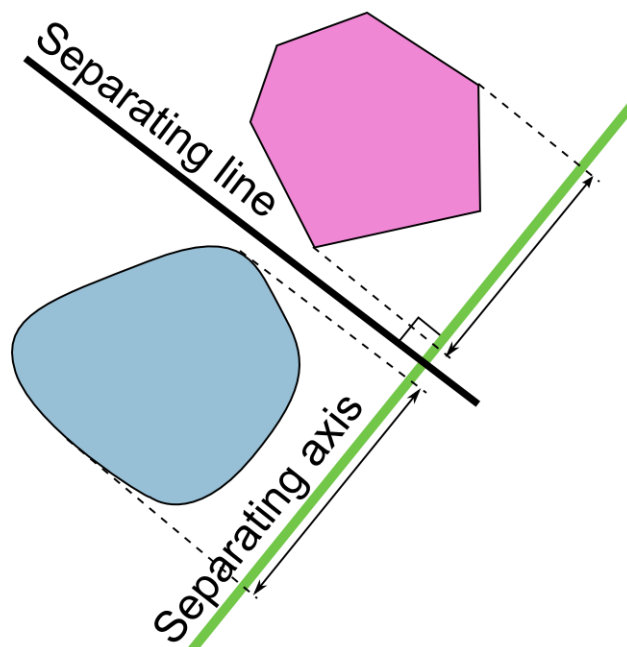
Slika 4.5 Poređenje vremena izvršavanja inverznog slikarskog algoritma i modifikovanog algoritma opisanog u ovom odeljku. Kod originalnog algoritma ona zavisi od kvadrata broja elementarnih ćelija, dok kod modifikovanog algoritma linearno raste sa brojem trouglova.

Iako se u opštem slučaju poligona mreža može sastojati od poligona sa proizvoljnim brojem stranica, ovde zahtevamo da ona bude formirana isključivo od trouglova. Prvo, za trouglove postoje jako efikasni algoritmi za utvrđivanje da li se međusobno preklapaju. Drugo, za njih je garantovano da su koplanarni i da će njihova projekcija na ravan nebeske sfere uvek biti trougao. Sa druge strane se ne gubi na opštosti, jer se svaki poligon može „razbiti“ na niz trouglova. Za određivanje da li se dva trougla preklapaju se koristi implementacija teoreme razdvajajuće prave (*separating axis theorem*) opisana u članku Cozic-a (2006). Ova teorema tvrdi da se dva konveksna poligona u ravni ne seku ako i samo ako postoji prava na kojoj se projekcije ova dva poligona ne preklapaju (slika 4.6).

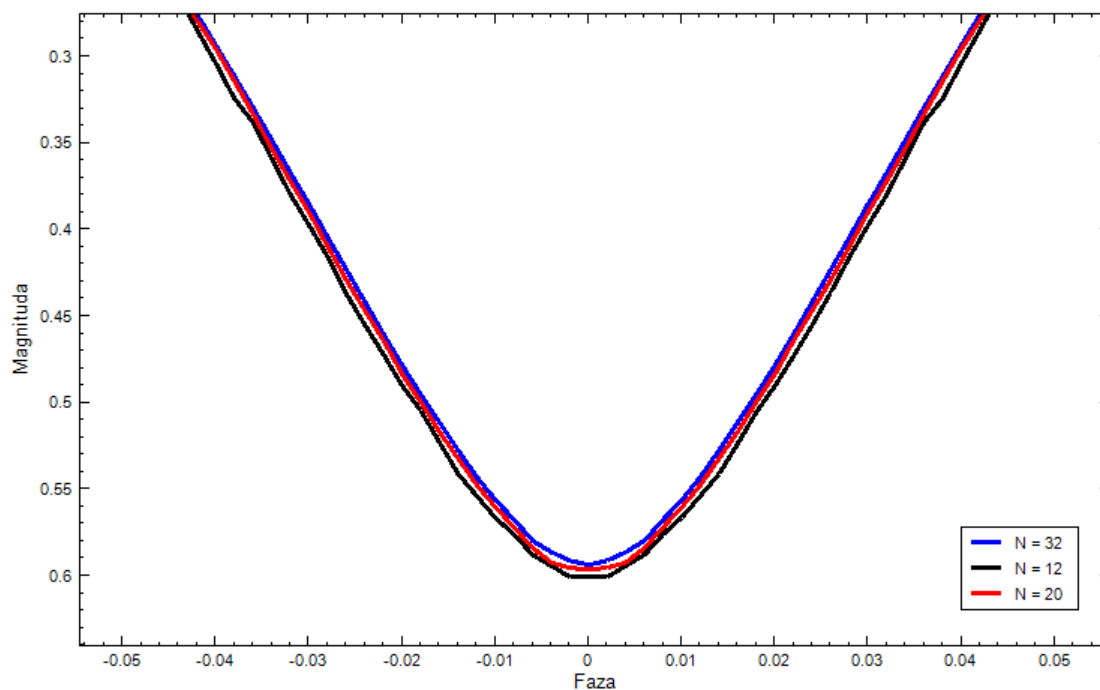
4.2. Adaptivna geodezijska mreža

Iz prikaza algoritma se vidi da će vidljiva površina komponenta biti uvek potcenjena, jer se smatra da je elementarna ćelija pokrivena ako je bilo koji njen deo prekriven ćelijama koje su bliže posmatraču. To znači da se njen doprinos ukupnom fluksu zračenja ne uzima u obzir iako se može desiti da je samo delimično pomračena. Taj efekat je tim izraženiji što je početna podela grublja. Na slici 4.7 je prikazana dubina primarnog minimuma za različit broj elementarnih ćelija. Sa povećanjem broja elementarnih ćelija se povećava tačnost izračunate krive sjaja, ali se sa druge strane

značajno produžava vreme izvršavanja (slika 4.5). Da bi se rešio ovaj problem, odnosno da bi se postigao kompromis između tačnosti i brzine izvršavanja, razvijena je adaptivna geodezijska mreža.



Slika 4.6 Teorema razdvajajuće prave.



Slika 4.7 Dubina primarnog minimuma u zavisnosti od odabranog nivoa podele N.

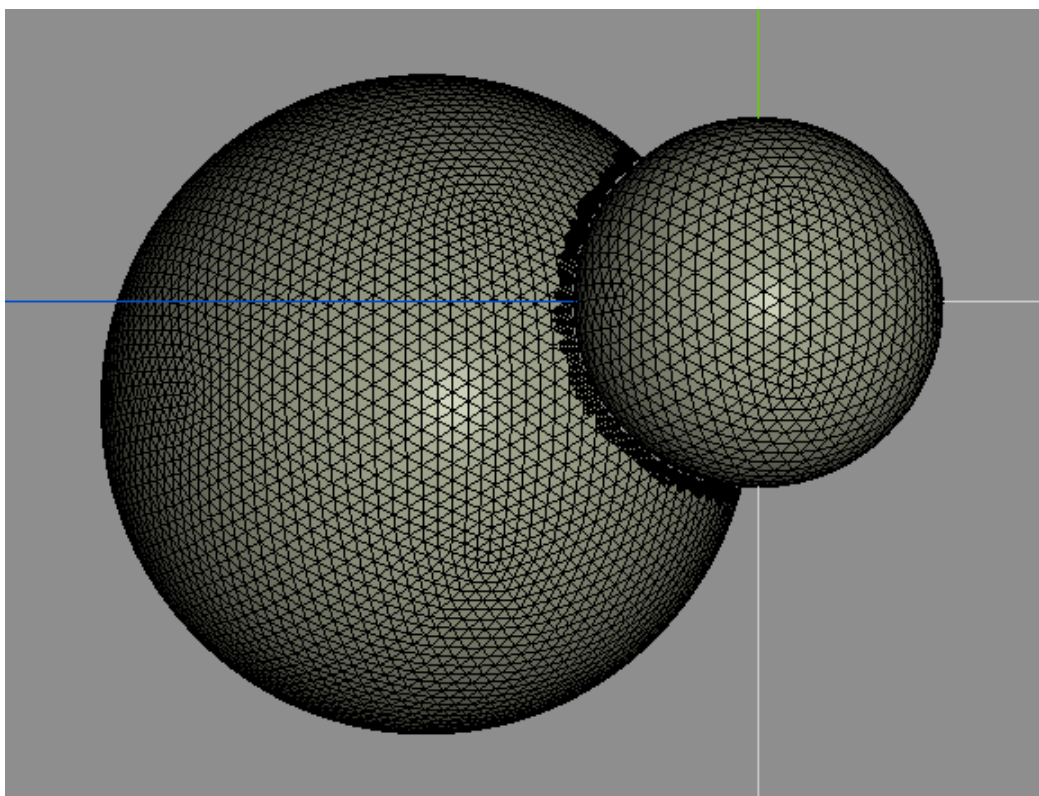
Osnovna ideja metode je da se u svakoj fazi poveća broj elementarnih ćelija na zvezdi samo u regionima na koje pada senka druge komponente. Ovaj korak se izvodi tokom faze detekcije vidljivosti, na samom početku, pre projektovanja poligone mreže. Pošto želimo samo grubo da odredimo oblast u kojoj može doći do pomračenja, a ne tačan oblik projekcije senke komponente koja je bliže posmatraču (koji se nalazi na x-osi, u plus beskonačnosti), senku možemo aproksimirati cilindrom čija je osa paralelna x-osi i prolazi kroz centar zvezde koja pomračuje. Ako oblik zvezde opisujemo Roche potencijalom (odjeljak 3.1.4), maksimalni radijus r_{max} će biti onaj koji se nalazi na x-osi, ka Lagrange-ovoj L1 tački, dok će minimalni r_{min} biti polarni radijus. Da bi formirali uslov za određivanje da li postoji mogućnost da elementarna ćelija bude pomračena koristimo zapažanje da će radijus-vektor svake tačke na rubu zvezde uvek biti između r_{min} i r_{max} . To znači da ako se elementarna ćelija zvezde koja je pomračena nalazi van cilindra poluprečnika r_{max} biti uvek vidljiva, dok će ćelija koja se nalazi unutar cilindra radijusa r_{min} uvek biti pomračena. U suprotnom, ako je ćelija između ova dva cilindra, onda postoji mogućnost za pomračenje. Datu ćeliju razbijamo na sitnije delove koristeći rekurzivnu podelu (odjeljak 3.1.2) i time povećavamo tačnost određivanja krive sjaja (slika 4.8).

Ovaj uslov u koordinatnom sistemu vezanom za nebesku sferu ima izuzetno jednostavan oblik. Ako su (x_c, y_c, z_c) koordinate centra zvezde koja pomračuje, r_{min} i r_{max} minimalni i maksimalni radijus zvezde koja pomračuje i (x, y, z) koordinate centroida elementarne ćelije na zvezdi koja je pomračena, onda je

Jednačina 4.4

$$r_{min} < \sqrt{(y - y_c)^2 + (z - z_c)^2} < r_{max}.$$

Dubina rekurzije N_A pri podeli elementarne ćelije je parametar modela.



Slika 4.8 Adaptivna mreža za adaptivni nivo podele $N_A = 2$.

5. Sinteza krive sjaja i radijalnih brzina

Poslednji korak u rešavanju direktnog problema je računanje izlaznog fluksa i radijalnih brzina. Izlazni fluks se dobija sabiranjem pojedinačnih doprinosa vidljivih elementarnih ćelija. Pri njegovom računu se uzimaju u obzir sledeći efekti:

- Gravitaciono potamnjenje
- Efekat refleksije
- Aktivni regioni (pege)
- Potamnjenje ka rubu

Tretman ovih efekata uglavnom prati Đuraševićdv program (Đurašević, 1991) i detaljnije je opisan u narednim odeljcima. Računanje krive radijalnih brzina prati postupak iz članka Wilson & Sofia (1976).

5.1. Gravitaciono potamnjenje

Pretpostavljamo da je zvezda u stanju hidrostatičke i radijativne ravnoteže. Ukoliko njen oblik odstupa od sfernog usled rotacije i/ili plimskih interakcija u dvojnog sistemu, doći će do varijacije u površinskom sjaju i gravitacionom ubrzanju od pola ka ekvatoru (Tassoul, 2000). Ova varijacija se naziva gravitacionim potamnjenjem. Von Zeipel (1924) je pokazao da je izlazni fluks \vec{F} proporcionalan lokalnoj vrednosti gravitacionog ubrzanja \vec{g} :

Jednačina 5.1

$$\vec{F} = \frac{4ac}{3\kappa\rho} T^3 \frac{dT}{d\psi} \vec{g} = -k(\psi) \vec{g}.$$

Vektor gravitacionog ubrzanja je gradijent potencijala ψ , pa se vrednost njegovog intenziteta za svaku elementarnu ćeliju može preko jednačine 3.12 izraziti kao:

Jednačina 5.2

$$g_i = \gamma \frac{m_1}{D^2} |\nabla C|,$$

gde je C modifikovani Kopalov potencijal. U opštem slučaju će to biti izraz za potencijal u sistemu sa ekscentričnom orbitom i asinhronom rotacijom komponente

(jednačina 3.16). Izraz za intenzitet gradijenta potencijala u pravouglom koordinatnom sistemu je:

Jednačina 5.3

$$|\nabla C| = \sqrt{C_x^2 + C_y^2 + C_z^2},$$

gde su

Jednačina 5.4

$$C_x = \frac{\partial C}{\partial x} = -\frac{x}{\sqrt{(x^2 + y^2 + z^2)^3}} + q \left[\frac{(D-x)}{\sqrt{((D-x)^2 + y^2 + z^2)^3}} - \frac{1}{D^2} \right] + (q+1)f^2x,$$

$$C_y = \frac{\partial C}{\partial y} = -\frac{y}{\sqrt{(x^2 + y^2 + z^2)^3}} - q \frac{y}{\sqrt{((D-x)^2 + y^2 + z^2)^3}} + (q+1)f^2y,$$

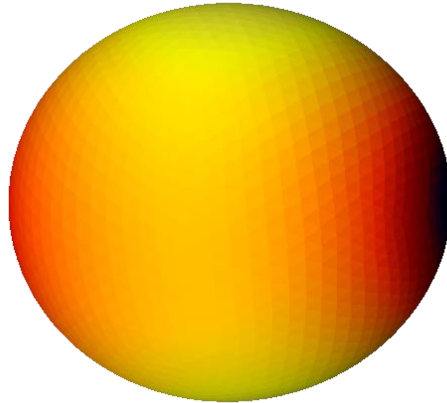
$$C_z = \frac{\partial C}{\partial z} = -\frac{z}{\sqrt{(x^2 + y^2 + z^2)^3}} - q \frac{z}{\sqrt{((D-x)^2 + y^2 + z^2)^3}}.$$

Iz Stefan–Boltzmann-ovog zakona $F \sim T^4$ sledi da će i temperatura proizvoljne tačke na površini zvezde biti proporcionalna vrednosti gravitacionog ubrzanja. Ukoliko za referentne vrednosti uzmemo efektivnu temperaturu i efektivno gravitaciono ubrzanje, onda je izraz za temperaturu i -te elementarne ćelije:

Jednačina 5.5

$$T_i = T_{eff} \left(\frac{g_i}{g_{eff}} \right)^\beta,$$

gde je g_i gravitaciono ubrzanje i -te elementarne ćelije. Vrednost eksponenta β je jednaka $\beta = 0.25$ za radijativne atmosfere (iz von Zeipel-ovog zakona - jednačina 5.1). Lucy je izračunao da je za zvezde u konvektivnoj ravnoteži vrednost ovog eksponenta približno jednaka $\beta = 0.08$ (Lucy, 1967). Obe vrednosti su potvrđene u kasnijim posmatračkim studijama (videti na primer rad Rafert & Twigg (1980)).



Slika 5.1 Gravitaciono potamnjenje. Efektivna temperatura zvezde je $T_{eff} = 6000 K$. Žutom bojom je označena maksimalna temperatura ($T_{eff} = 6046K$), a crnom minimalna ($T_{eff} = 5909 K$).

Efektivno gravitaciono ubrzanje je dato izrazom (Đurašević, 1991):

Jednačina 5.6

$$g_{eff} = \frac{\sum_{i=1}^N g_i S_i}{\sum_{i=1}^N S_i},$$

gde je S_i površina i-te elementarne ćelije. Efektivna temperatura je parametar modela i zadaje se kao ulazna veličina.

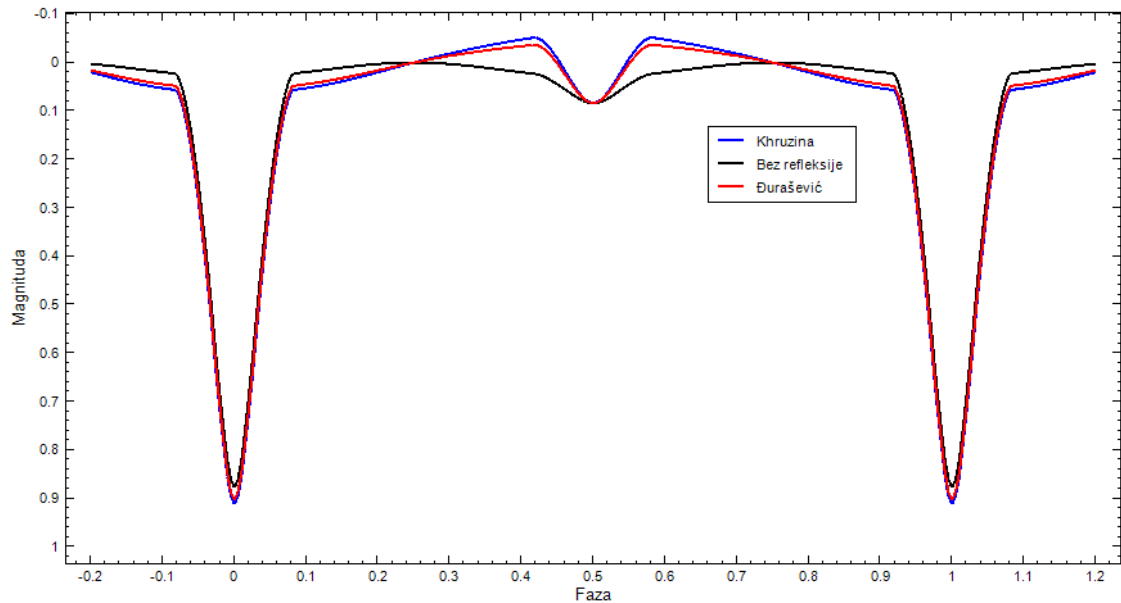
Varijacija temperature od pola ka ekvatoru je prikazana na slici 5.1.

5.2. Efekat refleksije

U dvojnim sistemima dolazi do međusobnog zagrevanja komponentata. Zračenje sa druge komponente dovodi do preraspodele temperature na strani zvezde koja je okrenuta ka njoj, i obrnuto. Ovo je posebno izraženo kod tesno dvojnih sistema kod kojih postoje značajne razlike u efektivnim temperaturama. Primer uticaja na krivu sjaja se može videti na slici 5.2.

Efekat refleksije je izuzetno komplikovan. Tačan tretman ovog efekta bi zahtevao rešavanje 3D jednačine prenosa zračenja uz složenu geometriju modela. Iako postoje značajni napor u tom pravcu, iz praktičnih razloga se pribegava raznim pojednostavljenjima (da bi vreme potrebno za računanje modela bilo u razumnim

granicama). Ovde se prati model efekta refleksije koji je predložio Đurašević (Đurašević, 1991). Geometrija modela je prikazana na slici 5.3.



Slika 5.2 Uticaj refleksije na krivu sjaja. Efektivna temperatura primarne komponente je 31000K, a sekundarne 10000K.

Sa slike 5.3 se vidi da će do elementarne ćelije stizati zračenje sa druge komponente ako je ispunjen uslov:

Jednačina 5.7

$$\cos \alpha > 0,$$

gde je α ugao između normale na ćeliju i pravca ka centru druge komponente. Tada sa te ćelije vidimo drugu komponentu pod prostornim uglom:

Jednačina 5.8

$$\Omega = 2\pi \int_0^{\theta} \sin \theta' d\theta' = 2\pi(1 - \cos \theta); \sin \theta = \frac{r_2}{\rho_*}.$$

To znači da do uočene elementarne ćelije stiže sledeći deo ukupnog zračenja druge komponente:

Jednačina 5.9

$$W = \frac{\Omega}{4\pi}.$$

Ukupna gustina zračenja elementarne ćelije je zbir „sopstvene“ gustine zračenja i gustine zračenja koja stiže sa druge komponente umanjena za W i iznosi:

Jednačina 5.10

$$\rho_{zr} = \rho_1 + \rho_2 A_1 \cos \alpha W.$$

Faktor A_1 se naziva bolometrijskim albedom. To je globalni parametar koji opisuje makroskopske osobine zvezdane atmosfere i predstavlja deo zračenja koje je izračeno od ukupnog pristiglog fluksa sa druge komponente. Za zvezde sa atmosferom u radijativnoj ravnoteži vrednost albeda je $A = 1$, dok će za zvezde sa atmosferom u konvektivnoj ravnoteži on biti nešto manji ($0 \leq A \leq 1$). Obično se uzima da je $A = 0.5$ sledeći preporuku koju je dao Rucinski (1969). Ova vrednost je izvedena iz razmatranja sistema Algolovog tipa sa izraženim efektom refleksije kod kojih je sekundarna komponenta u konvektivnoj ravnoteži.

Iz Stefan–Boltzmann-ovog zakona sledi da se jednačina 5.10 za i -tu elementarnu ćeliju može pisati u sledećem obliku:

Jednačina 5.11

$$T_i^* = T_i \sqrt[4]{1 + A_1 \cos \alpha \left(1 - \sqrt{1 - \left(\frac{r_2}{\rho_*}\right)^2}\right) \left(\frac{T_2}{T_1}\right)^4},$$

gde je T_i temperatura koju bi ćelija imala da nema efekta refleksije. Ova korekcija se primenjuje samo ako je ispunjen uslov 5.7.

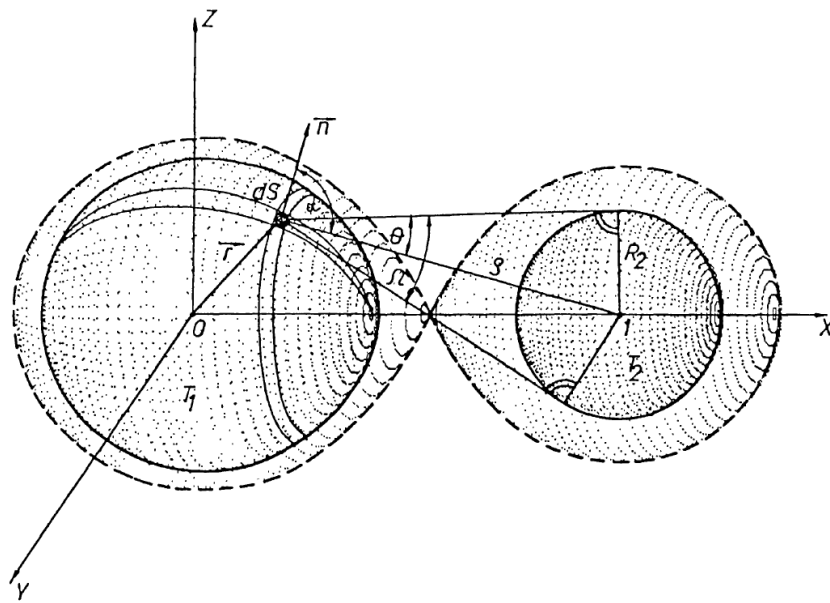
U poslednjim verzijama Đuraševićevog programa se koristi i model refleksije koji je predložila Khruzina (1985). On se bazira na pretpostavci da je druga komponenta tačkasti izvor zračenja. Izraz za korekciju temperature u ovom slučaju glasi

Jednačina 5.12

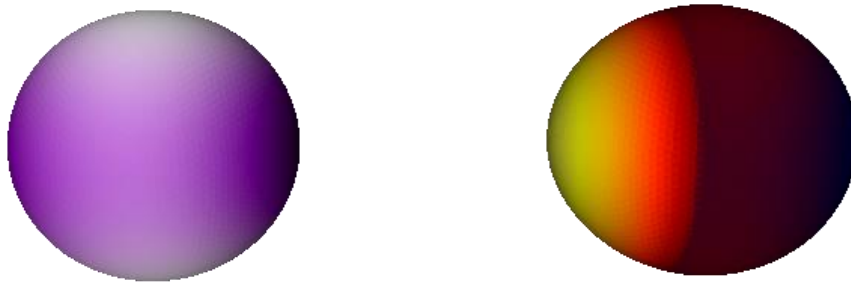
$$T_i^* = \sqrt[4]{T_i^4 + \frac{A_1 \cos \alpha}{4\pi\rho_*^2\sigma} L_2},$$

gde je L_2 bolometrijska luminoznost druge komponente, a σ Stefan-Boltzmann-ova konstanta. Oba ova modela su implementirana u kodu.

Uticao efekta refleksije na raspodelu temperature zvezde je prikazan na slici 5.4.



Slika 5.3 Model efekta refleksije. Preuzeto iz Đurašević (1992a).



Slika 5.4 Efekat refleksije.

5.3. Zvezdane pege

Zvezdane pege su fotosferski regioni sa većom ili manjom temperaturom u odnosu na okolnu materiju. One se na Suncu proučavaju već jako dugo. U poslednjih nekoliko decenija su razvijene posmatračke tehnike koje su omogućile posmatranje pega i na drugim zvezdama (Sasselov, 1998). One mogu nastati bilo zbog prisustva magnetnog polja i diferencijalne rotacije (kao kod Sunca) ili zbog prisustva nekih hemijskih nehomogenosti na površini zvezde. U nekim slučajevima mogu pokriti i do 40% površine zvezde (Đurašević, 1991).

Prisustvo pega na površini zvezde dovodi do asimetričnih krivih sjaja. Njihovim uključivanjem u model se može objasniti O'Connell-ov efekat (Yamasaki, 1982).

O'Connell-ovim efektom se naziva pojava da maksimumi sjaja pre i posle sekundarnog pomračenja nisu iste visine (slika 5.6).

Geometrija pege je predstavljena na slici 5.5. U *Infinity*-ju se pretpostavlja da su pege kružnog oblika i da su određene sa četiri parametra – longitudom centra pege φ_p , latitudom centra pege θ_p , uglovnim radijusom R_p i temperaturnim kontrastom pege K_p . Koordinate centra pege se mere u lokalnom koordinatnom sistemu C_1 , odnosno C_2 vezanom za centar komponente (odjeljak 3.1.4). Temperaturni kontrast pege se definiše kao odnos temperature unutar pege T_p i temperature T_l koju bi imala elementarna ćelija da nema pege:

Jednačina 5.13

$$K_p = \frac{T_p}{T_l}.$$

Ukoliko je $K_p < 1$, onda je pega tamna. U suprotnom, pega je svetla. Primer uticaja tamne pege na izgled krive sjaja je prikazan na slici 5.6, dok je na slici 5.7 data raspodela temperature na površini zvezde usled njenog prisustva.

Da bi se utvrdilo koje elementarne ćelije pripadaju pegi treba konstruisati veliki krug na površini zvezde koji prolazi kroz centar elementarne ćelije i centar pege. Luk l koji spaja ova dva centra predstavlja najkraće rastojanje između ove dve tačke. Iz sferne trigonometrije dobijamo sledeći izraz:

Jednačina 5.14

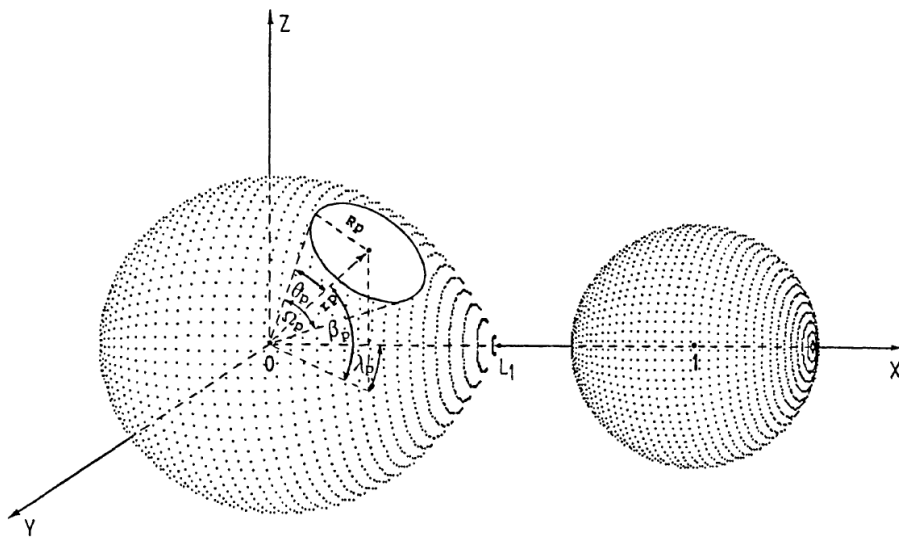
$$\cos l = \cos \theta_p \cos \theta + \sin \theta_p \sin \theta \cos(\varphi - \varphi_p).$$

Ćelija pripada pegi ako je ispunjen uslov $l < R_p$, odnosno:

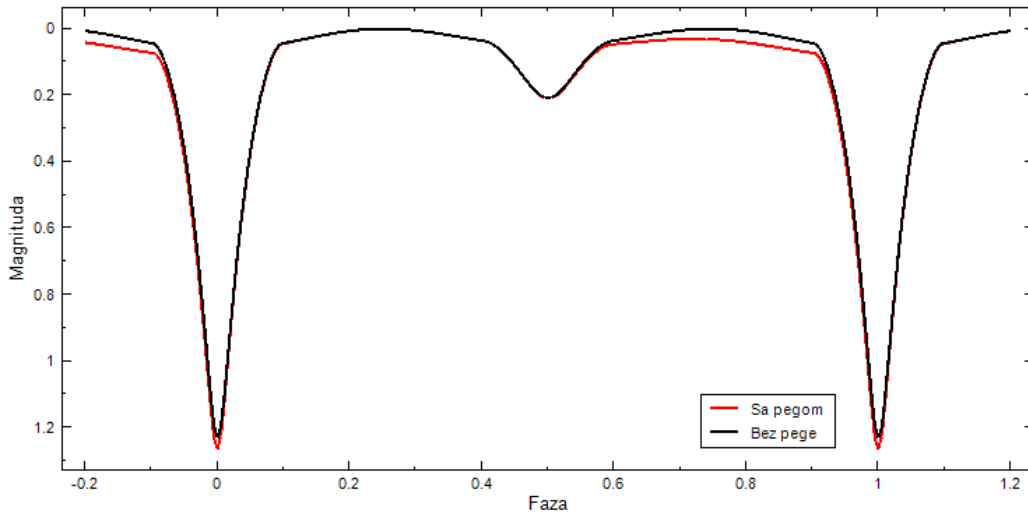
Jednačina 5.15

$$\cos R_p < \cos l,$$

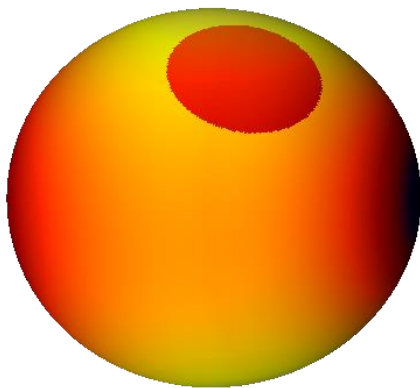
i u tom slučaju vršimo korekciju temperature ćelije uz pomoć jednačine 5.13. U programu ne postoji ograničenje za broj pega na komponentama.



Slika 5.5 Geometrijski model pege. Preuzeto iz Đurašević (1992a).



Slika 5.6 Uticaj tamne pege na krivu sjaja. Pega se nalazi na primarnoj komponenti. Njeni parametri su $\theta_p = 45^\circ$, $\varphi_p = 70^\circ$, $R_p = 29.8^\circ$ i $K_p = 0.95$.



Slika 5.7 Zvezdana pega. Efektivna temperatura zvezde je $T_{eff} = 6000\text{ K}$. Temperaturni kontrast pege je $K_p = 0.95$.

5.4. Akrecioni disk

Pod određenim uslovima se u tesno dvojnem sistemu može formirati akrecioni disk. Ako jedna komponenta u toku evolucije ispuni svoj kritični Roche oval, postaje nestabilna i počinje da gubi masu kroz Lagrange-ovu tačku L1. Formira se gasna struja koja po spiralnoj putanji pada na površinu druge komponente. Ukoliko je intenzitet gasne struje mali, materija će direktno padati na površinu druge komponente. U suprotnom će se formirati akrecioni disk (Lubow & Shu, 1975). Kretanje materije u akrecionom disku je blisko kružnom keplerovskom kretanju (ugaona brzina opada od centra ka rubu diska). Usled unutrašnjeg trenja, kinetička energija gasa se transformiše u toplotnu i materija po spiralnoj putanji pada na zvezdu. To znači da je potreban konstantni priliv materije sa komponente koja je ispunila Roche oval da bi se obezbedila stabilnost diska tokom dužeg vremenskog perioda.

Jednostavnosti radi pretpostavljamo da se akrecioni disk uvek nalazi oko primarne komponente i da sekundarna komponenta ispunjava svoj Roche oval. Geometriju akrecionog diska opisujemo poprečnim profilom kao što je objašnjeno u odeljku 3.2. Ovakva reprezentacija je opravdana poslednjim rezultatima iz hidrodinamičkog transfera mase u tesno dvojnim sistemima – videti Bisikalo et al. (2000) ili Harmanec et al. (2002). Promenu temperature od centra ka rubu diska opisujemo jednom od četiri raspodele iz Đuraševićevog modela izložene u Đurašević et al. (2008). One su date sledećim izrazima:

Jednačina 5.16

$$T(\rho) = T_{out} \left(\frac{R_{out}}{\rho} \right)^{a_T} \left(1 - \sqrt{\frac{R_{in}}{\rho}} \right)^{\frac{1}{4}} \left(1 - \sqrt{\frac{R_{in}}{R_{out}}} \right)^{-\frac{1}{4}}, \quad (1)$$

$$T(\rho) = T_{out} \left(\frac{R_{out}}{\rho} \right)^{a_T}, \quad (2)$$

$$T(\rho) = T_{out} + (T_{in} - T_{out}) \left(1 - \frac{\rho - R_{in}}{R_{out} - R_{in}} \right)^{a_T}, \quad (3)$$

$$T(\rho) = T_{out} + (T_{in} - T_{out}) \left(1 - \left(\frac{\rho - R_{in}}{R_{out} - R_{in}} \right)^{a_T} \right). \quad (4)$$

$\rho = \sqrt{x^2 + y^2}$ je radijalna udaljenost elementarne ćelije od centra diska, R_{in} je unutrašnji radijus, a R_{out} spoljašnji. T_{in} je temperatura unutrašnje ivice diska, T_{out} spoljašnje, dok je a_T temperaturni eksponent.

Aktivni regioni na disku se modeliraju pegama. One su smeštene na rubu diska i prostiru se duž cele njegove debljine (slika 5.8). Na primer, na mestu gde gasna struja pada na akrecioni disk dolazi do nagomilavanja i zagrevanja materije, što dovodi do narušavanja osno-simetrične raspodele zračenja. Veličina i temperatura ove svetle pege zavise od početnih parametara gasne struje, kao i od parametara sistema. Dodatne pege se mogu upotrebiti za simuliranje drugih vrsta nehomogenosti u disku, kao što je postojanje spiralnih grana (Heemskerk, 1994), regiona na disku koji odstupaju od osne simetrije i sličnih pojava.

Pega se karakteriše sledećim parametrima - longitudom centra pege φ_a , uglovnim radijusom R_a i temperaturnim kontrastom pege K_a .

Da bi se odredilo da li elementarna ćelija pripada pegi potrebno je izračunati longitudu φ_i centroida elementarne ćelije na rubu diska. Ukoliko je ispunjen uslov

Jednačina 5.17

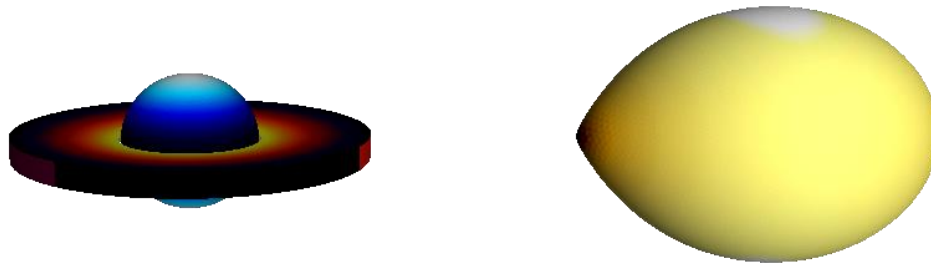
$$\varphi_a - \frac{R_a}{2} < \varphi_i < \varphi_a + \frac{R_a}{2}$$

korigujemo njenu temperaturu za

Jednačina 5.18

$$T_a = K_a T_i,$$

gde je T_i temperatura koju bi imala ćelija da nema pege.



Slika 5.8 Akrecioni disk sa pegama na rubu.

5.5. Računanje izlaznog fluksa

Kao što smo videli u prethodnim odeljcima, kod komponenata dvojnog sistema postoji raspodela temperature i gravitacionog ubrzanja na površini zvezde. To znači da je nemoguće precizno opisati zračenje komponenata koje stiže do posmatrača jednim modelom zvezdane atmosfere. Umesto toga se svakoj ćeliji dodeljuje model atmosfere koji odgovara lokalnim vrednostima temperature i gravitacionog ubrzanja. Za svaku ćeliju se izračuna specifični intenzitet izlaznog zračenja $I(\cos \gamma, T, g, \lambda)$, gde je γ ugao između pravca ka posmatraču i normale na elementarnu ćeliju. Ukupni monohromatski izlazni fluks sa komponente k je onda po definiciji:

Jednačina 5.19

$$F_k = \int I_\lambda(\cos \gamma, T, g) \cos \gamma dS,$$

gde se integracija vrši po vidljivim elementarnim ćelijama. Kada integral zamenimo konačnom sumom ovaj izraz postaje:

Jednačina 5.20

$$F_k = \sum_i \chi_i I_{\lambda i}(\cos \gamma, T, g) \cos \gamma S_i = \sum_i \chi_i I_{\lambda i}(\cos \gamma, T, g) S'_i,$$

gde je χ_i mapa vidljivosti (poglavlje 4), a S'_i površina projekcije elementarne ćelije na ravan nebeske sfere. Ovde se sumiranje vrši po svim elementarnim ćelijama.

U Đuraševićevom programu se pretpostavlja da elementarne ćelije zrače kao crno telo. Njihovo zračenje je opisano Planck-ovim zakonom:

Jednačina 5.21

$$B_\lambda(T) = \frac{2hc}{\lambda^5} \frac{1}{e^{\frac{hc}{\lambda kT}} - 1}.$$

Za talasnu dužinu λ u gornjem izrazu se uzima efektivna talasna dužina korišćenog fotometrijskog filtera. To znači da se fotometrijski filter aproksimira delta funkcijom koja propušta zračenje samo na toj talasnoj dužini. Ovo je dosta gruba pretpostavka i u sledećem odeljku će biti predstavljen model koji bolje opisuje uticaj filtera na izračunatu krivu sjaja.

Fotometrijski filteri se opisuju krivom propusne moći. Ona nam govori koliki procenat upadnog zračenja prolazi kroz filter na datoj talasnoj dužini. Krive za standardne filtere se mogu naći u Moro & Munari (2000). Mnogo realniji pristup sintezi krive sjaja je da se umesto monohromatskog specifičnog intenziteta koristi ukupni intenzitet koji prolazi kroz filter, odnosno:

Jednačina 5.22

$$I(\cos \gamma, T, g) = \int I_{\lambda}(\cos \gamma, T, g) P(\lambda) d\lambda,$$

gde je $P(\lambda)$ kriva propusne moći filtera.

Proces sinteze spektara je jako spor i zato je poželjno specifične intenzitete unapred izračunati za svaki podržani filter (spisak podržanih filtera se nalazi u tabeli 2). U *Infinity*-ju je implementiran postupak opisan u Van Hamme & Wilson (2003). Ovde je ukratko prikazan metod dobijanja tablica sa centralnim specifičnim intenzitetom (za $\cos \gamma = 1$) za proizvoljan filter, dok se detaljniji opis može naći u Cséki & Prša (2010).

Tabela 2 Spisak podržanih fotometrijskih filtera

Set	Filter	Set	Filter
CoRoT	CoRoT		K
Cousins	R	Kepler	Kepler
	I	Strömgren	U
Johnson	U		V
	B		B
	V		y
	J		

Svakoj elementarnoj ćeliji se pripisuje jednodimenzioni model zvezdane atmosfere izveden pod pretpostavkom lokalne termodinamičke ravnoteže koji odgovara lokalnim vrednostima temperature i efektivne gravitacije. Koristio sam mrežu modela koju su izračunali Castelli & Kurucz (2004) i koja pokriva opseg efektivnih temperatura od 3500K do 50000K, logaritma gravitacionog ubrzanja ($\log g$) od 0.0 do 5.0 i metaličnosti od -2.5 do +1.0. Za svaki model iz mreže sam uz pomoć programa SPECTRUM (Gray & Corbally, 1994) izračunao sintetičke spektre u opsegu od 3000Å do 12000Å, pomnožio sa krivom propusne moći filtera i dobijenu raspodelu integralio po celom opsegu talasnih dužina (jednačina 5.22). Za svaki par metaličnost - $\log g$ se nacrtala

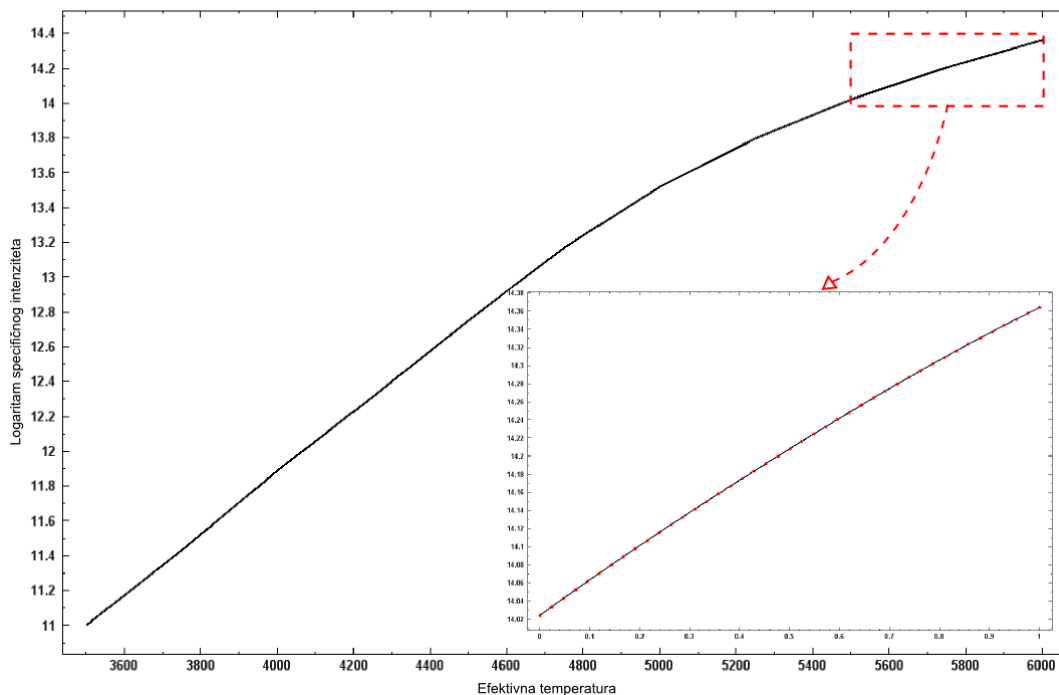
zavisnost centralnog intenziteta od temperature modela i tako dobijeni grafik se podeli na četiri temperaturska intervala. Svaki od intervala se fituje sledećim polinomom:

Jednačina 5.23

$$\sum_{i=0}^9 a_i P_i\left(\frac{T - T_{low}}{T_{high} - T_{low}}\right),$$

gde je P_i Legendre-ov polinom i -tog stepena, T_{low} i T_{high} donja i gornja granica intervala i a_i koeficijenti polinoma određeni fitovanjem. Optimalne granice intervala su određene Monte Karlo metodom. Na slici 5.9 je prikazan primer fita za $\log g = 0.5$ i $\left[\frac{M}{H}\right] = -2.5$. Ovako izračunate koeficijente možemo sačuvati u datoteku.

Prednost ovakvog pristupa je to što se složeni problem računanja specifičnog intenziteta svodi na jednostavno učitavanje koeficijenata iz tabele. Takođe, interpolacija se vrši samo po $\log g$ tako da je ova procedura izuzetno efikasna.



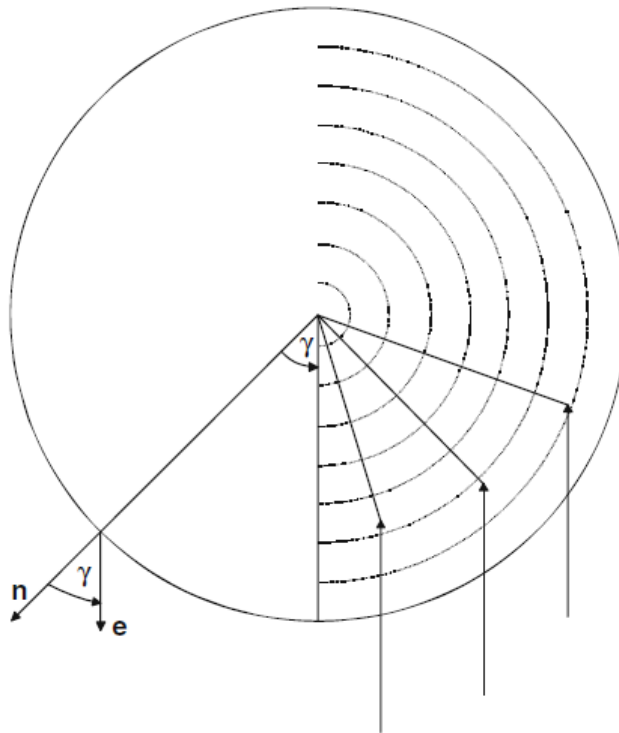
Slika 5.9 Zavisnost specifičnog intenziteta od efektivne temperature za $\log g = 0.5$ i $\left[\frac{M}{H}\right] = -2.5$ u Johnson V filteru. Zumirani deo prikazuje fit Legendre-ovim polinomima.

5.5.1. Potamnjenje ka rubu

Zavisnost specifičnog intenziteta od položaja na disku zvezde se naziva potamnjenje ka rubu. Ono je dobro proučeno kod Sunca i direktno se posmatra kod nekih drugih zvezda (npr. Sasselov (1998)). U pitanju je geometrijski efekat prikazan na slici 5.10. Iz centra diska zvezde vidimo zračenje iz dubljih slojeva nego na rubu, odnosno iz slojeva sa višom temperaturom, pa se primećuje opadanje intenziteta zračenja od centra ka rubu. U ovom modelu dvojnog sistema, potamnjenje ka rubu se opisuje semi-empirijskom jednačinom 5 iz rada Claret & Bloemen (2011):

Jednačina 5.24

$$D(\cos \gamma) = \frac{I(\cos \gamma)}{I(1)} = 1 - \sum_{k=1}^1 a_k (1 - (\cos \gamma)^{\frac{k}{2}}).$$



Slika 5.10 Potamnjenje ka rubu. Izračeni specifični intenzitet zavisi od ugla između pravca ka posmatraču i normale na elementarnu površ. Preuzeto iz Kallrath & Milone (2009).

Rezultati ovog rada (Claret & Bloemen, 2011), koji daje tablice sa izračunatim koeficijentima a_k za sve podržane filtere (vidi tabelu 2), pokazuju da ova aproksimacija najbolje fituje teorijske vrednosti za specifične intenzitete na celom opsegu podržanih

temperatura (od 3000K do 50000K) i gravitacionog ubrzanja (od $\log g = 0.0$ do $\log g = 5.0$). Po potrebi je moguće koristiti i ostale zakone potamnjenja ka rubovima - linearni, kvadratni, koreni i logaritamski (jednačine 1-4 iz Claret & Bloemen (2011)).

Koeficijente a_k za svaku elementarnu ćeliju dobijamo bilinearnom interpolacijom po T_l i $\log g_l$ iz Claret-ovih tablica i onda iz jednačine 5.23 određujemo popravku usled potamnjenja ka rubu. U prethodnom odeljku je opisano kako se računa centralni specifični intenzitet. Konačno, iz jednačine 5.20 dobijamo izraz za fluks koji sa komponente k posmatramo kroz dati fotometrijski filter

Jednačina 5.25

$$F_k = \sum_i \chi_i I_{0i}(T, g) D_i(\cos \gamma) S'_i.$$

Ukupni fluks izračen u datoj fazi će biti:

Jednačina 5.26

$$F = F_{prim} + F_{sec} + F_{disc}.$$

Ovaj fluks normiramo na maksimalnu vrednost fluksa u fazi 0.25.

5.6. Računanje radijalnih brzina

Komponente dvojnog sistema se kreću oko zajedničkog centra mase. Dok se jedna zvezda približava posmatraču, druga se udaljava i obrnuto, što dovodi do pomeranja spektralnih linija usled Doppler-ovog efekta. Šematski prikaz ove pojave je dat na slici 5.11.

Izmerena radijalna brzina je rezultat superpozicije nekoliko kretanja:

- sopstveno kretanje centra mase sistema
- kretanje centra zvezde oko centra mase sistema
- kretanje elementarnih ćelija na površini zvezde oko centra zvezde

Brzina kretanja centra mase je parametar modela i opisuje se konstantnom brzinom γ .

Brzina centra zvezde u odnosu na centar mase je:

Jednačina 5.27

$$\vec{v}_c = \vec{r}_c \times \vec{\omega}_k,$$

gde je \vec{r}_c radijus-vektor centra komponente (odjeljak 2.3). Ugaona brzina revolucije sistema je:

Jednačina 5.28

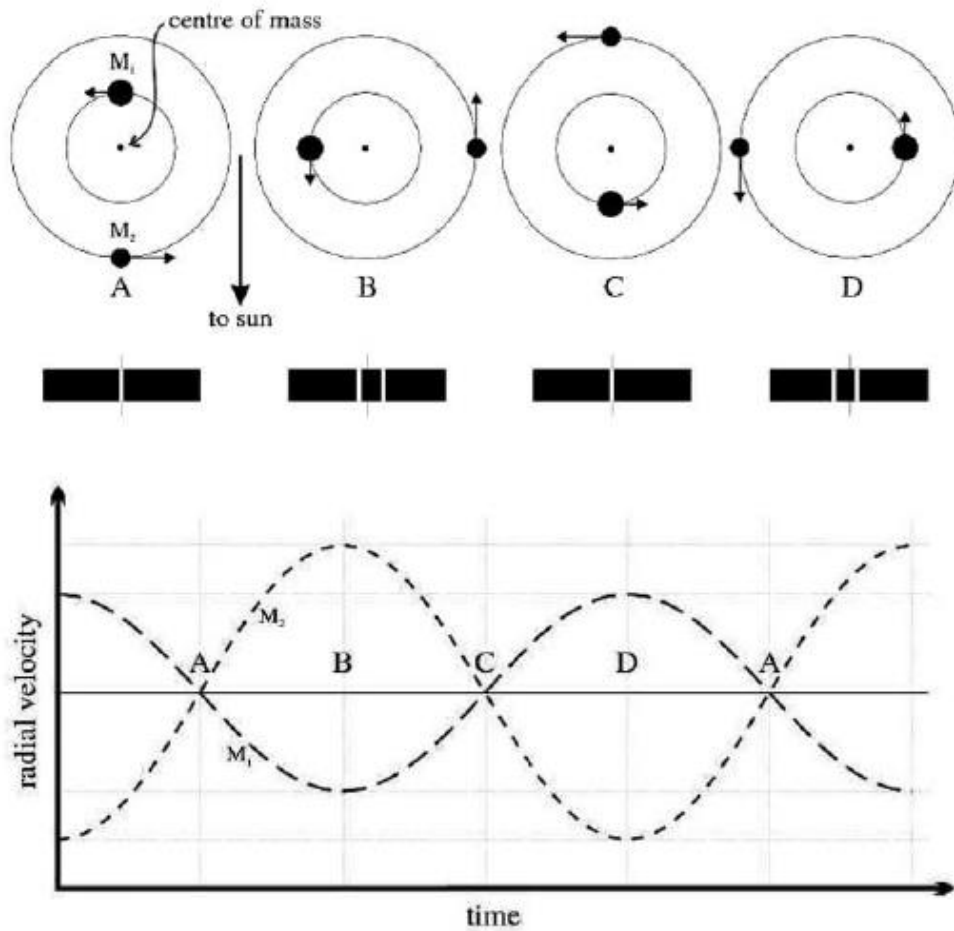
$$\vec{\omega}_k = \frac{2\pi}{86400 P} \vec{e}_z,$$

gde je P period u danima.

Elementarna ćelija se kreće u odnosu na centar zvezde ugaonom brzinom $\omega = f \omega_k$ (jednačina 3.10), pa je njena brzina:

Jednačina 5.29

$$\vec{v}_i = \vec{r}_i \times f \vec{\omega}_k.$$



Slika 5.11 Kriva radialnih brzina. Preuzeto iz Kallrath & Milone (2009).

Ukupni doprinos brzine elementarnih ćelija ukupnoj radijalnoj brzini se dobija usrednjavanjem po celoj vidljivoj površini u zadatoj fazi:

Jednačina 5.30

$$\vec{v}_* = \frac{\sum_i \vec{v}_i S_i}{\sum_i S_i}.$$

Ovaj doprinos je najveći kada je komponenta delimično pomračena. Van pomračenja se pojedinačni doprinosi poništavaju, dok je to poništavanje tokom pomračenja samo delimično. Ovaj efekat se naziva Rossiter-ovim efektom (Rossiter, 1924).

Konačno za radijalnu brzinu dobijamo:

Jednačina 5.31

$$r_v = (\vec{v}_c + \vec{v}_*)\vec{r}_o + \gamma,$$

gde je $\vec{r}_o = (1, 0, 0)$ jedinični vektor koji je paralelan sa pravcem ka posmatraču.

Na slici 5.12 se može videti primer izračunate krive radijalnih brzina za sistem V455 Cyg. Parametri sistema su preuzeti iz rada Đurašević et al. (2012) u čijoj izradi sam učestvovao.

5.7. Parametri modela

Kao rezultat pokretanja programa se dobijaju sintetičke krive sjaja za svaki fotometrijski filter i krive radijalnih brzina za primarnu i sekundarnu komponentu. Oblik ovih krivih zavisi od sledećih parametara:

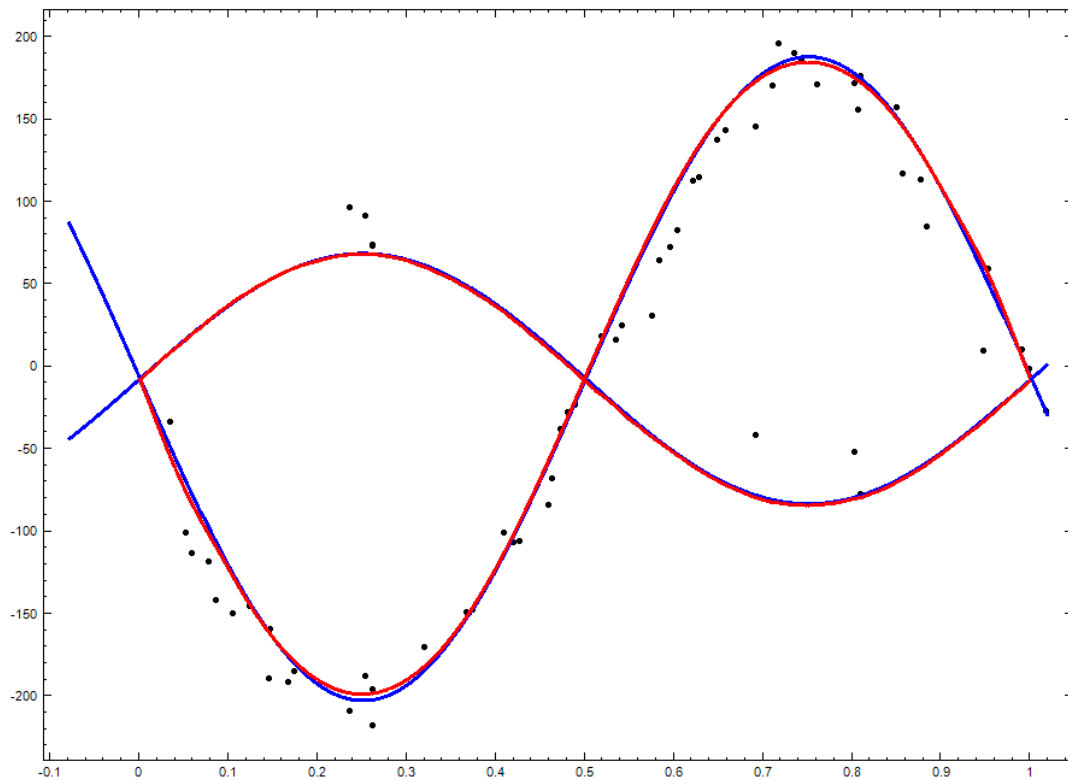
1. Parametri dvojnog sistema.
 - $q = \frac{m_2}{m_1}$ - odnos masa komponentata
 - P – period sistema u danima
 - a – velika poluosa sistema u radijusima Sunca
 - i – inklinacija orbite
 - e – ekscentričnost orbite
 - ω – argument periastrona
 - γ – brzina centra mase
 - $l_3/(l_1 + l_2 + l_3)$ – doprinos trećeg svetla u datom fotometrijskom filteru

2. Parametri kojim se opisuju zvezde. Indeksi 1 i 2 odgovaraju primarnoj i sekundarnoj komponenti.
 - r_{p1}, r_{p2} – polarni radijus komponente
 - T_1, T_2 – efektivna temperatura
 - f_1, f_2 – parametar asinhronosti
 - β_1, β_2 – eksponent gravitacionog potamnjenja
 - A_1, A_2 – albedo
 - $[M/H]_1, [M/H]_2$ – metaličnost
3. Parametri kojima se opisuje pega na zvezdi. Nema ograničenja za broj pega koji se može modelirati.
 - φ_p - longituda centra pege
 - θ_p - latituda centra pege
 - R_p - uglovni radijus
 - K_p temperaturni kontrast pege
4. Parametri koničnog diska.
 - r_{in} – unutrašnji radijus
 - r_{out} – spoljašnji radijus
 - d_{in} – debljina unutrašnjeg prstena
 - d_{out} – debljina spoljašnjeg prstena
 - T_{in} – temperatura unutrašnjeg prstena
 - T_{out} – temperatura spoljašnjeg prstena
 - a_T - temperaturni eksponent
5. Parametri toroidalnog diska.
 - r – udaljenost centra elipse koja opisuje poprečni presek od centra primarne komponente
 - a – velika poluosa elipse koja opisuje poprečni presek
 - b – mala poluosa elipse koja opisuje poprečni presek
 - T_{in} – temperatura unutrašnjeg prstena
 - T_{out} – temperatura spoljašnjeg prstena
 - a_T - temperaturni eksponent

6. Parametri koji opisuju aktivne regione na disku. Kao i kod zvezdanih pega, nema ograničenja na njihov broj.

- φ_a - longituda centra pege
- R_a - uglovni radijus
- K_a temperaturni kontrast pege

Kao što se vidi, model zavisi od jako velikog broja parametara. Prilikom određivanja optimalne krive sjaja koja odgovara posmatranjima poželjno je fiksirati što veći broj parametara iz nezavisnih merenja ili na osnovu teorijskih vrednosti. Ostali parametri se određuju rešavanjem inverznog problema.



Slika 5.12 Krive radijalnih brzina za sistem V455 Cyg. Crnim kružićima su označena posmatranja. Plavom linijom je nacrtano rešenje dobijeno pomoću Wilson-Devinney modela objavljeno u Đurašević et al. (2012), a crvenom krive radijalnih brzina dobijene pomoću programa *Infinity*.

6. Rešavanje inverznog problema

U prethodnim glavama je opisano rešavanje direktnog problema – računanje sintetičke krive sjaja i radijalnih brzina za zadate parametre modela. Da bi se model uspešno primenio na posmatranja, potrebno je rešiti obrnuti zadatak – odrediti set optimalnih parametara koji pokazuju najbolje slaganje sa posmatranjima. U *Infinity*-ju se u tu svrhu koristi Nelder-Mead simpleks algoritam. Za procenu kvaliteta slaganja modela i posmatranja se koristi suma kvadrata razlike između posmatranih i sintetičkih krivih, odnosno traži se takav set parametara modela koji će dati minimalnu vrednost ove sume:

Jednačina 6.1

$$\sum_i (O_i - C_i)^2.$$

Posmatranja obično sadrže veliki broj merenja. U većini slučajeva se broj tačaka meri hiljadama. Sa druge strane, sintetičke krive su glatke funkcije i stoga je opravdano da se one izračunaju na manjem skupu tačaka i da se nedostajuće vrednosti dobiju interpolacijom. U većini slučajeva je dovoljno između 100 i 200 ekvidistantnih tačaka da bi se u potpunosti opisala posmatranja. Još jedna prednost ovog pristupa je da ako imamo multikolor fotometriju nije potrebno računati mapu vidljivosti za svaki filter ponaosob – samo izlazni fluks. Ovo dovodi do značajnog ubrzanja računanja sintetičke krive sjaja. U *Infinity*-ju se koristi Neville-ov algoritam za interpolaciju (Press, et al., 2007).

6.1. Nelder-Mead simplex

Nelder-Mead simpleks (Nelder & Mead, 1965) je algoritam za nelinearnu optimizaciju koji je našao široku primenu u astrofizici. Njegova glavna prednost je to što nije neophodno računati izvode funkcije koja se minimizuje. Opširan opis metode se može naći u radu Takahama & Sakai (2005), dok je ovde dat kratak pregled.

Ako funkcija f koju minimizujemo zavisi od N parametara, simpleks je politop dimenzije $N + 1$ u prostoru parametara. Za $N = 2$ geometrijska reprezentacija simpleksa je trougao, za $N = 3$ tetraedar, itd. Svako teme simpleksa x_k predstavlja

jedno rešenje direktnog problema. U svakoj iteraciji se odredi novo teme na osnovu vrednosti ostalih temena i njime se zameni najgore rešenje iz prethodne iteracije. Ovaj postupak se ponavlja sve dok se ne postigne željena konvergencija.

Neka su x_l , x_h i x_s , redom, najbolje, najgore i drugo najgore rešenje. Teme x_h će biti zamenjeno na kraju iteracije. Da bi se odredilo novo teme, definiše se centroid svih temena osim x_h kao:

Jednačina 6.2

$$x_0 = \frac{1}{N} \sum_{k \neq h} x_k.$$

Nad ove četiri tačke se definišu sledeće operacije:

- *Refleksija* generiše novo teme x_r kao refleksiju temena x_h oko x_0 :

Jednačina 6.3

$$x_r = (1 + a)x_0 - ax_h \quad (a > 0).$$

- *Kontrakcija* generiše novo teme x_c između temena x_h i x_0 :

Jednačina 6.4

$$x_c = bx_h + (1 - b)x_0 \quad (0 < b < 1).$$

- *Ekspanzija* generiše novo teme x_e na pravcu od x_0 do x_r :

Jednačina 6.5

$$x_e = cx_r + (1 - c)x_0 \quad (c > 1).$$

- *Redukcija* zamenjuje sva temena simpleksa x_k sa:

Jednačina 6.6

$$x_k = \frac{1}{2}(x_k + x_l).$$

Algoritamska šema se onda može predstaviti na sledeći način:

Korak 0 – Generiše se početni simpleks.

Korak 1 – Odrede se tačke x_l , x_h , x_s i x_0 .

Korak 2 – Izvrši se refleksija i izračuna se x_r . Ako je x_r bolje od x_l ($f(x_r) < f(x_l)$), ide se na korak 3, u suprotnom na korak 4.

Korak 3 – Izvrši se ekspanzija i izračuna se x_e . Ako je x_e bolje od x_r , x_h se zamenjuje sa x_e . U suprotnom, x_h se zamenjuje sa x_r . Povratak na korak 1.

Korak 4 – Ako je x_r bolje ili jednako od x_s , x_h se zamenjuje sa x_r . i vraća se na korak 1. U suprotnom se ide na korak 5.

Korak 5 – Ako je x_r bolje od x_h , x_h se zamenjuje sa x_r .

Korak 6 – Izvrši se kontrakcija i izračuna se x_c . Ako je x_c bolje od x_h , x_h se zamenjuje sa x_c . U suprotnom se izvrši redukcija za sva temena osim x_l . Povratak na korak 1.

Kriterijum za konvergenciju je da standardna devijacija δ vrednosti funkcije f za sva temena postane dovoljno mala:

Jednačina 6.7

$$\delta = \sqrt{\frac{1}{N+1} \sum_k (f(x_k) - \bar{f})^2},$$
$$\bar{f} = \frac{1}{1+N} \sum_k f(x_k).$$

6.2. Primena na posmatranja

6.2.1. EG Cep

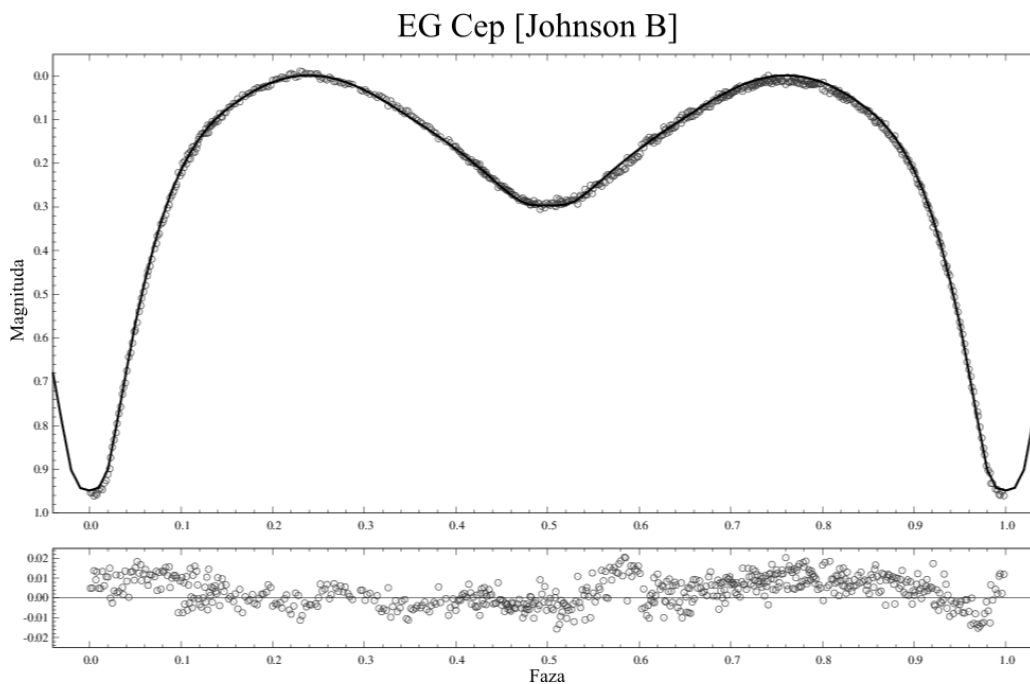
EG Cep (HD 194089) je eklipsna dvojna zvezda koju je otkrio Strohmeier (1958). U pitanju je aktivni tesno dvojni sistem koji je od otkrića predmet brojnih studija. Poslednja studija u nizu je sprovedena na Astronomskoj opservatoriji i objavljena je u Đurašević et al. (2013). Istorija istraživanja ovog interesantnog sistema je prikazana u tom radu. Zaključak rada je da je u pitanju poluodvojeni sistem u kome sekundarna komponenta ispunjava svoj Roche oval. Prisustvo svetle pege na primarnoj komponenti na mestu na kome se može očekivati pad gasne struje sa sekundara ukazuje da ovaj sistem trenutno prolazi kroz fazu razmene materije između komponentata.

Fotometrijska posmatranja u B , V i R_C filterima su dobijena sa opservatorije Univerziteta u Ankari uz pomoć Schmidt-Cassegrain teleskopa prečnika 40cm sa Apogee ALTA U47 CCD kamerom, dok su spektroskopski elementi preuzeti iz rada Rucinski et al. (2008). Autori su koristili Đuraševićev program za interpretaciju krivih

sjaja. U cilju testiranja modela predloženog u ovoj disertaciji ponovio sam analizu fotometrijskih posmatranja.

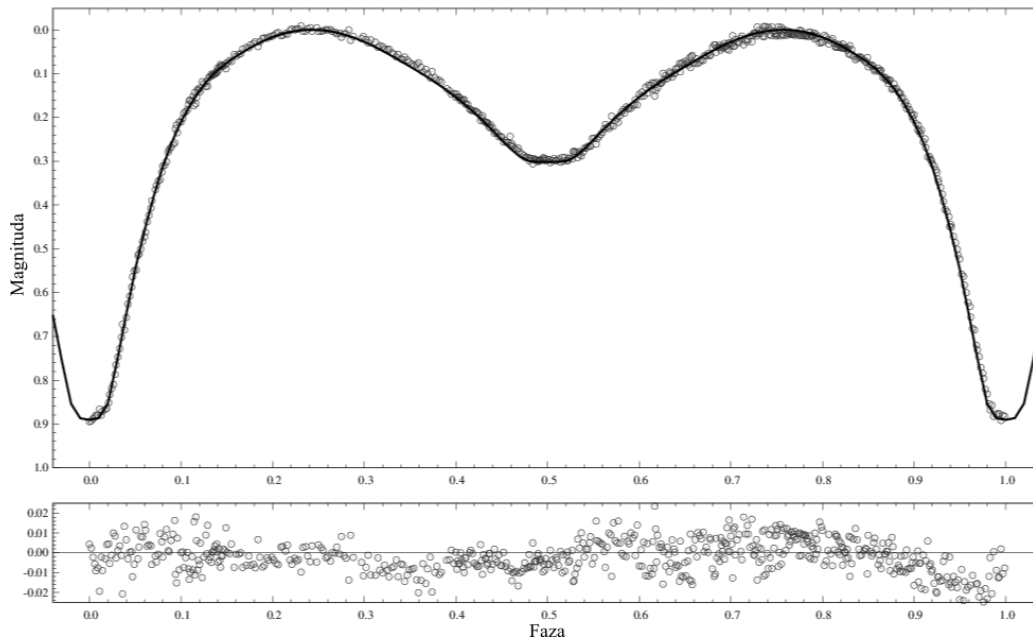
Posmatranja za sva tri filtera su simultano fitovana. Postupak analize i određivanja grešaka prati rad Đurašević et al. (2013). Fiksirani su sledeći parametri: odnos masa, temperatura primarne komponente određena spektroskopski, radijus sekundarne komponente, albeda i parametri asinhronosti za obe komponente, dok su ostali parametri tretirani kao slobodni. Greške prikazane u tabeli su formalne i predstavljaju donju granicu greške parametara. Dobijene su kao maksimalno odstupanje vrednosti parametara prilikom variranja odnosa mase između minimalne i maksimalne vrednosti ($q = 0.459$ i $q = 0.469$).

Pregled rezultata i poređenje sa Đuraševićevim programom je dat u tabeli 3. Dobijeni parametri sistema su u dobroj saglasnosti sa rezultatima iz Đurašević et al. (2013) i nalaze se unutar granica greške. Krive sjaja i reziduali za pojedinačne filtere su prikazani na slikama 6.1 - 6.3.



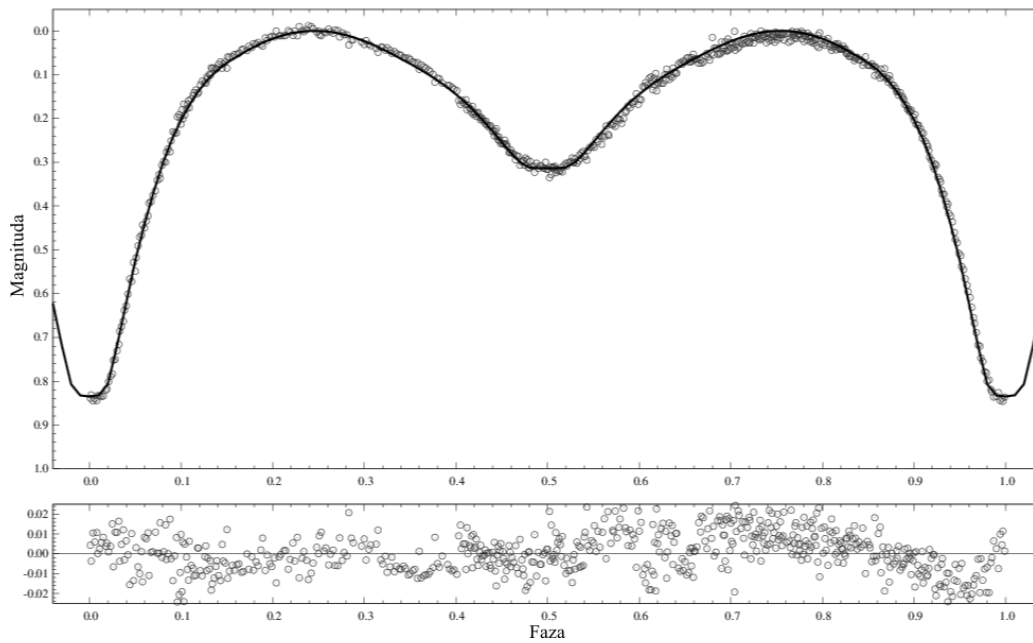
Slika 6.1 Johnson B filter

EG Cep [Johnson V]



Slika 6.2 Johnson V filter

EG Cep [Cousins R]



Slika 6.3 Johnson-Cousins R filter

Tabela 3 Parametri sistema EG Cep

	Infinity		Đurašević et al. (2013)	
Parametri dvojnog sistema				
q	0.464 ± 0.005		0.464 ± 0.005	
P [d]	0.5446226		0.5446226	
a_{orb} [R_{\odot}]	3.76 ± 0.02		3.76 ± 0.02	
i [°]	87.3 ± 0.4		87.5 ± 0.2	
$l_3/(l_1 + l_2 + l_3)$ [B]	0.001 ± 0.005		0.000 ± 0.005	
$l_3/(l_1 + l_2 + l_3)$ [V]	0.007 ± 0.005		0.007 ± 0.005	
$l_3/(l_1 + l_2 + l_3)$ [R_C]	0.012 ± 0.005		0.013 ± 0.005	
Zvezdani parametri	Primar	Sekundar	Primar	Sekundar
r_p [a_{orb}]	0.416 ± 0.003	0.293	0.41 ± 0.02	0.29 ± 0.02
T_{eff} [K]	7850	5400 ± 100	7850	5360 ± 20
f	1.0	1.0	1.0	1.0
β	0.25	0.342 ± 0.02	0.25 ± 0.01	0.34 ± 0.02
A	1.0	0.5	1.0	0.5
Parametri pege				
φ_p [°]	359.8 ± 0.6		0.0 ± 0.5	
θ_p [°]	80 ± 5		81 ± 2	
R_p [°]	31.9 ± 0.8		29.8 ± 0.5	
K_p	1.04 ± 0.01		1.04 ± 0.02	
Apsolutni parametri				
m [m_{\odot}]	1.64 ± 0.05	0.76 ± 0.09	1.64 ± 0.02	0.77 ± 0.02
R [R_{\odot}]	1.67 ± 0.01	1.17 ± 0.01	1.66 ± 0.02	1.18 ± 0.02
$\log_{10} g$	4.17 ± 0.01	4.15 ± 0.01	4.22 ± 0.02	4.18 ± 0.02
M_{bol}	2.37 ± 0.01	4.69 ± 0.03	2.36 ± 0.02	4.75 ± 0.03

6.2.2. AU Mon

AU Mon (HD 50846) je eklipsna, spektroskopski dvojna zvezda. Primarna komponenta je Be zvezda, dok sekundarna pripada spektralnom tipu G. Ovaj sistem pripada klasi novootkrivenih dvojnih zvezda sa duplim periodom (Mennickent, et al., 2003), što znači da je pored orbitalnog perioda od oko 11 dana posmatrana i dodatna promenljivost sjaja sa periodom od oko 417 dana i amplitudom 0.25 mag.

Ovaj zanimljiv sistem smo proučavali na Astronomskoj opservatoriji početkom 2010. godine. Naši rezultati su kasnije te godine objavljeni u Đurašević et al. (2010). Analiza je bila zasnovana na javno dostupnim fotometrijskim posmatranjima visoke preciznosti sa satelita CoRoT i spektroskopskim elementima objavljenim u radu Desmet et al. (2010). Naš zaključak je bio da posmatranja najbolje opisuje model u kome se oko

primarne komponente nalazi optički debeo akrecioni disk. Ovaj rezultat je kasnije potvrđen u radu Atwood-Stone et al. (2012) korišćenjem nezavisne metode. Akrecioni disk u našem modelu je konkavnog oblika (proširuje se od centra ka rubu). Dugoperiodične promene se tumače promenama u strukturi akrecionog diska, koja varira sa oscilacijama u brzini transfera mase sa sekundarne komponente. Ovo objašnjenje je u skladu sa prihvaćenim objašnjenjem za druge zvezde sa duplim periodom.

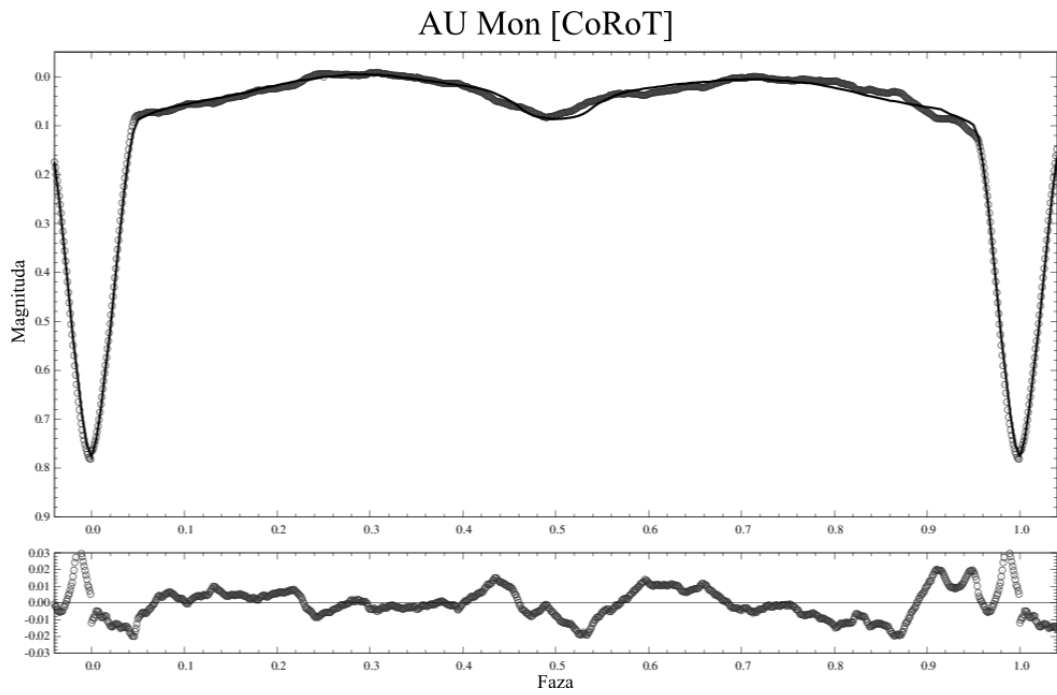
Posmatranja se sastoje od pet uzastopnih orbitalnih ciklusa. Usled malih varijacija u izgledu krive sjaja svaki od njih sam nezavisno analizirao prateći postupak iz rada Đurašević et al. (2010). Fiksirani su sledeći parametri: odnos masa, temperatura sekundarne komponente dobijena iz spektroskopije, temperatura primarne komponente na osnovu preliminarne analize, parametri asinhronosti, kao i albeda i eksponenti gravitacionog potamnjenja, za koje su uzete teorijske vrednosti. Raspodela temperature diska se opisuje Zolinom raspodelom (jednačina 5.16.3), a potamnjenje ka rubu Claret-ovom nelinearnom aproksimacijom četvrtog reda (jednačina 5.24).

U tabeli 4 je prikazano rešenje dobijeno usrednjavanjem vrednosti parametara za svih pet ciklusa. Greške u tabeli predstavljaju maksimalna odstupanja vrednosti pojedinih parametara od srednje vrednosti.

Rezultujući parametri sistema se dobro slažu sa rešenjem dobijenim pomoću Đuraševićevog programa. Akrecioni disk je neznatno veći, kao i temperatura na rubu diska ($\Delta T \approx 200K$). Sa druge strane, temperaturni kontrasti pega na rubu diska su nešto niži. Kriva sjaja i fit za prvi orbitalni ciklus je prikazana na slici 6.4.

Tabela 4 Parametri sistema AU Mon

	Infinity		Đurašević et al. (2010)	
Parametri dvojnog sistema				
q	0.17		0.17	
P [d]	11.1130374		11.1130374	
a_{orb} [R_{\odot}]	42.11		42.11	
i [°]	80.0 ± 0.5		80.1 ± 0.6	
Zvezdani parametri	Primar	Sekundar	Primar	Sekundar
r_p [a_{orb}]	0.1166(2)	0.2221	0.1184(3)	0.2221
T_{eff} [K]	15890	5750	15890	5750
f	5.2	1.0	5.2	1.0
β	0.25	0.08	0.25	0.08
A	1.0	0.5	1.0	0.5
Parametri diska				
r_{in} [a_{orb}]	0.1166(2)		0.1184(3)	
r_{out} [a_{orb}]	0.310(1)		0.3016(2)	
d_{in} [a_{orb}]	0.01		0.01	
d_{out} [a_{orb}]	0.0366(8)		0.040(5)	
T_{in}	15890		15890	
T_{out}	5400 ± 100		5190 ± 70	
a_T	6.5		6.5	
Parametri pega na disku				
φ_{p1} [°]	315 ± 10		331 ± 6	
R_{p1} [°]	18.3 ± 0.6		19.7 ± 0.4	
K_{1p}	1.56 ± 0.09		1.7 ± 0.1	
φ_{p2} [°]	191 ± 19		171 ± 13	
R_{p2} [°]	40 ± 5		33 ± 12	
K_{2p}	1.5 ± 0.3		1.4 ± 0.2	
φ_{p3} [°]	69 ± 23		53 ± 14	
R_{p3} [°]	49 ± 3		49 ± 6	
K_{3p}	1.18 ± 0.2		1.3 ± 0.1	
Apsolutni parametri				
m_1 [m_{\odot}]	6.9 ± 0.2		7.0 ± 0.3	
m_2 [m_{\odot}]	1.2 ± 0.3		1.2 ± 0.2	
R_1 [R_{\odot}]	4.9 ± 0.5		5.1 ± 0.5	
R_2 [R_{\odot}]	10.1 ± 0.5		10.1 ± 0.5	
$\log_{10} g_1$	3.87 ± 0.03		3.87 ± 0.05	
$\log_{10} g_2$	2.47 ± 0.03		2.50 ± 0.02	
M_{bol1}	-3.1 ± 0.5		-3.1 ± 0.4	
M_{bol2}	-0.23 ± 0.07		-0.21 ± 0.09	
R_d [R_{\odot}]	13.1 ± 0.04		12.7 ± 0.06	
d_{in} [R_{\odot}]	0.42 ± 0.01		0.42 ± 0.01	
d_{out} [R_{\odot}]	1.54 ± 0.07		1.66 ± 0.05	



Slika 6.4 Prvi orbitalni ciklus iz CoRoT posmatranja

7. Zaključak

U okviru ove disertacije je napisan novi program za modeliranje dvojnih sistema, *Infinity*. Njime je moguće uspešno opisati širok spektar konfiguracija dvojnih sistema – od dobro razdvojenih do tesno dvojnih sistema na eliptičnim ili kružnim orbitama, sistema sa akrecionim diskom i/ili aktivnim regionima na komponentama. Prilikom računanja izlaznog fluksa svakoj elementarnoj ćeliji se prisuje jednodimenzioni Kurucz-ov model zvezdane atmosfere za lokalne vrednosti temperature i gravitacionog ubrzanja. Uzima se u obzir i uticaj krive propusne moći fotometrijskih filtera na izračunatu krivu sjaja. Uz nju se računa i kriva radijalnih brzina, što omogućava dobijanje kompletnog spektrofotometrijskog rešenja primenom Nelder-Mead simpleks algoritma za optimizaciju.

Glavni doprinos disertacije je novi pristup geometrijskoj reprezentaciji dvojnih sistema. Ključna su dva originalna algoritma – adaptivna geodezijska mreža za opis površine zvezde u dvojnog sistema i inverzni slikarski algoritam za detekciju vidljivosti.

U opštem slučaju, komponente sistema se aproksimiraju poligonom mrežom - skupom povezanih trouglova u trodimenzionom prostoru kojim se opisuje neka površ. Iako se geodezijska mreža koristi i u drugim programima (npr. Hendry & Mochnacki (1992)), ovde je prvi put implementirana adaptivna podela. Da bi se povećala tačnost izračunate krive sjaja, u svakoj fazi se odredi region na koji pada senka druge komponente i u njemu se dodatnim korakom podele povećava broj elementarnih ćelija. Ovo dovodi do mnogo preciznijeg modeliranja pomračenja u dvojnog sistema.

Korišćenje poligonih mreža je omogućilo i uopštenje geometrijskog modela akrecionog diska. Upotreba rotacione osno-simetrične površi (*lathe mesh*) dovodi do jednostavnog opisa diskova različitih oblika. U *Infinity*-ju su trenutno implementirani konusni i toroidalni disk.

Predloženi algoritam za određivanje vidljivih ćelija u datoj fazi (detekcija vidljivosti) se zasniva na inverznom slikarskom algoritmu iz polja računarske grafike. Njegova najbitnija karakteristika je da ne zahteva nikakve informacije o geometriji dvojnog sistema osim samih poligonih mreža koje je opisuju. To znači da se sve komponente dvojnog sistema (zvezde i disk) mogu tretirati na isti način, što dovodi do velike

fleksibilnosti modela i otvara mogućnost za jednostavno proširenje na egzotičnije konfiguracije kao što su hijerarhiski sistemi, sistemi sa ekscentričnim ili cirkumbinarnim akrecionim diskom, planetarni sistemi itd.

Upravo to je glavni pravac razvoja modela u budućnosti – proširivanje fizičkog opisa dvojnog sistema tako da obuhvati i ove slučajeve. U planu je i dodavanje sinteze spektara dvojnog sistema da bi se proučavao uticaj pomračenja na promenu profila spektralnih linija sa fazom, kao i implementacija alternativnih algoritama za optimizaciju kao što su Levenberg-Marquardt algoritam ili Powell-ov metod. Ovo je bitno sa stanovišta problema pronalaženja globalnog minimuma u parametarskom prostoru, odnosno „pravog“ rešenja, koji još uvek predstavlja otvoreno pitanje ne samo u oblasti proučavanja dvojnih zvezda, već i u polju matematičkog modeliranja uopšte. U idealnom slučaju bi pretraga parametarskog prostora sa dovoljno malim korakom po svakom parametru dovela do pronalaženja globalnog minimuma. U praksi je to nemoguće zbog velikog broja parametara kojim se opisuje dvojni sistem i ogromnog računarskog vremena koje bi takva pretraga zahtevala. Zato su i razvijeni različiti algoritmi za optimizaciju, svaki sa svojim prednostima i manama.

Jedan od nedostataka primenjenog algoritma u *Infinity*-ju (Nelder-Mead simplex) je to što on ne daje procenu grešaka dobijenih parametara. Alternativno, potrebno je razviti neku proceduru za pouzdanu procenu ovih grešaka. Jedna mogućnost je da se napravi pretraga parametarskog prostora koja je ograničena samo na granice pouzdanosti (min-max) fiksniranih parametara za koje znamo greške.

Na kraju bih se osvrnuo na još jednu dimenziju modeliranja dvojnih sistema o kojoj nije bilo reči do sada. Posmatračke tehnike napreduju vrtoglavo brzinom – bez obzira da li je reč o fotometriji ili spektroskopiji. Količina i kvalitet dostupnih posmatranja su rasli eksponencijalno u poslednjoj deceniji i nema naznaka da će se ovaj trend promeniti u bliskoj budućnosti. Ova eksplozija podataka predstavlja veliki izazov za teoriju modeliranja dvojnih sistema. Programi masovne pretrage neba (SuperWASP, HAT, OGLE, MACHO...) proizvode krive sjaja za milione promenljivih zvezda. Da bi se ovi podaci u potpunosti iskoristili potrebno je razviti pouzdane automatske procedure za njihovu klasifikaciju i rešavanje. Postoje značajni naponi u tom pravcu koji uključuju

neuronske mreže, genetske algoritme i slične pristupe. Prvi rezultati su ohrabrujući, ali smo još daleko od opšte prihvaćenog i, na kraju krajeva, pouzdanog pristupa.

Sa druge strane, svemirski teleskopi daju neprekidna posmatranja sa tačnošću koja ide ispod jedne milimagnitude. Kvalitet ovih merenja nam omogućava da direktno posmatramo komplikovane fizičke procese kao što su neradijalne pulsacije, Doppler beaming itd. Da bi se ove krive sjaja uspešno interpretirale potrebno je proširiti fizički model tako da obuhvata i ove efekte. Oba ova aspekta dovode do toga da moderni modeli dvojnih sistema postaju sve kompleksniji i kompleksniji programi. Na primer, na sledećih 130 strana je dat listing dela *Infinity*-ja koji služi za rešavanje direktnog zadatka. Zbog obima nisu uključeni grafički interfejs, deo za vizuelizaciju, kao ni pomoćni programi. Ovo predstavlja ozbiljan izazov sa stanovišta programiranja. Modularnost, lakoća proširivanja i čitljivost postaju najvažniji aspekti strukture programa. Kallrath i Milone ističu upravo ove kvalitete u poslednjoj glavi svoje knjige (Kallrath & Milone, 2009) koja se bavi strukturom idealnog programa za modeliranje dvojnih sistema koji bi bio u stanju da odgovori na izazove u narednoj deceniji. Nadam se da je *Infinity* korak ka tom cilju.

8. Infinity - program za modeliranje dvojnih sistema

8.1. Pomoćni objekti

Calc.h

```
1 #pragma once
2
3 #include <cmath>
4 #include <limits>
5 #include <exception>
6
7 namespace Infinity {
8
9 inline int sign(double x)
10 { return (x > 0) - (x < 0); }
11
12 //Switches the sign of the first argument to match the
13 //sign of the second argument.
14 inline double switchSign(double a, double b)
15 {return b >= 0 ? (a >= 0 ? a : -a) : (a >= 0 ? -a : a);}
16
17 inline bool isOdd(int value)
18 { return ((value & 1) == 1); }
19
20 inline bool isEqual(double x, double y,
21     double epsilon = 16 * std::numeric_limits<double>::epsilon())
22 { return abs(x - y) < epsilon; }
23
24 inline bool isEqual(float x, float y,
25     float epsilon = 16 * std::numeric_limits<float>::epsilon())
26 { return abs(x - y) < epsilon; }
27
28 inline bool isNotEqual(double x, double y,
29     double epsilon = 16 * std::numeric_limits<double>::epsilon())
30 { return abs(x - y) >= epsilon; }
31
32 inline bool isNotEqual(float x, float y,
33     float epsilon = 16 * std::numeric_limits<float>::epsilon())
34 { return abs(x - y) >= epsilon; }
35
36 inline bool isEven(int value)
37 { return ((value & 1) == 0); }
38
39 inline double rad2deg(double value)
40 { return value * 180.0 / M_PI; }
41
42 inline float rad2deg(float value)
43 { return static_cast<float>(value * 180.0 / PI_F); }
44
45 inline double deg2rad(double value)
46 { return value * M_PI / 180.0; }
47
48 inline float deg2rad(float value)
```

```

49 { return static_cast<float>(value * PI_F / 180.0); }
50
51 inline double pow2(double x)
52 { return x * x; }
53
54 inline float pow2(float x)
55 { return x * x; }
56
57 inline int pow2(int x)
58 { return x * x; }
59
60 inline double pow3(double x)
61 { return x * x * x; }
62
63 inline float pow3(float x)
64 { return x * x * x; }
65
66 inline int pow3(int x)
67 { return x * x * x; }
68
69 inline double pow4(double x)
70 { return x * x * x * x; }
71
72 inline float pow4(float x)
73 { return x * x * x * x; }
74
75 inline int pow4(int x)
76 { return x * x * x * x; }
77
78 inline double pow5(double x)
79 { return x * x * x * x * x; }
80
81 inline float pow5(float x)
82 { return x * x * x * x * x; }
83
84 inline int pow5(int x)
85 { return x * x * x * x * x; }
86
87 inline double powN(double x, int n)
88 {
89     if (n == 0 || x == 1.0)
90         return 1.0;
91
92     if (x == -1.0)
93         return isOdd(n) ? -1.0 : 1.0;
94
95     double result = 1.0;
96
97     int absN = n < 0 ? -n : n;
98     for (int i = 1; i <= absN; i++)
99         result *= x;
100
101     if (n < 0)
102         return 1 / result;
103     else
104         return result;
105 }

```



```

106
107 inline double root2(double x)
108 { return sqrt(x); }
109
110 inline double root3(double x)
111 { return pow(x, 1/3); }
112
113 inline double root4(double x)
114 { return sqrt(sqrt(x)); }
115
116 inline double rootN(double x, double N)
117 { return pow(x, 1/N); }
118
119 // Calculates the factorial (n!).
120 inline unsigned long long int factorial(unsigned int n)
121 {
122     unsigned long long int result = 1;
123
124     for (unsigned int i = 1; i <= n; i++)
125         result *= i;
126
127     return result;
128 }
129
130 //Calculates the double factorial (n!!).
131 inline unsigned long long int doubleFactorial(int n)
132 {
133     unsigned long long int result = 1;
134
135     for (int i = n; i > 1; i -= 2)
136         result *= i;
137
138     return result;
139 }
140
141 //Calculates the binomial coefficient "n over k", where
142 // n and k are integers.
143 inline unsigned long long int binomial(unsigned int n, unsigned int k)
144 {
145     if (n <= 20)
146         return factorial(n) / (factorial(k) * factorial(n - k));
147     else
148         throw std::exception("Result too big for long long int.");
149 }
150
151 //Calculates the rising factorial of a double number x,
152 //x^(n) = x(x+1)(x+2)..(x+(n-1)).
153 inline double risingFactorial(double x, unsigned int n)
154 {
155     if (n == 0)
156         return 1;
157     else
158     {
159         double result = x;
160
161         for (unsigned int i = 1; i < n; i++)
162             result *= (x + i);

```

```

163
164     return result;
165 }
166 }
167
168 //Calculates the falling factorial of a double number x,
169 //(x)_n = x(x-1)(x-2)..(x-(n-1)).
170 inline double fallingFactorial(double x, unsigned int n)
171 {
172     if (n == 0)
173         return 1;
174     else
175     {
176         double result = x;
177
178         for (unsigned int i = 1; i < n; i++)
179             result *= (x - i);
180
181         return result;
182     }
183 }
184
185 //Calculates the binomial coefficient "x over k",
186 //where x is a double and k is an integer.
187 inline double binomial(double x, unsigned int k)
188 { return fallingFactorial(x, k) / factorial(k); }

```

BrentRootFinder.h

```

1  #pragma once
2
3  #include "RootFinder.h"
4  #include "Calc.h"
5
6  #include <cmath>
7  #include <limits>
8
9  namespace Infinity {
10 class BrentRootFinder : public RootFinder
11 {
12 public:
13     BrentRootFinder(double convergenceTolerance, unsigned short
14         maxEvaluations);
15     virtual ~BrentRootFinder();
16
17     double find(Function& function, double lowerBound,
18         double upperBound, double constant = 0.0);
19     double find(Function& function, Function& derivative,
20         double lowerBound, double upperBound, double constant = 0.0);
21 }; }

```

BrentRootFinder.cpp

```

1  #include "stdafx.h"
2  #include "BrentRootFinder.h"
3

```

```

4  using namespace std;
5  namespace Infinity {
6  BrentRootFinder::BrentRootFinder(double convergenceTolerance,
7      unsigned short maxEvaluations) :
8  RootFinder(convergenceTolerance, maxEvaluations) { }
9
10 BrentRootFinder::~BrentRootFinder() { }
11
12 double BrentRootFinder::find(Function& function, double
13     lowerBound, double upperBound, double constant)
14 {
15     //Implementation from Numerical Recipies, 3rd Edition
16     //(page 454)
17     if (lowerBound >= upperBound)
18         throw std::exception("Bad interval.");
19
20     double low = lowerBound;
21     double high = upperBound;
22     double current = upperBound;
23
24     double lowValue = function(low) - constant;
25     double highValue = function(high) - constant;
26     double currentValue = highValue;
27
28     double accuracy, delta, previousCorrection, correction;
29
30     if (isEqual(lowValue, 0.0))
31         return low;
32
33     if (isEqual(highValue, 0.0))
34         return high;
35
36     if (sign(lowValue) == sign(highValue))
37         throw std::exception("Functions is not bracketed properly.");
38
39     for (unsigned short eval = 2; eval < maxEval; eval++)
40     {
41         if (sign(currentValue) == sign(highValue))
42         {
43             high=low; //Rename a, b, c and
44                 //adjust bounding interval d.
45             highValue = lowValue;
46             correction = current - low;
47             previousCorrection = correction;
48         }
49         if (abs(highValue) < abs(currentValue))
50         {
51             low = current;
52             current = high;
53             high = low;
54             lowValue = currentValue;
55             currentValue = highValue;
56             highValue = lowValue;
57         }
58
59         accuracy = 2.0 * numeric_limits<double>::epsilon() * abs(current) +
60     0.5 * tolerance;

```

```

61     delta = 0.5 * (high - current);
62
63     if (abs(delta) <= accuracy || isEqual(currentValue, 0.0))
64         return current;
65
66     double p, q, r, s; //Local variables used
67                       //for interpolation.
68
69     //Is interpolation necessary?
70     if (abs(previousCorrection) >= accuracy
71         && abs(lowValue) > abs(currentValue))
72     {
73         //Attempt inverse quadratic interpolation.
74         s = currentValue / lowValue;
75         if (isEqual(low, high))
76         {
77             p = 2.0 * delta * s;
78             q = 1.0 - s;
79         }
80         else
81         {
82             q = lowValue / highValue;
83             r = currentValue / highValue;
84             p = s * (2.0 * delta * q * (q - r)
85                 - (current - low) * (r - 1.0));
86             q = (q - 1.0) * (r - 1.0) * (s - 1.0);
87         }
88
89         if (p > 0.0)
90             q = -q;
91         else
92             p = abs(p);
93
94         double min1 = 3.0 * delta * q - abs(accuracy * q);
95         double min2 = abs(previousCorrection * q);
96
97         if (2.0 * p < min(min1, min2))
98         {
99             //Accept interpolation.
100            previousCorrection = correction;
101            correction = p / q;
102        }
103        else
104        {
105            //Interpolation failed, use bisection.
106            correction = delta;
107            previousCorrection = correction;
108        }
109    }
110    else
111    { //Bounds decreasing too slowly, use bisection.
112        correction = delta;
113        previousCorrection = correction;
114    }
115
116    low = current; //Move last best guess to a.
117    lowValue = currentValue;

```

```

118
119     if (abs(correction) > accuracy) //Evaluate new trial root.
120         current += correction;
121     else
122         current += switchSign(accuracy, delta);
123
124         currentValue = function(current) - constant;
125     }
126
127     throw std::exception("Number of maximum evaluations reached.");
128 }
129
130 double BrentRootFinder::find(Function& function, Function& derivative,
131     double lowerBound, double upperBound, double constant)
132 { return find(function, lowerBound, upperBound, constant); }

```

FalsePositionRootFinder.h

```

1  #pragma once
2
3  #include "RootFinder.h"
4  #include "Calc.h"
5
6  #include <cmath>
7  #include <utility>
8
9  namespace Infinity {
10 class FalsePositionRootFinder : public RootFinder
11 {
12 public:
13     FalsePositionRootFinder(double convergenceTolerance,
14         unsigned short maxEvaluations);
15     virtual ~FalsePositionRootFinder();
16
17     double find(Function& function, double lowerBound,
18         double upperBound, double constant = 0.0);
19     double find(Function& function, Function& derivative, double lowerBound,
20         double upperBound, double constant = 0.0);
21 }; }

```

FalsePositionRootFinder.cpp

```

1  #include "stdafx.h"
2  #include "FalsePositionRootFinder.h"
3
4  using namespace std;
5
6  namespace Infinity {
7  FalsePositionRootFinder::FalsePositionRootFinder(double convergenceTolerance,
8      unsigned short maxEvaluations)
9      : RootFinder(convergenceTolerance, maxEvaluations)
10 { }
11
12 FalsePositionRootFinder::~~FalsePositionRootFinder()
13 { }
14

```

```

15 double FalsePositionRootFinder::find(Function& function, double lowerBound,
16 double upperBound, double constant)
17 {
18     //Implementation from Numerical Recipes, 3rd Edition
19     //(page 449)
20     if (lowerBound >= upperBound)
21         throw std::exception("Bad interval.");
22
23     double low, high, mid;
24
25     double lowValue = function(lowerBound) - constant;
26     double highValue = function(upperBound) - constant;
27     double midValue;
28
29     if (isEqual(lowValue, 0.0))
30         return lowerBound;
31
32     if (isEqual(highValue, 0.0))
33         return upperBound;
34
35     if (sign(lowValue) == sign(highValue))
36         throw std::exception("Functions is not bracketed properly.");
37
38     if (lowValue < 0.0)
39     {
40         low = lowerBound;
41         high = upperBound;
42     }
43     else
44     {
45         low = upperBound;
46         high = lowerBound;
47         swap(lowValue, highValue);
48     }
49
50     double correction;
51
52     for (unsigned short eval = 2; eval < maxEval; eval++)
53     {
54         mid = low + (high - low) * lowValue / (lowValue - highValue);
55         midValue = function(mid) - constant;
56
57         //adjust the interval
58         if (midValue < 0.0)
59         {
60             correction = low - mid;
61             low = mid;
62             lowValue = midValue;
63         }
64         else
65         {
66             correction = high - mid;
67             high = mid;
68             highValue = midValue;
69         }
70
71         if (isEqual(midValue, 0.0) || abs(correction) < tolerance)

```

```

72         return mid;
73     }
74
75     throw std::exception("Number of maximum evaluations reached.");
76 }
77
78 double FalsePositionRootFinder::find(Function& function, Function&
79 derivative,
80     double lowerBound, double upperBound, double constant)
81 { return find(function, lowerBound, upperBound, constant); }

```

Color.h

```

1  #pragma once
2
3  namespace Infinity {
4  class Color
5  {
6  public:
7      Color(int r, int g, int b);
8      Color(const Color &original);
9      Color(void);
10     ~Color(void);
11
12     int r, g, b;
13
14     static Color Interpolate(const Color& first, const Color& second, double
15 amount);
16
17     Color& operator=(const Color &original);
18 private:
19     static int linearIntepolation(int c0, int c1, double t);
20 };
21
22 inline int Color::linearIntepolation(int c0, int c1, double t)
23 { return static_cast<int>((1-t) * c0 + t * c1); }
24
25 inline Color Color::Interpolate(const Color& first, const Color& second,
26 double amount)
27 {
28     Color result;
29     result.r = linearIntepolation(first.r, second.r, amount);
30     result.g = linearIntepolation(first.g, second.g, amount);
31     result.b = linearIntepolation(first.b, second.b, amount);
32
33     return result;
34 } }

```

Color.cpp

```

1  #include "stdafx.h"
2  #include "Color.h"
3
4  namespace Infinity {
5  Color::Color(int r, int g, int b)
6      : r(r), g(g), b(b)    { }

```

```

7
8 Color::Color(const Color &original)
9 {
10     r = original.r;
11     g = original.g;
12     b = original.b;
13 }
14
15 Color::Color(void)
16     : r(0), g(0), b(0)
17 { }
18
19 Color::~~Color(void) { }
20
21 Color& Color::operator=(const Color &original)
22 {
23     r = original.r;
24     g = original.g;
25     b = original.b;
26
27     return *this;
28 } }

```

IniReader.h

```

1 #pragma once
2
3 #include "Utilities.h"
4
5 #include <string>
6 #include <vector>
7 #include <locale>
8 #include <tchar.h>
9
10 namespace Infinity {
11 class IniReader
12 {
13 public:
14     IniReader(void);
15     ~IniReader(void);
16
17     static double GetDoubleValue(LPCTSTR section, LPCTSTR key, LPCTSTR file);
18     static std::vector<double> GetDoubleVector(LPCTSTR section,
19         LPCTSTR key, LPCTSTR file);
20
21     static int GetIntValue(LPCTSTR section, LPCTSTR key, LPCTSTR file);
22     static std::vector<int> GetIntVector(LPCTSTR section,
23         LPCTSTR key, LPCTSTR file);
24
25     static std::wstring GetStringValue(LPCTSTR section,
26         LPCTSTR key, LPCTSTR file);
27     static std::vector<std::wstring> GetStringVector(LPCTSTR section,
28         LPCTSTR key, LPCTSTR file);
29 }; }

```


IniReader.cpp

```
1  #include "stdafx.h"
2  #include "IniReader.h"
3
4  using namespace std;
5
6  namespace Infinity {
7  IniReader::IniReader(void)
8  { }
9
10 IniReader::~IniReader(void)
11 { }
12
13 double IniReader::GetDoubleValue(LPCTSTR section, LPCTSTR key, LPCTSTR file)
14 {
15     TCHAR value[256];
16     _locale_t locale = _create_locale(LC_NUMERIC, "english");
17
18     DWORD charCount = GetPrivateProfileString(section, key, L"0.0",
19         value, 256, file);
20     return _tstof_l(value, locale);
21 }
22
23 vector<double> IniReader::GetDoubleVector(LPCTSTR section, LPCTSTR key,
24     LPCTSTR file)
25 {
26     vector<double> result;
27     TCHAR value[256];
28     _locale_t locale = _create_locale(LC_NUMERIC, "english");
29
30     DWORD charCount = GetPrivateProfileString(section, key, L"0.0",
31         value, 256, file);
32     vector<wstring> tokens = split(value, L" \t");
33     for(auto it = tokens.begin(); it != tokens.end(); it++)
34         result.push_back( _tstof_l(it->c_str(), locale));
35
36     return result;
37 }
38
39 int IniReader::GetIntValue(LPCTSTR section, LPCTSTR key, LPCTSTR file)
40 {
41     _locale_t locale = _create_locale(LC_NUMERIC, "english");
42     TCHAR value[256];
43     DWORD charCount = GetPrivateProfileString(section, key, L"0",
44         value, 256, file);
45     return _tstoi_l(value, locale);
46 }
47
48 vector<int> IniReader::GetIntVector(LPCTSTR section, LPCTSTR key, LPCTSTR
49     file)
50 {
51     vector<int> result;
52     TCHAR value[256];
```

```

53     _locale_t locale = _create_locale(LC_NUMERIC, "english");
54
55     DWORD charCount = GetPrivateProfileString(section, key, L"0.0",
56         value, 256, file);
57     vector<wstring> tokens = split(value, L" \t");
58     for(auto it = tokens.begin(); it != tokens.end(); it++)
59         result.push_back( _tstoi_l(it->c_str(), locale));
60
61     return result;
62 }
63
64 wstring IniReader::GetStringValue(LPCTSTR section, LPCTSTR key, LPCTSTR file)
65 {
66     TCHAR value[256];
67     DWORD charCount = GetPrivateProfileString(section, key, L"0.0",
68         value, 256, file);
69     return value;
70 }
71
72 vector<wstring> IniReader::GetStringVector(LPCTSTR section, LPCTSTR key,
73     LPCTSTR file)
74 {
75     TCHAR value[256];
76     _locale_t locale = _create_locale(LC_NUMERIC, "english");
77
78     DWORD charCount = GetPrivateProfileString(section, key, L"0.0",
79         value, 256, file);
80     return split(value, L" \t");
81 } }

```

Palette.h

```

1  #pragma once
2
3  #include <string>
4  #include <vector>
5  #include <fstream>
6  #include "Color.h"
7  #include "Calc.h"
8
9  namespace Infinity {
10 class Palette
11 {
12 public:
13     Palette(std::wstring fileName);
14     Palette(const Palette &source);
15     Palette& operator= (const Palette &source);
16     ~Palette(void);
17
18     Color getColor(double value, double minValue, double maxValue) const;
19
20 private:
21     std::vector<Color> palette;
22 }; }

```

Palette.cpp

```
1  #include "stdafx.h"
2  #include "Palette.h"
3
4  using namespace std;
5
6  namespace Infinity {
7  Palette::Palette(wstring fileName)
8  {
9      ifstream paletteFile(L"palettes/" + fileName);
10     int r, g, b;
11
12     while(!paletteFile.eof())
13     {
14         paletteFile >> r;
15         paletteFile >> g;
16         paletteFile >> b;
17
18         palette.push_back(Color(r, g, b));
19     }
20
21     paletteFile.close();
22 }
23
24 Palette::Palette(const Palette& source)
25 {
26     palette = source.palette;
27 }
28
29 Palette& Palette::operator= (const Palette& source)
30 {
31     palette = source.palette;
32
33     return *this;
34 }
35
36 Palette::~~Palette(void)
37 { }
38
39 Color Palette::getColor(double value, double minValue, double maxValue) const
40 {
41     double absAmount = (value - minValue) / (maxValue - minValue);
42
43     size_t index = static_cast<size_t>(floor(absAmount
44         * (palette.size() - 1)));
45     double amount = absAmount * (palette.size() - 1) - index;
46
47
48     Color color;
49     if (isEqual(value, maxValue, 0.001))
50         color = palette[palette.size()-1];
51     else
52         color = Color::Interpolate(palette[index], palette[index+1], amount);
53
54     return color; } }
```

RootFinder.h

```
1 #pragma once
2
3 #include "UnivariateFunction.h"
4 #include <exception>
5
6 namespace Infinity {
7 class RootFinder
8 {
9 public:
10     RootFinder(double convergenceTolerance, unsigned short maxEvaluations);
11     virtual ~RootFinder();
12
13     virtual double find(Function& function, double lowerBound,
14         double upperBound, double constant = 0.0) = 0;
15     virtual double find(Function& function, Function& derivative,
16         double lowerBound, double upperBound, double constant = 0.0) = 0;
17
18 protected:
19     double tolerance;
20     unsigned short maxEval;
21 }; }
```

RootFinder.cpp

```
1 #include "stdafx.h"
2 #include "RootFinder.h"
3
4 namespace Infinity {
5     RootFinder::RootFinder(double convergenceTolerance,
6         unsigned short maxEvaluations)
7         : tolerance(convergenceTolerance), maxEval(maxEvaluations)
8     { }
9
10     RootFinder::~~RootFinder(void)
11     { } }
```

stdafx.h

```
1 // stdafx.h : include file for standard system include files,
2 // or project specific include files that are used frequently, // but are
3 // changed infrequently
4
5 #pragma once
6
7 #include "targetver.h"
8
9 #define WIN32_LEAN_AND_MEAN
10 #define _USE_MATH_DEFINES
11 #define PI_F 3.141592653589793f
12 #define PI_2_F 1.5707963267948966f
13 #define PI_4_F 0.7853981633974483f
14 #define TWO_PI_F 6.28318530717959f
```

```

15 #define NO_REFLECTION 0
16 #define No_REFLECTION_STR L"No"
17 #define DJURASEVIC_REFLECTION 1
18 #define DJURASEVIC_REFLECTION_STR L"Djurasevic"
19 #define KHRUZINA_REFLECTION 2
20 #define KHRUZINA_REFLECTION_STR L"Khruzina"
21 #define NO_OUTPUT 0
22 #define NO_OUTPUT_STR L"No"
23 #define OUTPUT_ONCE 1
24 #define OUTPUT_ONCE_STR L"Once"
25 #define OUTPUT_ON_EACH_PHASE 2
26 #define OUTPUT_ON_EACH_PHASE_STR L"OnEachPhase"
27 #define MESH_3D 0
28 #define MESH_3D_STR L"ThreeD"
29 #define MESH_2D 1
30 #define MESH_2D_STR L"TwoD"
31 #define MESH_HIDDEN 2
32 #define MESH_HIDDEN_STR L"Hidden"
33 #define DISC_SHAPE_NONE 0
34 #define DISC_SHAPE_NONE_STR L"None"
35 #define DISC_SHAPE_CONICAL 1
36 #define DISC_SHAPE_CONICAL_STR L"Conical"
37 #define DISC_SHAPE_TOROIDAL 2
38 #define DISC_SHAPE_TOROIDAL_STR L"Toroidal"
39 #define DISC_TEMP_DIST_ZOLA 0
40 #define DISC_TEMP_DIST_ZOLA_STR L"Zola"
41 #define DISC_TEMP_DIST_ALPHA 1
42 #define DISC_TEMP_DIST_ALPHA_STR L"Alpha"
43 #define DISC_TEMP_DIST_DJURASEVIC 2
44 #define DISC_TEMP_DIST_DJURASEVIC_STR L"Djurasevic"
45 #define GRID_VISIBILITY 0
46 #define GRID_VISIBILITY_STR L"Grid"
47 #define CONVEX_HULL_VISIBILITY 1
48 #define CONVEX_HULL_VISIBILITY_STR L"ConvexHull"
49 #define TRIANGLE_FULL 0
50 #define TRIANGLE_FULL_STR L"Full"
51 #define TRIANGLE_POINT 1
52 #define TRIANGLE_POINT_STR L"Point"
53 #define XUNITS_PHASE 0
54 #define XUNITS_PHASE_STR L"Phase"
55 #define XUNITS_TIME 1
56 #define XUNITS_TIME_STR L"Time"
57 #define YUNITS_FLUX 0
58 #define YUNITS_FLUX_STR L"Flux"
59 #define YUNITS_MAGNITUDE 1
60 #define YUNITS_MAGNITUDE_STR L"Magnitude"
61 #define YUNITS_ABSOLUTE 0
62 #define YUNITS_ABSOLUTE_STR L"Absolute"
63 #define YUNITS_NORMALIZED 1
64 #define YUNITS_NORMALIZED_STR L"Normalized"
65 #define PLANCK_FLUX 0
66 #define PLANCK_FLUX_STR L"Planck"
67 #define KURUTZ_FLUX 1
68 #define KURUTZ_FLUX_STR L"Kurutz"
69
70 // TODO: reference additional headers your program requires here
71 #include <Windows.h>

```

UnivariateFunction.h

```
1 #pragma once
2
3 namespace Infinity {
4 template <class TOut, class TArg>
5 class UnivariateFunction
6 {
7 public:
8     //Evaluate
9     virtual TOut operator() (TArg x) const = 0;
10
11 protected:
12     UnivariateFunction() { }
13
14     //Constructors/destructors
15     ~UnivariateFunction()
16     { }
17 };
18
19 typedef UnivariateFunction<double, double> Function; }
```

Utilities.h

```
1 #pragma once
2
3 #include <vector>
4
5 namespace Infinity {
6 std::vector<std::wstring> split(wchar_t* string, wchar_t* separators);
7 std::vector<std::string> split(char* string, char* separators); }
```

Utilities.cpp

```
1 #include "stdafx.h"
2 #include "Utilities.h"
3
4 namespace Infinity {
5 std::vector<std::wstring> split(wchar_t* string, wchar_t* separators)
6 {
7     std::vector<std::wstring> result;
8     wchar_t* token;
9     wchar_t* next_token = NULL;
10
11     token = wcstok_s(string, separators, &next_token);
12
13     while(token != NULL)
14     {
15         result.push_back(token);
16         token = wcstok_s(NULL, separators, &next_token);
17     }
18
19     return result;
20 }
```

```

21
22 std::vector<std::string> split(char* string, char* separators)
23 {
24     std::vector<std::string> result;
25     char* token;
26     char* next_token = NULL;
27
28     token = strtok_s(string, separators, &next_token);
29
30     while(token != NULL)
31     {
32         result.push_back(token);
33         token = strtok_s(NULL, separators, &next_token);
34     }
35
36     return result;
37 } }

```

8.2. Geometrija

Circle.h

```

1  #pragma once
2
3  #include "SimpleMath.h"
4  #include "Calc.h"
5
6  namespace Infinity {
7  class Circle
8  {
9  public:
10     //Constructors/destructors
11     Circle(float x, float y, float radius);
12     Circle(DirectX::SimpleMath::Vector2 center, float radius);
13     Circle(const Circle& c);
14     Circle();
15     ~Circle();
16
17     //Methods
18     const DirectX::SimpleMath::Vector2* getCenter() const;
19     float getRadius() const;
20
21     static bool Intersects(const Circle* first, const Circle* second);
22     static Circle GetBoundingCircle(DirectX::SimpleMath::Vector2& pointA,
23     DirectX::SimpleMath::Vector2& pointB, DirectX::SimpleMath::Vector2&
24     pointC);
25
26     //Operators
27     Circle& operator=(const Circle& right);
28     friend bool operator==(const Circle& left, const Circle& right);
29     friend bool operator!=(const Circle& left, const Circle& right);
30
31 private:
32     DirectX::SimpleMath::Vector2 center;
33     float radius;

```

```

34 };
35
36 inline const DirectX::SimpleMath::Vector2* Circle::getCenter() const
37 { return &center; }
38
39 inline float Circle::getRadius() const
40 { return radius; } }

```

Circle.cpp

```

1  #include "stdafx.h"
2  #include "Circle.h"
3
4  using namespace std;
5  using namespace DirectX::SimpleMath;
6
7  namespace Infinity {
8
9  Circle::Circle(float x, float y, float radius) : center(x, y), radius(radius)
10 { }
11
12 Circle::Circle(Vector2 center, float radius) : center(center), radius(radius)
13 { }
14
15 Circle::Circle(const Circle& c) : center(c.center), radius(c.radius)
16 { }
17
18 Circle::Circle() : center(0, 0), radius(1)
19 { }
20
21 Circle::~Circle()
22 { }
23
24 //Assignment
25 Circle& Circle::operator=(const Circle& right)
26 {
27     center = right.center;
28     radius = right.radius;
29
30     return *this;
31 }
32
33 //Comparison
34 bool operator==(const Circle& left, const Circle& right)
35 {
36     return (left.center == right.center) && isEqual(left.radius,
37 right.radius);
38 }
39
40 bool operator!=(const Circle& left, const Circle& right)
41 {
42     return !(left == right);
43 }
44
45 //Methods

```



```

46 Circle Circle::GetBoundingCircle(Vector2& pointA, Vector2& pointB, Vector2&
47 pointC)
48 {
49     float radius;
50     Vector2 center;
51
52     //represents sufficiently small number to be considered zero
53     float epsilon = numeric_limits<float>::epsilon() * 16;
54
55     //Center and radius of the bounding circle taken from
56     //http://realtimecollisiondetection.net/blog/?p=20
57
58     Vector2 AB = pointB - pointA;
59     Vector2 AC = pointC - pointA;
60
61
62     float dotABAB = AB.Dot(AB);
63     float dotABAC = AB.Dot(AC);
64     float dotACAC = AC.Dot(AC);
65     float d = 2.0f * (dotABAB * dotACAC - dotABAC * dotABAC);
66
67     Vector2* referencePoint = &pointA;
68
69     if (abs(d) <= epsilon)
70     {
71         // a, b, and c lie on a line. Circle center is center
72         //of AABB of the points, and radius is distance from
73         //circle center to AABB corner
74
75         //AABB bbox = ComputeAABB(a, b, c);
76         //circle.c = 0.5f * (bbox.min + bbox.max);
77         //referencePt = bbox.min;
78
79         float AB = Vector2::DistanceSquared(pointA, pointB);
80         float AC = Vector2::DistanceSquared(pointA, pointC);
81         float BC = Vector2::DistanceSquared(pointB, pointC);
82
83         if ((AB > AC) && (AB > BC)) //then AB is the longest side.
84         {
85             radius = AB / 2.0f;
86             center = 0.5 * (pointA + pointB);
87         }
88         else //either AC or BC will be the longest side
89             if (AC > BC) //then AC is the loongest side
90             {
91                 radius = AC / 2.0f;
92                 center = 0.5 * (pointA + pointC);
93             }
94             else //BC is the longest side
95             {
96                 radius = BC / 2.0f;
97                 center = 0.5 * (pointB + pointC);
98             }
99         }
100     else
101     {
102         float s = (dotABAB * dotACAC - dotACAC * dotABAC) / d;

```

```

103         float t = (dotACAC * dotABAB - dotABAB * dotABAC) / d;
104         // s controls height over AC, t over AB, (1-s-t) over BC
105         if (s <= 0)
106             center = 0.5 * (pointA + pointC);
107     else
108         if (t <= 0)
109             center = 0.5 * (pointA + pointB);
110             else
111                 if (s + t >= 1)
112                     {
113                         center = 0.5 * (pointB + pointC);
114                         referencePoint = &pointB;
115                     }
116                 else
117                     center = pointA + s * AB + t * AC;
118     }
119
120     radius = sqrt(pow2(center.x - referencePoint->x)
121                 + pow2(center.y - referencePoint->y));
122
123     return Circle(center, radius);
124 }
125
126 bool Circle::Intersects(const Circle* first, const Circle* second)
127 {
128     float distanceSquared = pow2(first->getCenter()->x - second->getCenter()-
129 >x) + pow2(first->getCenter()->y - second->getCenter()->y);
130
131     float radiiSquared = pow2(first->getRadius() + second->getRadius());
132
133     if (distanceSquared > radiiSquared)
134         return false;
135     else
136         return true;
137 } }

```

CrossSection.h

```

1  #pragma once
2
3  #include "SimpleMath.h"
4
5  namespace Infinity {
6  class CrossSection
7  {
8  public:
9      CrossSection(size_t pointCount);
10     CrossSection(const CrossSection& source);
11     ~CrossSection();
12
13     CrossSection& operator=(const CrossSection& right);
14     DirectX::SimpleMath::Vector2& operator[](size_t index );
15
16     size_t getCount() const;
17
18     static CrossSection CreateConical(float innerRadius, float outerRadius,

```

```

19         float innerThickness, float outerThickness, size_t radialSegments,
20             size_t innerEdgeSegments, size_t outerEdgeSegments);
21     static CrossSection CreateToroidal(float radius, float semiMajorAxis,
22         float semiMinorAxis, size_t segments);
23
24 private:
25     size_t count;
26     DirectX::SimpleMath::Vector2* points;
27 };
28
29 inline size_t CrossSection::getCount() const
30 {
31     return count;
32 }
33
34 inline DirectX::SimpleMath::Vector2& CrossSection::operator[](size_t index )
35 {
36     return points[index];
37 } }

```

CrossSection.cpp

```

1  #include "stdafx.h"
2  #include "CrossSection.h"
3
4  using namespace std;
5  using namespace DirectX::SimpleMath;
6
7  namespace Infinity {
8  CrossSection::CrossSection(size_t pointCount) : count(pointCount)
9  {
10     points = new Vector2[pointCount];
11 }
12
13 CrossSection::CrossSection(const CrossSection &source)
14 {
15     count = source.count;
16     points = new Vector2[count];
17
18     for (size_t i = 0; i < count; i++)
19     {
20         points[i].x = source.points[i].x;
21         points[i].y = source.points[i].y;
22     }
23 }
24
25 CrossSection::~~CrossSection()
26 {
27     delete[] points;
28 }
29
30 CrossSection& CrossSection::operator=(const CrossSection& source)
31 {
32     delete[] points;
33
34     count = source.count;

```

```

35     points = new Vector2[count];
36
37     for (size_t i = 0; i < count; i++)
38     {
39         points[i].x = source.points[i].x;
40         points[i].y = source.points[i].y;
41     }
42
43     return *this;
44 }
45
46 CrossSection CrossSection::CreateConical(float innerRadius, float
47 outerRadius,
48     float innerThickness, float outerThickness, size_t radialSegments,
49     size_t innerEdgeSegments, size_t outerEdgeSegments)
50 {
51     CrossSection result(2 * radialSegments + innerEdgeSegments +
52 outerEdgeSegments);
53
54     //upper edge;
55     size_t index = 0;
56     for (size_t i = 0; i < radialSegments; i++)
57     {
58         float s = static_cast<float>(i) / radialSegments;
59         result[index].x = (1 - s) * innerRadius + s * outerRadius;
60         result[index].y = 0.5f * ((1 - s) * innerThickness + s *
61 outerThickness);
62         index++;
63     }
64
65     //outer rim
66     for (size_t i = 0; i < outerEdgeSegments; i++)
67     {
68         float s = static_cast<float>(i) / outerEdgeSegments;
69         result[index].x = outerRadius;
70         result[index].y = 0.5f * (1 - 2 * s) * outerThickness;
71         index++;
72     }
73
74     //lower edge;
75     for (size_t i = 0; i < radialSegments; i++)
76     {
77         float s = static_cast<float>(i) / radialSegments;
78         result[index].x = (1 - s) * outerRadius + s * innerRadius;
79         result[index].y = 0.5f * ((s - 1) * outerThickness - s *
80 innerThickness);
81         index++;
82     }
83
84     //inner rim
85     for (size_t i = 0; i < innerEdgeSegments; i++)
86     {
87         float s = static_cast<float>(i) / innerEdgeSegments;
88         result[index].x = innerRadius;
89         result[index].y = 0.5f * (2 * s - 1) * innerThickness;
90         index++;
91     }

```

```

92     return result;
93 }
94
95 CrossSection CrossSection::CreateToroidal(float radius, float semiMajorAxis,
96     float semiMinorAxis, size_t segments)
97 {
98     CrossSection result(segments);
99
100     const float phi = TWO_PI_F / segments;
101
102     for (size_t i = 0; i < segments; i++)
103     {
104         result[i].x = radius + semiMajorAxis * cos((segments - i) * phi);
105         result[i].y = semiMinorAxis * sin((segments - i) * phi);
106     }
107     return result;
108 }

```

Mesh3.h

```

1  #pragma once
2
3  #include "SimpleMath.h"
4
5  #include <vector>
6  #include <array>
7  #include <algorithm>
8  #include <fstream>
9
10 #include "Surface.h"
11 #include "Calc.h"
12 #include "CrossSection.h"
13 #include "Circle.h"
14
15 namespace Infinity {
16 class Mesh3
17 {
18 public:
19     //Constructors, destructors and assignment operator
20     Mesh3(size_t vertexCount, size_t triangleCount);
21     Mesh3(const Mesh3& source);
22
23     ~Mesh3(void);
24
25     Mesh3& operator=(const Mesh3& right);
26
27     //Subdivision
28     enum SubdivisionType { FrequencySubdivision, DepthSubdivision };
29     void subdivide(size_t level, SubdivisionType type =
30     FrequencySubdivision);
31
32     //Inflate & init. These go hand in hand...
33     void pushTo(Surface* surface);
34     void init(size_t lcCount = 1);
35
36     //Mesh export

```

```

37     void writeObj(std::wstring fileName, bool onlyVisibleFaces = false);
38
39     //Transform
40     void transform(DirectX::SimpleMath::Matrix &matrix);
41
42     //Properties
43     size_t getVertexCount() const;
44     size_t getTriangleCount() const;
45     size_t getIndexCount() const;
46
47     DirectX::SimpleMath::Vector3* getPoint(size_t index);
48     DirectX::SimpleMath::Vector3* getVertex(size_t index);
49     size_t getIndex(size_t index);
50
51     DirectX::SimpleMath::Vector3* getCentroid(size_t index);
52     DirectX::SimpleMath::Vector3* getNormal(size_t index);
53
54     double getArea(size_t index) const;
55     double getMeshArea() const;
56     double getProjectedArea(size_t index) const;
57     void setProjectedArea(size_t index, double value);
58     double getVolume() const;
59
60     float getInnerRadius() const;
61     float getOuterRadius() const;
62
63     double getVisibility(size_t index) const;
64     void setVisibility(size_t index, double value);
65
66     DirectX::SimpleMath::Vector3* getCenter();
67
68     double getGravityAcceleration(size_t index) const;
69     void setGravityAcceleration(size_t index, double value);
70     double getTemperature(size_t index) const;
71     void setTemperature(size_t index, double value);
72     DirectX::SimpleMath::Vector3* getVelocity(size_t index);
73     void setVelocity(size_t index, DirectX::SimpleMath::Vector3 value);
74
75     double getFlux(size_t passbandID, size_t index) const;
76     void setFlux(size_t passbandID, size_t index, double value);
77
78     //Static methods
79     static Mesh3 CreateTetrahedron();
80     static Mesh3 CreateHexahedron();
81     static Mesh3 CreateOctahedron();
82     static Mesh3 CreateDodecahedron();
83     static Mesh3 CreateIcosahedron();
84     static Mesh3 CreateLathe(CrossSection& crossSection, size_t
85 segmentCount);
86
87     void adaptive(size_t level, DirectX::SimpleMath::Vector3* center,
88         double innerRadius, double outerRadius);
89 private:
90     std::vector<DirectX::SimpleMath::Vector3> vertices;
91     std::vector<size_t> indices;
92
93     float outerRadius, innerRadius;

```

```

94     DirectX::SimpleMath::Vector3 center;
95
96     void subdivideByDepth(size_t level);
97     void subdivideByFrequency(size_t level);
98
99
100    size_t findIndex(const DirectX::SimpleMath::Vector3& point, size_t lower,
101                    size_t upper);
102
103    std::vector<DirectX::SimpleMath::Vector3> normals;
104    std::vector<DirectX::SimpleMath::Vector3> centroids;
105
106    //Physical properties
107    std::vector<double> area;
108
109    double totalArea;
110    double totalVolume;
111
112    std::vector<double> temperature;
113    std::vector<double> gravity;
114    std::vector<double> flux;
115    std::vector<DirectX::SimpleMath::Vector3> velocity;
116
117    //2D properties
118    std::vector<double> visibility;
119    std::vector<double> projectedArea;
120
121    size_t lcCount;
122 };
123
124 //Properties
125 inline size_t Mesh3::getVertexCount() const { return vertices.size(); }
126 inline size_t Mesh3::getTriangleCount() const { return indices.size() / 3; };
127 inline size_t Mesh3::getIndexCount() const { return indices.size(); };
128 inline DirectX::SimpleMath::Vector3* Mesh3::getCentroid(size_t index)
129 { return &centroids[index]; };
130 inline DirectX::SimpleMath::Vector3* Mesh3::getNormal(size_t index)
131 { return &normals[index]; };
132 inline DirectX::SimpleMath::Vector3* Mesh3::getCenter() { return &center; };
133
134 inline double Mesh3::getGravityAcceleration(size_t index) const
135 { return gravity[index]; }
136 inline void Mesh3::setGravityAcceleration(size_t index, double value)
137 { gravity[index] = value; };
138 inline double Mesh3::getTemperature(size_t index) const
139 { return temperature[index]; };
140 inline void Mesh3::setTemperature(size_t index, double value)
141 { temperature[index] = value; };
142 inline DirectX::SimpleMath::Vector3* Mesh3::getVelocity(size_t index)
143 { return &velocity[index]; };
144 inline void Mesh3::setVelocity(size_t index, DirectX::SimpleMath::Vector3
145 value)
146 { velocity[index] = value; };
147
148 inline double Mesh3::getFlux(size_t passbandID, size_t index) const
149 { size_t triangleCount = indices.size() / 3;
150 return flux[passbandID * triangleCount + index]; }

```

```

151 inline void Mesh3::setFlux(size_t passbandID, size_t index, double value)
152 { size_t triangleCount = indices.size() / 3;
153 flux[passbandID * triangleCount + index] = value; }
154
155 inline double Mesh3::getArea(size_t index) const { return area[index]; }
156 inline double Mesh3::getMeshArea() const { return totalArea; }
157 inline double Mesh3::getProjectedArea(size_t index) const
158 { return projectedArea[index]; }
159 inline void Mesh3::setProjectedArea(size_t index, double value)
160 { projectedArea[index] = value; }
161 inline double Mesh3::getVolume() const { return totalVolume; }
162
163 inline float Mesh3::getInnerRadius() const { return innerRadius; }
164 inline float Mesh3::getOuterRadius() const { return outerRadius; }
165 inline DirectX::SimpleMath::Vector3* Mesh3::getPoint(size_t index)
166 { return &vertices[indices[index]]; }
167 inline DirectX::SimpleMath::Vector3* Mesh3::getVertex(size_t index)
168 { return &vertices[index]; }
169 inline size_t Mesh3::getIndex(size_t index) { return indices[index]; }
170
171 inline double Mesh3::getVisibility(size_t index) const
172 { return visibility[index]; }
173 inline void Mesh3::setVisibility(size_t index, double value)
174 { visibility[index] = value; }
175
176 inline void Mesh3::transform(DirectX::SimpleMath::Matrix& matrix)
177 {
178     center = DirectX::SimpleMath::Vector3::Transform(center, matrix);
179
180     for (auto it = vertices.begin(); it != vertices.end(); ++it)
181         *it = DirectX::SimpleMath::Vector3::Transform(*it, matrix);
182
183     for (auto it = centroids.begin(); it != centroids.end(); ++it)
184         *it = DirectX::SimpleMath::Vector3::Transform(*it, matrix);
185
186     for (auto it = normals.begin(); it != normals.end(); ++it)
187         *it = DirectX::SimpleMath::Vector3::TransformNormal(*it, matrix);
188
189     for (auto it = velocity.begin(); it != velocity.end(); ++it)
190         *it = DirectX::SimpleMath::Vector3::TransformNormal(*it, matrix);
191 } }

```

Mesh3.cpp

```

1  #include "stdafx.h"
2  #include "Mesh3.h"
3
4  using namespace std;
5  using namespace DirectX::SimpleMath;
6
7  namespace Infinity {
8  Mesh3::Mesh3(size_t vertexCount, size_t triangleCount) :
9      outerRadius(1.0f),
10     innerRadius(1.0f),
11     center(0.0f)
12 {

```



```

13     vertices.reserve(vertexCount);
14     indices.reserve(3 * triangleCount);
15 }
16
17 Mesh3::Mesh3(const Mesh3& source)
18 {
19     vertices = source.vertices;
20     indices = source.indices;
21     normals = source.normals;
22     centroids = source.centroids;
23
24     area = source.area;
25     projectedArea = source.projectedArea;
26
27     totalArea = source.totalArea;
28     totalVolume = source.totalVolume;
29
30     temperature = source.temperature;
31     gravity = source.gravity;
32     flux = source.flux;
33     velocity = source.velocity;
34
35     visibility = source.visibility;
36
37     center = source.center;
38     innerRadius = source.innerRadius;
39     outerRadius = source.outerRadius;
40
41     lcCount = source.lcCount;
42 }
43
44 Mesh3::~Mesh3(void) { }
45
46 Mesh3& Mesh3::operator=(const Mesh3& source)
47 {
48     vertices = source.vertices;
49     indices = source.indices;
50     normals = source.normals;
51     centroids = source.centroids;
52
53     area = source.area;
54     projectedArea = source.projectedArea;
55
56     totalArea = source.totalArea;
57     totalVolume = source.totalVolume;
58
59     temperature = source.temperature;
60     gravity = source.gravity;
61     flux = source.flux;
62     velocity = source.velocity;
63
64     visibility = source.visibility;
65
66     center = source.center;
67     innerRadius = source.innerRadius;
68     outerRadius = source.outerRadius;
69

```

```

70     lcCount = source.lcCount;
71
72     return *this;
73 }
74
75 //Static methods
76 //Data taken from: David Eberly - Platonic Solids (2008)
77 Mesh3 Mesh3::CreateTetrahedron()
78 {
79     Mesh3 tetra(4, 4);
80
81     tetra.vertices.push_back(
82         Vector3(0.0f, 0.0f, 1.0f));
83     tetra.vertices.push_back(
84         Vector3(2.0f * sqrt(2.0f) / 3.0f, 0.0f, -1.0f / 3.0f));
85     tetra.vertices.push_back(
86         Vector3(-sqrt(2.0f) / 3.0f, sqrt(6.0f) / 3.0f, -1.0f / 3.0f));
87     tetra.vertices.push_back(
88         Vector3(-sqrt(2.0f) / 3.0f, -sqrt(6.0f) / 3.0f, -1.0f / 3.0f));
89
90     tetra.indices.push_back(0); tetra.indices.push_back(1);
91     tetra.indices.push_back(2); //Triangle 1
92     tetra.indices.push_back(0); tetra.indices.push_back(2);
93     tetra.indices.push_back(3); //Triangle 2
94     tetra.indices.push_back(0); tetra.indices.push_back(3);
95     tetra.indices.push_back(1); //Triangle 3
96     tetra.indices.push_back(1); tetra.indices.push_back(3);
97     tetra.indices.push_back(2); //Triangle 4
98
99     tetra.outerRadius = 1.0f;
100    tetra.innerRadius = 1.0f / 3.0f;
101
102    return tetra;
103 }
104
105 //Data taken from: David Eberly - Platonic Solids (2008)
106 Mesh3 Mesh3::CreateHexahedron()
107 {
108     Mesh3 cube(8, 12);
109
110     float a = 1.0f / sqrt(3.0f);
111
112     cube.vertices.push_back(Vector3(-a, -a, -a));
113     cube.vertices.push_back(Vector3( a, -a, -a));
114     cube.vertices.push_back(Vector3( a,  a, -a));
115     cube.vertices.push_back(Vector3(-a,  a, -a));
116     cube.vertices.push_back(Vector3(-a, -a,  a));
117     cube.vertices.push_back(Vector3( a, -a,  a));
118     cube.vertices.push_back(Vector3( a,  a,  a));
119     cube.vertices.push_back(Vector3(-a,  a,  a));
120
121     cube.indices.push_back(0); cube.indices.push_back(3);
122     cube.indices.push_back(2); //Triangle 1
123     cube.indices.push_back(0); cube.indices.push_back(2);
124     cube.indices.push_back(1); //Triangle 2
125     cube.indices.push_back(0); cube.indices.push_back(1);
126     cube.indices.push_back(5); //Triangle 3

```

```

127     cube.indices.push_back(0); cube.indices.push_back(5);
128     cube.indices.push_back(4); //Triangle 4
129     cube.indices.push_back(0); cube.indices.push_back(4);
130     cube.indices.push_back(7); //Triangle 5
131     cube.indices.push_back(0); cube.indices.push_back(7);
132     cube.indices.push_back(3); //Triangle 6
133     cube.indices.push_back(6); cube.indices.push_back(5);
134     cube.indices.push_back(1); //Triangle 7
135     cube.indices.push_back(6); cube.indices.push_back(1);
136     cube.indices.push_back(2); //Triangle 8
137     cube.indices.push_back(6); cube.indices.push_back(2);
138     cube.indices.push_back(3); //Triangle 9
139     cube.indices.push_back(6); cube.indices.push_back(3);
140     cube.indices.push_back(7); //Triangle 10
141     cube.indices.push_back(6); cube.indices.push_back(7);
142     cube.indices.push_back(4); //Triangle 11
143     cube.indices.push_back(6); cube.indices.push_back(4);
144     cube.indices.push_back(5); //Triangle 12
145
146     cube.outerRadius = 1.0f;
147     cube.innerRadius = 1.0f / sqrt(3.0f);
148
149     return cube;
150 }
151
152 //Data taken from: David Eberly - Platonic Solids (2008)
153 Mesh3 Mesh3::CreateOctahedron()
154 {
155     Mesh3 octa(6, 8);
156
157     octa.vertices.push_back(Vector3( 1.0f,  0.0f,  0.0f));
158     octa.vertices.push_back(Vector3(-1.0f,  0.0f,  0.0f));
159     octa.vertices.push_back(Vector3( 0.0f,  1.0f,  0.0f));
160     octa.vertices.push_back(Vector3( 0.0f, -1.0f,  0.0f));
161     octa.vertices.push_back(Vector3( 0.0f,  0.0f,  1.0f));
162     octa.vertices.push_back(Vector3( 0.0f,  0.0f, -1.0f));
163
164     octa.indices.push_back(4); octa.indices.push_back(0);
165     octa.indices.push_back(2); //Triangle 1
166     octa.indices.push_back(4); octa.indices.push_back(2);
167     octa.indices.push_back(1); //Triangle 2
168     octa.indices.push_back(4); octa.indices.push_back(1);
169     octa.indices.push_back(3); //Triangle 3
170     octa.indices.push_back(4); octa.indices.push_back(3);
171     octa.indices.push_back(0); //Triangle 4
172     octa.indices.push_back(5); octa.indices.push_back(2);
173     octa.indices.push_back(0); //Triangle 5
174     octa.indices.push_back(5); octa.indices.push_back(1);
175     octa.indices.push_back(2); //Triangle 6
176     octa.indices.push_back(5); octa.indices.push_back(3);
177     octa.indices.push_back(1); //Triangle 7
178     octa.indices.push_back(5); octa.indices.push_back(0);
179     octa.indices.push_back(3); //Triangle 8
180
181     octa.outerRadius = 1.0f;
182     octa.innerRadius = 0.577350269189626f;
183

```

```

184     return octa;
185 }
186
187 //Data taken from: David Eberly - Platonic Solids (2008)
188 Mesh3 Mesh3::CreateDodecahedron()
189 {
190     Mesh3 deca(20, 36);
191
192     float a = 1.0f / sqrt(3.0f);
193     float b = sqrt((3.0f - sqrt(5.0f)) / 6.0f);
194     float c = sqrt((3.0f + sqrt(5.0f)) / 6.0f);
195
196     deca.vertices.push_back(Vector3( a,  a,  a));
197     deca.vertices.push_back(Vector3( a,  a, -a));
198     deca.vertices.push_back(Vector3( a, -a,  a));
199     deca.vertices.push_back(Vector3( a, -a, -a));
200     deca.vertices.push_back(Vector3(-a,  a,  a));
201     deca.vertices.push_back(Vector3(-a,  a, -a));
202     deca.vertices.push_back(Vector3(-a, -a,  a));
203     deca.vertices.push_back(Vector3(-a, -a, -a));
204     deca.vertices.push_back(Vector3( b,  c, 0.0f));
205     deca.vertices.push_back(Vector3(-b,  c, 0.0f));
206     deca.vertices.push_back(Vector3( b, -c, 0.0f));
207     deca.vertices.push_back(Vector3(-b, -c, 0.0f));
208     deca.vertices.push_back(Vector3( c, 0.0f,  b));
209     deca.vertices.push_back(Vector3( c, 0.0f, -b));
210     deca.vertices.push_back(Vector3(-c, 0.0f,  b));
211     deca.vertices.push_back(Vector3(-c, 0.0f, -b));
212     deca.vertices.push_back(Vector3(0.0f,  b,  c));
213     deca.vertices.push_back(Vector3(0.0f, -b,  c));
214     deca.vertices.push_back(Vector3(0.0f,  b, -c));
215     deca.vertices.push_back(Vector3(0.0f, -b, -c));
216
217     deca.indices.push_back(0); deca.indices.push_back(8);
218     deca.indices.push_back(9); //Triangle 1
219     deca.indices.push_back(0); deca.indices.push_back(9);
220     deca.indices.push_back(4); //Triangle 2
221     deca.indices.push_back(0); deca.indices.push_back(4);
222     deca.indices.push_back(16); //Traingle 3
223     deca.indices.push_back(0); deca.indices.push_back(12);
224     deca.indices.push_back(13); //Triangle 4
225     deca.indices.push_back(0); deca.indices.push_back(13);
226     deca.indices.push_back(1); //Triangle 5
227     deca.indices.push_back(0); deca.indices.push_back(1);
228     deca.indices.push_back(8); //Triangle 6
229     deca.indices.push_back(0); deca.indices.push_back(16);
230     deca.indices.push_back(17); //Traingle 7
231     deca.indices.push_back(0); deca.indices.push_back(17);
232     deca.indices.push_back(2); //Triangle 8
233     deca.indices.push_back(0); deca.indices.push_back(2);
234     deca.indices.push_back(12); //Triangle 9
235     deca.indices.push_back(8); deca.indices.push_back(1);
236     deca.indices.push_back(18); //Triangle 10
237     deca.indices.push_back(8); deca.indices.push_back(18);
238     deca.indices.push_back(5); //Traingle 11
239     deca.indices.push_back(8); deca.indices.push_back(5);
240     deca.indices.push_back(9); //Triangle 12

```

```

241     deca.indices.push_back(12); deca.indices.push_back(2);
242     deca.indices.push_back(10); //Triangle 13
243     deca.indices.push_back(12); deca.indices.push_back(10);
244     deca.indices.push_back(3); //Triangle 14
245     deca.indices.push_back(12); deca.indices.push_back(3);
246     deca.indices.push_back(13); //Triangle 15
247     deca.indices.push_back(16); deca.indices.push_back(4);
248     deca.indices.push_back(14); //Triangle 16
249     deca.indices.push_back(16); deca.indices.push_back(14);
250     deca.indices.push_back(6); //Triangle 17
251     deca.indices.push_back(16); deca.indices.push_back(6);
252     deca.indices.push_back(17); //Triangle 18
253     deca.indices.push_back(9); deca.indices.push_back(5);
254     deca.indices.push_back(15); //Triangle 19
255     deca.indices.push_back(9); deca.indices.push_back(15);
256     deca.indices.push_back(14); //Triangle 20
257     deca.indices.push_back(9); deca.indices.push_back(14);
258     deca.indices.push_back(4); //Triangle 21
259     deca.indices.push_back(6); deca.indices.push_back(11);
260     deca.indices.push_back(10); //Triangle 22
261     deca.indices.push_back(6); deca.indices.push_back(10);
262     deca.indices.push_back(2); //Triangle 23
263     deca.indices.push_back(6); deca.indices.push_back(2);
264     deca.indices.push_back(17); //Triangle 24
265     deca.indices.push_back(3); deca.indices.push_back(19);
266     deca.indices.push_back(18); //Triangle 25
267     deca.indices.push_back(3); deca.indices.push_back(18);
268     deca.indices.push_back(1); //Triangle 26
269     deca.indices.push_back(3); deca.indices.push_back(1);
270     deca.indices.push_back(13); //Triangle 27
271     deca.indices.push_back(7); deca.indices.push_back(15);
272     deca.indices.push_back(5); //Triangle 28
273     deca.indices.push_back(7); deca.indices.push_back(5);
274     deca.indices.push_back(18); //Triangle 29
275     deca.indices.push_back(7); deca.indices.push_back(18);
276     deca.indices.push_back(19); //Triangle 30
277     deca.indices.push_back(7); deca.indices.push_back(11);
278     deca.indices.push_back(6); //Triangle 31
279     deca.indices.push_back(7); deca.indices.push_back(6);
280     deca.indices.push_back(14); //Triangle 32
281     deca.indices.push_back(7); deca.indices.push_back(14);
282     deca.indices.push_back(15); //Triangle 33
283     deca.indices.push_back(7); deca.indices.push_back(19);
284     deca.indices.push_back(3); //Triangle 34
285     deca.indices.push_back(7); deca.indices.push_back(3);
286     deca.indices.push_back(10); //Triangle 35
287     deca.indices.push_back(7); deca.indices.push_back(10);
288     deca.indices.push_back(11); //Triangle 36
289
290     deca.outerRadius = 1.0f;
291     deca.innerRadius = 0.794654472291766f;
292
293     return deca;
294 }
295
296 //Data taken from: David Eberly - Platonic Solids (2008)
297 Mesh3 Mesh3::CreateIcosahedron()

```

```

298 {
299     Mesh3 ico(12, 20);
300
301     float t = (1 + sqrt(5.0f)) * 0.5f;
302     float s = sqrt(1 + t * t);
303
304     ico.vertices.push_back(Vector3( t/s,  1.0f/s,  0.0f));
305     ico.vertices.push_back(Vector3(-t/s,  1.0f/s,  0.0f));
306     ico.vertices.push_back(Vector3( t/s, -1.0f/s,  0.0f));
307     ico.vertices.push_back(Vector3(-t/s, -1.0f/s,  0.0f));
308     ico.vertices.push_back(Vector3( 1.0f/s,  0.0f,  t/s));
309     ico.vertices.push_back(Vector3( 1.0f/s,  0.0f, -t/s));
310     ico.vertices.push_back(Vector3(-1.0f/s,  0.0f,  t/s));
311     ico.vertices.push_back(Vector3(-1.0f/s,  0.0f, -t/s));
312     ico.vertices.push_back(Vector3(0.0f,  t/s,  1.0f/s));
313     ico.vertices.push_back(Vector3(0.0f, -t/s,  1.0f/s));
314     ico.vertices.push_back(Vector3(0.0f,  t/s, -1.0f/s));
315     ico.vertices.push_back(Vector3(0.0f, -t/s, -1.0f/s));
316
317     ico.indices.push_back(0); ico.indices.push_back(8);
318     ico.indices.push_back(4); //Triangle 1
319     ico.indices.push_back(0); ico.indices.push_back(5);
320     ico.indices.push_back(10); //Triangle 2
321     ico.indices.push_back(2); ico.indices.push_back(4);
322     ico.indices.push_back(9); //Triangle 3
323     ico.indices.push_back(2); ico.indices.push_back(11);
324     ico.indices.push_back(5); //Triangle 4
325     ico.indices.push_back(1); ico.indices.push_back(6);
326     ico.indices.push_back(8); //Triangle 5
327     ico.indices.push_back(1); ico.indices.push_back(10);
328     ico.indices.push_back(7); //Triangle 6
329     ico.indices.push_back(3); ico.indices.push_back(9);
330     ico.indices.push_back(6); //Triangle 7
331     ico.indices.push_back(3); ico.indices.push_back(7);
332     ico.indices.push_back(11); //Triangle 8
333     ico.indices.push_back(0); ico.indices.push_back(10);
334     ico.indices.push_back(8); //Triangle 9
335     ico.indices.push_back(1); ico.indices.push_back(8);
336     ico.indices.push_back(10); //Triangle 10
337     ico.indices.push_back(2); ico.indices.push_back(9);
338     ico.indices.push_back(11); //Triangle 11
339     ico.indices.push_back(3); ico.indices.push_back(11);
340     ico.indices.push_back(9); //Triangle 12
341     ico.indices.push_back(4); ico.indices.push_back(2);
342     ico.indices.push_back(0); //Triangle 13
343     ico.indices.push_back(5); ico.indices.push_back(0);
344     ico.indices.push_back(2); //Triangle 14
345     ico.indices.push_back(6); ico.indices.push_back(1);
346     ico.indices.push_back(3); //Triangle 15
347     ico.indices.push_back(7); ico.indices.push_back(3);
348     ico.indices.push_back(1); //Triangle 16
349     ico.indices.push_back(8); ico.indices.push_back(6);
350     ico.indices.push_back(4); //Triangle 17
351     ico.indices.push_back(9); ico.indices.push_back(4);
352     ico.indices.push_back(6); //Triangle 18
353     ico.indices.push_back(10); ico.indices.push_back(5);
354     ico.indices.push_back(7); //Triangle 19

```

```

355     ico.indices.push_back(11); ico.indices.push_back(7);
356     ico.indices.push_back(5); //Triangle 20
357
358     ico.outerRadius = 1.0f;
359     ico.innerRadius = 0.794654472291766f;
360
361     return ico;
362 }
363
364 Mesh3 Mesh3::CreateLathe(CrossSection& crossSection, size_t segmentCount)
365 {
366     size_t crossSectionCount = crossSection.getCount();
367
368     Mesh3 mesh(segmentCount * crossSectionCount,
369               2 * segmentCount * crossSectionCount);
370
371     vector<Vector3> generator(crossSectionCount);
372
373     for (size_t i = 0; i < crossSectionCount; i++)
374     {
375         generator[i].x = crossSection[i].x;
376         generator[i].y = 0;
377         generator[i].z = crossSection[i].y;
378     }
379
380     float phi = TWO_PI_F / segmentCount;
381
382     for (size_t i = 0; i < segmentCount; i++)
383     {
384         Matrix matrix = Matrix::CreateRotationZ(phi * i);
385         for (size_t j = 0; j < crossSectionCount; j++)
386         {
387             Vector3 point = Vector3::Transform(generator[j], matrix);
388             mesh.vertices.push_back(point);
389         }
390     }
391
392     for (size_t i = 0; i < segmentCount - 1; i++)
393     {
394         for (size_t j = 1; j < crossSectionCount; j++)
395         {
396             //Triangle 1
397             mesh.indices.push_back(crossSectionCount * i + j);
398             mesh.indices.push_back(crossSectionCount * (i + 1) + j - 1);
399             mesh.indices.push_back(crossSectionCount * i + j - 1);
400
401             //Triangle 2
402             mesh.indices.push_back(crossSectionCount * (i + 1) + j - 1);
403             mesh.indices.push_back(crossSectionCount * i + j);
404             mesh.indices.push_back(crossSectionCount * (i + 1) + j);
405         }
406
407         //Triangle 1
408         mesh.indices.push_back(crossSectionCount * i);
409         mesh.indices.push_back(crossSectionCount * (i + 2) - 1);
410         mesh.indices.push_back(crossSectionCount * (i + 1) - 1);
411

```

```

412         //Triangle 2
413         mesh.indices.push_back(crossSectionCount * (i + 2) - 1);
414         mesh.indices.push_back(crossSectionCount * i);
415         mesh.indices.push_back(crossSectionCount * (i + 1));
416     }
417
418     for (size_t j = 1; j < crossSectionCount; j++)
419     {
420         //Triangle 1
421         mesh.indices.push_back(crossSectionCount * (segmentCount - 1) + j);
422         mesh.indices.push_back(j - 1);
423         mesh.indices.push_back(crossSectionCount * (segmentCount - 1) + j -
424 1);
425
426         //Triangle 2
427         mesh.indices.push_back(j - 1);
428         mesh.indices.push_back(crossSectionCount * (segmentCount - 1) + j);
429         mesh.indices.push_back(j);
430     }
431
432     //Triangle 1
433     mesh.indices.push_back(crossSectionCount * (segmentCount - 1));
434     mesh.indices.push_back(crossSectionCount - 1);
435     mesh.indices.push_back(crossSectionCount * segmentCount - 1);
436
437     //Triangle 2
438     mesh.indices.push_back(crossSectionCount - 1);
439     mesh.indices.push_back(crossSectionCount * (segmentCount - 1));
440     mesh.indices.push_back(0);
441
442     return mesh;
443 }
444
445 void Mesh3::writeObj(std::wstring fileName, bool onlyVisibleFaces)
446 {
447     ofstream file;
448     file.open(fileName);
449
450     size_t vertexCount = vertices.size();
451     for (size_t i = 0; i < vertexCount; i++)
452         file << "v " << vertices[i].x << " " << vertices[i].y
453         << " " << vertices[i].z << endl;
454
455     size_t triangleCount = indices.size() / 3;
456     for (size_t i = 0; i < triangleCount; i++)
457     {
458         if (onlyVisibleFaces && (visibility[i] == 0))
459             continue;
460
461         file << "f " << indices[3*i] + 1 << "/" << indices[3*i] + 1
462         << " " << indices[3*i+1] + 1 << "/" << indices[3*i+1] + 1
463         << " " << indices[3*i+2] + 1 << "/"
464         << indices[3*i+2] + 1 << endl;
465     }
466     file.close();
467 }
468

```



```

469 size_t Mesh3::findIndex(const Vector3& point, size_t lower, size_t upper)
470 {
471     for (size_t i = lower; i < upper; i++)
472         if (vertices[i] == point)
473             return i;
474
475     return upper;
476 }
477
478 void Mesh3::subdivide(size_t level, SubdivisionType type)
479 {
480     switch (type)
481     {
482         case FrequencySubdivision:
483             subdivideByFrequency(level);
484             break;
485         case DepthSubdivision:
486             subdivideByDepth(level);
487             break;
488     }
489 }
490
491 void Mesh3::subdivideByFrequency(size_t level)
492 {
493     //Total number of vertices and triangles:
494     // V = (generator.VertexCount - 2) * subdivisionLevel^2 + 2;
495     // T = generator.TriangleCount * subdivisionLevel^2;
496     size_t vertexCount = (vertices.size() - 2) * level * level + 2;
497     size_t indicesCount = indices.size() * level * level;
498
499     vector<size_t> oldIndices = indices;
500     indices.clear();
501
502     vertices.reserve(vertexCount);
503     indices.reserve(indicesCount);
504
505     Vector3* prev;
506     Vector3* curr;
507     size_t* prevIndices;
508     size_t* currIndices;
509
510     for (auto it = oldIndices.begin(); it != oldIndices.end(); it += 3)
511     {
512         Vector3 A = vertices[*it];
513         Vector3 B = vertices[*it+1];
514         Vector3 C = vertices[*it+2];
515
516         //We are starting from one of the vertices.
517         prev = new Vector3[1];
518         prev[0] = A;
519         prevIndices = new size_t[1];
520         prevIndices[0] = *it;
521
522         //For each subdivision level we slice the triangle with the
523         //line parallel to the side BC.
524         for (unsigned short j = 1; j < level; j++)
525             {

```

```

526     curr = new Vector3[j+1];
527     currIndices = new size_t[j+1];
528
529     float t = static_cast<float>(j) / static_cast<float>(level);
530     curr[0] = (1.0f - t) * A + t * B;
531
532
533     size_t index;
534     //Find if we already had the first vertex
535     index = findIndex(curr[0], 0, vertices.size());
536     if (index == vertices.size())
537         vertices.push_back(curr[0]);
538     currIndices[0] = index;
539
540     //we should do the same for the last vertex;
541     curr[j] = (1.0f - t) * A + t * C;
542
543     index = findIndex(curr[j], 0, vertices.size());
544     if (index == vertices.size())
545         vertices.push_back(curr[j]);
546     currIndices[j] = index;
547
548     for(int k = 1; k < j; k++)
549     {
550         float s = static_cast<float>(k) / static_cast<float>(j);
551         curr[k] = (1.0f - s) * curr[0] + s * curr[j];
552
553         //we know that these vertices are unique, so we skip the
554         //FindIndex call.
555         currIndices[k] = vertices.size();
556         vertices.push_back(curr[k]);
557     }
558
559     //All that is left is to create triangles..
560     //in the first pass we create triangles that are facing to the
561     //previus array.
562     for(int k = 0; k < j; k++)
563     {
564         indices.push_back(currIndices[k]);
565         indices.push_back(currIndices[k+1]);
566         indices.push_back(prevIndices[k]);
567     }
568
569     //and now all those who face the current array.
570     for(int k = 0; k < j - 1; k++)
571     {
572         indices.push_back(prevIndices[k]);
573         indices.push_back(currIndices[k+1]);
574         indices.push_back(prevIndices[k+1]);
575     }
576
577     //Clean up;
578     delete[] prev;
579     delete[] prevIndices;
580
581     prev = curr;
582     prevIndices = currIndices;

```

```

583     }
584
585     //and now, we should subdivide the BC side.
586     curr = new Vector3[level+1];
587     currIndices = new size_t[level+1];
588
589     curr[0] = B;
590     currIndices[0] = *(it+1);
591
592     //we should do the same for the last vertex;
593     curr[level] = C;
594     currIndices[level] = *(it+2);
595
596     for(unsigned short k = 1; k < level; k++)
597     {
598         float s = static_cast<float>(k) / static_cast<float>(level);
599
600         curr[k] = (1.0f - s) * curr[0] + s * curr[level];
601
602         size_t index = findIndex(curr[k], 0, vertices.size());
603         if (index == vertices.size())
604             vertices.push_back(curr[k]);
605         currIndices[k] = index;
606     }
607
608     //All that is left is to create triangles..
609     //in the first pass we create triangles that are facing to the
610     //previous array.
611     for(unsigned short k = 0; k < level; k++)
612     {
613         indices.push_back(currIndices[k]);
614         indices.push_back(currIndices[k+1]);
615         indices.push_back(prevIndices[k]);
616     }
617     //and now all those who face the current array.
618     for(size_t k = 0; k < level - 1; k++)
619     {
620         indices.push_back(prevIndices[k]);
621         indices.push_back(currIndices[k+1]);
622         indices.push_back(prevIndices[k+1]);
623     }
624     //Clean up;
625     delete[] prev;
626     delete[] prevIndices;
627
628     delete[] curr;
629     delete[] currIndices;
630 }
631 }
632
633 void Mesh3::subdivideByDepth(size_t level)
634 {
635     //Total number of vertices and triangles:
636     // V = (generator.VertexCount - 2) * 4^subdivisionLevel + 2;
637     // T = generator.TriangleCount * 4^subdivisionLevel;
638     size_t oldVertexCount = vertices.size();
639     size_t oldTriangleCount = indices.size();

```

```

640
641     size_t vertexCount = vertices.size() - 2;
642     size_t indexCount = indices.size();
643
644     for (unsigned short i = 0; i < level; i++)
645     {
646         vertexCount *= 4;
647         indexCount *= 4;
648     }
649
650     vertexCount += 2;
651
652     vertices.reserve(vertexCount);
653     indices.reserve(indexCount);
654
655     ///For each subdivision level...
656     size_t currentVertex = vertices.size();
657
658     for (unsigned short n = 1; n <= level; n++)
659     {
660         size_t currentVertexCount = vertices.size();
661         size_t currentIndexCount = indices.size();
662
663         //For each triangle at the current subdivision level...
664         for (size_t i = 0; i < currentIndexCount; i+= 3)
665         {
666             Vector3 A = vertices[indices[i]];
667             Vector3 B = vertices[indices[i+1]];
668             Vector3 C = vertices[indices[i+2]];
669
670             //calculate the midpoints
671             Vector3 AB = 0.5 * (A + B);
672             Vector3 AC = 0.5 * (A + C);
673             Vector3 BC = 0.5 * (B + C);
674
675             //Find if we already had that vertex
676             size_t indexAB = findIndex(AB, currentVertexCount,
677 vertices.size());
678             if (indexAB == vertices.size())
679                 vertices.push_back(AB);
680
681             size_t indexAC = findIndex(AC, currentVertexCount,
682 vertices.size());
683             if (indexAC == vertices.size())
684                 vertices.push_back(AC);
685
686             size_t indexBC = findIndex(BC, currentVertexCount,
687 vertices.size());
688             if (indexBC == vertices.size())
689                 vertices.push_back(BC);
690
691             //Update the cuurent triangle...
692             size_t indexA = indices[i];
693             size_t indexB = indices[i+1];
694             size_t indexC = indices[i+2];
695
696             //Replace the original triangle

```

```

697         indices[i] = indexA;
698         indices[i+1] = indexAB;
699         indices[i+2] = indexAC;
700
701         //Triangle 1
702         indices.push_back(indexAB);
703         indices.push_back(indexB);
704         indices.push_back(indexBC);
705
706         //Triangle 2
707         indices.push_back(indexAC);
708         indices.push_back(indexBC);
709         indices.push_back(indexC);
710
711         //Triangle 3
712         indices.push_back(indexAB);
713         indices.push_back(indexBC);
714         indices.push_back(indexAC);
715     }
716 }
717 }
718
719 void Mesh3::pushTo(Surface* surface)
720 {
721     outerRadius = surface->getOuterRadius();
722     innerRadius = surface->getInnerRadius();
723
724     for (auto it = vertices.begin(); it != vertices.end(); it++)
725     {
726         float phi = atan2(it->y, it->x);
727         phi = (phi >= 0) ? phi : phi + TWO_PI_F;
728         float theta = acos(it->z / it->Length());
729
730         float r = surface->getRadius(theta, phi);
731
732         it->x = r * sin(theta) * cos(phi);
733         it->y = r * sin(theta) * sin(phi);
734         it->z = r * cos(theta);
735     }
736 }
737
738 void Mesh3::init(size_t passbandCount)
739 {
740     lcCount = passbandCount;
741     size_t triangleCount = indices.size() / 3;
742
743     area.resize(triangleCount);
744     projectedArea.resize(triangleCount);
745
746     normals.resize(triangleCount);
747     centroids.resize(triangleCount);
748
749     temperature.resize(triangleCount);
750     gravity.resize(triangleCount);
751     flux.resize(triangleCount * lcCount);
752     velocity.resize(triangleCount);
753

```

```

754     visibility.resize(triangleCount);
755
756     totalArea = 0.0;
757     totalVolume = 0.0;
758
759     for (size_t i = 0; i < triangleCount; ++i)
760     {
761         Vector3 sideCA = vertices[indices[3*i+2]] - vertices[indices[3*i]];
762         Vector3 sideBA = vertices[indices[3*i+1]] - vertices[indices[3*i]];
763
764         normals[i] = sideBA.Cross(sideCA);
765         centroids[i] = (vertices[indices[3*i]] + vertices[indices[3*i+1]]
766 + vertices[indices[3*i+2]]) / 3.0;
767
768         area[i] = 0.5 * normals[i].Length();
769         totalArea += area[i];
770         totalVolume += vertices[indices[3*i]].Dot(
771             vertices[indices[3*i+1]].Cross(vertices[indices[3*i+2]])) / 6.0;
772
773         normals[i].Normalize();
774     }
775 }
776
777 void Mesh3::adaptive(size_t level, Vector3* c, double r0, double r1)
778 {
779     //For each subdivision level...
780     size_t currentVertex = vertices.size();
781
782     for (unsigned short n = 1; n <= level; n++)
783     {
784         size_t currentVertexCount = vertices.size();
785         size_t currentIndexCount = indices.size();
786
787         //For each triangle at the current subdivision level...
788         for (size_t i = 0; i < currentIndexCount; i+= 3)
789         {
790             size_t triangleIndex = i / 3;
791
792             float distance = pow2(centroids[triangleIndex].y - c->y)
793 + pow2(centroids[triangleIndex].z - c->z);
794
795             if (centroids[triangleIndex].x > center.x && distance > pow2(r0)
796 && distance < pow2(r1))
797             {
798                 Vector3 A = vertices[indices[i]];
799                 Vector3 B = vertices[indices[i+1]];
800                 Vector3 C = vertices[indices[i+2]];
801
802                 //calculate the midpoints
803                 Vector3 AB = 0.5 * (A + B);
804                 Vector3 AC = 0.5 * (A + C);
805                 Vector3 BC = 0.5 * (B + C);
806
807                 //Find if we already had that vertex
808                 size_t indexAB = findIndex(AB, currentVertexCount,
809                     vertices.size());
809                 if (indexAB == vertices.size())
810

```

```

811         vertices.push_back(AB);
812
813         size_t indexAC = findIndex(AC, currentVertexCount,
814             vertices.size());
815         if (indexAC == vertices.size())
816             vertices.push_back(AC);
817
818         size_t indexBC = findIndex(BC, currentVertexCount,
819             vertices.size());
820         if (indexBC == vertices.size())
821             vertices.push_back(BC);
822
823         //Update the cuurent triangle...
824         size_t indexA = indices[i];
825         size_t indexB = indices[i+1];
826         size_t indexC = indices[i+2];
827
828         //Replace the original triangle
829         indices[i] = indexA;
830         indices[i+1] = indexAB;
831         indices[i+2] = indexAC;
832
833         double temp = temperature[triangleIndex];
834         double grav = gravity[triangleIndex];
835         Vector3 vel = velocity[triangleIndex];
836
837         //Calc new area, centroid and normal
838         Vector3 sideCA = AC - A;
839         Vector3 sideBA = AB - A;
840
841         Vector3 n = sideBA.Cross(sideCA);
842         double a = 0.5 * n.Length();
843         n.Normalize();
844
845         centroids[triangleIndex] = (A + AB + AC) / 3.0;
846         normals[triangleIndex]= n;
847         area[triangleIndex] = a;
848
849         //Triangle 1
850         indices.push_back(indexAB);
851         indices.push_back(indexB);
852         indices.push_back(indexBC);
853
854         //Calc new area, centroid and normal
855         sideCA = BC - AB;
856         sideBA = B - AB;
857
858         n = sideBA.Cross(sideCA);
859         a = 0.5 * n.Length();
860         n.Normalize();
861
862         centroids.push_back((AB + B + BC) / 3.0);
863         normals.push_back(n);
864         area.push_back(a);
865
866         temperature.push_back(temp);
867         gravity.push_back(grav);

```

```

868         velocity.push_back(vel);
869
870         //Triangle 2
871         indices.push_back(indexAC);
872         indices.push_back(indexBC);
873         indices.push_back(indexC);
874
875         //Calc new area, centroid and normal
876         sideCA = C - AC;
877         sideBA = BC - AC;
878
879         n = sideBA.Cross(sideCA);
880         a = 0.5 * n.Length();
881         n.Normalize();
882
883         centroids.push_back((AC + BC + C) / 3.0);
884         normals.push_back(n);
885         area.push_back(a);
886
887         temperature.push_back(temp);
888         gravity.push_back(grav);
889         velocity.push_back(vel);
890
891         //Triangle 3
892         indices.push_back(indexAB);
893         indices.push_back(indexBC);
894         indices.push_back(indexAC);
895
896         //Calc new area, centroid and normal
897         sideCA = AC - AB;
898         sideBA = BC - AB;
899
900         n = sideBA.Cross(sideCA);
901         a = 0.5 * n.Length();
902         n.Normalize();
903
904         centroids.push_back((AB + BC + AC) / 3.0);
905         normals.push_back(n);
906         area.push_back(a);
907
908         temperature.push_back(temp);
909         gravity.push_back(grav);
910         velocity.push_back(vel);
911     }
912 }
913 }
914
915 visibility.resize(indices.size()/3);
916 projectedArea.resize(indices.size()/3);
917 flux.resize(indices.size()/3 * lcCount);
918 } }

```


Triangle2.h

```
1  #pragma once
2
3  #include "SimpleMath.h"
4  #include "Circle.h"
5  #include "Mesh3.h"
6  #include <vector>
7
8  namespace Infinity {
9  class Triangle2
10 {
11
12 public:
13     Triangle2(Mesh3* parent, size_t index, double distance);
14     ~Triangle2(void);
15
16     const DirectX::SimpleMath::Vector2* const getCentroid();
17     const Circle* getCircumCircle() const;
18
19     double intersectsWith(const Triangle2* triangle, int method) const;
20     double getDistance() const;
21     double getArea() const;
22     size_t getIndex() const;
23     Mesh3* getParent() const;
24
25     bool intersects(Triangle2* second, int method);
26
27 private:
28     void projectToAxis(DirectX::SimpleMath::Vector2& axis,
29         float* min, float* max);
30     bool intersectsFull(Triangle2* second);
31     bool intersectsPoint(Triangle2* second);
32
33     Mesh3* parent;
34
35     DirectX::SimpleMath::Vector2 centroid;
36     Circle circumcircle;
37
38     DirectX::SimpleMath::Vector2 points[3];
39     DirectX::SimpleMath::Vector2 edges[3];
40
41     double distance;
42     double area;
43
44     size_t index;
45 };
46
47 inline const Circle* Triangle2::getCircumCircle() const
48 { return &circumcircle; }
49 inline double Triangle2::getDistance() const { return distance; }
50 inline double Triangle2::getArea() const { return area; }
51 inline size_t Triangle2::getIndex() const { return index; }
52 inline const DirectX::SimpleMath::Vector2* const Triangle2::getCentroid()
53 { return &centroid; }
54 inline Mesh3* Triangle2::getParent() const { return parent; } }
```

Triangle2.cpp

```
1  #include "stdafx.h"
2  #include "Triangle2.h"
3
4  using namespace DirectX::SimpleMath;
5
6  namespace Infinity {
7  Triangle2::Triangle2(Mesh3* parent, size_t index, double distance)
8      : parent(parent), index(index), distance(distance)
9  {
10     points[0] = Vector2(parent->getPoint(3*index)->y,
11                         parent->getPoint(3*index)->z);
12     points[1] = Vector2(parent->getPoint(3*index+1)->y,
13                         parent->getPoint(3*index+1)->z);
14     points[2] = Vector2(parent->getPoint(3*index+2)->y,
15                         parent->getPoint(3*index+2)->z);
16
17     edges[0] = points[1] - points[0];
18     edges[1] = points[2] - points[1];
19     edges[2] = points[0] - points[2];
20
21     area = 0.5 * abs(edges[0].x * edges[2].y - edges[2].x * edges[0].y);
22     circumcircle = Circle::GetBoundingCircle(points[0], points[1],
23 points[2]);
24     centroid = (points[0] + points[1] + points[2]) / 3.0;
25 }
26
27 Triangle2::~~Triangle2(void)
28 { }
29
30 bool Triangle2::intersects(Triangle2* second, int method)
31 {
32     //if two triangles are part of the same mesh, and share at least one
33     //index, they will not intersect.
34     if ((parent == second->parent) &&
35         ((parent->getIndex(3*index)
36          == second->parent->getIndex(3*second->index))
37          || (parent->getIndex(3*index)
38            == second->parent->getIndex(3*second->index+1))
39            || (parent->getIndex(3*index)
40              == second->parent->getIndex(3*second->index+2)) ||
41             (parent->getIndex(3*index+1)
42              == second->parent->getIndex(3*second->index))
43              || (parent->getIndex(3*index+1)
44                == second->parent->getIndex(3*second->index+1))
45                || (parent->getIndex(3*index+1)
46                  == second->parent->getIndex(3*second->index+2)) ||
47                 (parent->getIndex(3*index+2)
48                  == second->parent->getIndex(3*second->index))
49                  || (parent->getIndex(3*index+2)
50                    == second->parent->getIndex(3*second->index+1))
51                    || (parent->getIndex(3*index+2)
52                      == second->parent->getIndex(3*second->index+2))))
53         return false;
```

```

54
55 //First we will check the bounding circles
56 if (!Circle::Intersects(&circumcircle, &second->circumcircle))
57     return false;
58
59 if (method == TRIANGLE_FULL)
60     return intersectsFull(second);
61 else
62     return intersectsPoint(second);
63 }
64
65 bool Triangle2::intersectsFull(Triangle2* second)
66 {
67     //And then use the separating axis theorem to see if there is an
68     intersection
69     //http://www.codeproject.com/KB/GDI-plus/PolygonCollision.aspx
70
71     // Loop through all the edges of both polygons
72     int totalEdgeCount = 6;
73     Vector2 edge, axis;
74
75     // Loop through all the edges of both polygons
76     for (int i = 0; i < totalEdgeCount; i++)
77     {
78         edge = (i < 3) ? edges[i] : second->edges[i - 3];
79
80         // Find the axis perpendicular to the current edge
81         axis.x = -edge.y;
82         axis.y = edge.x;
83         axis.Normalize();
84
85         // Find the projection of the polygon on the current axis
86         float minFirst = 0; float minSecond = 0;
87         float maxFirst = 0; float maxSecond = 0;
88         projectToAxis(axis, &minFirst, &maxFirst);
89         second->projectToAxis(axis, &minSecond, &maxSecond);
90
91         // Check if the polygon projections are currently intersecting
92         float t0 = maxSecond - minFirst;
93         float t1 = maxFirst - minSecond;
94         if (abs(t0 - t1) > t0 + t1 - 16 *
95         std::numeric_limits<float>::epsilon())
96             return false;
97     }
98
99     return true;
100 }
101
102 //Algorithm taken from http://www.blackpawn.com/texts/pointinpoly/
103 //See also Real-Time Collision Detection, page 204 and
104 //http://stackoverflow.com/questions/2049582/how-to-determine-a-point-in-a-
105 triangle
106 bool Triangle2::intersectsPoint(Triangle2* second)
107 {
108     Vector2 v0 = second->points[2] - second->points[0];
109     Vector2 v1 = second->points[1] - second->points[0];
110     Vector2 v2 = centroid - second->points[0];

```

```

111
112     float dot00 = v0.Dot(v0);
113     float dot01 = v0.Dot(v1);
114     float dot02 = v0.Dot(v2);
115     float dot11 = v1.Dot(v1);
116     float dot12 = v1.Dot(v2);
117
118     float invDenom = 1 / (dot00 * dot11 - dot01 * dot01);
119     float u = (dot11 * dot02 - dot01 * dot12) * invDenom;
120     float v = (dot00 * dot12 - dot01 * dot02) * invDenom;
121
122     // Check if point is in triangle
123     return (u >= 0) && (v >= 0) && (u + v < 1);
124 }
125
126 void Triangle2::projectToAxis(Vector2 &axis, float* minimum, float* maximum)
127 {
128     float projectionA = axis.Dot(points[0]);
129     float projectionB = axis.Dot(points[1]);
130     float projectionC = axis.Dot(points[2]);
131
132     *maximum = max(max(projectionA, projectionB), projectionC);
133     *minimum = min(min(projectionA, projectionB), projectionC);
134 } }

```

8.3. Račun fluksa

ATMRow.h

```

1  #pragma once
2
3  #include <vector>
4  #include "LegendrePolynomial.h"
5  #include "Calc.h"
6
7  namespace Infinity {
8  class ATMRow
9  {
10 public:
11     ATMRow(double low, double high, double p0, double p1, double p2,
12           double p3, double p4, double p5, double p6, double p7,
13           double p8, double p9);
14     ATMRow(const ATMRow& source);
15     ~ATMRow(void);
16
17     double getLow();
18     double getHigh();
19     double getIntensity(double temp);
20
21     ATMRow& operator=(const ATMRow& source);
22 private:
23     double low, high;
24     std::vector<double> coefs;
25
26     LegendrePolynomial p0, p1, p2, p3, p4, p5, p6, p7, p8, p9;

```

```

27 };
28
29 inline double ATMRow::getLow() { return low; }
30 inline double ATMRow::getHigh() { return high; }
31
32 inline double ATMRow::getIntensity(double temperature)
33 {
34     double normTemp = (temperature - low) / (high - low);
35
36     double result = coefs[0] * p0(normTemp) + coefs[1] * p1(normTemp)
37         + coefs[2] * p2(normTemp) + coefs[3] * p3(normTemp)
38         + coefs[4] * p4(normTemp) + coefs[5] * p5(normTemp)
39         + coefs[6] * p6(normTemp) + coefs[7] * p7(normTemp)
40         + coefs[8] * p8(normTemp) + coefs[9] * p9(normTemp);
41
42     return pow(10.0, result);
43 } }

```

ATMRow.cpp

```

1  #include "stdafx.h"
2  #include "ATMRow.h"
3
4  namespace Infinity {
5  ATMRow::ATMRow(double low, double high, double c0, double c1,
6      double c2, double c3, double c4, double c5, double c6,
7      double c7, double c8, double c9) :
8      low(low),
9      high(high),
10     coefs(10),
11     p0(0), p1(1), p2(2), p3(3), p4(4), p5(5), p6(6), p7(7), p8(8), p9(9)
12 {
13     coefs[0] = c0;
14     coefs[1] = c1;
15     coefs[2] = c2;
16     coefs[3] = c3;
17     coefs[4] = c4;
18     coefs[5] = c5;
19     coefs[6] = c6;
20     coefs[7] = c7;
21     coefs[8] = c8;
22     coefs[9] = c9;
23 }
24
25 ATMRow::ATMRow(const ATMRow& source) :
26     low(source.low),
27     high(source.high),
28     coefs(source.coefs),
29     p0(0), p1(1), p2(2), p3(3), p4(4), p5(5), p6(6), p7(7), p8(8), p9(9)
30 { }
31
32 ATMRow& ATMRow::operator=(const ATMRow& source)
33 {
34     low = source.low;
35     high = source.high;
36     coefs = source.coefs;

```

```

37
38     p0 = LegendrePolynomial(0);
39     p1 = LegendrePolynomial(1);
40     p2 = LegendrePolynomial(2);
41     p3 = LegendrePolynomial(3);
42     p4 = LegendrePolynomial(4);
43     p5 = LegendrePolynomial(5);
44     p6 = LegendrePolynomial(6);
45     p7 = LegendrePolynomial(7);
46     p8 = LegendrePolynomial(8);
47     p9 = LegendrePolynomial(9);
48
49     return *this;
50 }
51
52 ATMRow::~ATMRow(void)
53 { } }

```

ATMTable.h

```

1  #pragma once
2
3  #include "ATMRow.h"
4  #include <vector>
5  #include <string>
6  #include <fstream>
7  #include <sstream>
8
9  namespace Infinity {
10 class ATMTable
11 {
12 public:
13     ATMTable(double metallicity, std::wstring passband);
14     ATMTable(const ATMTable& source);
15     ATMTable& operator=(const ATMTable& source);
16
17     ~ATMTable(void);
18
19     double getIntensity(double temperature, double logG);
20 private:
21     std::vector<ATMRow> rows;
22
23     std::wstring getMetallicityString(double metallicity);
24     int getIndex(double logG);
25     double getLogG(int index);
26 };
27
28 inline double ATMTable::getIntensity(double temperature, double logG)
29 {
30     int index = getIndex(logG);
31     double intensity0, intensity1;
32     double amount = (logG - index / 8.0) / 0.5; //Empirical formula :)
33
34     //determine where is the temperature...
35     if (temperature < rows[index].getHigh())
36         intensity0 = rows[index].getIntensity(temperature);

```

```

36     if (temperature >= rows[index+1].getLow()
37         && temperature < rows[index+1].getHigh())
38         intensity0 = rows[index+1].getIntensity(temperature);
39     if (temperature >= rows[index+2].getLow()
40         && temperature < rows[index+2].getHigh())
41         intensity0 = rows[index+2].getIntensity(temperature);
42     if (temperature >= rows[index+3].getLow()
43         intensity0 = rows[index+3].getIntensity(temperature);
44
45     if (temperature < rows[index+4].getHigh()
46         intensity1 = rows[index+4].getIntensity(temperature);
47     if (temperature >= rows[index+5].getLow()
48         && temperature < rows[index+5].getHigh())
49         intensity1 = rows[index+5].getIntensity(temperature);
50     if (temperature >= rows[index+6].getLow()
51         && temperature < rows[index+6].getHigh())
52         intensity1 = rows[index+6].getIntensity(temperature);
53     if (temperature >= rows[index+7].getLow()
54         intensity1 = rows[index+7].getIntensity(temperature);
55
56     return (1-amount) * intensity0 + amount * intensity1;
57 } }

```

ATMTable.cpp

```

1  #include "stdafx.h"
2  #include "ATMTable.h"
3
4  using namespace std;
5
6  namespace Infinity {
7
8  ATMTable::ATMTable(double metalicity, std::wstring passband)
9  {
10     wstringstream ssPrim;
11     ssPrim << L"atmcof/" << getMetalicityString(metalicity)
12         << L"." << passband;
13
14     ifstream file(ssPrim.str());
15
16     double low, high;
17     double c0, c1, c2, c3, c4, c5, c6, c7, c8, c9;
18     while(!file.eof())
19     {
20         file >> low;
21         file >> high;
22         file >> c0;
23         file >> c1;
24         file >> c2;
25         file >> c3;
26         file >> c4;
27         file >> c5;
28         file >> c6;
29         file >> c7;
30         file >> c8;
31         file >> c9;

```

```

32
33     rows.push_back(ATMRow(low, high, c0, c1, c2, c3, c4,
34         c5, c6, c7, c8, c9));
35     }
36     file.close();
37 }
38
39
40 ATMTable::ATMTable(const ATMTable& source) :
41     rows(source.rows)
42 { }
43
44 ATMTable& ATMTable::operator=(const ATMTable& source)
45 {
46     rows = source.rows;
47
48     return *this;
49 }
50
51 ATMTable::~ATMTable(void)
52 { }
53
54 std::wstring ATMTable::getMetallicityString(double metallicity)
55 {
56     //Possible values
57     // -5.0, -4.5, -4.0, -3.5, -3.0, -2.5, -2.0, -1.5, -1.0, -0.5,
58     // -0.3, -0.2, -0.1, 0.0, 0.1, 0.2, 0.3, 0.5, 1.0
59     //Values are rounded to the nearest supported value.
60
61     if (metallicity < -4.75)
62         return L"M50";
63     if (metallicity >= -4.75 && metallicity < -4.25)
64         return L"M45";
65     if (metallicity >= -4.25 && metallicity < -3.75)
66         return L"M40";
67     if (metallicity >= -3.75 && metallicity < -3.25)
68         return L"M35";
69     if (metallicity >= -3.25 && metallicity < -2.75)
70         return L"M30";
71     if (metallicity >= -2.75 && metallicity < -2.25)
72         return L"M25";
73     if (metallicity >= -2.25 && metallicity < -1.75)
74         return L"M20";
75     if (metallicity >= -1.75 && metallicity < -1.25)
76         return L"M15";
77     if (metallicity >= -1.25 && metallicity < -0.75)
78         return L"M10";
79     if (metallicity >= -0.75 && metallicity < -0.4)
80         return L"M05";
81     if (metallicity >= -0.4 && metallicity < -0.25)
82         return L"M03";
83     if (metallicity >= -0.25 && metallicity < -0.15)
84         return L"M02";
85     if (metallicity >= -0.15 && metallicity < -0.05)
86         return L"M01";
87     if (metallicity >= -0.05 && metallicity < 0.05)
88         return L"P00";

```



```

89     if (metallicity >= 0.05 && metallicity < 0.15)
90         return L"P01";
91     if (metallicity >= 0.15 && metallicity < 0.25)
92         return L"P02";
93     if (metallicity >= 0.25 && metallicity < 0.4)
94         return L"P03";
95     if (metallicity >= 0.4 && metallicity < 0.75)
96         return L"P05";
97
98     //if metallicity > 0.75
99     return L"P10";
100 }
101
102 int ATMTable::getIndex(double logG)
103 {
104     //Possible values:
105     //0.0, 0.5, 1.0, 1.5, 2.0, 2.5, 3.0, 3.5, 4.0, 4.5, 5.0
106     //Values are rounded to the lower supported value.
107     if (logG < 0.5)
108         return 0;
109     if (logG >= 0.5 && logG < 1.0)
110         return 4;
111     if (logG >= 1.0 && logG < 1.5)
112         return 8;
113     if (logG >= 1.5 && logG < 2.0)
114         return 12;
115     if (logG >= 2.0 && logG < 2.5)
116         return 16;
117     if (logG >= 2.5 && logG < 3.0)
118         return 20;
119     if (logG >= 3.0 && logG < 3.5)
120         return 24;
121     if (logG >= 3.5 && logG < 4.0)
122         return 28;
123     if (logG >= 4.0 && logG < 4.5)
124         return 32;
125     if (logG >= 4.5 && logG < 5.0)
126         return 36;
127
128     //if logG >= 4.25
129     return 40;
130 }
131
132 double ATMTable::getLogG(int index)
133 {
134     //Possible values:
135     //0.0, 0.5, 1.0, 1.5, 2.0, 2.5, 3.0, 3.5, 4.0, 4.5, 5.0
136     //Values are rounded to the lower supported value.
137     if (index == 0)
138         return 0.0;
139     if (index == 4)
140         return 0.5;
141     if (index == 8)
142         return 1.0;
143     if (index == 12)
144         return 1.5;
145     if (index == 16)

```

```

146     return 2.0;
147     if (index == 20)
148         return 2.5;
149     if (index == 24)
150         return 3.0;
151     if (index == 28)
152         return 3.5;
153     if (index == 32)
154         return 4.0;
155     if (index == 36)
156         return 4.5;
157
158     return 5.0;
159 }

```

KuruczFlux.h

```

1  #pragma once
2
3  #include <cmath>
4  #include <string>
5  #include <vector>
6  #include "Calc.h"
7  #include "Mesh3.h"
8  #include "Binary.h"
9  #include "Passband.h"
10 #include "SystemEffect.h"
11 #include "LegendrePolynomial.h"
12
13 namespace Infinity {
14 class KuruczFlux : public SystemEffect
15 {
16 public:
17     KuruczFlux(Binary* binary, Mesh3* primary, Mesh3* secondary,
18             Mesh3* disc, std::vector<Passband>* passbands);
19     ~KuruczFlux();
20     void run();
21 private:
22     std::vector<Passband>* passbands;
23     LDTable* primaryLD;
24     LDTable* secondaryLD;
25
26     std::vector<double> coef;
27     std::vector<double> ranges;
28 }; }

```

KuruczFlux.cpp

```

1  #include "stdafx.h"
2  #include "KuruczFlux.h"
3
4  using namespace std;
5
6  namespace Infinity {
7  KuruczFlux::KuruczFlux(Binary* binary, Mesh3* primary, Mesh3* secondary,
8      Mesh3* disc, vector<Passband>* passbands)

```

```

9      : SystemEffect(binary, primary, secondary, disc), passbands(passbands)
10     { }
11
12     KuruczFlux::~KuruczFlux()
13     { }
14
15     void KuruczFlux::run()
16     {
17         size_t passbandCount = passbands->size();
18         size_t primaryTriangleCount = primary->getTriangleCount();
19         size_t secondaryTriangleCount = secondary->getTriangleCount();
20         size_t discTriangleCount = disc->getTriangleCount();
21
22         for (size_t p = 0; p < passbandCount; p++)
23         {
24             LDTable* primaryLD = passbands->at(p).getPrimaryLDTable();
25             LDTable* secondaryLD = passbands->at(p).getSecondaryLDTable();
26
27             ATMTable* primaryATM = passbands->at(p).getPrimaryATMTable();
28             ATMTable* secondaryATM = passbands->at(p).getSecondaryATMTable();
29
30             //Primary
31             for (size_t i = 0; i < primaryTriangleCount; ++i)
32             {
33                 if (primary->getVisibility(i) > 0.0)
34                 {
35                     //Vector3 unitX(1.0, 0.0, 0.0);
36                     //double cosGamma = unitX.Dot(primary->getNormal(i));
37                     double cosGamma = primary->getNormal(i)->x;
38
39                     if (cosGamma < 0.0)
40                         continue;
41
42                     double temperature = primary->getTemperature(i);
43                     double gravity = primary->getGravityAcceleration(i);
44
45                     double ldCorrection = 1 -
46                         primaryLD->getX1(temperature, log10(gravity))
47                         * (1 - sqrt(cosGamma)) -
48                         primaryLD->getX2(temperature, log10(gravity))
49                         * (1 - cosGamma) -
50                         primaryLD->getX3(temperature, log10(gravity))
51                         * (1 - sqrt(pow3(cosGamma))) -
52                         primaryLD->getX4(temperature, log10(gravity))
53                         * (1 - pow2(cosGamma));
54
55                     if (ldCorrection < 0)
56                         ldCorrection = 0;
57
58                     double flux = primaryATM->getIntensity(temperature,
59                         log10(gravity));
60                     primary->setFlux(p, i, flux * ldCorrection);
61                 }
62             }
63
64             //Secondary
65             for (size_t i = 0; i < secondaryTriangleCount; ++i)

```

```

66     {
67         if (secondary->getVisibility(i) > 0.0)
68         {
69             //Vector3 unitX(1.0, 0.0, 0.0);
70             //double cosGamma = unitX.Dot(primary->getNormal(i));
71             double cosGamma = secondary->getNormal(i)->x;
72
73             if (cosGamma < 0.0)
74                 continue;
75
76             double temperature = secondary->getTemperature(i);
77             double gravity = secondary->getGravityAcceleration(i);
78
79             double ldCorrection = 1 -
80                 secondaryLD->getX1(temperature, log10(gravity))
81                 * (1 - sqrt(cosGamma)) -
82                 secondaryLD->getX2(temperature, log10(gravity))
83                 * (1 - cosGamma) -
84                 secondaryLD->getX3(temperature, log10(gravity))
85                 * (1 - sqrt(pow3(cosGamma))) -
86                 secondaryLD->getX4(temperature, log10(gravity))
87                 * (1 - pow2(cosGamma));
88
89             if (ldCorrection < 0)
90                 ldCorrection = 0;
91
92             double flux = secondaryATM->getIntensity(temperature,
93                 log10(gravity));
94             secondary->setFlux(p, i, flux * ldCorrection);
95         }
96     }
97
98 //Disc
99 for (size_t i = 0; i < discTriangleCount; ++i)
100 {
101     if (disc->getVisibility(i) > 0.0)
102     {
103         //Vector3 unitX(1.0, 0.0, 0.0);
104         //double cosGamma = unitX.Dot(primary->getNormal(i));
105         double cosGamma = disc->getNormal(i)->x;
106
107         if (cosGamma < 0.0)
108             continue;
109
110         double temperature = disc->getTemperature(i);
111         double gravity = disc->getGravityAcceleration(i);
112
113         double ldCorrection = 1 -
114             primaryLD->getX1(temperature, log10(gravity))
115             * (1 - sqrt(cosGamma)) -
116             primaryLD->getX2(temperature, log10(gravity))
117             * (1 - cosGamma) -
118             primaryLD->getX3(temperature, log10(gravity))
119             * (1 - sqrt(pow3(cosGamma))) -
120             primaryLD->getX4(temperature, log10(gravity))
121             * (1 - pow2(cosGamma));
122

```

```

123         if (ldCorrection < 0)
124             ldCorrection = 0;
125
126         double flux = primaryATM->getIntensity(temperature,
127             log10(gravity));
128         disc->setFlux(p, i, flux * ldCorrection);
129     }
130 }
131 }
132 } }

```

LDTable.h

```

1  #pragma once
2
3  #include <string>
4  #include <fstream>
5  #include <vector>
6
7  namespace Infinity {
8  class LDTable
9  {
10 public:
11     LDTable(std::wstring passband, std::wstring atmModel, double metalicity,
12         double microturbulence);
13     ~LDTable();
14
15     double getX1(double temperature, double logG);
16     double getX2(double temperature, double logG);
17     double getX3(double temperature, double logG);
18     double getX4(double temperature, double logG);
19 private:
20     size_t tempCount, logGCount;
21
22     std::vector<double> temperatures;
23     std::vector<double> logGs;
24
25     std::vector<double> x1;
26     std::vector<double> x2;
27     std::vector<double> x3;
28     std::vector<double> x4;
29
30     double interpolate(std::vector<double>& data, double temperature,
31         double logG);
32 };
33
34 inline double LDTable::getX1(double temperature, double logG)
35 { return interpolate(x1, temperature, logG); }
36
37 inline double LDTable::getX2(double temperature, double logG)
38 { return interpolate(x2, temperature, logG); }
39
40 inline double LDTable::getX3(double temperature, double logG)
41 { return interpolate(x3, temperature, logG); }
42
43 inline double LDTable::getX4(double temperature, double logG)

```

```

44 { return interpolate(x4, temperature, logG);}
45 }

```

LDTable.cpp

```

1  #include "stdafx.h"
2  #include "LDTable.h"
3
4  using namespace std;
5
6  namespace Infinity {
7  LDTable::LDTable(std::wstring passband, std::wstring atmModel,
8                  double metallicity, double microturbulence)
9  {
10     wstring fileName = L"ldtables/" + atmModel + L"- "
11                      + (metallicity < 0 ? L"M" : L"P")
12                      + (abs(metallicity) < 1.0 ? L"0" : L"")
13                      + std::to_wstring(static_cast<int>(10.0 * metallicity))
14                      + L"- " + std::to_wstring(static_cast<int>(microturbulence))
15                      + L"." + passband;
16
17     ifstream table(fileName);
18
19     table >> logGCount;
20     table >> tempCount;
21
22     logGs.resize(logGCount);
23     for (unsigned int i = 0; i < logGCount; i++)
24         table >> logGs[i];
25
26     temperatures.resize(tempCount);
27     for (unsigned int i = 0; i < tempCount; i++)
28         table >> temperatures[i];
29
30     // Allocate memory
31     x1.resize(tempCount * logGCount);
32     x2.resize(tempCount * logGCount);
33     x3.resize(tempCount * logGCount);
34     x4.resize(tempCount * logGCount);
35
36     for (unsigned short i = 0; i < tempCount * logGCount; i++)
37     {
38         string sx1, sx2, sx3, sx4;
39
40         table >> sx1;
41         table >> sx2;
42         table >> sx3;
43         table >> sx4;
44
45         if(sx1 == "Infinity" || sx2 == "Infinity" ||
46            sx3 == "Infinity" || sx4 == "Infinity")
47         {
48             x1[i] = numeric_limits<double>::infinity();
49             x2[i] = numeric_limits<double>::infinity();
50             x3[i] = numeric_limits<double>::infinity();
51             x4[i] = numeric_limits<double>::infinity();

```

```

52     }
53     else
54     {
55         x1[i] = std::stof(sx1);
56         x2[i] = std::stof(sx2);
57         x3[i] = std::stof(sx3);
58         x4[i] = std::stof(sx4);
59     }
60 }
61 }
62
63 LDTable::~LDTable()
64 { }
65
66 double LDTable::interpolate(std::vector<double>& data, double temperature,
67                             double logG)
68 {
69     size_t tempIndex = tempCount + 1;
70     size_t logGIndex = logGCount + 1;
71
72     for (size_t i = 0; i < tempCount - 1; i++)
73         if (temperature >= temperatures[i] && temperature < temperatures[i +
74 1])
75         {
76             tempIndex = i;
77             break;
78         }
79
80     for (size_t i = 0; i < logGCount - 1; i++)
81         if (logG >= logGs[i] && logG < logGs[i + 1])
82         {
83             logGIndex = i;
84             break;
85         }
86
87     if (tempIndex >= tempCount && temperature < temperatures[0])
88         tempIndex = 0;
89
90     if (tempIndex >= tempCount && temperature > temperatures[tempCount-1])
91         tempIndex = tempCount-1;
92
93     if (logGIndex >= logGCount && logG < logGs[0])
94         logGIndex = 0;
95
96     if (logGIndex >= logGCount && logG > logGs[logGCount-1])
97         logGIndex = logGCount-1;
98
99     double result =
100     data[tempIndex * logGCount + logGIndex] * (temperatures[tempIndex +
101 1]
102         - temperature) * (logGs[logGIndex + 1] - logG)
103         / (temperatures[tempIndex + 1] - temperatures[tempIndex])
104         / (logGs[logGIndex + 1] - logGs[logGIndex]) +
105     data[(tempIndex + 1) * logGCount + logGIndex] * (temperature
106         - temperatures[tempIndex]) * (logGs[logGIndex + 1] - logG)
107         / (temperatures[tempIndex + 1] - temperatures[tempIndex])
108         / (logGs[logGIndex + 1] - logGs[logGIndex]) +

```

```

109         data[tempIndex * logGCount + logGIndex + 1] *
110 (temperatures[tempIndex + 1]
111     - temperature) * (logG - logGs[logGIndex])
112     / (temperatures[tempIndex + 1] - temperatures[tempIndex])
113     / (logGs[logGIndex + 1] - logGs[logGIndex]) +
114     data[(tempIndex + 1) * logGCount + logGIndex + 1] * (temperature
115     - temperatures[tempIndex]) * (logG - logGs[logGIndex])
116     / (temperatures[tempIndex + 1] - temperatures[tempIndex])
117     / (logGs[logGIndex + 1] - logGs[logGIndex]);
118
119     return result;
120 } }

```

Passband.h

```

1  #pragma once
2
3  #include <string>
4  #include "LDTable.h"
5  #include "ATMTable.h"
6  #include "Binary.h"
7
8  namespace Infinity {
9  class Passband
10 {
11 public:
12     Passband(std::wstring id, double effectiveWavelength, Binary* binary);
13     //Passband(const Passband& source);
14     ~Passband(void);
15
16     double getEffectiveWavelength();
17     std::wstring getID();
18     LDTable* getPrimaryLDTable();
19     LDTable* getSecondaryLDTable();
20
21     ATMTable* getPrimaryATMTable();
22     ATMTable* getSecondaryATMTable();
23
24     //Static methods
25     static Passband FromID(std::wstring id, Binary* binary);
26 private:
27     double effectiveWavelength;
28     std::wstring id;
29
30     LDTable primaryLD;
31     LDTable secondaryLD;
32
33     ATMTable primaryATM;
34     ATMTable secondaryATM;
35 };

```


Passband.cpp

```
1  #include "stdafx.h"
2  #include "Passband.h"
3
4  namespace Infinity
5  {
6  Passband::Passband(std::wstring id, double effectiveWavelength, Binary*
7  binary) :
8      id(id),
9      effectiveWavelength(effectiveWavelength),
10     primaryATM(binary->getPrimary()->getMetallicity(), id),
11     secondaryATM(binary->getSecondary()->getMetallicity(), id),
12     primaryLD(id, binary->getPrimary()->getAtmosphereModel(),
13     binary->getPrimary()->getMetallicity(),
14     binary->getPrimary()->getMicroturbulence()),
15     secondaryLD(id, binary->getSecondary()->getAtmosphereModel(),
16     binary->getSecondary()->getMetallicity(),
17     binary->getSecondary()->getMicroturbulence())
18 { }
19
20 Passband::~Passband(void)
21 { }
22
23 LDTable* Passband::getPrimaryLDTable()
24 { return &primaryLD; }
25
26 LDTable* Passband::getSecondaryLDTable()
27 { return &secondaryLD; }
28
29 ATMTTable* Passband::getPrimaryATMTTable()
30 { return &primaryATM; }
31
32 ATMTTable* Passband::getSecondaryATMTTable()
33 { return &secondaryATM; }
34
35 double Passband::getEffectiveWavelength()
36 { return effectiveWavelength; }
37
38 std::wstring Passband::getID()
39 { return id; }
40
41 Passband Passband::FromID(std::wstring id, Binary* binary)
42 {
43     //Effective WL taken from Phoebe
44     if (id == L"Johnson_U")
45         return Passband(L"Johnson_U", 3600.0, binary);
46     if (id == L"Johnson_B")
47         return Passband(L"Johnson_B", 4400.0, binary);
48     if (id == L"Johnson_V")
49         return Passband(L"Johnson_V", 5500.0, binary);
50     if (id == L"Cousins_R")
51         return Passband(L"Cousins_R", 7000.0, binary);
52     if (id == L"Cousins_I")
53         return Passband(L"Cousins_I", 9000.0, binary);
54     if (id == L"Stromgren_u")
```

```

55     return Passband(L"Stromgren_u", 3500.0, binary);
56     if (id == L"Stromgren_v")
57         return Passband(L"Stromgren_v", 4110.0, binary);
58     if (id == L"Stromgren_b")
59         return Passband(L"Stromgren_b", 4670.0, binary);
60     if (id == L"Stromgren_y")
61         return Passband(L"Stromgren_y", 5470.0, binary);
62
63     throw std::exception("Passband not supported");
64 } }

```

PlanckFlux.h

```

1  #pragma once
2
3  #include <cmath>
4  #include <string>
5  #include <vector>
6  #include "Calc.h"
7  #include "Mesh3.h"
8  #include "Binary.h"
9  #include "Passband.h"
10 #include "SystemEffect.h"
11
12 namespace Infinity {
13 class PlanckFlux : public SystemEffect
14 {
15 public:
16     PlanckFlux(Binary* binary, Mesh3* primary, Mesh3* secondary, Mesh3* disc,
17         std::vector<Passband>* passbands);
18     ~PlanckFlux();
19     void run();
20 private:
21     std::vector<Passband>* passbands;
22     LDTable* primaryLD;
23     LDTable* secondaryLD;
24 }; }

```

PlanckFlux.cpp

```

1  #include "stdafx.h"
2  #include "PlanckFlux.h"
3
4  using namespace std;
5
6  namespace Infinity {
7  PlanckFlux::PlanckFlux(Binary* binary, Mesh3* primary, Mesh3* secondary,
8      Mesh3* disc, vector<Passband>* passbands)
9      : SystemEffect(binary, primary, secondary, disc), passbands(passbands)
10 { }
11
12 PlanckFlux::~PlanckFlux()
13 { }
14
15 void PlanckFlux::run()
16 {

```

```

17 size_t passbandCount = passbands->size();
18 size_t primaryTriangleCount = primary->getTriangleCount();
19 size_t secondaryTriangleCount = secondary->getTriangleCount();
20 size_t discTriangleCount = disc->getTriangleCount();
21
22 for (size_t p = 0; p < passbandCount; p++)
23 {
24     LDTable* primaryLD = passbands->at(p).getPrimaryLDTable();
25     LDTable* secondaryLD = passbands->at(p).getSecondaryLDTable();
26
27     double effectiveWL = passbands->at(p).getEffectiveWavelength();
28     double C1 = 3.7418498E35 / pow5(effectiveWL);
29     double C2 = 143883361 / effectiveWL;
30
31     //Primary
32     for (size_t i = 0; i < primaryTriangleCount; ++i)
33     {
34         if (primary->getVisibility(i) > 0.0)
35         {
36             //Vector3 unitX(1.0, 0.0, 0.0);
37             //double cosGamma = unitX.Dot(primary->getNormal(i));
38             double cosGamma = primary->getNormal(i)->x;
39
40             if (cosGamma < 0.0)
41                 continue;
42
43             double temperature = primary->getTemperature(i);
44             double gravity = primary->getGravityAcceleration(i);
45
46             double ldCorrection = 1 -
47                 primaryLD->getX1(temperature, log10(gravity))
48                 * (1 - sqrt(cosGamma)) -
49                 primaryLD->getX2(temperature, log10(gravity))
50                 * (1 - cosGamma) -
51                 primaryLD->getX3(temperature, log10(gravity))
52                 * (1 - sqrt(pow3(cosGamma))) -
53                 primaryLD->getX4(temperature, log10(gravity))
54                 * (1 - pow2(cosGamma));
55
56             if (ldCorrection < 0)
57                 ldCorrection = 0;
58
59             primary->setFlux(p, i, C1 / (exp(C2 / temperature) - 1)
60                 * ldCorrection);
61         }
62     }
63
64     //Secondary
65     for (size_t i = 0; i < secondaryTriangleCount; ++i)
66     {
67         if (secondary->getVisibility(i) > 0.0)
68         {
69             //Vector3 unitX(1.0, 0.0, 0.0);
70             //double cosGamma = unitX.Dot(primary->getNormal(i));
71             double cosGamma = secondary->getNormal(i)->x;
72
73             if (cosGamma < 0.0)

```

```

74         continue;
75
76         double temperature = secondary->getTemperature(i);
77         double gravity = secondary->getGravityAcceleration(i);
78
79         double ldCorrection = 1 -
80             secondaryLD->getX1(temperature, log10(gravity))
81             * (1 - sqrt(cosGamma)) -
82             secondaryLD->getX2(temperature, log10(gravity))
83             * (1 - cosGamma) -
84             secondaryLD->getX3(temperature, log10(gravity))
85             * (1 - sqrt(pow3(cosGamma))) -
86             secondaryLD->getX4(temperature, log10(gravity))
87             * (1 - pow2(cosGamma));
88
89         if (ldCorrection < 0)
90             ldCorrection = 0;
91
92         secondary->setFlux(p, i, C1 / (exp(C2 / temperature)-1)
93             * ldCorrection);
94     }
95 }
96
97 //Disc
98 for (size_t i = 0; i < discTriangleCount; ++i)
99 {
100     if (disc->getVisibility(i) > 0.0)
101     {
102         //Vector3 unitX(1.0, 0.0, 0.0);
103         //double cosGamma = unitX.Dot(primary->getNormal(i));
104         double cosGamma = disc->getNormal(i)->x;
105
106         if (cosGamma < 0.0)
107             continue;
108
109         double temperature = disc->getTemperature(i);
110         double gravity = disc->getGravityAcceleration(i);
111
112         double ldCorrection = 1 -
113             primaryLD->getX1(temperature, log10(gravity))
114             * (1 - sqrt(cosGamma)) -
115             primaryLD->getX2(temperature, log10(gravity))
116             * (1 - cosGamma) -
117             primaryLD->getX3(temperature, log10(gravity))
118             * (1 - sqrt(pow3(cosGamma))) -
119             primaryLD->getX4(temperature, log10(gravity))
120             * (1 - pow2(cosGamma));
121
122         if (ldCorrection < 0)
123             ldCorrection = 0;
124
125         disc->setFlux(p, i, C1 / (exp(C2 / temperature) - 1))
126             * ldCorrection);
127     }
128 }
129 }
130 }

```

8.4. Račun orbite

CircularOrbit.h

```
1 #pragma once
2 #include "Orbit.h"
3
4 namespace Infinity {
5 class CircularOrbit :
6     public Orbit
7 {
8 public:
9     CircularOrbit(Binary* binary, std::vector<double>& phases);
10    ~CircularOrbit(void);
11 }; }
```

CircularOrbit.cpp

```
1 #include "stdafx.h"
2 #include "CircularOrbit.h"
3
4 using namespace DirectX::SimpleMath;
5
6 namespace Infinity {
7
8 CircularOrbit::CircularOrbit(Binary* binary, std::vector<double>& phases) :
9 Orbit()
10 {
11     const float pi = 3.14159265359f;
12     size_t pointCount = phases.size();
13
14     separations.reserve(pointCount);
15     primaryWorld.reserve(pointCount);
16     secondaryWorld.reserve(pointCount);
17     diskWorld.reserve(pointCount);
18
19     for (size_t i = 0; i < pointCount; ++i)
20     {
21         separations.push_back(1.0f);
22         primaryWorld.push_back(
23             Matrix::CreateRotationZ(2 * pi * static_cast<float>(phases[i])) *
24             Matrix::CreateRotationY(pi / 2.0f
25                 - static_cast<float>(binary->getInclination())));
26
27         secondaryWorld.push_back(
28             Matrix::CreateRotationZ(pi) *
29             Matrix::CreateTranslation(1.0f, 0.0f, 0.0f) *
30             Matrix::CreateRotationZ(2 * pi * static_cast<float>(phases[i])) *
31             Matrix::CreateRotationY(pi / 2.0f
32                 - static_cast<float>(binary->getInclination())));
33
34         diskWorld.push_back(
35             Matrix::CreateRotationZ(2 * pi * static_cast<float>(phases[i])) *
36             Matrix::CreateRotationY(pi / 2.0f
```

```

37         - static_cast<float>(binary->getInclination()));
38     }
39 }
40
41 CircularOrbit::~CircularOrbit(void) { }
42 }

```

EccentricOrbit.h

```

1  #pragma once
2  #include "Orbit.h"
3
4  namespace Infinity {
5  class EccentricOrbit :
6      public Orbit
7  {
8  public:
9      EccentricOrbit(Binary* binary, std::vector<double>& phases);
10     ~EccentricOrbit(void);
11 }; }

```

EccentricOrbit.cpp

```

1  #include "stdafx.h"
2  #include "EccentricOrbit.h"
3
4  using namespace DirectX::SimpleMath;
5
6  namespace Infinity {
7  EccentricOrbit::EccentricOrbit(Binary* binary, std::vector<double>& phases)
8      : Orbit()
9  {
10     const float pi = 3.14159265359f;
11     size_t pointCount = phases.size();
12
13     separations.reserve(pointCount);
14     primaryWorld.reserve(pointCount);
15     secondaryWorld.reserve(pointCount);
16     diskWorld.reserve(pointCount);
17
18     double e = binary->getEccentricity();
19     double omega = binary->getArgumentOfPeriastron();
20
21     double nuZero = M_PI_2 - omega;
22     double EZero = 2 * atan(sqrt((1 - e) / (1 + e)) * tan(nuZero / 2.0));
23     double MZero = EZero - e * sin(EZero);
24
25     for (size_t i = 0; i < pointCount; ++i)
26     {
27         double M = 2 * M_PI * phases[i] + MZero;
28         double E = M;
29         double corr = 0;
30
31         do
32         {
33             corr = (M + e * sin(E) - E) / (1 - e * cos(E)); //From WD.

```

```

34
35         //Halley's method. Described in Kallrath & Milone.
36         // corr = (E - e*sin(E) - M) * (1 - e*cos(E))
37         // / (pow2(1 - e*cos(E)) - 0.5*(E - e*sin(E) - M)*e*sin(E));
38         E+= corr;
39     }
40     while (abs(corr) > 1E-12);
41
42     double anomaly = 2 * atan(sqrt((1 + e) / (1 - e)) * tan(E / 2.0));
43     if (anomaly < 0) anomaly += 2.0 * M_PI;
44
45     double phaseAngle = anomaly + omega - M_PI_2;
46     double separation = 1 - e * cos(E);
47
48     //double x = separation * cos(phaseAngle);
49     //double y = separation * sin(phaseAngle);
50
51     separations.push_back(separation);
52     primaryWorld.push_back(
53         Matrix::CreateRotationZ(static_cast<float>(phaseAngle))
54         * Matrix::CreateRotationY(pi / 2.0f
55         - static_cast<float>(binary->getInclination())));
56
57     secondaryWorld.push_back(
58         Matrix::CreateRotationZ(pi)
59     * Matrix::CreateTranslation(static_cast<float>(separation), 0.0f,
60     0.0f)
61         * Matrix::CreateRotationZ(static_cast<float>(phaseAngle))
62         * Matrix::CreateRotationY(pi / 2.0f
63         - static_cast<float>(binary->getInclination())));
64
65     diskWorld.push_back(
66         Matrix::CreateRotationZ(static_cast<float>(phaseAngle))
67         * Matrix::CreateRotationY(pi / 2.0f
68         - static_cast<float>(binary->getInclination())));
69     }
70 }
71
72 EccentricOrbit::~EccentricOrbit()
73 { } }

```

Orbit.h

```

1 #pragma once
2
3 #include "SimpleMath.h"
4 #include "Binary.h"
5
6 namespace Infinity {
7     class Orbit
8     {
9     public:
10         ~Orbit(void);
11
12         double getSeparation(size_t index) const;
13         DirectX::SimpleMath::Matrix getPrimaryWorldMatrix(size_t index) const;

```

```

14     DirectX::SimpleMath::Matrix getSecondaryWorldMatrix(size_t index) const;
15     DirectX::SimpleMath::Matrix getDiskWorldMatrix(size_t index) const;
16
17 protected:
18     Orbit();
19
20     std::vector<double> separations;
21     std::vector<DirectX::SimpleMath::Matrix> primaryWorld;
22     std::vector<DirectX::SimpleMath::Matrix> secondaryWorld;
23     std::vector<DirectX::SimpleMath::Matrix> diskWorld;
24 };
25
26
27
28 inline double Orbit::getSeparation(size_t index)
29     const { return separations[index]; }
30 inline DirectX::SimpleMath::Matrix Orbit::getPrimaryWorldMatrix(size_t index)
31     const { return primaryWorld[index]; }
32 inline DirectX::SimpleMath::Matrix Orbit::getSecondaryWorldMatrix(size_t
33 index)
34     const { return secondaryWorld[index]; }
35 inline DirectX::SimpleMath::Matrix Orbit::getDiskWorldMatrix(size_t index)
36     const { return diskWorld[index]; } }

```

Orbit.cpp

```

1 #include "stdafx.h"
2 #include "Orbit.h"
3
4 namespace Infinity {
5 Orbit::Orbit()
6 { }
7
8 Orbit::~Orbit(void)
9 { } }

```

8.5. Model zvezde

GravityAcceleration.h

```

1 #pragma once
2
3 #include <cmath>
4 #include "Calc.h"
5 #include "StellarEffect.h"
6 #include "Mesh3.h"
7 #include "Binary.h"
8
9
10 namespace Infinity {
11 class GravityAcceleration : public StellarEffect
12 {
13 public:
14     GravityAcceleration(Binary* binary, Star* star,
15         Mesh3* mesh, double massRatio);

```



```

16     ~GravityAcceleration();
17
18     void run(double time = 0);
19
20 private:
21     double rocheDelX(double x, double y, double z);
22     double rocheDelY(double x, double y, double z);
23     double rocheDelZ(double x, double y, double z);
24
25     double massRatio;
26     double async;
27 };
28
29 inline double GravityAcceleration::rocheDelX(double x, double y, double z)
30 {
31     return - x / ((x*x + y*y + z*z) * sqrt(x*x + y*y + z*z))
32             + massRatio * (1 - x) / (((1 - x)*(1 - x) + y*y + z*z)
33             * sqrt((1 - x)*(1 - x) + y*y + z*z))
34             - massRatio + (1 + massRatio) * x * pow2(async);
35 }
36
37 inline double GravityAcceleration::rocheDelY(double x, double y, double z)
38 {
39     return - y / ((x*x + y*y + z*z) * sqrt(x*x + y*y + z*z))
40             - massRatio * y / (((1 - x)*(1 - x) + y*y + z*z)
41             * sqrt((1 - x)*(1 - x) + y*y + z*z))
42             + (1 + massRatio) * y * pow2(async);
43 }
44
45 inline double GravityAcceleration::rocheDelZ(double x, double y, double z)
46 {
47     return - z / ((x*x + y*y + z*z) * sqrt(x*x + y*y + z*z))
48             - massRatio * z / (((1 - x)*(1 - x) + y*y + z*z)
49             * sqrt((1 - x)*(1 - x) + y*y + z*z));
50 } }

```

GravityAcceleration.cpp

```

1  #include "stdafx.h"
2  #include "GravityAcceleration.h"
3
4  using namespace std;
5  using namespace DirectX::SimpleMath;
6
7  namespace Infinity {
8  GravityAcceleration::GravityAcceleration(Binary* binary,
9      Star* star, Mesh3* mesh, double q)
10     : StellarEffect(binary, star, mesh), massRatio(q)
11     {
12     async = star->getAsynchronicity();
13     }
14
15 GravityAcceleration::~GravityAcceleration(void)
16 { }
17
18 void GravityAcceleration::run(double time)

```

```

19 {
20     double gravityConstant = 6.67428E-8;
21     double solarRadius = 6.955E10;
22
23     double effectiveGravity = 0.0;
24
25     //Roche star
26     if (star->getShape() == Star::Shape::Roche)
27     {
28         double scalingFactor = gravityConstant * star->getMass()
29             / pow2(binary->getSemimajorAxis() * solarRadius);
30
31         size_t triangleCount = mesh->getTriangleCount();
32         for (size_t i = 0; i < triangleCount; ++i)
33         {
34             double x = mesh->getCentroid(i)->x;
35             double y = mesh->getCentroid(i)->y;
36             double z = mesh->getCentroid(i)->z;
37
38             double g = scalingFactor * sqrt(pow2(rocheDelX(x, y, z))
39                 + pow2(rocheDelY(x, y, z)) + pow2(rocheDelZ(x, y, z)));
40
41             mesh->setGravityAcceleration(i, g);
42             effectiveGravity += g * mesh->getArea(i);
43         }
44
45         effectiveGravity /= mesh->getMeshArea();
46     }
47
48     //Spherical star
49     if (star->getShape() == Star::Shape::Sphere)
50     {
51         effectiveGravity = gravityConstant * star->getMass()
52             / pow2(star->getPolarRadius() * binary->getSemimajorAxis()
53                 * solarRadius);
54
55         size_t triangleCount = mesh->getTriangleCount();
56         for (size_t i = 0; i < triangleCount; ++i)
57             mesh->setGravityAcceleration(i, effectiveGravity);
58     }
59
60     star->setEffectiveGravity(effectiveGravity);
61 } }

```

RocheSurface.h

```

1 #pragma once
2
3 #include "UnivariateFunction.h"
4 #include "RootFinder.h"
5 #include "BisectionRootFinder.h"
6 #include "BrentRootFinder.h"
7 #include "Surface.h"
8
9 namespace Infinity {
10 class RocheSurface : public Surface

```

```

11  {
12  public:
13      RocheSurface(double massRatio, double separation, double polarRadius,
14                  double asynchronicity, Star* star);
15      ~RocheSurface(void);
16
17      double calculateRadius(RootFinder* rootFinder, double theta, double phi,
18                            double from, double to, double potential = 0.0);
19      double getCriticalPolarRadius();
20      double getSynchronousCriticalPolarRadius();
21      double getFrontRadius();
22      double getCriticalFrontRadius();
23      double getSynchronousCriticalFrontRadius();
24      double getBackRadius();
25      double getSideRadius();
26      double getMeanEggletonRadius();
27      double getFillingFactor();
28      double getPotential();
29      double getCriticalPotential();
30      double getSynchronousCriticalPotential();
31
32      float getOuterRadius() const;
33      float getInnerRadius() const;
34      float getRadius(float theta, float phi, double time = 0);
35
36  private:
37      class RocheFunction : public Function
38      {
39      public:
40          RocheFunction(double q, double d, double f, double t = 0, double p =
41  0)
42              : massRatio(q), separation(d), async(f), theta(t), phi(p)
43          { }
44
45          ~RocheFunction() { }
46
47          double theta, phi;
48
49          double operator() (double r) const
50          {
51              double lambda = sin(theta) * cos(phi);
52              return 1 / r + massRatio * (1 / sqrt(pow2(separation)
53                + pow2(r) - 2 * r * separation * lambda)
54                - r * lambda/pow2(separation)) + (massRatio + 1)
55                / 2 * pow2(r * sin(theta) * async);
56          }
57
58          double operator() (double r, double t, double p)
59          {
60              theta = t;
61              phi = p;
62              return (*this)(r);
63          }
64
65      private:
66          double massRatio, async, separation;
67      };

```

```

68
69     class RocheDerivative : public Function
70     {
71     public:
72         RocheDerivative(double q, double d, double f, double t = 0, double p
73 = 0)
74             : massRatio(q), separation(d), async(f), theta(t), phi(p)
75         { }
76
77         ~RocheDerivative() { }
78
79         double theta, phi;
80
81         double operator() (double r) const
82         {
83             double lambda = sin(theta) * cos(phi);
84             double A = sqrt(pow3(pow2(separation) + pow2(r)
85 - 2 * r * separation * lambda));
86             return -1.0 / pow2(r) + massRatio * (lambda*separation/A
87 - lambda / pow2(separation) - r / A) + (massRatio + 1)
88 * r * pow2(sin(theta) * async);
89         }
90
91         double operator() (double r, double t, double p)
92         {
93             theta = t;
94             phi = p;
95             return (*this)(r);
96         }
97
98     private:
99         double massRatio, async, separation;
100
101     };
102
103     double massRatio, polarRadius, asynchronicity, separation;
104
105     double criticalPolarRadius, synchronousCriticalPolarRadius;
106     double frontRadius, criticalFrontRadius, synchronousCriticalFrontRadius;
107     double backRadius, sideRadius;
108     double meanEggletonRadius;
109     double fillingFactor, potential, criticalPotential,
110         synchronousCriticalPotential;
111     RocheFunction function;
112     RocheDerivative derivative;
113     RootFinder *safeRF, *fastRF;
114 };
115
116 inline double RocheSurface::calculateRadius(RootFinder* rootFinder,
117     double theta, double phi, double from, double to, double potential)
118 {
119     function.theta = theta;
120     function.phi = phi;
121
122     return rootFinder->find(function, from, to, potential);
123 }
124

```

```

125 inline double RocheSurface::getCriticalPolarRadius()
126 { return criticalPolarRadius; }
127 inline double RocheSurface::getSynchronousCriticalPolarRadius()
128 { return synchronousCriticalPolarRadius; }
129 inline double RocheSurface::getFrontRadius()
130 { return frontRadius; }
131 inline double RocheSurface::getCriticalFrontRadius()
132 { return criticalFrontRadius; }
133 inline double RocheSurface::getSynchronousCriticalFrontRadius()
134 { return synchronousCriticalFrontRadius; }
135 inline double RocheSurface::getBackRadius()
136 { return backRadius; }
137 inline double RocheSurface::getSideRadius()
138 { return sideRadius; }
139 inline double RocheSurface::getMeanEggletonRadius()
140 { return meanEggletonRadius; }
141 inline double RocheSurface::getFillingFactor()
142 { return fillingFactor; }
143 inline double RocheSurface::getPotential()
144 { return potential; }
145 inline double RocheSurface::getCriticalPotential()
146 { return criticalPotential; }
147 inline double RocheSurface::getSynchronousCriticalPotential()
148 { return synchronousCriticalPotential; }
149 inline float RocheSurface::getOuterRadius() const
150 { return static_cast<float>(frontRadius); }
151 inline float RocheSurface::getInnerRadius() const
152 { return static_cast<float>(polarRadius); }
153
154 inline float RocheSurface::getRadius(float theta, float phi, double time)
155 {
156     double perturbation = 0.0;
157
158     if (star->getPerturbSurface())
159     {
160         size_t modeCount = star->getModeCount();
161         for (size_t i = 0; i < modeCount; ++i)
162             perturbation +=
163                 star->getMode(i)->GetDisplacementPerturbationAt(theta, phi,
164 time);
165     }
166
167     return static_cast<float>(calculateRadius(fastRF, theta, phi,
168 0.999 * polarRadius, 1.001 * frontRadius, potential) + perturbation);
169 } }

```

RocheSurface.cpp

```

1 #include "stdafx.h"
2 #include "RocheSurface.h"
3
4 namespace Infinity {
5 RocheSurface::RocheSurface(double massRatio, double separation, double
6 polarRadius, double asynchronicity, Star* star) :
7     Surface(star),
8     massRatio(massRatio),

```

```

9     separation(separation),
10    polarRadius(polarRadius),
11    asynchronicity(asynchronicity),
12    function(massRatio, separation, asynchronicity),
13    derivative(massRatio, separation, asynchronicity)
14  {
15    double epsilon = 1E-10;
16    unsigned short maxEval = 100;
17
18    safeRF = new BisectionRootFinder(epsilon, maxEval);
19    fastRF = new BrentRootFinder(epsilon, maxEval);
20
21    //Critical potential
22    derivative.theta = M_PI_2;
23    derivative.phi = 0.0;
24    criticalFrontRadius = safeRF->find(derivative, 0.01, 0.99 * separation);
25
26    criticalPotential = function(criticalFrontRadius, M_PI_2, 0.0);
27    criticalPolarRadius = calculateRadius(safeRF, 0.0, 0.0, 0.01, 1.01
28      * criticalFrontRadius, criticalPotential);
29
30    if (asynchronicity == 1.0)
31    {
32      synchronousCriticalFrontRadius = criticalFrontRadius;
33      synchronousCriticalPolarRadius = criticalPolarRadius;
34      synchronousCriticalPotential = criticalPotential;
35    }
36    else
37    {
38      RocheFunction syncFunction(massRatio, separation, 1.0);
39      RocheDerivative syncDerivative(massRatio, separation, 1.0);
40      syncDerivative.theta = M_PI_2;
41      syncDerivative.phi = 0.0;
42
43      synchronousCriticalFrontRadius = safeRF->find(syncDerivative, 0.01,
44        0.99 * separation);
45
46      synchronousCriticalPotential
47        = syncFunction(synchronousCriticalFrontRadius, M_PI_2, 0.0);
48      synchronousCriticalPolarRadius
49        = calculateRadius(safeRF, 0.0, 0.0, 0.01, 1.01
50        * synchronousCriticalFrontRadius, synchronousCriticalPotential);
51    }
52
53    //Filling factor and potential...
54    fillingFactor = polarRadius / criticalPolarRadius;
55    potential = function(polarRadius, 0.0, 0.0);
56
57    if (fillingFactor > 1.0)
58      throw std::exception("Overcontact mode not supported.");
59
60    //...and rest of the radii
61    frontRadius = calculateRadius(safeRF, M_PI_2, 0.0, 0.99
62      * polarRadius, 1.01 * criticalFrontRadius, potential);
63    sideRadius = calculateRadius(safeRF, M_PI_2, M_PI_2, 0.99
64      * polarRadius, 1.01 * frontRadius, potential);
65    backRadius = calculateRadius(safeRF, M_PI_2, M_PI, 0.99

```

```

66         * polarRadius, 1.01 * frontRadius, potential);
67
68     //Mean Eggleton radius
69     meanEggletonRadius = 0.49 * pow(massRatio, 2.0 / 3.0) /
70     (0.6 * pow(massRatio, 2.0 / 3.0) + log(1 + pow(massRatio, 1.0 /
71     3.0)));
72 }
73
74 RocheSurface::~RocheSurface(void)
75 { } }

```

SphericalSurface.h

```

1  #pragma once
2
3  #include "Surface.h"
4
5  namespace Infinity {
6  class SphericalSurface : public Surface
7  {
8  public:
9      SphericalSurface(Star* star);
10     ~SphericalSurface();
11
12     float getOuterRadius() const;
13     float getInnerRadius() const;
14     float getRadius(float theta, float phi, double time = 0);
15 private:
16     float radius;
17 };
18
19 inline float SphericalSurface::getOuterRadius() const
20 { return radius; }
21
22 inline float SphericalSurface::getInnerRadius() const
23 { return radius; }
24
25 inline float SphericalSurface::getRadius(float theta, float phi, double time)
26 {
27     double perturbation = 0.0;
28
29     if (star->getPerturbSurface())
30     {
31         size_t modeCount = star->getModeCount();
32         for (size_t i = 0; i < modeCount; ++i)
33             perturbation += star->getMode(i)->
34             GetDisplacementPerturbationAt(theta, phi, time);
35     }
36
37     return radius + static_cast<float>(perturbation);
38 } }

```

SphericalSurface.cpp

```

1  #include "stdafx.h"
2  #include "SphericalSurface.h"

```

```

3
4 namespace Infinity {
5 SphericalSurface::SphericalSurface(Star* star) :
6     Surface(star),
7     radius(static_cast<float>(star->getPolarRadius()))
8 { }
9
10 SphericalSurface::~SphericalSurface()
11 { } }

```

Spot.h

```

1 #pragma once
2
3 namespace Infinity {
4 class Spot
5 {
6 public:
7     Spot(double theta, double phi, double size, double temperautreRatio);
8     ~Spot();
9
10    double getTheta();
11    double getPhi();
12    double getSize();
13    double getTemperatureRatio();
14
15 private:
16    double theta, phi, size, temperatureRatio;
17 };
18
19 inline double Spot::getTheta() { return theta; }
20 inline double Spot::getPhi() { return phi; }
21 inline double Spot::getSize() { return size; }
22 inline double Spot::getTemperatureRatio() { return temperatureRatio; } }

```

Spot.cpp

```

1 #include "stdafx.h"
2 #include "Spot.h"
3
4 namespace Infinity {
5 Spot::Spot(double theta, double phi, double size, double temperatureRatio):
6     theta(theta),
7     phi(phi),
8     size(size),
9     temperatureRatio(temperatureRatio)
10 { }
11
12 Spot::~Spot() { } }

```

Spots.h

```

1 #pragma once
2
3 #include "StellarEffect.h"

```



```

4  #include <cmath>
5  #include "Calc.h"
6  #include "Mesh3.h"
7  #include "Binary.h"
8  #include "Spot.h"
9  #include <vector>
10
11 namespace Infinity {
12 class Spots : public StellarEffect
13 {
14 public:
15     Spots(Binary* binary, Star* star, Mesh3* mesh);
16     ~Spots();
17
18     void run(double time = 0);
19 }; }

```

Spots.cpp

```

1  #include "stdafx.h"
2  #include "Spots.h"
3
4  using namespace std;
5  using namespace DirectX::SimpleMath;
6
7  namespace Infinity {
8  Spots::Spots(Binary* binary, Star* star, Mesh3* mesh)
9      : StellarEffect(binary, star, mesh)
10 { }
11
12 Spots::~Spots(void)
13 { }
14
15 void Spots::run(double time)
16 {
17     size_t spotCount = star->getSpotCount();
18     size_t triangleCount = mesh->getTriangleCount();
19
20     for(size_t j = 0; j < spotCount; j++)
21     {
22         double spotTheta = star->getSpot(j)->getTheta();
23         double spotPhi = star->getSpot(j)->getPhi();
24         double spotSize = star->getSpot(j)->getSize();
25         double temperatureRatio = star->getSpot(j)->getTemperatureRatio();
26
27         for (size_t i = 0; i < triangleCount; i++)
28         {
29             double x = mesh->getCentroid(i)->x;
30             double y = mesh->getCentroid(i)->y;
31             double z = mesh->getCentroid(i)->z;
32
33             double phi = atan2(y, x);
34             phi = (phi >= 0) ? phi : phi + 2 * M_PI;
35             double theta = acos(z / sqrt(x*x + y*y + z*z));
36
37             double cosL = cos(theta) * cos(spotTheta) + sin(theta)

```

```

38         * sin(spotTheta) * cos(phi - spotPhi);
39
40     if (cos(spotSize) < cosL)
41         mesh->setTemperature(i, mesh->getTemperature(i)
42             * temperatureRatio);
43     }
44 }
45 } }

```

Star.h

```

1  #pragma once
2
3  #include "Mode.h"
4  #include "Spot.h"
5  #include "Palette.h"
6  #include <vector>
7
8  namespace Infinity {
9  class Star
10 {
11 public:
12     enum Shape { Roche, Sphere };
13
14     Star();
15     Star& operator= (const Star &source);
16     Star(const Star& source);
17     ~Star();
18
19     double getAsynchronicity() const;
20     double getPolarRadius() const;
21     double getTemperature() const;
22     double getGravityDarkeningExponent() const;
23     double getAlbedo() const;
24     size_t getSubdivisionLevel() const;
25     std::wstring getAtmosphereModel() const;
26     double getMetallicity() const;
27     double getMicroturbulence() const;
28     Shape getShape() const;
29     Palette* getPalette();
30     bool getPerturbSurface() const;
31
32     //Calculated stuff
33     double getMass() const;
34     double getEffectiveGravity() const;
35
36     void setMass(double value);
37     void setEffectiveGravity(double value);
38
39     size_t getSpotCount();
40     Spot* getSpot(size_t index);
41     void addSpot(double theta, double phi, double size, double
42 temperatureRatio);
43
44     static Star CreateRoche(double asynchronicity, double polarRadius,
45         double temperature, double gdExponent, double albedo,

```

```

46         size_t subdivisionLevel,          std::wstring atmosphereModel,
47         double metallicity, double microturbulence, bool perturbSurface,
48         std::wstring palette);
49     static Star CreateSphere(double asynchronicity, double polarRadius,
50         double temperature, double albedo, size_t subdivisionLevel,
51         std::wstring atmosphereModel, double metallicity,
52         double microturbulence, bool perturbSurface, std::wstring palette);
53
54 private:
55     Star(Shape shape, double asynchronicity, double polarRadius,
56         double temperature, double gdExponent, double albedo,
57         size_t subdivisionLevel,
58         std::wstring atmosphereModel, double metallicity, double
59     microturbulence,
60         bool perturbSurface, std::wstring palette);
61
62     std::vector<Mode> modes;
63     std::vector<Spot> spots;
64
65     Shape shape;
66
67     double asynchronicity, polarRadius, temperature, gdExponent,
68         albedo, metallicity, microturbulence;
69     size_t subdivisionLevel;
70     std::wstring atmosphereModel;
71     double mass, effectiveGravity, potential;
72
73     bool massCalculated, effectiveGravityCalculated;
74     bool perturbSurface;
75
76     Palette palette;
77 };
78
79 inline double Star::getAsynchronicity() const { return asynchronicity; }
80 inline double Star::getPolarRadius() const { return polarRadius; }
81 inline double Star::getTemperature() const { return temperature; }
82 inline double Star::getGravityDarkeningExponent() const { return gdExponent;
83 }
84 inline double Star::getAlbedo() const { return albedo; }
85 inline size_t Star::getSubdivisionLevel() const { return subdivisionLevel; }
86 inline std::wstring Star::getAtmosphereModel() const { return
87 atmosphereModel; }
88 inline double Star::getMetallicity() const { return metallicity; }
89 inline double Star::getMicroturbulence() const { return microturbulence; }
90 inline Star::Shape Star::getShape() const { return shape; }
91 inline Palette* Star::getPalette() { return &palette; }
92 inline bool Star::getPerturbSurface() const { return perturbSurface; }
93
94 inline double Star::getMass() const
95 {
96     if(massCalculated) return mass;
97     throw std::exception("Mass not determined yet");
98 }
99
100 inline void Star::setMass(double value)
101 {
102     mass = value;

```

```

103     massCalculated = true;
104 }
105
106 inline double Star::getEffectiveGravity() const
107 {
108     if(effectiveGravityCalculated) return effectiveGravity;
109     throw std::exception("Gravity not determined yet");
110 }
111
112 inline void Star::setEffectiveGravity(double value)
113 {
114     effectiveGravity = value;
115     effectiveGravityCalculated = true;
116 } }

```

Star.cpp

```

1  #include "stdafx.h"
2  #include "Star.h"
3
4  namespace Infinity
5  {
6  Star::Star() :
7      palette(L"red")
8  { }
9
10 Star::Star(Shape shape, double asynchronicity, double polarRadius,
11           double temperature, double gdExponent, double albedo,
12           size_t subdivisionLevel,
13           std::wstring atmosphereModel, double metallicity,
14           double microturbulence, bool perturbSurface,
15           std::wstring paletteFile) :
16     shape(shape),
17     asynchronicity(asynchronicity),
18     polarRadius(polarRadius),
19     temperature(temperature),
20     gdExponent(gdExponent),
21     albedo(albedo),
22     subdivisionLevel(subdivisionLevel),
23     atmosphereModel(atmosphereModel),
24     metallicity(metallicity),
25     microturbulence(microturbulence),
26     perturbSurface(perturbSurface),
27     palette(paletteFile)
28 {
29     massCalculated = false;
30     effectiveGravityCalculated = false;
31 }
32
33 Star::Star(const Star& source) :
34     palette(source.palette)
35 {
36     shape = source.shape;
37     asynchronicity = source.asynchronicity;
38     polarRadius = source.polarRadius;
39     temperature = source.temperature;

```

```

40     gdExponent = source.gdExponent;
41     albedo = source.albedo;
42     subdivisionLevel = source.subdivisionLevel;
43     atmosphereModel = source.atmosphereModel;
44     metallicity = source.metallicity;
45     microturbulence = source.microturbulence;
46
47     //Do we really use this?
48     potential = source.potential;
49
50     massCalculated = source.massCalculated;
51     if (massCalculated)
52         mass = source.mass;
53
54     effectiveGravityCalculated = source.effectiveGravityCalculated;
55     if (effectiveGravityCalculated)
56         effectiveGravity = source.effectiveGravity;
57
58     spots = source.spots;
59
60     perturbSurface = source.perturbSurface;
61 }
62
63 Star& Star::operator= (const Star &source)
64 {
65     shape = source.shape;
66     asynchronicity = source.asynchronicity;
67     polarRadius = source.polarRadius;
68     temperature = source.temperature;
69     gdExponent = source.gdExponent;
70     albedo = source.albedo;
71     subdivisionLevel = source.subdivisionLevel;
72     atmosphereModel = source.atmosphereModel;
73     metallicity = source.metallicity;
74     microturbulence = source.microturbulence;
75     palette = source.palette;
76
77     //Do we really use this?
78     potential = source.potential;
79
80     massCalculated = source.massCalculated;
81     if (massCalculated)
82         mass = source.mass;
83
84     effectiveGravityCalculated = source.effectiveGravityCalculated;
85     if (effectiveGravityCalculated)
86         effectiveGravity = source.effectiveGravity;
87
88     spots = source.spots;
89
90     perturbSurface = source.perturbSurface;
91
92     return *this;
93 }
94
95 Star::~~Star() { }
96

```

```

97 Star Star::CreateRoche(double asynchronicity, double polarRadius,
98     double temperature, double gdExponent, double albedo,
99     size_t subdivisionLevel, std::wstring atmosphereModel, double
100 metallicity,
101     double microturbulence, bool perturbSurface, std::wstring palette)
102 {
103     return Star(Shape::Roche, asynchronicity, polarRadius, temperature,
104         gdExponent, albedo, subdivisionLevel, atmosphereModel, metallicity,
105         microturbulence, perturbSurface, palette);
106 }
107
108 Star Star::CreateSphere(double asynchronicity, double polarRadius,
109     double temperature, double albedo, size_t subdivisionLevel,
110     std::wstring atmosphereModel, double metallicity, double microturbulence,
111     bool perturbSurface, std::wstring palette)
112 {
113     return Star(Shape::Sphere, asynchronicity, polarRadius, temperature, 0.0,
114         albedo, subdivisionLevel, atmosphereModel, metallicity,
115         microturbulence, perturbSurface, palette);
116 }
117
118 size_t Star::getSpotCount()
119 { return spots.size(); }
120
121 Spot* Star::getSpot(size_t index)
122 { return &spots[index]; }
123
124 void Star::addSpot(double theta, double phi, double size,
125     double temperatureRatio)
126 { spots.push_back(Spot(theta, phi, size, temperatureRatio)); }

```

StellarEffect.h

```

1  #pragma once
2
3  #include <cmath>
4  #include "Calc.h"
5  #include "Mesh3.h"
6  #include "Binary.h"
7
8  namespace Infinity {
9  class StellarEffect
10 {
11 public:
12     StellarEffect(Binary* binary, Star* star, Mesh3* mesh);
13     ~StellarEffect(void);
14
15     virtual void run(double time = 0) = 0;
16 protected:
17     Binary* binary;
18     Mesh3* mesh;
19     Star* star;
20 }; }

```

StellarEffect.cpp

```
1 #include "stdafx.h"
2 #include "StellarEffect.h"
3
4 namespace Infinity {
5 StellarEffect::StellarEffect(Binary* binary, Star* star, Mesh3* mesh)
6     : binary(binary), star(star), mesh(mesh)
7 { }
8
9 StellarEffect::~StellarEffect(void)
10 { } }
```

Surface.h

```
1 #pragma once
2
3 #include "Star.h"
4
5 namespace Infinity {
6 class Surface
7 {
8 public:
9     Surface(Star* star);
10    Surface(const Surface& source);
11
12    ~Surface();
13
14    Surface& operator=(const Surface& source);
15
16    virtual float getInnerRadius() const = 0;
17    virtual float getOuterRadius() const = 0;
18    virtual float getRadius(float theta, float phi, double time = 0) = 0;
19 protected:
20    Star* star;
21 }; }
```

Surface.cpp

```
1 #include "stdafx.h"
2 #include "Surface.h"
3
4 namespace Infinity {
5 Surface::Surface(Star* star) :
6     star(star)
7 { }
8
9 Surface::Surface(const Surface& source) :
10    star(source.star)
11 { }
12
13 Surface::~Surface()
14 { }
15
16 Surface& Surface::operator=(const Surface& source)
```

```

17 {
18     star = source.star;
19
20     return *this;
21 } }

```

VonZeipelGravityDarkening.h

```

1 #pragma once
2
3 #include "StellarEffect.h"
4
5 namespace Infinity {
6 class VonZeipelGravityDarkening : public StellarEffect
7 {
8 public:
9     VonZeipelGravityDarkening(Binary* binary, Star* star, Mesh3* mesh);
10    ~VonZeipelGravityDarkening();
11
12    void run(double time = 0);
13 }; }

```

VonZeipelGravityDarkening.cpp

```

1 #include "stdafx.h"
2 #include "VonZeipelGravityDarkening.h"
3
4 using namespace std;
5 using namespace DirectX::SimpleMath;
6
7 namespace Infinity {
8 VonZeipelGravityDarkening::VonZeipelGravityDarkening(Binary* binary,
9     Star* star, Mesh3* mesh) : StellarEffect(binary, star, mesh)
10 { }
11
12 VonZeipelGravityDarkening::~VonZeipelGravityDarkening(void)
13 { }
14
15 void VonZeipelGravityDarkening::run(double time)
16 {
17     if (star->getShape() == Star::Shape::Roche)
18     {
19         double temperature = star->getTemperature();
20         double effectiveGravity = star->getEffectiveGravity();
21         double gdExponent = star->getGravityDarkeningExponent();
22
23         size_t triangleCount = mesh->getTriangleCount();
24         for (size_t i = 0; i < triangleCount; i++)
25             mesh->setTemperature(i, temperature
26                 * pow(mesh->getGravityAcceleration(i) / effectiveGravity,
27                     gdExponent));
28     }
29 } }

```


Velocity.h

```
1 #pragma once
2
3 #include <cmath>
4 #include "Calc.h"
5 #include "StellarEffect.h"
6 #include "Mesh3.h"
7 #include "Binary.h"
8 #include "Orbit.h"
9
10 namespace Infinity {
11 class Velocity : public StellarEffect
12 {
13 public:
14     Velocity(Binary* binary, Star* star, Mesh3* mesh);
15     ~Velocity();
16
17     void run(double time = 0);
18 }; }
```

Velocity.cpp

```
1 #include "stdafx.h"
2 #include "Velocity.h"
3
4 using namespace std;
5 using namespace DirectX::SimpleMath;
6
7 namespace Infinity {
8 Velocity::Velocity(Binary* binary, Star* star, Mesh3* mesh)
9     : StellarEffect(binary, star, mesh)
10 { }
11
12 Velocity::~~Velocity(void)
13 { }
14
15 void Velocity::run(double time)
16 {
17     //Primary
18     size_t triangleCount = mesh->getTriangleCount();
19     for (size_t i = 0; i < triangleCount; i++)
20     {
21         //v = omega x r; omega(0, 0, w); r(x, y, z);
22         //if we expand the cross product
23         //v.x = -y * w;
24         //v.y = x * w;
25
26         float w = static_cast<float>(star->getAsynchronicity()) * TWO_PI_F
27             / static_cast<float>(binary->getPeriod() * 86400.0); //in 1/s
28
29         float x = mesh->getCentroid(i)->x * static_cast<float>
30             (binary->getSemimajorAxis() * 6.955E5); //in km;
31         float y = mesh->getCentroid(i)->y * static_cast<float>
32             (binary->getSemimajorAxis() * 6.955E5); //in km;
33     }
```

```

34         mesh->getVelocity(i)->x = y * w;
35         mesh->getVelocity(i)->y = -x * w;
36     }
37 } }

```

8.6. Model dvojnog sistema

Binary.h

```

1  #pragma once
2  #include "Calc.h"
3  #include "Star.h"
4  #include "Disc.h"
5  #include <string>
6  #include <exception>
7
8  namespace Infinity {
9  class Binary
10 {
11 public:
12     Binary();
13     Binary(double massRatio, double period, double semimajorAxis,
14           double inclination, double eccentricity, double argumentOfPeriastron,
15           double epoch, double systemVelocity);
16     Binary(const Binary& source);
17     ~Binary();
18
19     double getMassRatio();
20     double getPeriod();
21     double getSemimajorAxis();
22     double getInclination();
23     double getEpoch();
24     double getTotalMass();
25     double getEccentricity();
26     double getArgumentOfPeriastron();
27     double getSystemVelocity();
28
29     bool hasDisc();
30
31     Star* getPrimary();
32     Star* getSecondary();
33     Disc* getDisc();
34
35     void createPrimary(Star::Shape shape, double asynchronicity,
36                      double polarRadius, double temperature, double gdExponent,
37                      double albedo, size_t subdivisionLevel,
38                      std::wstring atmosphereModel, double metallicity,
39                      double microturbulence, bool perturbSurface, std::wstring palette);
40     void createSecondary(Star::Shape shape, double asynchronicity,
41                        double polarRadius, double temperature, double gdExponent,
42                        double albedo, size_t subdivisionLevel,
43                        std::wstring atmosphereModel, double metallicity,
44                        double microturbulence, bool perturbSurface, std::wstring palette);
45     void createDisc(Disc::Shape shape, CrossSection& cs, int segments,
46                    double innerRadius, double outerRadius, double innerTemperature,

```

```

47         double outerTemperature, double exponent, int distributionType,
48         std::wstring paletteFile);
49
50     private:
51         double massRatio, period, semimajorAxis, inclination, epoch,
52         eccentricity, argumentOfPeriastron, systemVelocity;
53         double totalMass;
54
55         bool hasDiskFlag;
56
57         Star primary;
58         Star secondary;
59         Disc disc;
60     };
61
62     inline double Binary::getMassRatio() { return massRatio; }
63     inline double Binary::getPeriod() { return period; }
64     inline double Binary::getSemimajorAxis() { return semimajorAxis; }
65     inline double Binary::getInclination() { return inclination; }
66     inline double Binary::getEpoch() { return epoch; }
67     inline double Binary::getTotalMass() { return totalMass; }
68     inline double Binary::getEccentricity() { return eccentricity; }
69     inline double Binary::getArgumentOfPeriastron()
70     { return argumentOfPeriastron; }
71     inline double Binary::getSystemVelocity() { return systemVelocity; }
72     inline bool Binary::hasDisc() {return hasDiskFlag; }
73
74     inline Star* Binary::getPrimary() { return &primary; }
75
76     inline void Binary::createPrimary(Star::Shape shape, double asynchronicity,
77     double polarRadius, double temperature, double gdExponent, double albedo,
78     size_t subdivisionLevel, std::wstring atmosphereModel,
79     double metallicity, double microturbulence, bool perturbSurface,
80     std::wstring palette)
81     {
82         switch (shape)
83         {
84             case Star::Shape::Roche:
85                 primary = Star::CreateRoche(asynchronicity, polarRadius, temperature,
86                 gdExponent, albedo, subdivisionLevel, atmosphereModel, metallicity,
87                 microturbulence, perturbSurface, palette);
88                 break;
89             case Star::Shape::Sphere:
90                 primary = Star::CreateSphere(asynchronicity, polarRadius, temperature,
91                 albedo, subdivisionLevel, atmosphereModel, metallicity,
92                 microturbulence, perturbSurface, palette);
93                 break;
94             default:
95                 break;
96         }
97         primary.setMass(totalMass / (1 + massRatio));
98     }
99
100     inline Star* Binary::getSecondary() { return &secondary; }
101
102     inline void Binary::createSecondary(Star::Shape shape, double asynchronicity,
103     double polarRadius, double temperature, double gdExponent, double albedo,

```

```

104     size_t subdivisionLevel, std::wstring atmosphereModel, double
105     metallicity,
106     double microturbulence, bool perturbSurface, std::wstring palette)
107 {
108     switch (shape)
109     {
110     case Star::Shape::Roche:
111         secondary = Star::CreateRoche(asynchronicity, polarRadius, temperature,
112             gdExponent, albedo, subdivisionLevel, atmosphereModel, metallicity,
113             microturbulence, perturbSurface, palette);
114         break;
115     case Star::Shape::Sphere:
116         secondary = Star::CreateSphere(asynchronicity, polarRadius, temperature,
117             albedo, subdivisionLevel, atmosphereModel, metallicity,
118             microturbulence, perturbSurface, palette);
119         break;
120     default:
121         break;
122     }
123
124     secondary.setMass(totalMass * massRatio / (1 + massRatio));
125 }
126
127 inline Disc* Binary::getDisc() { return &disc; }
128
129 inline void Binary::createDisc(Disc::Shape shape, CrossSection& cs,
130     int segments, double innerRadius, double outerRadius,
131     double innerTemperature, double outerTemperature, double exponent,
132     int distributionType, std::wstring paletteFile)
133 {
134     disc = Disc(shape, cs, segments, innerRadius, outerRadius,
135         innerTemperature, outerTemperature, exponent, distributionType,
136         paletteFile);
137     hasDiskFlag = true;
138 } }

```

Binary.cpp

```

1  #include "stdafx.h"
2  #include "Binary.h"
3
4  namespace Infinity {
5  Binary::Binary() { }
6
7  Binary::Binary(double massRatio, double period, double semimajorAxis,
8      double inclination, double eccentricity,
9      double argumentOfPeriastron, double epoch, double systemVelocity) :
10     massRatio(massRatio),
11     period(period),
12     semimajorAxis(semimajorAxis),
13     inclination(inclination),
14     eccentricity(eccentricity),
15     argumentOfPeriastron(argumentOfPeriastron),
16     epoch(epoch),
17     systemVelocity(systemVelocity),
18     hasDiskFlag(false)

```

```

19  {
20      double solarMass = 1.98892E33;
21      double solarRadius = 6.955E10;
22      double astronomicalUnit = 14959787070000;
23      double siderealYear = 365.256363051;
24
25      totalMass = solarMass
26          * pow3(semimajorAxis / (astronomicalUnit / solarRadius))
27          / pow2(period / siderealYear);
28  }
29
30  Binary::Binary(const Binary& source) :
31      massRatio(source.massRatio),
32      period(source.period),
33      semimajorAxis(source.semimajorAxis),
34      inclination(source.inclination),
35      eccentricity(source.eccentricity),
36      argumentOfPeriastron(source.argumentOfPeriastron),
37      epoch(source.epoch),
38      totalMass(source.totalMass),
39      primary(source.primary),
40      secondary(source.secondary),
41      disc(source.disc),
42      systemVelocity(source.systemVelocity),
43      hasDiskFlag(source.hasDiskFlag)
44  { }
45
46  Binary::~~Binary()
47  { } }

```

Model.h

```

1  #pragma once
2
3  #include <string>
4  #include <sstream>
5  #include <iostream>
6  #include <fstream>
7  #include <exception>
8  #include <locale>
9  #include <Shlwapi.h>
10 #include <iomanip>
11
12 #include <tchar.h>
13 #include "IniReader.h"
14 #include "Calc.h"
15 #include "Binary.h"
16 #include "Passband.h"
17 #include "Mesh3.h"
18 #include "RocheSurface.h"
19 #include "SphericalSurface.h"
20 #include "Orbit.h"
21 #include "CircularOrbit.h"
22 #include "EccentricOrbit.h"
23 #include "StellarEffect.h"
24 #include "SystemEffect.h"

```

```

25 #include "GravityAcceleration.h"
26 #include "VonZeipelGravityDarkening.h"
27 #include "Pulsation.h"
28 #include "Spots.h"
29 #include "DjurasevicReflection.h"
30 #include "KhruzinaReflection.h"
31 #include "NoReflection.h"
32 #include "VisibilityDetection.h"
33 #include "GridVisibility.h"
34 #include "Color.h"
35 #include "PlanckFlux.h"
36 #include "KuruczFlux.h"
37 #include "Palette.h"
38 #include "DiscEffect.h"
39 #include "DiscTemperature.h"
40 #include "DiscGravity.h"
41 #include "DiscSpots.h"
42 #include "Velocity.h"
43 #include "PaintersVisibility.h"
44
45 namespace Infinity {
46 class Model
47 {
48 public:
49     Model(Binary binary, std::vector<double> times,
50           std::vector<Passband> passbands, std::wstring prefix, double
51 phaseShift,
52           double magnitudeShift, int reflectionType, int fluxType, int mesh,
53           int meshType, int detailed, int xUnits, int yUnits, int yUnitsType,
54           int visibilityDetectionFlag, int triangleIntersectionFlag,
55           int adaptiveLevel);
56     Model(const Model& source);
57     ~Model(void);
58
59     Model& operator=(const Model& rhs);
60
61     void run();
62
63     static Model Read(LPCTSTR configFile);
64
65 private:
66     Binary binary;
67
68     std::vector<double> phases;
69
70     std::wstring prefix;
71     std::vector<Passband> passbands;
72
73     double phaseShift, magnitudeShift;
74     int reflectionTypeFlag, fluxTypeFlag;
75     int meshFlag, meshTypeFlag;
76     int detailedFlag;
77     int xUnitsFlag, yUnitsFlag, yUnitsTypeFlag;
78     int adaptiveLevelFlag;
79
80     int visibilityDetectionFlag, triangleIntersectionFlag;
81     void writePly(Mesh3& primary, Mesh3& secondary, Mesh3& disk,

```

```

82         std::wstring prefix);
83
84     Surface* getSurface(Star* star, double massRatio, double separation,
85         Mesh3& mesh);
86     Orbit* getOrbit(bool circular);
87     SystemEffect* getReflection(Mesh3* primary, Mesh3* secondary, Mesh3*
88     disc);
89     SystemEffect* getFlux(Mesh3* primary, Mesh3* secondary, Mesh3* disc);
90
91     void writeLC(std::vector<double>& fluxes);
92     void writeRV(std::vector<double>& rv, std::wstring suffix);
93     void writeOutput(Binary *binary, RocheSurface *primarySurface,
94         RocheSurface *secondarySurface, Mesh3 *primary, Mesh3 *secondary,
95         Mesh3* disc, std::wstring prefix);
96
97     void getMinMax(Mesh3& mesh, double& minTemp, double& maxTemp,
98         double& minLogG, double& maxLogG, double& minFlux, double& maxFlux,
99         double& minRV, double& maxRV);
100 };
101
102 inline Orbit* Model::getOrbit(bool circular)
103 {
104     if (circular)
105         return new CircularOrbit(&binary, phases);
106     else
107         return new EccentricOrbit(&binary, phases);
108 }
109
110 inline SystemEffect* Model::getReflection(Mesh3* primary, Mesh3* secondary,
111     Mesh3* disc)
112 {
113     SystemEffect* result;
114
115     switch (reflectionTypeFlag)
116     {
117     case NO_REFLECTION:
118         result = new NoReflection(&binary, primary, secondary, disc);
119         break;
120     case DJURASEVIC_REFLECTION:
121         result = new DjurasevicReflection(&binary, primary, secondary, disc);
122         break;
123     default:
124     case KHRUZINA_REFLECTION:
125         result = new KhruzinaReflection(&binary, primary, secondary, disc);
126         break;
127     }
128
129     return result;
130 }
131
132 inline SystemEffect* Model::getFlux(Mesh3* primary, Mesh3* secondary,
133     Mesh3* disc)
134 {
135     SystemEffect* result;
136
137     switch (fluxTypeFlag)
138     {

```

```

139     case KURUTZ_FLUX:
140         result = new KuruczFlux(&binary, primary, secondary, disc,
141 &passbands);
142         break;
143     default:
144     case PLANCK_FLUX:
145         result = new PlanckFlux(&binary, primary, secondary, disc,
146 &passbands);
147         break;
148     }
149     return result;
151 } }

```

Model.cpp

```

1  #include "stdafx.h"
2  #include "Model.h"
3
4  using namespace std;
5  using namespace DirectX::SimpleMath;
6
7  namespace Infinity {
8  Model::Model(Binary binary, vector<double> phases, vector<Passband>
9  passbands,
10         wstring prefix, double phaseShift, double magnitudeShift,
11         int reflectionType, int fluxType, int mesh, int meshType,
12         int detailed, int xUnits, int yUnits, int yUnitsType,
13         int visibilityDetectionFlag, int triangleIntersectionFlag,
14         int adaptiveLevel) :
15     binary(binary),
16     phases(phases),
17     passbands(passbands),
18     prefix(prefix),
19     phaseShift(phaseShift),
20     magnitudeShift(magnitudeShift),
21     reflectionTypeFlag(reflectionType),
22     fluxTypeFlag(fluxType),
23     meshFlag(mesh),
24     meshTypeFlag(meshType),
25     detailedFlag(detailed),
26     xUnitsFlag(xUnits),
27     yUnitsFlag(yUnits),
28     yUnitsTypeFlag(yUnitsType),
29     visibilityDetectionFlag(visibilityDetectionFlag),
30     triangleIntersectionFlag(triangleIntersectionFlag),
31     adaptiveLevelFlag(adaptiveLevel)
32 { }
33
34 Model::Model(const Model& source)
35 {
36     binary = source.binary;
37     phases = source.phases;
38     passbands = source.passbands;
39     prefix = source.prefix;
40     phaseShift = source.phaseShift;

```



```

41     magnitudeShift = source.magnitudeShift;
42     reflectionTypeFlag = source.reflectionTypeFlag;
43     fluxTypeFlag = source.fluxTypeFlag;
44     meshFlag = source.meshFlag;
45     meshTypeFlag = source.meshTypeFlag;
46     detailedFlag = source.detailedFlag;
47     xUnitsFlag = source.xUnitsFlag;
48     yUnitsFlag = source.yUnitsFlag;
49     yUnitsTypeFlag = source.yUnitsTypeFlag;
50     visibilityDetectionFlag = source.visibilityDetectionFlag;
51     triangleIntersectionFlag = source.triangleIntersectionFlag;
52     adaptiveLevelFlag = source.adaptiveLevelFlag;
53 }
54
55 Model& Model::operator=(const Model& source)
56 {
57     binary = source.binary;
58     phases = source.phases;
59     passbands = source.passbands;
60     prefix = source.prefix;
61     phaseShift = source.phaseShift;
62     magnitudeShift = source.magnitudeShift;
63     reflectionTypeFlag = source.reflectionTypeFlag;
64     fluxTypeFlag = source.fluxTypeFlag;
65     meshFlag = source.meshFlag;
66     meshTypeFlag = source.meshTypeFlag;
67     detailedFlag = source.detailedFlag;
68     xUnitsFlag = source.xUnitsFlag;
69     yUnitsFlag = source.yUnitsFlag;
70     yUnitsTypeFlag = source.yUnitsTypeFlag;
71     visibilityDetectionFlag = source.visibilityDetectionFlag;
72     triangleIntersectionFlag = source.triangleIntersectionFlag;
73     adaptiveLevelFlag = source.adaptiveLevelFlag;
74
75     return *this;
76 }
77
78 Model::~~Model(void)
79 { }
80
81 void Model::run()
82 {
83     //Determine if we can make some optimizations
84     bool circular = isEqual(binary.getEccentricity(), 0.0);
85     bool hasDisc = binary.hasDisc();
86     bool surfacePerturbations = (binary.getPrimary()->getPerturbSurface()
87     || binary.getSecondary()->getPerturbSurface());
88     bool hasPrimaryPulsations = (binary.getPrimary()->getModeCount() > 0);
89     bool hasSecondaryPulsations = (binary.getSecondary()->getModeCount() >
90 0);
91     bool hasPrimarySpots = (binary.getPrimary()->getSpotCount() > 0);
92     bool hasSecondarySpots = (binary.getSecondary()->getSpotCount() > 0);
93     bool hasDiscSpots = (binary.getDisc()->getSpotCount() > 0);
94
95     //Create components
96     Mesh3 initialPrimary = Mesh3::CreateIcosahedron();
97     initialPrimary.subdivide(binary.getPrimary()->getSubdivisionLevel());

```

```

98     Mesh3 initialSecondary = Mesh3::CreateIcosahedron();
99     initialSecondary.subdivide(binary.getSecondary()->getSubdivisionLevel());
100
101     Mesh3 initialDisc(0, 0);
102     if (hasDisc)
103         initialDisc = Mesh3::CreateLathe(*binary.getDisc()-
104 >getCrossSection(),
105         binary.getDisc()->getSegments());
106
107     //Add the reference phase for the output at the end
108     phases.push_back(0.25);
109
110     Orbit* orbit = getOrbit(circular);
111     size_t pointCount = phases.size();
112     size_t lcCount = passbands.size();
113
114     vector<double> fluxes(passbands.size() * pointCount, 0.0);
115     vector<double> primaryRV(pointCount, 0.0);
116     vector<double> secondaryRV(pointCount, 0.0);
117
118     streamsize defaultWidth = cout.width();
119
120     for (unsigned short i = 0; i < pointCount; ++i)
121     {
122         Mesh3 primary = initialPrimary;
123         Mesh3 secondary = initialSecondary;
124         Mesh3 disc = initialDisc;
125
126         double separation = orbit->getSeparation(i);
127
128         Surface* primarySurface = getSurface(binary.getPrimary(),
129         binary.getMassRatio(), separation, primary);
130         Surface* secondarySurface = getSurface(binary.getSecondary(),
131         1.0 / binary.getMassRatio(), separation, secondary);
132         primary.pushTo(primarySurface);
133         secondary.pushTo(secondarySurface);
134
135         primary.init(lcCount);
136         secondary.init(lcCount);
137         disc.init(lcCount);
138
139         //Gravity acceleration
140         StellarEffect* primaryGravityAcceleration =
141         new GravityAcceleration(&binary, binary.getPrimary(), &primary,
142         binary.getMassRatio());
143         StellarEffect* secondaryGravityAcceleration =
144         new GravityAcceleration(&binary, binary.getSecondary(),
145         &secondary,
146         1.0/ binary.getMassRatio());
147         primaryGravityAcceleration->run();
148         secondaryGravityAcceleration->run();
149
150         StellarEffect* primaryVelocity = new Velocity(&binary,
151         binary.getPrimary(), &primary);
152         StellarEffect* secondaryVelocity = new Velocity(&binary,
153         binary.getSecondary(), &secondary);
154         primaryVelocity->run();

```

```

155     secondaryVelocity->run();
156
157     //Gravity darkening
158     StellarEffect* primaryGravityDarkening =
159         new VonZeipelGravityDarkening(&binary, binary.getPrimary(),
160             &primary);
161     StellarEffect* secondaryGravityDarkening =
162         new VonZeipelGravityDarkening(&binary, binary.getSecondary(),
163             &secondary);
164     primaryGravityDarkening->run();
165     secondaryGravityDarkening->run();
166
167     //Disc temperature & gravity distribution
168     DiscEffect* discGravity = new DiscGravity(&binary, binary.getDisc(),
169         &disc);
170     discGravity->run();
171
172     DiscEffect* diskTemp = new DiscTemperature(&binary, binary.getDisc(),
173         &disc);
174     diskTemp->run();
175
176     //Spots
177     StellarEffect* primarySpots = new Spots(&binary, binary.getPrimary(),
178         &primary);
179     StellarEffect* secondarySpots = new Spots(&binary,
180     binary.getSecondary(),
181         &secondary);
182
183     if (hasPrimarySpots)
184         primarySpots->run();
185
186     if (hasSecondarySpots)
187         secondarySpots->run();
188
189     DiscEffect* discSpots = new DiscSpots(&binary, binary.getDisc(),
190     &disc);
191     if (hasDisc && hasDiscSpots)
192         discSpots->run();
193
194     //Reflection
195     SystemEffect* reflection = getReflection(&primary, &secondary,
196     &disc);
197     reflection->run();
198
199     //Position the components
200     primary.transform(orbit->getPrimaryWorldMatrix(i));
201     secondary.transform(orbit->getSecondaryWorldMatrix(i));
202     if (hasDisc)
203         disc.transform(orbit->getDiskWorldMatrix(i));
204
205     //Visibility detection
206     VisibilityDetection* visibility = new GridVisibility(&primary,
207         &secondary, &disc, adaptiveLevelFlag,
208         triangleIntersectionFlag, true);
209     visibility->run();
210
211     //Flux

```

```

212     SystemEffect* flux = getFlux(&primary, &secondary, &disc);
213     flux->run();
214
215     //Calculate the light curve
216     double totalArea = 0.0;
217     double primaryArea = 0.0;
218     double secondaryArea = 0.0;
219     double discArea = 0.0;
220
221     size_t primaryCount = primary.getTriangleCount();
222     size_t secondaryCount = secondary.getTriangleCount();
223     size_t discCount = disc.getTriangleCount();
224
225     for (size_t j = 0; j < primaryCount; ++j)
226     {
227         if (primary.getVisibility(j) > 0.0)
228         {
229             double area = primary.getProjectedArea(j);
230             double cosGamma = primary.getNormal(j)->x;
231             primaryArea += area;
232             for (size_t lc = 0; lc < lcCount; ++lc)
233                 fluxes[i * lcCount + lc] += primary.getFlux(lc, j) *
234 area;
235         }
236     }
237
238     for (size_t j = 0; j < secondaryCount; ++j)
239     {
240         if (secondary.getVisibility(j) > 0.0)
241         {
242             double area = secondary.getProjectedArea(j);
243             double cosGamma = secondary.getNormal(j)->x;
244
245             secondaryArea += area;
246             for (size_t lc = 0; lc < lcCount; ++lc)
247                 fluxes[i * lcCount + lc] += secondary.getFlux(lc, j) *
248 area;
249         }
250     }
251
252     if (hasDisc)
253     {
254         for (size_t j = 0; j < discCount; ++j)
255         {
256             if (disc.getVisibility(j) > 0.0)
257             {
258                 double area = disc.getProjectedArea(j);
259                 double cosGamma = disc.getNormal(j)->x;
260
261                 discArea += area;
262                 for (size_t lc = 0; lc < lcCount; ++lc)
263                     fluxes[i * lcCount + lc] += disc.getFlux(lc, j) *
264 area;
265             }
266         }
267     }
268     totalArea = primaryArea + secondaryArea + discArea;

```

```

269
270 //And the radial velocity curve;
271 Vector3 omega(0, 0, TWO_PI_F / static_cast<float>
272 (binary.getPeriod() * 86400.0));
273 float q = static_cast<float>(binary.getMassRatio());
274 float absSeparation = static_cast<float>
275 (orbit->getSeparation(i) * binary.getSemimajorAxis() * 6.955E5);
276
277 Vector3 primaryCOM( q/(1+q) * absSeparation, 0, 0);
278 Vector3 secondaryCOM( 1/(1+q) * absSeparation, 0, 0);
279
280 omega = Vector3::TransformNormal(omega,
281 orbit->getPrimaryWorldMatrix(i));
282 primaryCOM = Vector3::TransformNormal(primaryCOM,
283 orbit->getPrimaryWorldMatrix(i));
284 secondaryCOM = Vector3::TransformNormal(secondaryCOM,
285 orbit->getSecondaryWorldMatrix(i));
286
287 Vector3 primaryCOMVelocity = omega.Cross(primaryCOM);
288 Vector3 secondaryCOMVelocity = omega.Cross(secondaryCOM);
289 Vector3 primaryAverageVelocity(0, 0, 0);
290 Vector3 secondaryAverageVelocity(0, 0, 0);
291
292 if (primaryArea > 0)
293     for (size_t j = 0; j < primaryCount; ++j)
294     {
295         if (primary.getVisibility(j) > 0.0)
296         {
297             double area = primary.getProjectedArea(j);
298             primaryAverageVelocity += *primary.getVelocity(j)
299                 * static_cast<float>(area / primaryArea);
300         }
301     }
302
303 primaryRV[i] = binary.getSystemVelocity() + (primaryCOMVelocity
304     + primaryAverageVelocity).x;
305
306 if (secondaryArea > 0)
307     for (size_t j = 0; j < secondaryCount; ++j)
308     {
309         if (secondary.getVisibility(j) > 0.0)
310         {
311             double area = secondary.getProjectedArea(j);
312             secondaryAverageVelocity += *secondary.getVelocity(j)
313                 * static_cast<float>(area / secondaryArea);
314         }
315     }
316
317 secondaryRV[i] = binary.getSystemVelocity() + (secondaryCOMVelocity
318     + secondaryAverageVelocity).x;
319
320 // OUTPUTS
321 cout << "\r" << setw(3) << (int)(i * 100.0 / pointCount)
322     << setw(defaultWidth) << "% completed." << flush;
323
324 //Mesh
325 switch (meshFlag)

```

```

326     {
327     case OUTPUT_ONCE:
328         if (i == pointCount - 1)
329             writePly(primary, secondary, disc, prefix);
330         break;
331     case OUTPUT_ON_EACH_PHASE:
332         {
333             wstringstream ss;
334             ss << prefix << L"." << setfill(L'0') << setw(4) << i;
335             writePly(primary, secondary, disc, ss.str());
336         }
337         break;
338     default:
339     case NO_OUTPUT:
340         break;
341     }
342
343     switch (detailedFlag)
344     {
345     case OUTPUT_ONCE:
346         if (i == (pointCount - 1) && binary.getPrimary()->getShape() ==
347             Star::Shape::Roche && binary.getSecondary()->getShape() ==
348             Star::Shape::Roche)
349             writeOutput(&binary, (RocheSurface*)primarySurface,
350                 (RocheSurface*)secondarySurface, &primary, &secondary,
351                 &disc, prefix);
352         break;
353     case OUTPUT_ON_EACH_PHASE:
354         if (binary.getPrimary()->getShape() == Star::Shape::Roche
355             && binary.getSecondary()->getShape() == Star::Shape::Roche)
356         {
357             wstringstream ss;
358             ss << prefix << L"." << setfill(L'0') << setw(4) << i;
359             writeOutput(&binary, (RocheSurface*)primarySurface,
360                 (RocheSurface*)secondarySurface, &primary, &secondary,
361                 &disc, prefix);
362         }
363         break;
364     default:
365     case NO_OUTPUT:
366         break;
367     }
368
369     //Clean up
370     delete flux;
371     delete visibility;
372     delete reflection;
373     delete diskTemp;
374     delete discGravity;
375     delete primarySpots;
376     delete secondarySpots;
377     delete discSpots;
378     delete primaryPulsation;
379     delete secondaryPulsation;
380     delete primaryGravityDarkening;
381     delete secondaryGravityDarkening;
382     delete primaryVelocity;

```

```

383         delete secondaryVelocity;
384         delete primaryGravityAcceleration;
385         delete secondaryGravityAcceleration;
386         delete primarySurface;
387         delete secondarySurface;
388     }
389
390     cout << "\r" << setw(3) << 100 << setw(defaultWidth)
391         << "% completed.\n" << flush;
392
393     writeLC(fluxes);
394     writeRV(primaryRV, L".primaryRV");
395     writeRV(secondaryRV, L".secondaryRV");
396
397     delete orbit;
398 }
399
400 Model Model::Read(LPCTSTR configFile)
401 {
402     BOOL fileExists = PathFileExists(configFile);
403
404     if (fileExists == FALSE)
405         throw std::exception("Model file is missing. Unable to
406 continue.");
407
408     TCHAR prefix[MAX_PATH];
409     _tcscopy_s(prefix, configFile);
410     PathRemoveExtension(prefix);
411
412     double massRatio = IniReader::GetDoubleValue(L"Binary",
413         L"MassRatio", configFile);
414     double period = IniReader::GetDoubleValue(L"Binary",
415         L"Period", configFile);
416     double semimajorAxis = IniReader::GetDoubleValue(L"Binary",
417         L"SemimajorAxis", configFile);
418     double inclination = deg2rad(IniReader::GetDoubleValue(L"Binary",
419         L"Inclination", configFile));
420     double eccentricity = IniReader::GetDoubleValue(L"Binary",
421         L"Eccentricity", configFile);
422     double argumentOfPeriastron =
423     deg2rad(IniReader::GetDoubleValue(L"Binary",
424         L"ArgumentOfPeriastron", configFile));
425     double epoch = IniReader::GetDoubleValue(L"Binary", L"Epoch",
426     configFile);
427     double systemVelocity = IniReader::GetDoubleValue(L"Binary",
428         L"SystemVelocity", configFile);
429
430     Binary binary(massRatio, period, semimajorAxis, inclination,
431     eccentricity,
432     argumentOfPeriastron, epoch, systemVelocity);
433
434     wstring shapeString = IniReader::GetStringValue(L"Primary",
435         L"Shape", configFile);
436     double asynchronicity = IniReader::GetDoubleValue(L"Primary",
437         L"Asynchronicity", configFile);
438     double polarRadius = IniReader::GetDoubleValue(L"Primary",
439         L"PolarRadius", configFile);

```

```

440     double temperature = IniReader::GetDoubleValue(L"Primary",
441         L"EffectiveTemperature", configFile);
442     double gdExponent = IniReader::GetDoubleValue(L"Primary",
443         L"GravityDarkeningExponent", configFile);
444     double albedo = IniReader::GetDoubleValue(L"Primary",
445         L"Albedo", configFile);
446     size_t subdivisionLevel = IniReader::GetIntValue(L"Primary",
447         L"SubdivisionLevel", configFile);
448     wstring atmosphereModel = IniReader::GetStringValue(L"Primary",
449         L"AtmosphereModel", configFile).c_str();
450     double metallicity = IniReader::GetDoubleValue(L"Primary",
451         L"Metallicity", configFile);
452     double turbulence = IniReader::GetDoubleValue(L"Primary",
453         L"Microturbulence", configFile);
454     wstring palette = IniReader::GetStringValue(L"Primary",
455         L"Palette", configFile);
456
457     Star::Shape shape;
458
459     if (shapeString == L"Roche")
460         shape = Star::Shape::Roche;
461     if (shapeString == L"Sphere")
462         shape = Star::Shape::Sphere;
463
464     wstring perturbSurfaceStr = IniReader::GetStringValue(L"Primary",
465         L"PerturbSurface", configFile);
466     bool perturbSurface = false;
467     if (perturbSurfaceStr == L"Yes")
468         perturbSurface = true;
469
470     binary.createPrimary(shape, asynchronicity, polarRadius, temperature,
471         gdExponent, albedo, subdivisionLevel, atmosphereModel, metallicity,
472         turbulence, perturbSurface, palette);
473
474     int spotCount;
475     spotCount = IniReader::GetIntValue(L"Primary", L"SpotCount", configFile);
476     for(int i = 0; i < spotCount; i++)
477     {
478         wstring key = L"Spot" + std::to_wstring(i+1);
479         vector<double> spot = IniReader::GetDoubleVector(L"Primary",
480             key.c_str(), configFile);
481
482         bool activeSpot = spot[4] == 1 ? true : false;
483         if(activeSpot)
484             binary.getPrimary()->addSpot(deg2rad(spot[0]), deg2rad(spot[1]),
485                 deg2rad(spot[2]), spot[3]);
486     }
487
488     shapeString = IniReader::GetStringValue(L"Secondary",
489         L"Shape", configFile);
490     asynchronicity = IniReader::GetDoubleValue(L"Secondary",
491         L"Asynchronicity", configFile);
492     polarRadius = IniReader::GetDoubleValue(L"Secondary",
493         L"PolarRadius", configFile);
494     temperature = IniReader::GetDoubleValue(L"Secondary",
495         L"EffectiveTemperature", configFile);
496     gdExponent = IniReader::GetDoubleValue(L"Secondary",

```



```

497     L"GravityDarkeningExponent", configFile);
498     albedo = IniReader::GetDoubleValue(L"Secondary",
499     L"Albedo", configFile);
500     subdivisionLevel = IniReader::GetIntValue(L"Secondary",
501     L"SubdivisionLevel", configFile);
502     atmosphereModel = IniReader::GetStringValue(L"Secondary",
503     L"AtmosphereModel", configFile).c_str();
504     metallicity = IniReader::GetDoubleValue(L"Secondary",
505     L"Metallicity", configFile);
506     turbulence = IniReader::GetDoubleValue(L"Secondary",
507     L"Microturbulence", configFile);
508     palette = IniReader::GetStringValue(L"Secondary",
509     L"Palette", configFile);
510
511     if (shapeString == L"Roche")
512         shape = Star::Shape::Roche;
513     if (shapeString == L"Sphere")
514         shape = Star::Shape::Sphere;
515
516     perturbSurfaceStr = IniReader::GetStringValue(L"Secondary",
517     L"PerturbSurface", configFile);
518     perturbSurface = false;
519     if (perturbSurfaceStr == L"Yes")
520         perturbSurface = true;
521
522     binary.createSecondary(shape, asynchronicity, polarRadius, temperature,
523     gdExponent, albedo, subdivisionLevel, atmosphereModel, metallicity,
524     turbulence, perturbSurface, palette);
525
526     spotCount = IniReader::GetIntValue(L"Secondary", L"SpotCount",
527     configFile);
528     for(int i = 0; i < spotCount; i++)
529     {
530         wstring key = L"Spot" + std::to_wstring(i+1);
531         vector<double> spot = IniReader::GetDoubleVector(L"Secondary",
532         key.c_str(), configFile);
533
534         bool activeSpot = spot[4] == 1 ? true : false;
535         if(activeSpot)
536             binary.getSecondary()->addSpot(deg2rad(spot[0]),
537     deg2rad(spot[1]),
538             deg2rad(spot[2]), spot[3]);
539     }
540
541     //And now, the disc
542     shapeString = IniReader::GetStringValue(L"Disc", L"Shape", configFile);
543     if (shapeString == DISC_SHAPE_CONICAL_STR)
544     {
545         double innerRadius = IniReader::GetDoubleValue(L"Disc",
546         L"InnerRadius", configFile);
547         double outerRadius = IniReader::GetDoubleValue(L"Disc",
548         L"OuterRadius", configFile);
549         double innerThickness = IniReader::GetDoubleValue(L"Disc",
550         L"InnerThickness", configFile);
551         double outerThickness = IniReader::GetDoubleValue(L"Disc",
552         L"OuterThickness", configFile);
553         double innerTemp = IniReader::GetDoubleValue(L"Disc",

```

```

554         L"InnerTemperature", configFile);
555     double outerTemp = IniReader::GetDoubleValue(L"Disc",
556         L"OuterTemperature", configFile);
557     double exponent = IniReader::GetDoubleValue(L"Disc",
558         L"Exponent", configFile);
559     wstring distributionString = IniReader::GetStringValue(L"Disc",
560         L"Distribution", configFile);
561     int distribution = -1;
562     if (distributionString == DISC_TEMP_DIST_ALPHA_STR)
563         distribution = DISC_TEMP_DIST_ALPHA;
564     if (distributionString == DISC_TEMP_DIST_DJURASEVIC_STR)
565         distribution = DISC_TEMP_DIST_DJURASEVIC;
566     if (distributionString == DISC_TEMP_DIST_ZOLA_STR)
567         distribution = DISC_TEMP_DIST_ZOLA;
568
569     int radialSegments = IniReader::GetIntValue(L"Disc",
570         L"RadialSegments", configFile);
571     int polarSegments = IniReader::GetIntValue(L"Disc",
572         L"PolarSegments", configFile);
573     int innerSegments = IniReader::GetIntValue(L"Disc",
574         L"InnerSegments", configFile);
575     int outerSegments = IniReader::GetIntValue(L"Disc",
576         L"OuterSegments", configFile);
577
578     palette = IniReader::GetStringValue(L"Disc", L"Palette", configFile);
579
580     CrossSection cs = CrossSection::CreateConical(
581         static_cast<float>(innerRadius),
582         static_cast<float>(outerRadius),
583         static_cast<float>(innerThickness),
584         static_cast<float>(outerThickness),
585         radialSegments, innerSegments, outerSegments);
586     binary.createDisc(Disc::Shape::Conical, cs, polarSegments,
587 innerRadius,
588         outerRadius, innerTemp, outerTemp, exponent, distribution,
589 palette);
590     }
591
592     if (shapeString == DISC_SHAPE_TOROIDAL_STR)
593     {
594         double radius = IniReader::GetDoubleValue(L"Disc",
595             L"Radius", configFile);
596         double discSemiMajorAxis = IniReader::GetDoubleValue(L"Disc",
597             L"SemiMajorAxis", configFile);
598         double discSemiMinorAxis = IniReader::GetDoubleValue(L"Disc",
599             L"SemiMinorAxis", configFile);
600         double innerTemp = IniReader::GetDoubleValue(L"Disc",
601             L"InnerTemperature", configFile);
602         double outerTemp = IniReader::GetDoubleValue(L"Disc",
603             L"OuterTemperature", configFile);
604         double exponent = IniReader::GetDoubleValue(L"Disc",
605             L"OuterTemperature", configFile);
606         wstring distributionString = IniReader::GetStringValue(L"Disc",
607             L"Distribution", configFile);
608         int distribution = -1;
609         if (distributionString == DISC_TEMP_DIST_ALPHA_STR)
610             distribution = DISC_TEMP_DIST_ALPHA;

```

```

611     if (distributionString == DISC_TEMP_DIST_DJURASEVIC_STR)
612         distribution = DISC_TEMP_DIST_DJURASEVIC;
613     if (distributionString == DISC_TEMP_DIST_ZOLA_STR)
614         distribution = DISC_TEMP_DIST_ZOLA;
615
616     int radialSegments = IniReader::GetIntValue(L"Disc",
617         L"RadialSegments", configFile);
618     int polarSegments = IniReader::GetIntValue(L"Disc",
619         L"PolarSegments", configFile);
620     int innerSegments = IniReader::GetIntValue(L"Disc",
621         L"InnerSegments", configFile);
622     int outerSegments = IniReader::GetIntValue(L"Disc",
623         L"OuterSegments", configFile);
624
625     palette = IniReader::GetStringValue(L"Disc", L"Palette", configFile);
626
627     CrossSection cs =
628         CrossSection::CreateToroidal(static_cast<float>(radius),
629             static_cast<float>(discSemiMajorAxis),
630             static_cast<float>(discSemiMinorAxis),
631             radialSegments);
632     binary.createDisc(Disc::Shape::Toroidal, cs, polarSegments,
633         radius - discSemiMajorAxis, radius + discSemiMajorAxis,
634     innerTemp,
635         outerTemp, exponent, distribution, palette);
636     }
637
638     spotCount = IniReader::GetIntValue(L"Disc", L"SpotCount", configFile);
639     for(int i = 0; i < spotCount; i++)
640     {
641         wstring key = L"Spot" + std::to_wstring(i+1);
642         vector<double> spot = IniReader::GetDoubleVector(L"Disc",
643             key.c_str(), configFile);
644
645         bool activeSpot = spot[3] == 1 ? true : false;
646         if(activeSpot)
647             binary.getDisc()->addSpot(deg2rad(spot[0]),
648                 deg2rad(spot[1]), spot[2]);
649     }
650
651     double phaseShift = IniReader::GetDoubleValue(L"Model",
652         L"PhaseShift", configFile);
653     double magnitudeShift = IniReader::GetDoubleValue(L"Model",
654         L"MagnitudeShift", configFile);
655
656     vector<wstring> passbandIDs = IniReader::GetStringVector(L"Model",
657         L"Passbands", configFile);
658     vector<Passband> passbands;
659     for (auto it = passbandIDs.begin(); it != passbandIDs.end(); it++)
660         passbands.push_back(Passband::FromID(*it, &binary));
661
662     //Load phases
663     TCHAR phasesPath[MAX_PATH];
664
665     _tcscpy_s(phasesPath, configFile);
666     PathRemoveFileSpec(phasesPath);
667     PathAppend(phasesPath, IniReader::GetStringValue(L"Model",

```

```

668         L"Phases", configFile).c_str());
669
670     ifstream phasesFile(phasesPath);
671     vector<double> phases;
672
673     string row;
674     _locale_t locale = _create_locale(LC_NUMERIC, "english");
675
676     while( getline( phasesFile, row ) )
677     {
678         if(row == "" || row[0] == '#')
679             continue;
680
681         vector<string> tokens = split(const_cast<char*> (row.c_str()), "
682 \t");
683         double value = _atof_l(tokens[0].c_str(), locale);
684         phases.push_back(value);
685     }
686
687     wstring reflectionStr = IniReader::GetStringValue(L"Model",
688 L"Reflection", configFile);
689     int reflectionType;
690     if(reflectionStr == KHRUZINA_REFLECTION_STR)
691         reflectionType = KHRUZINA_REFLECTION;
692     else if(reflectionStr == DJURASEVIC_REFLECTION_STR)
693         reflectionType = DJURASEVIC_REFLECTION;
694     else
695         reflectionType= NO_REFLECTION;
696
697     wstring fluxStr = IniReader::GetStringValue(L"Model", L"Flux",
698 configFile);
699     int fluxType;
700     if(fluxStr == PLANCK_FLUX_STR)
701         fluxType = PLANCK_FLUX;
702     else
703         fluxType= KURUTZ_FLUX;
704
705     wstring meshStr = IniReader::GetStringValue(L"Output", L"Mesh",
706 configFile);
707     int mesh;
708     if(meshStr == OUTPUT_ON_EACH_PHASE_STR)
709         mesh = OUTPUT_ON_EACH_PHASE;
710     else if(meshStr == OUTPUT_ONCE_STR)
711         mesh = OUTPUT_ONCE;
712     else
713         mesh = NO_OUTPUT;
714
715     wstring meshTypeStr = IniReader::GetStringValue(L"Output",
716 L"MeshType", configFile);
717     int meshType;
718     if(meshTypeStr == MESH_3D_STR)
719         meshType = MESH_3D;
720     else if (meshTypeStr == MESH_2D_STR)
721         meshType = MESH_2D;
722     else
723         meshType = MESH_HIDDEN;
724

```

```

725     wstring detailedStr = IniReader::GetStringValue(L"Output",
726         L"Detailed", configFile);
727
728     int detailed;
729     if(detailedStr == OUTPUT_ON_EACH_PHASE_STR)
730         detailed = OUTPUT_ON_EACH_PHASE;
731     else if(detailedStr == OUTPUT_ONCE_STR)
732         detailed = OUTPUT_ONCE;
733     else
734         detailed = NO_OUTPUT;
735
736     wstring xUnitsStr = IniReader::GetStringValue(L"Output",
737         L"XUnits", configFile);
738     int xUnits;
739     if(xUnitsStr == XUNITS_PHASE_STR)
740         xUnits = XUNITS_PHASE;
741     else
742         xUnits = XUNITS_TIME;
743
744     wstring yUnitsStr = IniReader::GetStringValue(L"Output",
745         L"YUnits", configFile);
746     int yUnits;
747     if(yUnitsStr == YUNITS_FLUX_STR)
748         yUnits = YUNITS_FLUX;
749     else
750         yUnits = YUNITS_MAGNITUDE;
751
752     wstring yUnitsTypeStr = IniReader::GetStringValue(L"Output",
753         L"YUnitsType", configFile);
754     int yUnitsType;
755     if(yUnitsTypeStr == YUNITS_ABSOLUTE_STR)
756         yUnitsType = YUNITS_ABSOLUTE;
757     else
758         yUnitsType = YUNITS_NORMALIZED;
759
760     wstring visibilityDetectionStr =
761     IniReader::GetStringValue(L"VisibilityDetection", L"Type",
762     configFile);
763     int visibilityDetection;
764     if (visibilityDetectionStr == GRID_VISIBILITY_STR)
765         visibilityDetection = GRID_VISIBILITY;
766     else visibilityDetection = CONVEX_HULL_VISIBILITY;
767
768     wstring triangleStr =
769     IniReader::GetStringValue(L"VisibilityDetection",
770     L"TriangleIntersections", configFile);
771     int triangle;
772     if (triangleStr == TRIANGLE_FULL_STR)
773         triangle = TRIANGLE_FULL;
774     else triangle = TRIANGLE_POINT;
775
776     int adaptiveLevel = IniReader::GetIntValue(L"VisibilityDetection",
777     L"AdaptiveLevel", configFile);
778
779     return Model(binary, phases, passbands, prefix, phaseShift,
780     magnitudeShift,

```

```

782         reflectionType, fluxType, mesh, meshType, detailed, xUnits, yUnits,
783         yUnitsType, visibilityDetection, triangle, adaptiveLevel);
784     }
785
786     void Model::writePly(Mesh3& primary, Mesh3& secondary,
787         Mesh3& disc, std::wstring prefix)
788     {
789         ////determine temperature min/max values
790         double minTempPrimary, maxTempPrimary, minLogGPrimary, maxLogGPrimary,
791             minFluxPrimary, maxFluxPrimary, minRVPrimary, maxRVPrimary;
792         double minTempSecondary, maxTempSecondary, minLogGSecondary,
793             maxLogGSecondary, minFluxSecondary, maxFluxSecondary, minRVSecondary,
794             maxRVSecondary;
795         double minTempDisc, maxTempDisc, minLogGDisc, maxLogGDisc, minFluxDisc,
796             maxFluxDisc, minRVDisc, maxRVDisc;
797
798         getMinMax(primary, minTempPrimary, maxTempPrimary, minLogGPrimary,
799             maxLogGPrimary, minFluxPrimary, maxFluxPrimary, minRVPrimary,
800             maxRVPrimary);
801         getMinMax(secondary, minTempSecondary, maxTempSecondary,
802             minLogGSecondary,
803             maxLogGSecondary, minFluxSecondary, maxFluxSecondary, minRVSecondary,
804             maxRVSecondary);
805         getMinMax(disc, minTempDisc, maxTempDisc, minLogGDisc, maxLogGDisc,
806             minFluxDisc, maxFluxDisc, minRVDisc, maxRVDisc);
807
808         ofstream file(prefix + L".ply");
809
810         file << "ply" << endl;
811         file << "format ascii 1.0" << endl;
812
813         size_t primaryVertexCount = primary.getVertexCount();
814         size_t secondaryVertexCount = secondary.getVertexCount();
815         size_t discVertexCount = disc.getVertexCount();
816         size_t primaryTriangleCount = primary.getTriangleCount();
817         size_t secondaryTriangleCount = secondary.getTriangleCount();
818         size_t discTriangleCount = disc.getTriangleCount();
819
820
821         file << "element vertex " << primaryVertexCount + secondaryVertexCount
822             + discVertexCount << endl;
823         file << "property float x" << endl;
824         file << "property float y" << endl;
825         file << "property float z" << endl;
826
827
828         file << "element face " << primaryTriangleCount + secondaryTriangleCount
829             + discTriangleCount << endl;
830         file << "property list uchar int vertex_index" << endl;
831         file << "property uchar red" << endl;
832         file << "property uchar green" << endl;
833         file << "property uchar blue" << endl;
834         file << "end_header" <<endl;
835
836         for (size_t i = 0; i < primaryVertexCount; i++)
837             file << primary.getVertex(i)->x << " " << primary.getVertex(i)->y
838                 << " " << primary.getVertex(i)->z << endl;

```

```

839
840     for (size_t i = 0; i < secondaryVertexCount; i++)
841         file << secondary.getVertex(i)->x << " " << secondary.getVertex(i)->y
842         << " " << secondary.getVertex(i)->z << endl;
843
844     for (size_t i = 0; i < discVertexCount; i++)
845         file << disc.getVertex(i)->x << " " << disc.getVertex(i)->y << " "
846         << disc.getVertex(i)->z << endl;
847
848     Palette* palette = binary.getPrimary()->getPalette();
849
850     for (size_t i = 0; i < primaryTriangleCount; i++)
851     {
852         double temperature = primary.getTemperature(i);
853
854         Color color = palette->getColor(temperature, minTempPrimary,
855             maxTempPrimary);
856
857         if (meshTypeFlag == MESH_HIDDEN && !primary.getVisibility(i))
858             color = Color(51, 0, 102);
859
860         file << "3 " << primary.getIndex(3*i) << " "
861             << primary.getIndex(3*i+1) << " "
862             << primary.getIndex(3*i+2) << " "
863             << color.r << " "
864             << color.g << " "
865             << color.b << " "
866             << endl;
867     }
868
869     palette = binary.getSecondary()->getPalette();
870     for (size_t i = 0; i < secondaryTriangleCount; i++)
871     {
872         double temperature = secondary.getTemperature(i);
873         Color color = palette->getColor(temperature, minTempSecondary,
874             maxTempSecondary);
875
876         if (meshTypeFlag == MESH_HIDDEN && !secondary.getVisibility(i))
877             color = Color(51, 0, 102);
878
879         file << "3 " << secondary.getIndex(3*i) + primaryVertexCount << " "
880             << secondary.getIndex(3*i+1) + primaryVertexCount <<
881         " "
882             << secondary.getIndex(3*i+2) + primaryVertexCount <<
883         " "
884             << color.r << " "
885             << color.g << " "
886             << color.b << " "
887             << endl;
888     }
889
890     palette = binary.getDisc()->getPalette();
891     for (size_t i = 0; i < discTriangleCount; i++)
892     {
893         double temperature = disc.getTemperature(i);
894         Color color = palette->getColor(temperature, minTempDisc,
895     maxTempDisc);

```

```

896
897     if (meshTypeFlag == MESH_HIDDEN && !disc.getVisibility(i))
898         color = Color(51, 0, 102);
899
900     file << "3 "
901         << disc.getIndex(3*i) + primaryVertexCount + secondaryVertexCount
902         << " "
903         << disc.getIndex(3*i+1) + primaryVertexCount +
904 secondaryVertexCount
905         << " "
906         << disc.getIndex(3*i+2) + primaryVertexCount +
907 secondaryVertexCount
908         << " "
909         << color.r << " "
910         << color.g << " "
911         << color.b << " "
912         << endl;
913     }
914 }
915
916 void Model::getMinMax(Mesh3& mesh, double& minTemp, double& maxTemp, double&
917 minGravity, double& maxGravity, double& minFlux, double& maxFlux, double&
918 minRV, double& maxRV)
919 {
920     minTemp = 1000000000; maxTemp = 0;
921     minGravity = 1000000000; maxGravity = 0;
922     minFlux = 1000000000; maxFlux = 0;
923     minRV = 1000000000; maxRV = 0;
924
925     size_t triangleCount = mesh.getTriangleCount();
926     for (size_t i = 0; i < triangleCount; i++)
927     {
928         double temperature = mesh.getTemperature(i);
929         if(temperature < minTemp) minTemp = temperature;
930         if(temperature > maxTemp) maxTemp = temperature;
931
932         double g = mesh.getGravityAcceleration(i);
933         if(g < minGravity) minGravity = g;
934         if(g > maxGravity) maxGravity = g;
935
936         //Flux
937         double flux = mesh.getFlux(0, i);
938         if(flux < minFlux) minFlux = flux;
939         if(flux > maxFlux) maxFlux = flux;
940     }
941 }
942
943 void Model::writeLC(std::vector<double>& fluxes)
944 {
945     size_t pointCount = phases.size() - 1;
946     size_t lcCount = passbands.size();
947
948     for (size_t lc = 0; lc < lcCount; lc++)
949     {
950         ofstream file(prefix + L"." + passbands[lc].getID() + L".lc");
951
952         for (size_t i = 0; i < pointCount; ++i)

```



```

953     {
954         double x, y;
955
956         switch (xUnitsFlag)
957         {
958             case XUNITS_TIME:
959                 x = phases[i] + phaseShift;
960                 if(x > 1.0) x -= 1.0;
961                 x = x * binary.getPeriod() + binary.getEpoch();
962                 break;
963             default:
964             case XUNITS_PHASE:
965                 x = phases[i] + phaseShift;
966                 if(x > 1.0) x -= 1.0;
967                 break;
968         }
969
970         switch (yUnitsFlag)
971         {
972             case YUNITS_FLUX:
973                 if(yUnitsTypeFlag == YUNITS_NORMALIZED)
974                     y = fluxes[i * lcCount + lc]
975                     / fluxes[pointCount * lcCount + lc];
976                 else
977                     y = fluxes[i * lcCount + lc];
978                 break;
979             default:
980             case YUNITS_MAGNITUDE:
981                 if(yUnitsTypeFlag == YUNITS_NORMALIZED)
982                     y = -2.5 * log10(fluxes[i * lcCount + lc]
983                     / fluxes[pointCount * lcCount + lc]);
984                 else
985                 {
986                     y = -2.5 * log10(fluxes[i * lcCount + lc]);
987                     y += magnitudeShift;
988                 }
989                 break;
990         }
991
992         file << setiosflags( ios::fixed ) << setprecision(10)
993             << x << " " << y << endl;
994     }
995     file.close();
996 }
997 }
998
999 Surface* Model::getSurface(Star* star, double massRatio, double separation,
1000 Mesh3& mesh)
1001 {
1002     Surface* result;
1003
1004     switch (star->getShape())
1005     {
1006     default:
1007     case Star::Roche:
1008         if (isEqual(binary.getEccentricity(), 0.0))
1009             {

```

```

1010         result = new RocheSurface(massRatio, 1.0, star->getPolarRadius(),
1011             star->getAsynchronicity(), star);
1012     }
1013     else
1014     {
1015         Mesh3 meshCopy = mesh;
1016         RocheSurface periastron(massRatio, (1.0 -
1017             binary.getEccentricity()),
1018             star->getPolarRadius(), star->getAsynchronicity(), star);
1019         meshCopy.pushTo(&periastron);
1020         meshCopy.init();
1021         double periastronVolume = meshCopy.getVolume();
1022
1023         double radius = star->getPolarRadius();
1024         double corr = 0.0;
1025         double delR = 0.0001;
1026
1027         do
1028         {
1029             radius += corr;
1030             RocheSurface current(massRatio, separation, radius,
1031                 star->getAsynchronicity(), star);
1032             meshCopy.pushTo(&current);
1033             meshCopy.init();
1034             double currVolume = meshCopy.getVolume();
1035             RocheSurface currentPlus(massRatio,
1036                 separation, radius + delR,
1037                 star->getAsynchronicity(), star);
1038             meshCopy.pushTo(&currentPlus);
1039             meshCopy.init();
1040             double currPlusVolume = meshCopy.getVolume();
1041
1042             corr = (periastronVolume - currVolume)
1043                 / (currPlusVolume - currVolume) * delR;
1044         }
1045         while (abs(corr) > 1E-8);
1046
1047         result = new RocheSurface(massRatio, separation, radius,
1048             star->getAsynchronicity(), star);
1049     }
1050     break;
1051     case Star::Sphere:
1052         result = new SphericalSurface(star);
1053         break;
1054 }
1055
1056 return result;
1057 }
1058
1059 void Model::writeOutput(Binary *binary, RocheSurface *primarySurface,
1060     RocheSurface *secondarySurface, Mesh3 *primary, Mesh3 *secondary,
1061     Mesh3* disc, std::wstring prefix)
1062 {
1063     ofstream results(prefix + L".out");
1064
1065     results << "Mass ratio:          "
1066         << binary->getMassRatio() << endl;

```

```

1067 results << "Period: "
1068     << binary->getPeriod() << endl;
1069 results << "Semimajor axis: "
1070     << binary->getSemimajorAxis() << endl;
1071 results << "Inclination: "
1072     << binary->getInclination() << endl;
1073 results << "Epoch: "
1074     << binary->getEpoch() << endl;
1075 results << "Total mass: "
1076     << binary->getTotalMass() << endl << endl;
1077
1078 size_t minT1 = 0, maxT1 = 0, minG1 = 0, maxG1 = 0, minA1 = 0, maxA1 = 0;
1079 double avgT1 = 0.0, L1 = 0.0;
1080
1081 for (size_t i = 0; i < primary->getTriangleCount(); i++)
1082 {
1083     avgT1 += primary->getTemperature(i) * primary->getArea(i);
1084     L1 += primary->getArea(i) * pow4(primary->getTemperature(i));
1085
1086     if(primary->getTemperature(i) <
1087         primary->getTemperature(minT1)) minT1 = i;
1088     if(primary->getTemperature(i) >
1089         primary->getTemperature(maxT1)) maxT1 = i;
1090
1091     if(primary->getGravityAcceleration(i) <
1092         primary->getGravityAcceleration(minG1)) minG1 = i;
1093     if(primary->getGravityAcceleration(i) >
1094         primary->getGravityAcceleration(maxG1)) maxG1 = i;
1095
1096     if(primary->getArea(i) < primary->getArea(minA1)) minA1 = i;
1097     if(primary->getArea(i) > primary->getArea(maxA1)) maxA1 = i;
1098 }
1099 avgT1 /= primary->getMeshArea();
1100
1101 results << "Primary asynchronicity: "
1102     << binary->getPrimary()->getAsynchronicity() << endl;
1103 results << "Primary polar radius: "
1104     << binary->getPrimary()->getPolarRadius() << endl;
1105 results << "Primary critical polar radius: "
1106     << primarySurface->getCriticalPolarRadius() << endl;
1107 results << "Primary synchronous critical polar radius: "
1108     << primarySurface->getSynchronousCriticalPolarRadius() << endl;
1109 results << "Primary front radius: "
1110     << primarySurface->getFrontRadius() << endl;
1111 results << "Primary critical front radius: "
1112     << primarySurface->getCriticalFrontRadius() << endl;
1113 results << "Primary synchronous critical front radius: "
1114     << primarySurface->getSynchronousCriticalFrontRadius() << endl;
1115 results << "Primary back radius: "
1116     << primarySurface->getBackRadius() << endl;
1117 results << "Primary side radius: "
1118     << primarySurface->getSideRadius() << endl;
1119 results << "Primary mean Eggleton radius: "
1120     << primarySurface->getMeanEggletonRadius() << endl;
1121 results << "Primary Rp/Rf: "
1122     << binary->getPrimary()->getPolarRadius()
1123     / primarySurface->getFrontRadius() << endl;

```

```

1124 results << "Primary filling factor:           "
1125     << primarySurface->getFillingFactor() << endl;
1126 results << "Primary potential:               "
1127     << primarySurface->getPotential() << endl;
1128 results << "Primary critical potential:       "
1129     << primarySurface->getCriticalPotential() << endl;
1130 results << "Primary synchronous critical potential: "
1131     << primarySurface->getSynchronousCriticalPotential() << endl;
1132 results << "Primary effective temperature:    "
1133     << binary->getPrimary()->getTemperature() << endl;
1134 results << "Primary lowest temperature:       "
1135     << primary->getTemperature(minT1) << endl;
1136 results << "Primary highest temperature:     "
1137     << primary->getTemperature(maxT1) << endl;
1138 results << "Primary temperature range:        "
1139     << primary->getTemperature(maxT1)
1140     - primary->getTemperature(minT1) << endl;
1141 results << "Primary average temperature:      "
1142     << avgT1 << endl;
1143 results << "Primary luminosity:               "
1144     << 5.6704e-8 * pow2(6.955e8 * binary->getSemimajorAxis()) * L1
1145     / 3.839e26 << endl;
1146 results << "Primary temperature from luminosity: "
1147     << root4(L1 / primary->getMeshArea()) << endl;
1148 results << "Primary gravity darkening exponent: "
1149     << binary->getPrimary()->getGravityDarkeningExponent() << endl;
1150 results << "Primary albedo:                   "
1151     << binary->getPrimary()->getAlbedo() << endl;
1152 results << "Primary mass:                     "
1153     << binary->getPrimary()->getMass() << endl;
1154 results << "Primary effective gravity:         "
1155     << log10(binary->getPrimary()->getEffectiveGravity()) << endl;
1156 results << "Primary lowest gravity:           "
1157     << log10(primary->getGravityAcceleration(minG1)) << endl;
1158 results << "Primary highest gravity:          "
1159     << log10(primary->getGravityAcceleration(maxG1)) << endl;
1160 results << "Primary gravity range:             "
1161     << log10(primary->getGravityAcceleration(maxG1))
1162     - log10(primary->getGravityAcceleration(minG1)) << endl;
1163 results << "Primary volume:                   "
1164     << primary->getVolume() << endl;
1165 results << "Primary effective radius:           "
1166     << pow(3.0 * primary->getVolume() / 4.0 / M_PI, 1.0/3.0) << endl;
1167 results << "Primary area:                       "
1168     << primary->getMeshArea() << endl;
1169 results << "Primary smallest area:                 "
1170     << primary->getArea(minA1) << endl;
1171 results << "Primary largest area:                 "
1172     << primary->getArea(maxA1) << endl;
1173 results << "Primary area range:                   "
1174     << primary->getArea(maxA1) - primary->getArea(minA1) << endl;
1175 results << "Primary sphericity:                   "
1176     << pow(4.0 * M_PI, 1.0/3.0) * pow(3.0 * primary->getVolume(),
1177     2.0/3.0)
1178     / primary->getMeshArea() << endl << endl;
1179
1180 size_t minT2 = 0, maxT2 = 0, minG2 = 0, maxG2 = 0, minA2 = 0, maxA2 = 0;

```

```

1181 double avgT2 = 0.0, L2 = 0.0;
1182 for (size_t i = 0; i < secondary->getTriangleCount(); i++)
1183 {
1184     avgT2 += secondary->getTemperature(i) * secondary->getArea(i);
1185     L2 += secondary->getArea(i) * pow4(secondary->getTemperature(i));
1186
1187     if(secondary->getTemperature(i) <
1188         secondary->getTemperature(minT2)) minT2 = i;
1189     if(secondary->getTemperature(i) >
1190         secondary->getTemperature(maxT2)) maxT2 = i;
1191
1192     if(secondary->getGravityAcceleration(i) <
1193         secondary->getGravityAcceleration(minG2)) minG2 = i;
1194     if(secondary->getGravityAcceleration(i) >
1195         secondary->getGravityAcceleration(maxG2)) maxG2 = i;
1196
1197     if(secondary->getArea(i) < secondary->getArea(minA2)) minA2 = i;
1198     if(secondary->getArea(i) > secondary->getArea(maxA2)) maxA2 = i;
1199 }
1200 avgT2 /= secondary->getMeshArea();
1201
1202 results << "Secondary asynchronicity:          "
1203     << binary->getSecondary()->getAsynchronicity() << endl;
1204 results << "Secondary polar radius:          "
1205     << binary->getSecondary()->getPolarRadius() << endl;
1206 results << "Secondary critical polar radius:    "
1207     << secondarySurface->getCriticalPolarRadius() << endl;
1208 results << "Secondary synchronous critical polar radius: "
1209     << secondarySurface->getSynchronousCriticalPolarRadius() << endl;
1210 results << "Secondary front radius:              "
1211     << secondarySurface->getFrontRadius() << endl;
1212 results << "Secondary critical front radius:        "
1213     << secondarySurface->getCriticalFrontRadius() << endl;
1214 results << "Secondary synchronous critical front radius: "
1215     << secondarySurface->getSynchronousCriticalFrontRadius() << endl;
1216 results << "Secondary back radius:                "
1217     << secondarySurface->getBackRadius() << endl;
1218 results << "Secondary side radius:                  "
1219     << secondarySurface->getSideRadius() << endl;
1220 results << "Secondary mean Eggleton radius:          "
1221     << secondarySurface->getMeanEggletonRadius() << endl;
1222 results << "Secondary Rp/Rf:                      "
1223     << binary->getSecondary()->getPolarRadius()
1224     / secondarySurface->getFrontRadius() << endl;
1225 results << "Secondary filling factor:              "
1226     << secondarySurface->getFillingFactor() << endl;
1227 results << "Secondary potential:                    "
1228     << secondarySurface->getPotential() << endl;
1229 results << "Secondary critical potential:          "
1230     << secondarySurface->getCriticalPotential() << endl;
1231 results << "Secondary synchronous critical potential: "
1232     << secondarySurface->getSynchronousCriticalPotential() << endl;
1233 results << "Secondary effective temperature:        "
1234     << binary->getSecondary()->getTemperature() << endl;
1235 results << "Secondary lowest temperature:          "
1236     << secondary->getTemperature(minT2) << endl;
1237 results << "Secondary highest temperature:         "

```

```

1238     << secondary->getTemperature(maxT2) << endl;
1239 results << "Secondary temperature range:           "
1240     << secondary->getTemperature(maxT2)
1241     - secondary->getTemperature(minT2) << endl;
1242 results << "Secondary average temperature:         "
1243     << avgT2 << endl;
1244 results << "Secondary luminosity:                   "
1245     << 5.6704e-8 * pow2(6.955e8 * binary->getSemimajorAxis()) * L2
1246     / 3.839e26 << endl;
1247 results << "Secondary temperature from luminosity:   "
1248     << root4(L2 / secondary->getMeshArea()) << endl;
1249 results << "Secondary gravity darkening exponent:     "
1250     << binary->getSecondary()->getGravityDarkeningExponent() << endl;
1251 results << "Secondary albedo:                         "
1252     << binary->getSecondary()->getAlbedo() << endl;
1253 results << "Secondary mass:                           "
1254     << binary->getSecondary()->getMass() << endl;
1255 results << "Secondary effective gravity:              "
1256     << log10(binary->getSecondary()->getEffectiveGravity()) << endl;
1257 results << "Secondary lowest gravity:                 "
1258     << log10(secondary->getGravityAcceleration(minG2)) << endl;
1259 results << "Secondary highest gravity:                "
1260     << log10(secondary->getGravityAcceleration(maxG2)) << endl;
1261 results << "Secondary gravity range:                  "
1262     << log10(secondary->getGravityAcceleration(maxG2))
1263     - log10(secondary->getGravityAcceleration(minG2)) << endl;
1264 results << "Secondary volume:                         "
1265     << secondary->getVolume() << endl;
1266 results << "Secondary effective radius:                "
1267     << pow(3.0 * secondary->getVolume() / 4.0 / M_PI, 1.0/3.0) << endl;
1268 results << "Secondary area:                           "
1269     << secondary->getMeshArea() << endl;
1270 results << "Secondary smallest area:                     "
1271     << secondary->getArea(minA2) << endl;
1272 results << "Secondary largest area:                     "
1273     << secondary->getArea(maxA2) << endl;
1274 results << "Secondary area range:                       "
1275     << secondary->getArea(maxA2) - secondary->getArea(minA2) << endl;
1276 results << "Secondary sphericity:                         "
1277     << pow(4.0 * M_PI, 1.0/3.0) * pow(3.0 * secondary->getVolume(),
1278     2.0/3.0)
1279     / secondary->getMeshArea() << endl << endl;
1280
1281
1282 size_t minT3 = 0, maxT3 = 0, minG3 = 0, maxG3 = 0, minA3 = 0, maxA3 = 0;
1283 double avgT3 = 0.0, L3 = 0.0;
1284 for (size_t i = 0; i < disc->getTriangleCount(); i++)
1285 {
1286     avgT3 += disc->getTemperature(i) * disc->getArea(i);
1287     L3 += disc->getArea(i) * pow4(disc->getTemperature(i));
1288
1289     if(disc->getTemperature(i) < disc->getTemperature(minT3)) minT3 = i;
1290     if(disc->getTemperature(i) > disc->getTemperature(maxT3)) maxT3 = i;
1291
1292     if(disc->getGravityAcceleration(i) <
1293         disc->getGravityAcceleration(minG3)) minG3 = i;
1294     if(disc->getGravityAcceleration(i) >

```

```

1295         disc->getGravityAcceleration(maxG3)) maxG3 = i;
1296
1297         if(disc->getArea(i) < disc->getArea(minA3)) minA3 = i;
1298         if(disc->getArea(i) > disc->getArea(maxA3)) maxA3 = i;
1299     }
1300     avgT2 /= disc->getMeshArea();
1301
1302     if (disc->getTriangleCount() > 0)
1303     {
1304         results << "Disc inner temperature:           "
1305                 << binary->getDisc()->getInnerTemperature() << endl;
1306         results << "Disc outer temperature:           "
1307                 << binary->getDisc()->getOuterTemperature() << endl;
1308         results << "Disc lowest temperature:           "
1309                 << disc->getTemperature(minT3) << endl;
1310         results << "Disc highest temperature:           "
1311                 << disc->getTemperature(maxT3) << endl;
1312         results << "Disc temperature range:           "
1313                 << disc->getTemperature(maxT3)
1314                 - disc->getTemperature(minT3) << endl;
1315         results << "Disc average temperature:           "
1316                 << avgT3 << endl;
1317         results << "Disc lowest gravity:           "
1318                 << log10(disc->getGravityAcceleration(minG3)) << endl;
1319         results << "Disc highest gravity:           "
1320                 << log10(disc->getGravityAcceleration(maxG3)) << endl;
1321         results << "Disk gravity range:           "
1322                 << log10(disc->getGravityAcceleration(maxG3))
1323                 - log10(disc->getGravityAcceleration(minG3)) << endl;
1324         results << "Disc luminosity:           "
1325                 << 5.6704e-8 * pow2(6.955e8 * binary->getSemimajorAxis()) * L3
1326                 / 3.839e26 << endl;
1327         results << "Disc temperature from luminosity:           "
1328                 << root4(L3 / disc->getMeshArea()) << endl;
1329         results << "Disc volume:           "
1330                 << disc->getVolume() << endl;
1331         results << "Disc area:           "
1332                 << disc->getMeshArea() << endl;
1333         results << "Disc smallest area:           "
1334                 << disc->getArea(minA3) << endl;
1335         results << "Disc largest area:           "
1336                 << disc->getArea(maxA3) << endl;
1337         results << "Disc area range:           "
1338                 << disc->getArea(maxA3) - disc->getArea(minA3) << endl;
1339     }
1340
1341     results.close();
1342 }
1343
1344 void Model::writeRV(vector<double>& rv, wstring suffix)
1345 {
1346     size_t pointCount = phases.size() - 1;
1347
1348     ofstream file(prefix + suffix);
1349
1350     for (size_t i = 0; i < pointCount; ++i)
1351         file << setiosflags( ios::fixed ) << setprecision(10) << phases[i]

```

```

1352     << " " << rv[i] << endl;
1353
1354     file.close();
1355 } }

```

8.7. Model akrecionog diska

Disc.h

```

1  #pragma once
2
3  #include "Palette.h"
4  #include "CrossSection.h"
5  #include "Calc.h"
6  #include <string>
7  #include "DiscSpot.h"
8
9  namespace Infinity {
10 class Disc
11 {
12 public:
13     enum Shape { Conical, Toroidal };
14
15     Disc();
16     Disc(Shape shape, CrossSection cs, int segments, double innerRadius,
17         double outerRadius, double innerTemperature, double outerTemperature,
18         double exponent, int distributionType, std::wstring paletteFile);
19     Disc(const Disc& source);
20     Disc& operator=(const Disc& right);
21     ~Disc(void);
22
23     int getSegments();
24     Palette* getPalette();
25     CrossSection* getCrossSection();
26
27     double getTemperatureAt(float radius);
28     double getInnerTemperature();
29     double getOuterTemperature();
30     double getInnerRadius();
31     double getOuterRadius();
32     Disc::Shape getShape();
33
34     size_t getSpotCount();
35     DiscSpot* getSpot(size_t index);
36     void addSpot(double phi, double size, double temperatureRatio);
37 private:
38     Shape shape;
39     CrossSection crossSection;
40     Palette palette;
41     double innerRadius, outerRadius;
42     double innerTemperature, outerTemperature;
43     double exponent;
44     int distributionType;
45
46     int segments;

```



```

47
48     std::vector<DiscSpot> spots;
49 };
50
51 inline int Disc::getSegments() { return segments; }
52 inline Palette* Disc::getPalette() { return &palette; }
53 inline CrossSection* Disc::getCrossSection() { return &crossSection; }
54 inline double Disc::getInnerTemperature() { return innerTemperature; }
55 inline double Disc::getOuterTemperature() { return outerTemperature; }
56 inline double Disc::getInnerRadius() { return innerRadius; }
57 inline double Disc::getOuterRadius() { return outerRadius; }
58 inline Disc::Shape Disc::getShape() { return shape; }
59
60 inline double Disc::getTemperatureAt(float radius)
61 {
62     double result = 0;
63     switch (distributionType)
64     {
65     case DISC_TEMP_DIST_ALPHA:
66         result = outerTemperature * pow(outerRadius / radius, exponent)
67         break;
68     case DISC_TEMP_DIST_DJURASEVIC:
69         result = outerTemperature + (innerTemperature - outerTemperature)
70             * (1 - pow((radius - innerRadius) / (outerRadius - innerRadius),
71             exponent));
72         break;
73     default:
74     case DISC_TEMP_DIST_ZOLA:
75         result = outerTemperature + (innerTemperature - outerTemperature)
76             * pow(1 - (radius - innerRadius) / (outerRadius - innerRadius),
77             exponent);
78         break;
79     }
80
81     return result;
82 }
83
84 inline size_t Disc::getSpotCount()
85 { return spots.size(); }
86
87 inline DiscSpot* Disc::getSpot(size_t index)
88 { return &spots[index]; }
89
90 inline void Disc::addSpot(double phi, double size, double temperatureRatio)
91 { spots.push_back(DiscSpot(phi, size, temperatureRatio)); } }

```

Disc.cpp

```

1 #include "stdafx.h"
2 #include "Disc.h"
3
4 using namespace std;
5
6 namespace Infinity {
7 Disc::Disc() :
8     palette(L"red"),

```

```

9     crossSection(0) { }
10
11     Disc::Disc(Shape shape, CrossSection cs, int segments, double innerRadius,
12         double outerRadius, double innerTemperature, double outerTemperature,
13         double exponent, int distributionType, std::wstring paletteFile) :
14         shape(shape),
15         crossSection(cs),
16         segments(segments),
17         innerRadius(innerRadius),
18         outerRadius(outerRadius),
19         innerTemperature(innerTemperature),
20         outerTemperature(outerTemperature),
21         exponent(exponent),
22         distributionType(distributionType),
23         palette(paletteFile)
24     { }
25
26     Disc::Disc(const Disc& source) :
27         shape(source.shape),
28         crossSection(source.crossSection),
29         segments(source.segments),
30         innerRadius(source.innerRadius),
31         outerRadius(source.outerRadius),
32         innerTemperature(source.innerTemperature),
33         outerTemperature(source.outerTemperature),
34         exponent(source.exponent),
35         distributionType(source.distributionType),
36         palette(source.palette),
37         spots(source.spots)
38     { }
39
40     Disc& Disc::operator=(const Disc& source)
41     {
42         shape = source.shape;
43         crossSection = source.crossSection;
44         segments = source.segments;
45         innerRadius = source.innerRadius;
46         outerRadius = source.outerRadius;
47         innerTemperature = source.innerTemperature;
48         outerTemperature = source.outerTemperature;
49         exponent = source.exponent;
50         distributionType = source.distributionType;
51         palette = source.palette;
52         spots = source.spots;
53
54         return *this;
55     }
56
57     Disc::~Disc(void)
58     { } }

```

DiscEffect.h

```

1 #pragma once
2
3 #include <cmath>

```

```

4  #include "Calc.h"
5  #include "Mesh3.h"
6  #include "Binary.h"
7
8  namespace Infinity {
9  class DiscEffect
10 {
11 public:
12     DiscEffect(Binary* binary, Disc* disc, Mesh3* mesh);
13     ~DiscEffect(void);
14
15     virtual void run(double time = 0) = 0;
16 protected:
17     Binary* binary;
18     Mesh3* mesh;
19     Disc* disc;
20 }; }

```

DiscEffect.cpp

```

1  #include "stdafx.h"
2  #include "DiscEffect.h"
3
4  namespace Infinity {
5  DiscEffect::DiscEffect(Binary* binary, Disc* disc, Mesh3* mesh)
6      : binary(binary), disc(disc), mesh(mesh)
7  { }
8
9  DiscEffect::~DiscEffect(void)
10 { } }

```

DiscGravity.h

```

1  #pragma once
2  #include "DiscEffect.h"
3
4  namespace Infinity {
5  class DiscGravity : public DiscEffect
6  {
7  public:
8      DiscGravity(Binary* binary, Disc* disc, Mesh3* mesh);
9      ~DiscGravity(void);
10
11     void run(double time = 0);
12 }; }

```

DiscGravity.cpp

```

1  #include "stdafx.h"
2  #include "DiscGravity.h"
3
4  namespace Infinity {
5  DiscGravity::DiscGravity(Binary* binary, Disc* disc, Mesh3* mesh)
6      : DiscEffect(binary, disc, mesh) { }
7

```

```

8  DiscGravity::~DiscGravity(void) { }
9
10 void DiscGravity::run(double time)
11 {
12     double gravityConstant = 6.67428E-8;
13     double solarRadius = 6.955E10;
14
15     double scalingFactor = gravityConstant * binary->getPrimary()->getMass()
16         / pow2(binary->getSemimajorAxis() * solarRadius);
17
18     size_t triangleCount = mesh->getTriangleCount();
19     for (size_t i = 0; i < triangleCount; ++i)
20         mesh->setGravityAcceleration(i, scalingFactor
21             / mesh->getCentroid(i)->LengthSquared());
22 } }

```

DiscSpot.h

```

1  #pragma once
2
3  namespace Infinity {
4  class DiscSpot
5  {
6  public:
7      DiscSpot(double phi, double size, double temperautreRatio);
8      ~DiscSpot();
9
10     double getPhi();
11     double getSize();
12     double getTemperatureRatio();
13
14 private:
15     double phi, size, temperatureRatio;
16 };
17
18 inline double DiscSpot::getPhi() { return phi; }
19 inline double DiscSpot::getSize() { return size; }
20 inline double DiscSpot::getTemperatureRatio() { return temperatureRatio; }

```

DiscSpot.cpp

```

1  #include "stdafx.h"
2  #include "DiscSpot.h"
3
4  namespace Infinity {
5  DiscSpot::DiscSpot(double phi, double size, double temperatureRatio):
6      phi(phi),
7      size(size),
8      temperatureRatio(temperatureRatio)
9  { }
10
11 DiscSpot::~DiscSpot() { } }

```

DiscSpots.h

```
1  #pragma once
2
3  #include "DiscEffect.h"
4  #include <cmath>
5  #include "Calc.h"
6  #include "Mesh3.h"
7  #include "Binary.h"
8  #include "Spot.h"
9  #include <vector>
10
11 namespace Infinity {
12 class DiscSpots : public DiscEffect
13 {
14 public:
15     DiscSpots(Binary* binary, Disc* disc, Mesh3* mesh);
16     ~DiscSpots();
17
18     void run(double time = 0);
19 private:
20     void getPolar(size_t index, float* rho, float* phi);
21 };
22
23 inline void DiscSpots::getPolar(size_t index, float* rho, float* phi)
24 {
25     float x = mesh->getPoint(index)->x;
26     float y = mesh->getPoint(index)->y;
27     float z = mesh->getPoint(index)->z;
28
29     *phi = atan2(y, x);
30     *phi = (*phi >= 0) ? *phi : *phi + TWO_PI_F;
31
32     *rho = sqrt(pow2(x) + pow2(y));
```

DiscSpots.cpp

```
1  #include "stdafx.h"
2  #include "DiscSpots.h"
3
4  using namespace std;
5  using namespace DirectX::SimpleMath;
6
7  namespace Infinity {
8  DiscSpots::DiscSpots(Binary* binary, Disc* disc, Mesh3* mesh)
9      : DiscEffect(binary, disc, mesh)
10 { }
11
12 DiscSpots::~DiscSpots(void)
13 { }
14
15 void DiscSpots::run(double time)
16 {
17     size_t spotCount = disc->getSpotCount();
18     size_t triangleCount = mesh->getTriangleCount();
19
```

```

20     for(size_t j = 0; j < spotCount; j++)
21     {
22         double spotPhi = disc->getSpot(j)->getPhi();
23         double spotSize = disc->getSpot(j)->getSize();
24         double temperatureRatio = disc->getSpot(j)->getTemperatureRatio();
25
26         for (size_t i = 0; i < triangleCount; i++)
27         {
28             if (disc->getShape() == Disc::Shape::Conical)
29             {
30                 float rho1 = 0, rho2 = 0, rho3 = 0,
31                     phi1 = 0, phi2 = 0, phi3 = 0;
32
33                 getPolar(3*i, &rho1, &phi1);
34                 getPolar(3*i+1, &rho2, &phi2);
35                 getPolar(3*i+2, &rho3, &phi3);
36
37                 float minPhi = min(min(phi1, phi2), phi3);
38                 float maxPhi = max(max(phi1, phi2), phi3);
39
40                 float radius = static_cast<float>
41                     (disc->getOuterRadius());
42
43                 bool onEdge = isEqual(rho1, radius)
44                     && isEqual(rho2, radius) && isEqual(rho3, radius);
45
46                 if (onEdge && minPhi > spotPhi - spotSize / 2.0
47                     && maxPhi < spotPhi + spotSize / 2.0)
48                     mesh->setTemperature(i,
49                         mesh->getTemperature(i) * temperatureRatio);
50             }
51             else //Disc::Shape::Toroidal
52             {
53                 double x = mesh->getCentroid(i)->x;
54                 double y = mesh->getCentroid(i)->y;
55                 double z = mesh->getCentroid(i)->z;
56
57                 double phi = atan2(y, x);
58                 phi = (phi >= 0) ? phi : phi + 2 * M_PI;
59                 double theta = acos(z / sqrt(x*x + y*y + z*z));
60
61                 double rho = sqrt(pow2(x) + pow2(y));
62
63                 double cosL = sin(theta) * cos(phi - spotPhi);
64
65                 if (cos(spotSize) < cosL &&
66                     rho > 0.5 * (disc->getInnerRadius()
67                         + disc->getOuterRadius()))
68                     mesh->setTemperature(i,
69                         mesh->getTemperature(i) * temperatureRatio);
70             }
71         }
72     }
73 }

```

DiscTemperature.h

```
1 #pragma once
2
3 #include "DiscEffect.h"
4
5 namespace Infinity {
6 class DiscTemperature : public DiscEffect
7 {
8 public:
9     DiscTemperature(Binary* binary, Disc* disc, Mesh3* mesh);
10    ~DiscTemperature();
11
12    void run(double time = 0);
13 }; }
```

DiscTemperature.cpp

```
1 #include "stdafx.h"
2 #include "DiscTemperature.h"
3
4 namespace Infinity {
5 DiscTemperature::DiscTemperature(Binary* binary, Disc* disc, Mesh3* mesh) :
6     DiscEffect(binary, disc, mesh)
7 { }
8
9 DiscTemperature::~DiscTemperature(void)
10 { }
11
12 void DiscTemperature::run(double time)
13 {
14     size_t triangleCount = mesh->getTriangleCount();
15     for (size_t i = 0; i < triangleCount; i++)
16     {
17         float x = mesh->getCentroid(i)->x;
18         float y = mesh->getCentroid(i)->y;
19
20         float r = sqrt(pow2(x) + pow2(y));
21
22         double temperature = disc->getTemperatureAt(r);
23         mesh->setTemperature(i, temperature);
24     }
25 }
```

SystemEffect.h

```
1 #pragma once
2
3 #include "Mesh3.h"
4 #include "Binary.h"
5
6 namespace Infinity {
7 class SystemEffect
8 {
9 public:
```

```

10     SystemEffect(Binary* binary, Mesh3* primary, Mesh3* secondary, Mesh3*
11     disc);
12     ~SystemEffect(void);
13
14     virtual void run() = 0;
15 protected:
16     Binary* binary;
17     Mesh3* primary;
18     Mesh3* secondary;
19     Mesh3* disc;
20 }; }

```

SystemEffect.cpp

```

1  #include "stdafx.h"
2  #include "SystemEffect.h"
3
4  namespace Infinity {
5  SystemEffect::SystemEffect(Binary* bin, Mesh3* prim, Mesh3* sec, Mesh3* d)
6      : binary(bin), primary(prim), secondary(sec), disc(d)
7  { }
8
9  SystemEffect::~SystemEffect(void)
10 { } }

```

8.8. Model refleksije

DjurasevicReflection.h

```

1  #pragma once
2
3  #include "SystemEffect.h"
4  #include "SimpleMath.h"
5
6  namespace Infinity {
7  class DjurasevicReflection : public SystemEffect
8  {
9  public:
10     DjurasevicReflection(Binary* binary, Mesh3* primary,
11     Mesh3* secondary, Mesh3* disc);
12     ~DjurasevicReflection(void);
13
14     void run();
15 }; }

```

DjurasevicReflection.cpp

```

1  #include "stdafx.h"
2  #include "DjurasevicReflection.h"
3
4  using namespace DirectX::SimpleMath;
5
6  namespace Infinity {
7  DjurasevicReflection::DjurasevicReflection(Binary* bin, Mesh3* prim,

```



```

8     Mesh3* sec, Mesh3* disc) : SystemEffect(bin, prim, sec, disc)
9 { }
10
11 DjurasevicReflection::~DjurasevicReflection(void)
12 { }
13
14 void DjurasevicReflection::run()
15 {
16     //Primary
17     for (size_t i = 0; i < primary->getTriangleCount(); i++)
18     {
19         Vector3 rho(1.0f - primary->getCentroid(i)->x,
20                 -primary->getCentroid(i)->y, -primary->getCentroid(i)->z);
21         float rhoNormSquared = rho.LengthSquared();
22         rho.Normalize();
23
24         double cosAlpha = rho.Dot(*primary->getNormal(i));
25         if (cosAlpha > 0)
26         {
27             double correction = sqrt(sqrt(
28                 1.0 + binary->getPrimary()->getAlbedo() * cosAlpha
29                 * (1.0 - sqrt(1.0 - pow2(secondary->getInnerRadius())
30                     / rhoNormSquared))
31                 * pow4(binary->getSecondary()->getTemperature()
32                     / binary->getPrimary()->getTemperature())));
33             primary->setTemperature(i,
34                 primary->getTemperature(i) * correction);
35         }
36     }
37
38     //Secondary
39     for (size_t i = 0; i < secondary->getTriangleCount(); i++)
40     {
41         Vector3 rho(1.0f - secondary->getCentroid(i)->x,
42                 -secondary->getCentroid(i)->y, -secondary->getCentroid(i)->z);
43         float rhoNormSquared = rho.LengthSquared();
44         rho.Normalize();
45
46         double cosAlpha = rho.Dot(*secondary->getNormal(i));
47         if (cosAlpha > 0)
48         {
49             double correction = sqrt(sqrt(
50                 1.0 + binary->getSecondary()->getAlbedo() * cosAlpha
51                 * (1.0 - sqrt(1.0 - pow2(primary->getInnerRadius())
52                     / rhoNormSquared))
53                 * pow4(binary->getPrimary()->getTemperature()
54                     / binary->getSecondary()->getTemperature())));
55             secondary->setTemperature(i,
56                 secondary->getTemperature(i) * correction);
57         }
58     }
59 } }

```

KhruzinaReflection.h

```
1 #pragma once
2 #include "SystemEffect.h"
3 #include "SimpleMath.h"
4
5 namespace Infinity {
6 class KhruzinaReflection :
7     public SystemEffect
8 {
9 public:
10     KhruzinaReflection(Binary* binary, Mesh3* primary,
11         Mesh3* secondary, Mesh3* disc);
12     ~KhruzinaReflection(void);
13
14     void run();
15
16 private:
17     double primLuminosity;
18     double secLuminosity;
19 }; }
```

KhruzinaReflection.cpp

```
1 #include "stdafx.h"
2 #include "KhruzinaReflection.h"
3
4 using namespace DirectX::SimpleMath;
5
6 namespace Infinity {
7 KhruzinaReflection::KhruzinaReflection(Binary* bin, Mesh3* prim, Mesh3* sec,
8     Mesh3* disc) : SystemEffect(bin, prim, sec, disc)
9 {
10     //Primary
11     primLuminosity = 0.0;
12
13     for (size_t i = 0; i < primary->getTriangleCount(); i++)
14         primLuminosity += primary->getArea(i)
15             * pow4(primary->getTemperature(i));
16
17     //Secondary
18     secLuminosity = 0.0;
19
20     for (size_t i = 0; i < secondary->getTriangleCount(); i++)
21         secLuminosity += secondary->getArea(i)
22             * pow4(secondary->getTemperature(i));
23 }
24
25 KhruzinaReflection::~KhruzinaReflection(void)
26 { }
27
28 void KhruzinaReflection::run()
29 {
30     //Primary
31     for (size_t i = 0; i < primary->getTriangleCount(); i++)
32         {
```

```

33     Vector3 rho(1.0f - primary->getCentroid(i)->x,
34                -primary->getCentroid(i)->y, -primary->getCentroid(i)->z);
35     rho.Normalize();
36
37     double cosAlpha = rho.Dot(*primary->getNormal(i));
38     if (cosAlpha > 0)
39     {
40         double newTemp = sqrt(sqrt(pow4(primary->getTemperature(i))
41                                     + binary->getPrimary()->getAlbedo() * cosAlpha
42                                     * secluminosity / 4.0 / M_PI));
43         primary->setTemperature(i, newTemp);
44     }
45 }
46
47 //Secondary
48 for (size_t i = 0; i < secondary->getTriangleCount(); i++)
49 {
50     Vector3 rho(1.0f - secondary->getCentroid(i)->x,
51                -secondary->getCentroid(i)->y, -secondary->getCentroid(i)->z);
52     rho.Normalize();
53
54     double cosAlpha = rho.Dot(*secondary->getNormal(i));
55     if (cosAlpha > 0)
56     {
57         double newTemp = sqrt(sqrt(pow4(secondary->getTemperature(i))
58                                     + binary->getSecondary()->getAlbedo() * cosAlpha
59                                     * primLuminosity / 4.0 / M_PI));
60         secondary->setTemperature(i, newTemp);
61     }
62 }
63 } }

```

NoReflection.h

```

1  #pragma once
2  #include "SystemEffect.h"
3
4  namespace Infinity {
5  class NoReflection : public SystemEffect
6  {
7  public:
8      NoReflection(Binary* binary, Mesh3* primary, Mesh3* secondary, Mesh3*
9  disc);
10     ~NoReflection(void);
11
12     void run();
13 }; }

```

NoReflection.cpp

```

1  #include "stdafx.h"
2  #include "NoReflection.h"
3

```

```

4 namespace Infinity {
5 NoReflection::NoReflection(Binary* bin, Mesh3* prim, Mesh3* sec, Mesh3* disc)
6     : SystemEffect(bin, prim, sec, disc)
7 { }
8
9 NoReflection::~NoReflection(void)
10 { }
11
12 void NoReflection::run()
13 { } }

```

8.9. Detekcija vidljivosti

GridVisibility.h

```

1 #pragma once
2
3 #include "Mesh3.h"
4 #include "VisibilityDetection.h"
5 #include <vector>
6 #include <algorithm>
7
8 #include "Triangle2.h"
9
10 namespace Infinity {
11 class GridVisibility : public VisibilityDetection
12 {
13 public:
14     GridVisibility(Mesh3* primary, Mesh3* secondary, Mesh3* disk, int
15 adaptive,
16     int triangleIntersection, bool convexMesh = true);
17     ~GridVisibility();
18
19     void run();
20     static bool distanceSorter(const Triangle2& left, const Triangle2&
21 right);
22 private:
23     bool hasDisk;
24     void optimizedCheck();
25     void fullCheck();
26
27     bool checkVisibility(const std::vector<Triangle2*>* grid, size_t row,
28     size_t column, size_t columnCount, Triangle2* triangle,
29     int method) const;
30     void projectMesh(Mesh3* mesh, std::vector<Triangle2>& faces,
31     float& maxRadius, float obsPosition = 5.0);
32 };

```

GridVisibility.cpp

```

1 #include "stdafx.h"
2 #include "GridVisibility.h"
3
4 using namespace std;
5 using namespace DirectX::SimpleMath;

```

```

6
7 namespace Infinity {
8 GridVisibility::GridVisibility(Mesh3* primary, Mesh3* secondary, Mesh3* disc,
9     int adaptive, int triangleIntersection, bool convexMesh)
10     : VisibilityDetection(primary, secondary, disc, adaptive,
11     triangleIntersection, true)
12 { hasDisk = (disc->getTriangleCount() != 0); }
13
14 GridVisibility::~GridVisibility() { }
15
16 void GridVisibility::run()
17 {
18     if (!hasDisk && convexMesh) optimizedCheck();
19     else fullCheck();
20 }
21
22 void GridVisibility::optimizedCheck()
23 {
24     //Determine the distance of the components
25     float obsPosition = 5.0;
26     double distanceSquaredPrimary =
27         pow2(primary->getCenter()->x - obsPosition) +
28         pow2(primary->getCenter()->y) +
29         pow2(primary->getCenter()->z);
30
31     double distanceSquaredSecondary =
32         pow2(secondary->getCenter()->x - obsPosition) +
33         pow2(secondary->getCenter()->y) +
34         pow2(secondary->getCenter()->z);
35
36     Mesh3* nearMesh;
37     Mesh3* farMesh;
38
39     if (distanceSquaredPrimary <= distanceSquaredSecondary)
40     {
41         nearMesh = primary;
42         farMesh = secondary;
43     }
44     else
45     {
46         nearMesh = secondary;
47         farMesh = primary;
48     }
49
50     //Check wether there is a possibility for the eclipse.
51     bool eclipsePossible = true;
52
53     double separation =
54         pow2(nearMesh->getCenter()->y - farMesh->getCenter()->y) +
55         pow2(nearMesh->getCenter()->z - farMesh->getCenter()->z);
56     if (separation > pow2(nearMesh->getOuterRadius()
57         + farMesh->getOuterRadius()))
58         eclipsePossible = false;
59
60     //Adaptive
61     if (eclipsePossible && adaptive > 0)
62         farMesh->adaptive(adaptive, nearMesh->getCenter(),

```

```

63         0.9 * nearMesh->getInnerRadius(), 1.1 * nearMesh->getOuterRadius());
64
65     //Project & colect triangles
66     vector<Triangle2> nearFaces, farFaces;
67     nearFaces.reserve(nearMesh->getTriangleCount());
68     farFaces.reserve(farMesh->getTriangleCount());
69
70     float nearRadius = -1;
71     float farRadius = -1;
72     projectMesh(nearMesh, nearFaces, nearRadius, obsPosition);
73     projectMesh(farMesh, farFaces, farRadius, obsPosition);
74
75     //If there is no chance for eclipse, we are done.
76     if (!eclipsePossible)
77         return;
78
79     //Try to guess the optimal size of the cell
80     double cellSizeGuess = 1.4 * max(nearRadius, farRadius);
81
82     Vector2 primaryCenter(primary->getCenter()->y, primary->getCenter()->z);
83     Vector2 secondaryCenter(secondary->getCenter()->y,
84                             secondary->getCenter()->z);
85
86     double xMax = max(primaryCenter.x + primary->getOuterRadius(),
87                      secondaryCenter.x + secondary->getOuterRadius()) + cellSizeGuess;
88     double xMin = min(primaryCenter.x - primary->getOuterRadius(),
89                      secondaryCenter.x - secondary->getOuterRadius()) - cellSizeGuess;
90     double xSize = xMax - xMin;
91
92     double yMax = max(primaryCenter.y + primary->getOuterRadius(),
93                      secondaryCenter.y + secondary->getOuterRadius()) + cellSizeGuess;
94     double yMin = min(primaryCenter.y - primary->getOuterRadius(),
95                      secondaryCenter.y - secondary->getOuterRadius()) - cellSizeGuess;
96     double ySize = yMax - yMin;
97
98
99     size_t rowCount = static_cast<size_t>(ceil(ySize / cellSizeGuess));
100    size_t columnCount = static_cast<size_t>(ceil(xSize / cellSizeGuess));
101
102    double cellSizeX = xSize / columnCount;
103    double cellSizeY = ySize / rowCount;
104
105    size_t cellCount = rowCount * columnCount;
106    vector<Triangle2*>* grid = new vector<Triangle2*>[cellCount];
107
108    //Add nearMesh to the grid
109    Circle nearBoundingCircle(nearMesh->getCenter()->y,
110                              nearMesh->getCenter()->z, nearMesh->getOuterRadius() + 3 *
111    nearRadius);
112    Circle farBoundingCircle(farMesh->getCenter()->y,
113                              farMesh->getCenter()->z, farMesh->getOuterRadius() + 3 * farRadius);
114
115    size_t row, column;
116
117    for (size_t i = 0; i < nearFaces.size(); i++)
118    {
119        if (Circle::Intersects(&farBoundingCircle,

```

```

120     nearFaces[i].getCircumCircle()))
121     {
122         row = static_cast<size_t>
123             ((nearFaces[i].getCentroid()->y - yMin) / cellSizeY);
124         column = static_cast<size_t>
125             ((nearFaces[i].getCentroid()->x - xMin) / cellSizeX);
126
127         grid[row * columnCount + column].push_back(&nearFaces[i]);
128     }
129 }
130
131 //Check the visibility of the farMesh
132 sort(farFaces.begin(), farFaces.end(), GridVisibility::distanceSorter);
133
134 for (size_t i = 0; i < farFaces.size(); i++)
135 {
136     if (Circle::Intersects(&nearBoundingCircle,
137         farFaces[i].getCircumCircle()))
138     {
139         row = static_cast<size_t>
140             ((farFaces[i].getCentroid()->y - yMin) / cellSizeY);
141         column = static_cast<size_t>
142             ((farFaces[i].getCentroid()->x - xMin) / cellSizeX);
143
144         //Check for the current cell
145         bool visible = checkVisibility(grid, row, column, columnCount,
146             &farFaces[i], triangleIntersection);
147
148         //Check for the surrounding cells if we use the full
149         //triangle-triangle intersection
150         if (visible)
151             visible = (visible && checkVisibility(grid, row, column + 1,
152                 columnCount, &farFaces[i], triangleIntersection));
153         else
154             { farMesh->setVisibility(farFaces[i].getIndex(), 0.0); grid[row *
155                 columnCount + column].push_back(&farFaces[i]); continue; }
156         if (visible)
157             visible = (visible && checkVisibility(grid, row, column-1,
158                 columnCount, &farFaces[i], triangleIntersection));
159         else
160             { farMesh->setVisibility(farFaces[i].getIndex(), 0.0); grid[row *
161                 columnCount + column].push_back(&farFaces[i]); continue; }
162         if (visible)
163             visible = (visible && checkVisibility(grid, row + 1, column + 1,
164                 columnCount, &farFaces[i], triangleIntersection));
165         else
166             { farMesh->setVisibility(farFaces[i].getIndex(), 0.0); grid[row *
167                 columnCount + column].push_back(&farFaces[i]); continue; }
168         if (visible)
169             visible = (visible && checkVisibility(grid, row + 1, column,
170                 columnCount, &farFaces[i], triangleIntersection));
171         else
172             { farMesh->setVisibility(farFaces[i].getIndex(), 0.0); grid[row *
173                 columnCount + column].push_back(&farFaces[i]); continue; }
174         if (visible)
175             visible = (visible && checkVisibility(grid, row + 1, column - 1,
176                 columnCount, &farFaces[i], triangleIntersection));

```

```

177         else
178         { farMesh->setVisibility(farFaces[i].getIndex(), 0.0); grid[row *
179         columnCount + column].push_back(&farFaces[i]); continue; }
180         if (visible)
181         visible = (visible && checkVisibility(grid,row - 1,column + 1,
182         columnCount, &farFaces[i], triangleIntersection));
183         else
184         { farMesh->setVisibility(farFaces[i].getIndex(), 0.0); grid[row *
185         columnCount + column].push_back(&farFaces[i]); continue; }
186         if (visible)
187         visible = (visible && checkVisibility(grid, row - 1, column,
188         columnCount, &farFaces[i], triangleIntersection));
189         else
190         { farMesh->setVisibility(farFaces[i].getIndex(), 0.0); grid[row *
191         columnCount + column].push_back(&farFaces[i]); continue; }
192
193         if (visible)
194         visible = (visible && checkVisibility(grid,row - 1,column - 1,
195         columnCount, &farFaces[i], triangleIntersection));
196         else
197         { farMesh->setVisibility(farFaces[i].getIndex(), 0.0); grid[row *
198         columnCount + column].push_back(&farFaces[i]); continue; }
199         if (!visible)
200         farMesh->setVisibility(farFaces[i].getIndex(), 0.0);
201
202         grid[row * columnCount + column].push_back(&farFaces[i]);
203     }
204 }
205 delete []grid;
206 }
207
208 void GridVisibility::fullCheck()
209 {
210     //Determine the distance of the components
211     float obsPosition = 5.0;
212
213     //Project & colect triangles
214     vector<Triangle2> faces;
215     faces.reserve(primary->getTriangleCount() + secondary->getTriangleCount()
216     + (hasDisk ? disk->getTriangleCount() : 0));
217
218     float primaryRadius = -1;
219     float secondaryRadius = -1;
220     float diskRadius = -1;
221     projectMesh(primary, faces, primaryRadius, obsPosition);
222     projectMesh(secondary, faces, secondaryRadius, obsPosition);
223     if (hasDisk)
224         projectMesh(disk, faces, diskRadius, obsPosition);
225
226     //Check wether there is a possibility for the eclipse.
227     double separation = pow2(
228         primary->getCenter()->y - secondary->getCenter()->y)
229         + pow2(primary->getCenter()->z - secondary->getCenter()->z);
230
231     double primaryOuterRadius = hasDisk ? disk->getOuterRadius()
232     : primary->getOuterRadius();
233     double secondaryOuterRadius = secondary->getOuterRadius();

```



```

234
235     if (separation > pow2(primaryOuterRadius + secondaryOuterRadius))
236         return;
237
238     //Try to guess the optimal size of the cell
239     double cellSizeGuess = 1.4 * max(max(primaryRadius, secondaryRadius),
240         diskRadius);
241
242     Vector2 primaryCenter(primary->getCenter()->y,
243         primary->getCenter()->z);
244     Vector2 secondaryCenter(secondary->getCenter()->y,
245         secondary->getCenter()->z);
246
247     double xMax = max(primaryCenter.x + primaryOuterRadius,
248         secondaryCenter.x + secondaryOuterRadius) + cellSizeGuess;
249     double xMin = min(primaryCenter.x - primaryOuterRadius,
250         secondaryCenter.x - secondaryOuterRadius) - cellSizeGuess;
251     double xSize = xMax - xMin;
252
253     double yMax = max(primaryCenter.y + primaryOuterRadius,
254         secondaryCenter.y + secondaryOuterRadius) + cellSizeGuess;
255     double yMin = min(primaryCenter.y - primaryOuterRadius,
256         secondaryCenter.y - secondaryOuterRadius) - cellSizeGuess;
257     double ySize = yMax - yMin;
258
259     size_t rowCount = static_cast<size_t>(ceil(ySize / cellSizeGuess));
260     size_t columnCount = static_cast<size_t>(ceil(xSize /
261 cellSizeGuess));
262
263     double cellSizeX = xSize / columnCount;
264     double cellSizeY = ySize / rowCount;
265
266     size_t cellCount = rowCount * columnCount;
267     vector<Triangle2*>* grid = new vector<Triangle2*>[cellCount];
268
269     //Collect the triangles
270     sort(faces.begin(), faces.end(), GridVisibility::distanceSorter);
271
272     Circle primaryBoundingCircle(primary->getCenter()->y,
273         primary->getCenter()->z, static_cast<float>(primaryOuterRadius) + 3
274         * max(primaryRadius, diskRadius));
275     Circle secondaryBoundingCircle(secondary->getCenter()->y,
276         secondary->getCenter()->z, static_cast<float>(secondaryOuterRadius)
277         + 3 * secondaryRadius);
278
279     size_t row, column;
280
281     for (size_t i = 0; i < faces.size(); i++)
282     {
283         if (Circle::Intersects(&primaryBoundingCircle,
284             faces[i].getCircumCircle()))
285         {
286             row = static_cast<size_t>
287                 ((faces[i].getCentroid()->y - yMin) / cellSizeY);
288             column = static_cast<size_t>
289                 ((faces[i].getCentroid()->x - xMin) / cellSizeX);
290

```

```

291 //Check for the current cell
292 bool visible = checkVisibility(grid, row, column, columnCount,
293     &faces[i], triangleIntersection);
294
295 //Check for the surrounding cells if we use the full
296 //triangle-triangle intersection
297 if (visible)
298     visible = (visible && checkVisibility(grid, row, column + 1,
299         columnCount, &faces[i], triangleIntersection));
300 else
301     { faces[i].getParent()->setVisibility(faces[i].getIndex(), 0.0);
302     grid[row * columnCount + column].push_back(&faces[i]); continue;
303 }
304     if (visible)
305         visible = (visible && checkVisibility(grid,row,column-1,
306             columnCount, &faces[i], triangleIntersection));
307 else
308     { faces[i].getParent()->setVisibility(faces[i].getIndex(), 0.0);
309     grid[row * columnCount + column].push_back(&faces[i]); continue;
310 }
311     if (visible)
312     visible = (visible && checkVisibility(grid,row + 1,column + 1,
313         columnCount, &faces[i], triangleIntersection));
314 else
315     { faces[i].getParent()->setVisibility(faces[i].getIndex(), 0.0);
316     grid[row * columnCount + column].push_back(&faces[i]); continue;
317 }
318     if (visible)
319     visible = (visible && checkVisibility(grid,row + 1,column,
320         columnCount, &faces[i], triangleIntersection));
321 else
322     { faces[i].getParent()->setVisibility(faces[i].getIndex(), 0.0);
323     grid[row * columnCount + column].push_back(&faces[i]); continue;
324 }
325     if (visible)
326     visible = (visible && checkVisibility(grid,row + 1,column - 1,
327         columnCount, &faces[i], triangleIntersection));
328 else
329     { faces[i].getParent()->setVisibility(faces[i].getIndex(), 0.0);
330     grid[row * columnCount + column].push_back(&faces[i]); continue;
331 }
332     if (visible)
333     visible = (visible && checkVisibility(grid,row-1,column + 1,
334         columnCount, &faces[i], triangleIntersection));
335 else
336     { faces[i].getParent()->setVisibility(faces[i].getIndex(), 0.0);
337     grid[row * columnCount + column].push_back(&faces[i]); continue;
338 }
339     if (visible)
340     visible = (visible && checkVisibility(grid, row - 1, column,
341         columnCount, &faces[i], triangleIntersection));
342 else
343     { faces[i].getParent()->setVisibility(faces[i].getIndex(), 0.0);
344     grid[row * columnCount + column].push_back(&faces[i]); continue;
345 }
346     if (visible)
347     visible = (visible && checkVisibility(grid,row - 1,column - 1,

```

```

348         columnCount, &faces[i], triangleIntersection));
349     else
350     { faces[i].getParent()->setVisibility(faces[i].getIndex(), 0.0);
351       grid[row * columnCount + column].push_back(&faces[i]); continue;
352     }
353
354
355     if (!visible)
356     faces[i].getParent()->setVisibility(faces[i].getIndex(), 0.0);
357     grid[row * columnCount + column].push_back(&faces[i]);
358   }
359 }
360
361 delete []grid;
362 }
363
364 bool GridVisibility::checkVisibility(const vector<Triangle2*>* grid, size_t
365 row,
366 size_t column, size_t columnCount, Triangle2* triangle, int method) const
367 {
368   if (grid[row * columnCount + column].size() == 0)
369     return true;
370
371   bool visible = true;
372
373   for (size_t k = 0; k < grid[row * columnCount + column].size(); k++)
374   {
375     if (triangle->intersects(grid[row * columnCount + column][k], method))
376     {
377       visible = false;
378       break;
379     }
380   }
381   return visible;
382 }
383
384 void GridVisibility::projectMesh(Mesh3* mesh, std::vector<Triangle2>& faces,
385 float& maxRadius, float obsPosition)
386 {
387   double cosGamma;
388   size_t triangleCount = mesh->getTriangleCount();
389
390   for (size_t j = 0; j < triangleCount; ++j)
391   {
392     //cosGamma = *mesh->getTriangle(j)->getNormal() * obsVector;
393     //if triangle normal has the following components (x, y, z) and the
394     //observer vector (1, 0, 0), then
395     //(x, y, z) * (1, 0, 0) = x * 1 + y * 0 + z * 0 = x
396     cosGamma = mesh->getNormal(j)->x;
397
398     if (cosGamma > 0)
399     {
400       Triangle2 face(mesh, j, obsPosition - mesh->getCentroid(j)->x);
401
402       mesh->setProjectedArea(j, face.getArea());
403       mesh->setVisibility(j, 1.0);
404       float radius = face.getCircumCircle()->getRadius();

```

```

405         if (radius > maxRadius)
406             maxRadius = radius;
407
408         faces.push_back(face);
409     }
410     else
411         mesh->setVisibility(j, 0.0);
412 }
413 }
414
415 bool GridVisibility::distanceSorter(const Triangle2& left,
416                                     const Triangle2& right)
417 {
418     return left.getDistance() < right.getDistance();
419 }

```

PaintersVisibility.h

```

1  #pragma once
2
3  #include "Mesh3.h"
4  #include "VisibilityDetection.h"
5  #include <vector>
6  #include <algorithm>
7
8  #include "Triangle2.h"
9
10 namespace Infinity {
11 class PaintersVisibility : public VisibilityDetection
12 {
13 public:
14     PaintersVisibility(Mesh3* primary, Mesh3* secondary, Mesh3* disk,
15                       int adaptive, int triangleIntersection, bool convexMesh = true);
16     ~PaintersVisibility();
17
18     void run();
19     static bool distanceSorter(const Triangle2& left, const Triangle2&
20 right);
21 private:
22     bool hasDisk;
23
24     bool checkVisibility(std::vector<Triangle2*>& checkedFaces,
25                         Triangle2* triangle, int method) const;
26     void projectMesh(Mesh3* mesh, std::vector<Triangle2>& faces,
27                    float& maxRadius, float obsPosition = 5.0);
28 };

```

PaintersVisibility.cpp

```

1  #include "stdafx.h"
2  #include "PaintersVisibility.h"
3
4  using namespace std;
5  using namespace DirectX::SimpleMath;
6
7  namespace Infinity {

```

```

8   PaintersVisibility::PaintersVisibility(Mesh3* primary, Mesh3* secondary,
9       Mesh3* disc, int adaptive, int triangleIntersection, bool convexMesh)
10      : VisibilityDetection(primary, secondary, disc, adaptive,
11 triangleIntersection, true)
12 { hasDisk = (disc->getTriangleCount() != 0); }
13
14 PaintersVisibility::~PaintersVisibility() { }
15
16 void PaintersVisibility::run()
17 {
18     //Determine the distance of the components
19     float obsPosition = 5.0;
20
21     //Project & colect triangles
22     vector<Triangle2> faces;
23     vector<Triangle2*> checkedFaces;
24     faces.reserve(primary->getTriangleCount() + secondary->getTriangleCount()
25         + (hasDisk ? disk->getTriangleCount() : 0));
26     checkedFaces.reserve(primary->getTriangleCount()
27         + secondary->getTriangleCount() + (hasDisk ?
28         disk->getTriangleCount() : 0));
29
30     float primaryRadius = -1;
31     float secondaryRadius = -1;
32     float diskRadius = -1;
33     projectMesh(primary, faces, primaryRadius, obsPosition);
34     projectMesh(secondary, faces, secondaryRadius, obsPosition);
35     if (hasDisk)
36         projectMesh(disk, faces, diskRadius, obsPosition);
37
38     //Check wether there is a possibility for the eclipse.
39     double separation = pow2(primary->getCenter()->y
40         - secondary->getCenter()->y) + pow2(primary->getCenter()->z
41         - secondary->getCenter()->z);
42
43     double primaryOuterRadius = hasDisk ? disk->getOuterRadius()
44         : primary->getOuterRadius();
45     double secondaryOuterRadius = secondary->getOuterRadius();
46
47     if (separation > pow2(primaryOuterRadius + secondaryOuterRadius))
48         return;
49
50     //Collect the triangles
51     sort(faces.begin(), faces.end(), PaintersVisibility::distanceSorter);
52
53     Circle primaryBoundingCircle(primary->getCenter()->y,
54         primary->getCenter()->z, static_cast<float>(primaryOuterRadius)
55         + 3 * max(primaryRadius, diskRadius));
56     Circle secondaryBoundingCircle(secondary->getCenter()->y,
57         secondary->getCenter()->z, static_cast<float>(secondaryOuterRadius)
58         + 3 * secondaryRadius);
59
60     for (size_t i = 0; i < faces.size(); i++)
61     {
62         if (Circle::Intersects(&primaryBoundingCircle,
63             faces[i].getCircumCircle()))
64             {

```

```

65         //Check for the current cell
66         bool visible = checkVisibility(checkedFaces, &faces[i],
67             triangleIntersection);
68
69         if (!visible)
70             faces[i].getParent()->setVisibility(faces[i].getIndex(), 0.0);
71
72         checkedFaces.push_back(&faces[i]);
73     }
74 }
75 }
76
77 bool PaintersVisibility::checkVisibility(vector<Triangle2*>& checkedFaces,
78     Triangle2* triangle, int method)
79 const
80 {
81     if (checkedFaces.size() == 0)
82         return true;
83
84     bool visible = true;
85
86     for (size_t k = 0; k < checkedFaces.size(); k++)
87     {
88         if (triangle->intersects(checkedFaces[k], method))
89         {
90             visible = false;
91             break;
92         }
93     }
94     return visible;
95 }
96
97 void PaintersVisibility::projectMesh(Mesh3* mesh, std::vector<Triangle2*>&
98     faces,
99     float& maxRadius, float obsPosition)
100 {
101     double cosGamma;
102     size_t triangleCount = mesh->getTriangleCount();
103
104     for (size_t j = 0; j < triangleCount; ++j)
105     {
106         //cosGamma = *mesh->getTriangle(j)->getNormal() * obsVector;
107         //if triangle normal has the following components (x, y, z) and the
108         //observer vector (1, 0, 0), then
109         // (x, y, z) * (1, 0, 0) = x * 1 + y * 0 + z * 0 = x
110         cosGamma = mesh->getNormal(j)->x;
111
112         if (cosGamma > 0)
113         {
114             Triangle2 face(mesh, j, obsPosition - mesh->getCentroid(j)->x);
115
116             mesh->setProjectedArea(j, face.getArea());
117             mesh->setVisibility(j, 1.0);
118             float radius = face.getCircumCircle()->getRadius();
119             if (radius > maxRadius)
120                 maxRadius = radius;
121

```

```

122         faces.push_back(face);
123     }
124     else
125         mesh->setVisibility(j, 0.0);
126 }
127 }
128
129 bool PaintersVisibility::distanceSorter(const Triangle2& left,
130     const Triangle2& right)
131 {
132     return left.getDistance() < right.getDistance();
133 } }

```

VisibilityDetection.h

```

1 #pragma once
2
3 #include "Mesh3.h"
4
5 namespace Infinity {
6 class VisibilityDetection
7 {
8 public:
9     VisibilityDetection(Mesh3* primary, Mesh3* secondary,
10         Mesh3* disk = nullptr, int adaptive = 0,
11         int triangleIntersection = TRIANGLE_FULL, bool convexMesh = true);
12     ~VisibilityDetection(void);
13
14     virtual void run() = 0;
15 protected:
16     Mesh3* primary;
17     Mesh3* secondary;
18     Mesh3* disk;
19
20     int adaptive;
21     int triangleIntersection;
22     bool convexMesh;
23 }; }

```

VisibilityDetection.cpp

```

1 #include "stdafx.h"
2 #include "VisibilityDetection.h"
3
4 namespace Infinity {
5 VisibilityDetection::VisibilityDetection(Mesh3* primary, Mesh3* secondary,
6     Mesh3* disk, int adaptive , int triangleIntersection, bool convexMesh)
7     : primary(primary), secondary(secondary), disk(disk), adaptive(adaptive),
8     triangleIntersection(triangleIntersection), convexMesh(convexMesh)
9 { }
10
11 VisibilityDetection::~~VisibilityDetection(void)
12 { } }

```

Literatura

- Abt, H. A., 1983. Normal and abnormal binary frequencies. *Annual review of astronomy and astrophysics*, Volume 21, 343-372.
- Atwood-Stone, C. et al., 2012. Modeling the Accretion Structure of AU Mon. *The Astrophysical Journal*, 760(2), A134, 1-16.
- Bisikalo, D. V. et al., 2000. Circumstellar structures in the eclipsing binary Beta Lyr A - Gasdynamical modelling confronted with observations. *Astronomy and Astrophysics*, Volume 353, 1009-1015.
- Castelli, F. & Kurucz, R. L., 2004. New Grids of ATLAS9 Model Atmospheres. *eprint arXiv:astro-ph/0405087*.
- Claret, A. & Bloemen, S., 2011. Gravity and limb-darkening coefficients for the Kepler, CoRoT, Spitzer, uvby, UBVRIJHK, and Sloan photometric systems. *Astronomy & Astrophysics*, Volume 529, A75, 1-5.
- Cozic, L., 2006. *2D Polygon Collision Detection*. [Online]
Available at: <http://www.codeproject.com/Articles/15573/2D-Polygon-Collision-Detection>
[Accessed 1 May 2013].
- Cséki, A. & Prša, A., 2010. Calculation of Emergent Intensities for the Wilson-Devinney Code with New Kurucz Stellar Atmosphere Models. *ASP Conf. Ser. 434, Binaries: Key to Comprehension of the Universe, Edited by Andrej Prša and Miloslav Zejda*, Volume 438, 81-82.
- Desmet, M. et al., 2010. CoRoT photometry and high-resolution spectroscopy of the interacting eclipsing binary AU Monocerotis. *Monthly Notices of the Royal Astronomical Society*, 401(1), 418-432.
- Devor, J., 2005. Solutions for 10,000 Eclipsing Binaries in the Bulge Fields of OGLE II Using DEBiL. *The Astrophysical Journal*, 628(1), 411-425.
- Drechsel, H., Haas, S., Lorenz, R. & Gayler, S., 1995. Radiation pressure effects in early-type close binaries and implications for the solution of eclipse light curves. *Astronomy and Astrophysics*, 294(3), 723-743.

- Đurašević, G., 1991. Ispitivanje aktivnih tesnih dvojnih sistema na osnovu fotometrijskih merenja. *Publication of the Astronomical Observatory of Belgrade*, Volume 42, 1-215.
- Đurašević, G., 1992a. An analysis of active close binaries (CB) based on photometric measurements. I - A model of active CB with spots on the components. *Astrophysics and Space Science*, 196(2), 241-265.
- Đurašević, G., 1992b. An Analysis of Active Close Binaries / CB / Based on Photometric Measurements - Part Two - Active CB with Accretion Discs. *Astrophysics and Space Science*, 196(2), 267-282.
- Đurašević, G. et al., 2013. Photometric Analysis of HS Aqr, EG Cep, VW LMi, and DU Boo. *The Astronomical Journal*, 145(3), AID 80, 1-10.
- Đurašević, G., Latković, O., Vince, I. & Cséki, A., 2010. Accretion disc in the eclipsing binary AU Mon. *Monthly Notices of the Royal Astronomical Society*, 409(1), 329-336.
- Đurašević, G. et al., 2012. A study of the interacting binary system V455 Cygni. *Monthly Notices of the Royal Astronomical Society*, 420(4), 3081-3090.
- Đurašević, G., Vince, I. & Atanacković, O., 2008. Accretion Disk in the Massive Binary RY Scuti. *Astronomical Journal*, 136(2), 767-772.
- Đurašević, G., Zakirov, M., Hojaev, A. & Arzumanyants, G., 1998. Analysis of the activity of the eclipsing binary WZ Cephei. *Astronomy and Astrophysics Supplement*, Volume 131, 17-23.
- Eberly, D., 2008. *Platonic Solids*. [Online]
Available at: <http://www.geometrictools.com/Documentation/PlatonicSolids.pdf>
[Accessed 24 April 2013].
- Etzel, P. B., 1981. A Simple Synthesis Method for Solving the Elements of Well-Detached Eclipsing Systems. *Photometric and Spectroscopic Binary Systems, Proceedings of the NATO Advanced Study Institute*, 111.
- Foley, J., van Dam, A., Feiner, S. K. & Hughes, J. F., 1995. *Computer Graphics: Principles and Practice*. 1st ed., Addison-Wesley.
- Goodricke, J., 1783. a Series of Observations on, and a Discovery of, the Period of the Variation of the Light of the Bright Star in the Head of Medusa, Called Algol. *Philosophical Transactions of the Royal Society of London*, Volume 73, 474-482.

- Gray, R. O. & Corbally, C. J., 1994. The calibration of MK spectral classes using spectral synthesis. 1: The effective temperature calibration of dwarf stars. *Astronomical Journal*, 107(2), 742-746.
- Harmanec, P., Bisikalo, D. V., Boyarchuk, A. A. & Kuznetsov, O. A., 2002. On the role of duplicity in the Be phenomenon. I. General considerations and the first attempt at a 3-D gas-dynamical modelling of gas outflow from hot and rapidly rotating OB stars in binaries. *Astronomy and Astrophysics*, Volume 396, 937-948.
- Heemskerk, M. H. M., 1994. Hydrodynamic calculations of accretion discs in close binaries. The superhump phenomenon. *Astronomy and Astrophysics*, Volume 288, 807-818.
- Hendry, P. D. & Mochnacki, S. W., 1992. The GDDSYN light curve synthesis method. *Astrophysical Journal*, Volume 338, 603-613.
- Herschel, W., 1803. Account of the Changes That Have Happened, during the Last Twenty-Five Years, in the Relative Situation of Double-Stars; With an Investigation of the Cause to Which They Are Owing. *Philosophical Transactions of the Royal Society of London*, Volume 93, 339-382.
- Hilditch, R. W., 2001. *An Introduction to Close Binary Stars*. Cambridge University Press.
- Hut, P., 1981. Tidal evolution in close binary systems. *Astronomy and Astrophysics*, 99(1), pp. 126-140.
- Kallrath, J. & Milone, E. F., 2009. *Eclipsing Binary Stars: Modeling and Analysis*. Second Edition ed. New York, Springer.
- Kambe, E. A. H. S. B. I. H. et al., 2008. Development of Iodine Cells for Subaru HDS and Okayama HIDES. III. An Improvement on the Radial-Velocity Measurement Technique. *Publications of the Astronomical Society of Japan*, 60(1), 45-53.
- Khruzina, T., 1985. Synthesis of the Lightcurves of X-Ray Binary Systems with Eccentric Orbits. *Soviet Astronomy*, Volume 29, 55-59.
- Kopal, Z., 1959. *Close Binary Stars*. London, Chapman & Hall.
- Latković, O., 2013, u pripremi. *Modeliranje zvezdanih oscilacija u tesno dvojnim sistemima*. u pripremi.

- Lubow, S. H. & Shu, F. H., 1975. Gas dynamics of semidetached binaries. *Astrophysical Journal*, 198(1), 383-405.
- Lucy, L. B., 1967. Gravity-Darkening for Stars with Convective Envelopes. *Zeitschrift für Astrophysik*, Volume 65, 89-92.
- Lucy, L. B. & Sweeney, M. A., 1971. Spectroscopic binaries with circular orbits. *Astronomical Journal*, Volume 76, 544-556.
- Mennickent, R. E., Pietrzyński, G., Diaz, M. & Gieren, W., 2003. Double-periodic blue variables in the Magellanic Clouds. *Astronomy and Astrophysics*, Volume 399, L47-L50.
- Metcalf, T. S., Mathieu, R. D., Latham, D. W. & Torres, G., 1996. The Low-Mass Double-lined Eclipsing Binary CM Draconis: A Test of the Primordial Helium Abundance and the Mass-Radius Relation near the Bottom of the Main Sequence. *Astrophysical Journal*, Volume 456, 356-364.
- Mochnicki, S. W. & Doughty, N. A., 1972. A model for the totally eclipsing W Ursae Majoris system AW UMa. *Monthly Notices of the Royal Astronomical Society*, Volume 156, 51-56.
- Moro, D. & Munari, U., 2000. The Asiago Database on Photometric Systems (ADPS). I. Census parameters for 167 photometric systems. *Astronomy and Astrophysics Supplement*, Volume 147, 361-628.
- Nelder, J. A. & Mead, R., 1965. A Simplex Method for Function Minimization. *The Computer Journal*, Volume 7, 308-313.
- Nelson, B. & Davis, W. D., 1972. Eclipsing-Binary Solutions by Sequential Optimization of the Parameters. *Astrophysical Journal*, Volume 174, 617-628.
- Press, W. H., Teukolsky, S. A., Vetterling, W. T. & Flannery, B. P., 2007. *Numerical Recipes - The Art of Scientific Computing*. 3rd ed. Cambridge, Cambridge University Press.
- Rafert, J. B. & Twigg, L. W., 1980. Observational determination of the gravity darkening exponent and bolometric albedo for close binary star systems. *Monthly Notices of the Royal Astronomical Society*, Volume 193, 79-86.
- Rossiter, R. A., 1924. On the detection of an effect of rotation during eclipse in the velocity of the brighter component of beta Lyrae, and on the constancy of velocity of this system.. *Astrophysical Journal*, Volume 60, 15-21.

- Rucinski, S. M., 1969. The Proximity Effects in Close Binary Systems. II. The Bolometric Reflection Effect for Stars with Deep Convective Envelopes. *Acta Astronomica*, Volume 19, 245-255.
- Rucinski, S. M. et al., 2008. Radial Velocity Studies of Close Binary Stars. XIII. *The Astronomical Journal*, 136(2), 586-593.
- Russell, H. N., 1912a. On the Determination of the Orbital Elements of Eclipsing Variable Stars. I.. *Astrophysical Journal*, Volume 35, 315-340.
- Russell, H. N., 1912b. On the Determination of the Orbital Elements of Eclipsing Variable Stars. II. *Astrophysical Journal*, Volume 36, 54-74.
- Sasselov, D. D., 1998. Surface Imaging by Microlensing. *ASP Conf. Ser. 154 - The Tenth Cambridge Workshop on Cool Stars, Stellar Systems and the Sun*, Edited by R. A. Donahue and J. A. Bookbinder, 383-391.
- Southworth, J., 2008. Homogeneous studies of transiting extrasolar planets - I. Light-curve analyses. *Monthly Notices of the Royal Astronomical Society*, 386(3), 1644-1666.
- Strohmeier, W., 1958. Neue veranderliche Sterne.. *Kl. Veröff. Bamberg*, Volume 21, 22.
- Takahama, T. & Sakai, S., 2005. Constrained Optimization by Applying the Alpha Constrained Method to the Nonlinear Simplex Method With Mutations. *IEEE Transactions on Evolutionary Computation*, 9(5), 437-451.
- Tamuz, O., Mazeh, T. & North, P., 2006. Automated analysis of eclipsing binary light curves - I. EBAS - a new Eclipsing Binary Automated Solver with EBOP. *Monthly Notices of the Royal Astronomical Society*, 367(4), 1521-1530.
- Tassoul, J.-L., 2000. *Stellar Rotatio*, Cambridge University Press .
- Van Hamme, W. & Wilson, R. E., 2003. Stellar atmospheres in eclipsing binary models. *ASP Conf. Ser. 298 - GAIA Spectroscopy - Science and Technology*, Edited by Ulisse Munari, Volume 298, 323-328.
- Vogel, H. C., 1890. Orbit and Mass of Algol. *Publications of the Astronomical Society of the Pacific*, 2(6), 27.
- von Zeipel, H., 1924. The radiative equilibrium of a rotating system of gaseous masses. *Monthly Notices of the Royal Astronomical Society*, Volume 84, 665-683.

Weisstein, E. W., 2013. "Rotation Matrix." *From MathWorld--A Wolfram Web Resource*.

[Online]

Available at: <http://mathworld.wolfram.com/RotationMatrix.html>

[Accessed 24 April 2013].

Wilson, R. E., 1979. Eccentric orbit generalization and simultaneous solution of binary star light and velocity curves. *Astrophysical Journal*, Volume 234, 1054-1066.

Wilson, R. E. & Devinney, E. J., 1971. Realization of Accurate Close-Binary Light Curves: Application to MR Cygni. *Astrophysical Journal*, Volume 166, 605-619.

Wilson, R. E. & Sofia, S., 1976. Effects of tidal distortion on binary-star velocity curves and ellipsoidal variation. *Astrophysical Journal*, 203(1), 182-186.

Wilson, R. E. & Van Hamme, W., 2013. *Computing Binary Star Observables*. [Online]

Available at: <ftp://ftp.astro.ufl.edu/pub/wilson/lcdc2013/>

[Accessed Jun 2013].

Yamasaki, A., 1982. A SPOT model for VW Cephei. *Astrophysics and Space Science*, 85(1-2), 43-58.

Zola, S., 1991. RZ OPH - The Algol-type, long-period binary star with a thick accretion disk. *Acta Astronomica*, 41(3), 213-230.

Biografija autora

Čeki Atila rođen je 7. jula 1980. godine u Pančevu. Završio je Gimnaziju „Uroš Predić“ u Pančevu 1999. godine i iste godine je upisao smer Astrofizika na Matematičkom fakultetu u Beogradu. Diplomirao je u oktobru 2006. godine sa prosečnom ocenom 9.58. U martu 2007. upisao je doktorske studije na Matematičkom fakultetu. Zaposlen je na Astronomskoj opservatoriji od januara 2007. godine i trenutno ima zvanje istraživač-saradnik.

Od 2007. do 2010. godine je bio angažovan na projektu 146003 – „Fizika Sunca i zvezda“ pod rukovodstvom dr Gojka Đuraševića sa punim istraživačkih vremenom. Od 2010. godine učestvuje na projektima 176004 – „Fizika zvezda“ pod rukovodstvom dr Gojka Đuraševića (sa jedanaest istraživačkih meseci) i 176021 – „Vidljiva i nevidljiva materija u bliskim galaksijama: teorija i posmatranja“ pod rukovodstvom dr Srđana Samurovića (sa jednim istraživačkim mesecom).

Istraživačka aktivnost kandidata je usmerena na razvoj programa za modeliranje dvojnih sistema, kao i na analizu pojedinačnih dvojnih sistema. Koautor je dva rada objavljena u vrhunskim međunarodnim časopisima, tri rada u nacionalnim časopisima od međunarodnog značaja i sedam radova sa konferencija štampanih u celini. Ima jedan samostalni rad.

Изјава о ауторству

Потписани Атила Чеки

број уписа _____

Изјављујем

да је докторска дисертација под насловом

Усавршавање модела тесно двојних система сагласно са резултатима
посматрања високе прецизности

- резултат сопственог истраживачког рада,
- да предложена дисертација у целини ни у деловима није била предложена за добијање било које дипломе према студијским програмима других високошколских установа,
- да су резултати коректно наведени и
- да нисам кршио/ла ауторска права и користио интелектуалну својину других лица.

Потпис докторанда

У Београду, 11.09.2013.



**Изјава о истоветности штампане и електронске верзије
докторског рада**

Име и презиме аутора Атила Чеки

Број уписа _____

Студијски програм Астрономија и астрофизика

Наслов рада Усавршавање модела тесно двојних система сагласно са
резултатима посматрања високе прецизности

Ментор проф. др Олга Атанацковић

Потписани Атила Чеки

изјављујем да је штампана верзија мог докторског рада истоветна електронској верзији коју сам предао/ла за објављивање на порталу **Дигиталног репозиторијума Универзитета у Београду**.

Дозвољавам да се објаве моји лични подаци везани за добијање академског звања доктора наука, као што су име и презиме, година и место рођења и датум одбране рада.

Ови лични подаци могу се објавити на мрежним страницама дигиталне библиотеке, у електронском каталогу и у публикацијама Универзитета у Београду.

Потпис докторанда

У Београду, 11.09.2013.



Изјава о коришћењу

Овлашћујем Универзитетску библиотеку „Светозар Марковић“ да у Дигитални репозиторијум Универзитета у Београду унесе моју докторску дисертацију под насловом:

Усавршавање модела тесно двојних система сагласно са резултатима
посматрања високе прецизности

која је моје ауторско дело.

Дисертацију са свим прилозима предао/ла сам у електронском формату погодном за трајно архивирање.

Моју докторску дисертацију похрањену у Дигитални репозиторијум Универзитета у Београду могу да користе сви који поштују одредбе садржане у одабраном типу лиценце Креативне заједнице (Creative Commons) за коју сам се одлучио/ла.

① Ауторство

2. Ауторство - некомерцијално
3. Ауторство – некомерцијално – без прераде
4. Ауторство – некомерцијално – делити под истим условима
5. Ауторство – без прераде
6. Ауторство – делити под истим условима

(Молимо да заокружите само једну од шест понуђених лиценци, кратак опис лиценци дат је на полеђини листа).

Потпис докторанда

У Београду, 11.09.2013.



1. Ауторство - Дозвољаваате умножавање, дистрибуцију и јавно саопштавање дела, и прераде, ако се наведе име аутора на начин одређен од стране аутора или даваоца лиценце, чак и у комерцијалне сврхе. Ово је најслободнија од свих лиценци.

2. Ауторство – некомерцијално. Дозвољаваате умножавање, дистрибуцију и јавно саопштавање дела, и прераде, ако се наведе име аутора на начин одређен од стране аутора или даваоца лиценце. Ова лиценца не дозвољава комерцијалну употребу дела.

3. Ауторство - некомерцијално – без прераде. Дозвољаваате умножавање, дистрибуцију и јавно саопштавање дела, без промена, преобликовања или употребе дела у свом делу, ако се наведе име аутора на начин одређен од стране аутора или даваоца лиценце. Ова лиценца не дозвољава комерцијалну употребу дела. У односу на све остале лиценце, овом лиценцом се ограничава највећи обим права коришћења дела.

4. Ауторство - некомерцијално – делити под истим условима. Дозвољаваате умножавање, дистрибуцију и јавно саопштавање дела, и прераде, ако се наведе име аутора на начин одређен од стране аутора или даваоца лиценце и ако се прерада дистрибуира под истом или сличном лиценцом. Ова лиценца не дозвољава комерцијалну употребу дела и прерада.

5. Ауторство – без прераде. Дозвољаваате умножавање, дистрибуцију и јавно саопштавање дела, без промена, преобликовања или употребе дела у свом делу, ако се наведе име аутора на начин одређен од стране аутора или даваоца лиценце. Ова лиценца дозвољава комерцијалну употребу дела.

6. Ауторство - делити под истим условима. Дозвољаваате умножавање, дистрибуцију и јавно саопштавање дела, и прераде, ако се наведе име аутора на начин одређен од стране аутора или даваоца лиценце и ако се прерада дистрибуира под истом или сличном лиценцом. Ова лиценца дозвољава комерцијалну употребу дела и прерада. Слична је софтверским лиценцама, односно лиценцама отвореног кода.